

INSTITUTUL POLITEHNIC "TRAIAN VUIA"  
TIMIȘOARA  
- FACULTATEA DE ELECTROTEHNICĂ -

ing. IOAN FETIȚĂ

CONTRIBUȚII LA ANALIZA CÂMPULUI  
ELECTROMAGNETIC AL SISTEMELOR CU  
CONDUCTOARE MASIVE PRIN MODELARE

Teză de doctorat

Conducător științific,  
Prof.dr.ing. CONSTANTIN ȘORA

BIBLIOTECA CENTRALĂ  
UNIVERSITATEA "POLITEHNICA"  
TIMIȘOARA

- 1978 -

INSTITUTUL POLITEHNIC "TRAIAN VUIA" TIMIȘOARA	
Volun:	348.035
Dulap:	111 Lit. F

## C U P R Î N S :

	<u>Pag.</u>
<b>Î N T R O D U C E R E</b> .....	1
<b>O P O R T U N I T A T E A T E Z E I D E D O C T O R A T</b> .....	1
<b>C O N T Î N U T U L L U C R A R I I</b> .....	7
<b>A. E C U A T Î I L E C Î M P U L U I E L E C T R O - M A G N E T I C</b> .....	9
<b>I. E C U A T Î I L E D I F E R E N T Î A L E C U D E R I V A T E P A R T Î A L E</b> .....	9
1.1. Cîmpul electrostatic .....	9
1.2. Cîmpul magnetic în regim staționar .....	10
1.3. Cîmpul magnetic în regim cvasistaționar ....	12
1.4. O ecuație generală cu derivate parțiale ....	13
<b>II. S I S T E M E D E E C U A T Î I C U V A L O R I F Î N I T E A L E P O T E N T Î A - L E L O R Î N P U N C T E F Î N I T E</b> .....	13
2.1. Metoda diferențelor finite .....	15
2.2. Discretizarea tip "celulă" (metoda lui Gafr) .....	19
2.3. Metoda elementelor finite .....	27
2.4. Precizări referitoare la metodele descrise .	32
<b>III. C O N D I T Î I D E U N I C Î T A T E</b> .....	35
3.1. Condiții de frontieră pentru cîmpul electric transversal .....	38
3.2. Condiții de frontieră pentru cîmpul magnetic plan-paralel .....	40
<b>B. M O D E L A R E A C Î M P U R Î L O R P L A N - P A R A L E L E</b> .....	47
<b>I. G E N E R A L I T Ă T I A S U P R A M O D E L A R I I</b> .....	47
<b>II. M O D E L A R E A Î N M E D I I R E Z I S T I V E Ș I C A P A C I T I V E</b> ...	51
2.1. Principiul metodei .....	51
2.2. Posibilități practice. Modelarea condițiilor de frontieră .....	61

	<u>Pag.</u>
2.3. Tehnica măsurării pe modele .....	69
a. Determinarea cîmpurilor laplaciene .....	69
b. Determinarea cîmpurilor poissoniene .....	71
2.4. Precizia metodelor de modelare .....	73
2.4.1. Precizia modelării în cuva electrochimică .....	73
2.4.2. Precizia modelării cu hîrtie electrocon- ductoare .....	74
2.4.3. Precizia modelării pe modele din tablă .....	76
III. MODELAREA PE REȚELE ANALIZOARE R și RC .....	76
3.1. Tipurile de modele .....	77
3.2. Exprimarea mărimilor de original în funcție de cele din model .....	83
3.3. Modelarea la limitele de discontinuitate. Con- diții de frontieră .....	88
3.4. Tehnica măsurării pe modele .....	93
3.5. Precizia rezultatelor obținute prin modelarea pe rețele analizoare .....	95
IV. MODELAREA PROBABILISTICĂ .....	100
4.1. Bazele metodei .....	100
4.2. Precizia metodei stocastice .....	106
C. P R O B L E M E R E Z O L V A T E .....	107
I. MODELAREA UNUI SISTEM DE BARE COLECTOARE ÎN VEDEREA DETERMINĂRII PARAMETRILOR $R^*$ , $L^*$ , $C^*$ , .....	108
1.1. Integratorul RC corespunzător sistemului .....	108
1.2. Rezultate experimentale .....	111
1.3. Observații .....	116
II. DETERMINAREA PRIN MODELARE A CÎMPULUI ELECTROMAGNETIC AL UNUI CONDUCTOR CILINDRIC DE SECȚIUNE TRANSVERSALĂ, TRAPEZOIDALĂ, PLASAT ÎNTR-O CRESTĂTURĂ FEROMAGNETICĂ .....	116
2.1. Descrierea sistemului .....	116
2.2. O soluție analitică pentru un caz idealizat ...	118

	<u>Pag.</u>
2.3. Modelul RC corespunzător sistemului .....	119
2.4. Rezultate experimentale .....	120
2.5. Aparate utilizate. Precizia măsurării .....	125
2.6. Observații .....	126
<b>III. CÂMPUL ELECTROMAGNETIC ÎN CONDUCTORUL PARALELIPEDIC FOARTE LUNG, PARCOURS DE CURENT SINUSOIDAL, PLASAT ÎNTR-O CRESTĂTURĂ EFECTUATĂ ÎN MATERIAL FEROMAGNETIC</b> .....	<b>126</b>
3.1. Soluția exactă a problemei .....	127
3.2. Modelarea pe o rețea RC .....	128
3.3. Rezultate obținute cu calculatorul cifric .....	131
3.4. Observații .....	134
<b>C O N C L U Z I I</b> .....	<b>141</b>
<b>A N E X E</b> .....	<b>147</b>
<b>Anexa 1 : DISCRETIZAREA ȘI MODELAREA LĂMITELOR DE SEPARAȚIE A DOUA MEDII MAGNETICE DE PERMEABILITĂȚI DIFERITE</b> .....	<b>147</b>
<b>Anexa 2 : STUDIUL CÂMPULUI ELECTROMAGNETIC AL UNUI CONDUCTOR CILINDRIC DE SECȚIUNE TRANSVERSALA-SECTOR COROANA CIRCULARĂ, ECRANAT FEROMAGNETIC</b> .....	<b>150</b>
<b>Anexa 3 : CÂMPUL ELECTROMAGNETIC AL UNUI CONDUCTOR PARALELIPEDIC ECRANAT FEROMAGNETIC</b> .....	<b>154</b>
<b>Anexa 4 : PROGRAMUL DE CALCUL "MASIV 1"</b> .....	<b>157</b>
<b>BIBLIOGRAFIE</b> .....	<b>159</b>

## Î N T R O D U C E R E

### ABORDAREA TEMATICII ȘI OPORTUNITATEA LUCRĂRII

Abordarea tematicii tezei de doctorat a fost determinată, în mare măsură, de necesitățile impuse de practica de proiectare și încercări experimentale din Uzina Electroputere din Craiova, unde subsemnatul mi-am desfășurat activitatea în perioada 1965-1969. În cadrul acestei uzine am fost pus în situația de a rezolva câteva probleme de câmp electromagnetic mai deosebite.

Astfel, în anul 1967 am primit însărcinarea din partea conducerii Laboratorului central al U.F.P.C. de a studia câmpul electromagnetic al unor configurații de bare colectoare, necesare conectării generatoarelor de mare putere pentru încercări la scurtcircuit brusc. O altă problemă care trebuia rezolvată a fost efectul de refulare al curentului pentru câteva tipuri de conductoare masive ecranate feromagnetic, în scopul studierii posibilității asimilării lor în fabricarea unor rotoare de mașini asincrone. De asemenea, mi s-a sugerat ideea unei preocupări de perspectivă privind posibilitatea determinării fluxurilor magnetice de dispersie din transformatoarele de putere și a câmpului magnetic în medii neliniare și anizotrope.

Pe lângă studiul câmpului electromagnetic cvasistaționar și staționar al conductoarelor, s-a impus determinarea câmpului electric transversal al barelor colectoare în ipoteza plasării lor în rășini epoxidice (la distanțe mici una față de alta), în scopul estimării capacităților parazite ale acestora. Ultimul deziderat a decurs din necesitatea unei corecte evaluări a impedanțelor barelor pentru schemele de încercare.

Cerințele problemelor menționate au condus la necesitatea unei atente analize a posibilităților de abordare și rezolvare a acestora. Am ajuns la concluzia că pentru sistemele considerate și regimurile electromagnetice în care se cerea studiul câmpului electric și magnetic, metoda capabilă să dea soluții cel puțin rezonabile ca precizie este metoda modelării; s-a avut în vedere faptul că la problema barelor colectoare câmpul trebuie considerat extins pînă la infinit și că structura geometrică și fizică a ansamblului crestatură - între fier - conductor, la mașinile asincrone vizate nu erau din cele mai simple.

În adevăr, dintr-o succintă trecere în revistă a caracteristicilor metodelor de determinare a câmpului electromagnetic rezultă că această observație este întemeiată. Câmpurile electrice și magnetice corespunzătoare regimurilor luate în discuție sînt descrise de ecuații diferențiale cu derivate parțiale de tip Laplace, Poisson, Helmholtz și Fourier. Aceste ecuații sînt satisfăcute de potențialele : electrice și magnetice (scalare sau vectoriale), sau de componentele spațiale ale vectorilor intensitate de câmp electric sau magnetic și a densității de curent [1], - [7].

Ecuația lui Laplace apare în toate regimurile, în domenii lipsite de distribuții de sarcini electrice volumetrice și de curenți, ecuația lui Poisson caracterizează regimurile curenților și sarcinilor distribuite cu condiția ca influența vitezei de variație a câmpului magnetic să fie neglijabilă, iar ecuațiile de tip Helmholtz și Fourier descriu câmpurile însoțite de curenți turbionari.

Toate ecuațiile enumerate mai sus precum și ecuațiile integrale din care derivă acestea, admit soluții care se pot obține principial cu una din metodele : analitică, de calcul numeric, de modelare sau de aproximare a liniilor de câmp. Precizia ultimei metode depinde în mare măsură de operator și gama de probleme rezolvabile cu ea este prea limitată (doar la câmpuri laplaciene) pentru discutarea utilizării ei.

a. Metodele analitice. Soluțiile obținute cu aceste metode iau forma unor expresii în care parametrii definind câmpul pot fi substituiți, fapt care determină generalitatea soluției respective.

Aceste metode implică de multe ori în mod esențial, determinarea unei funcții potențiale care satisface condițiile de unicitate în domeniul în care se studiază câmpul. În felul acesta funcția respectivă este suma mai multor părți (fiecare separat prezintă o soluție); o parte de obicei sub forma unei serii, descrie efectul influenței frontierei domeniului, iar celelalte descriu efectul surselor de câmp cum ar fi curenții sau sarcinile electrice.

Trebuie remarcat că funcția potențial nu poate fi determinată pentru orice problemă dată și asta nu din cauza dificultății de a găsi soluții care să satisfacă ecuația, ci din cauza dificultății în alegerea soluțiilor potrivite pentru structuri fizice și geometrice diferite cu condiții reale de unicitate ale câmpului.

Există un număr infinit de funcții soluții și oricare combinație liniară a acestora, dar deseori este imposibil de a găsi combinații care să satisfacă condițiile de frontieră pe suprafețele limită de o formă oarecare.

Metoda analitică se poate aplica sub mai multe forme și anume : metoda elementară, metoda imaginilor, metoda separării variabilelor și metoda reprezentării conforme. Aceste metode fiind în general cunoscute din Electrotehnica teoretică, vom releva câteva elemente caracteristice ale ultimelor două metode, care sînt de interes mai mare pentru rezolvarea problemelor considerate în lucrare.

- Metoda separării variabilelor se aplică atunci cînd există un sistem de coordonate în care forma limitei se exprimă printr-o valoare constantă a unei coordonate.

În principiu metoda constă în a încerca soluții sub forma unui produs de funcții, fiecare din acestea depinzînd de cîte o variabilă independentă : coordonată spațială sau timp. În acest mod în locul unei ecuații cu derivate parțiale se ajunge la trei ecuații diferențiale ordinare (în cazul cîmpului bidimensional caracterizat de ecuația lui Fourier). Ecuațiile obținute admit ca soluții netriviiale funcțiile lor proprii. Funcțiile proprii depind de condițiile de integrare ale problemei care în general sînt : condiții de limită, inițiale și de surse. Determinarea acestor funcții proprii în condiții de unicitate prescise se lovește adesea de dificultăți foarte mari, așa încît în general problemele nu sînt rezolvabile exact cu această metodă decît pentru un număr relativ restrîns de probleme [3] , [7] .

- Metoda reprezentării conforme permite reprezentarea conformă a figurilor din planul  $z = x + j y$  cu ajutorul unor funcții analitice în planul  $W = U + jV$ .

Metoda se aplică în două moduri :

- pentru o funcție analitică dată se află sistemul corespunzător din planul  $z$  căruia îi corespunde sistemul cunoscut din  $W$ ;
- se află funcția de transformare a figurii din planul  $z$ , căruia îi corespunde sistemul cunoscut din planul  $W$ .

Mulțimea rezultatelor primului mod de aplicare a funcțiilor analitice, de interes în electrotehnică sînt cunoscute

și tabelate [7].

Al doilea mod de aplicare a transformărilor conforme utilizează teorema lui Schwarz - Christoffel, teoremă care se aplică simplu în special în următoarele cazuri : sistemul are o singură suprafață echipotențială cunoscută alcătuită din linii frân-te (în secțiunea planului câmpului); sistemul are două armături la distanțe frân-te între care se află câmpul laplacian [2].

Cu creșterea numărului unghiurilor liniilor frân-te care urmăresc în planul câmpului suprafețele echipotențiale, se accentuează dificultatea efectuării integralelor aferente metodei și sub aspectul acestei dificultăți se întâlnesc trei tipuri de integrale [7].

- Integrale care se pot exprima prin funcții simple, integrale care formează o soluție exprimabilă pe de-a-ntregul prin funcții simple și majoritatea acestora sînt deja tabelate.

- Integrale exprimabile prin funcții eliptice.

- Integrale care cer evaluarea lor numerică.

Metoda transformărilor conforme este importantă întrucît permite rezolvarea unor probleme de câmp plan-paralel cu forme ale forntierelor mai complicate decît cele din problemele rezol-vabile analitic cu celelalte metode. Cu toate acestea numărul problemelor la care se dau soluții cu această metodă este limitat și mediile în care se aplică trebuie să fie omogene electric res-pectiv magnetic.

Un alt inconvenient care apare la aplicarea transformări-lor conforme constă în faptul că pentru majoritatea problemelor, limitele trebuie să fie considerate infinit permeabile (în pro-blemele de câmp magnetic) sau conductoare (în problemele de câmp electric) sau să coincidă cu o linie de câmp (de fapt cu o su-prafață de câmp), sau combinația acestor două tipuri de limite [7].

b. Metoda de calcul numeric constă în a aproxima ecuațiile diferențiale cu derivate parțiale sau ecuațiile integrale din ca-re se obțin acestea, sau condițiile de minimizare ale unor func-ționale printr-un sistem algebric de ecuații, sistem satisfăcut de valorile mărimii de calcul aleasă (de obicei un potențial) în câteva puncte convenabile alese în interiorul domeniului spațiu sau spațiu-timp al problemei de câmp. Condițiile de unicitate sînt adecvate procedurii de trunchiere pe care îl implică această în-locuire [8],.....,[16].

Cu această metodă se poate rezolva o gamă foarte largă



de probleme atât pentru medii neomogene cât și pentru medii cu neliniarități și anizotropii idealizate. Precizia lor este suficient de bună în raport cu necesitățile practice.

Dezavantajele principale ale acestei metode constau în faptul că procesul de obținere a soluției trebuie repetat pentru fiecare set de parametri ai problemei și în imposibilitatea mijloacelor de calcul obișnuite de a rezolva sisteme mari de ecuații algebrice.

c. Metoda modelării. Soluția ecuațiilor câmpului corespunzătoare acestei metode se obține indirect din valorile măsurate pe un model a mărimii analoge celei care descrie câmpul [16], ..., [30].

Metoda modelării (în medii rezistive și rezistiv-capacitive continue, pe rețele analizoare, probabilistică) a potențialelor din care derivă câmpul electric și câmpul magnetic este uneori greu utilizabilă și presupune erori pe care celelalte metode nu le implică, însă au calitatea de a permite rezolvarea câmpurilor pentru configurații din cele mai complicate, în medii neomogene, neliniare și cu anumite tipuri de anizotropii, pentru câmpuri care se extind până la infinit.

Întrucât modelarea poate avea la bază fie ecuațiile diferențiale cu derivate parțiale fie pe cele algebrice de la calculul numeric și față de oricare din celelalte metode poate rezolva simplu problemele de câmpuri care se extind la infinit, sub aspectul posibilităților ea are un înalt grad de generalitate față de celelalte metode.

Dezavantajul esențial de ordin principial față de metodele analitice, constă în faptul că procesul de obținere a soluției trebuie repetat, ca și la metoda de calcul numeric, pentru fiecare set de parametri ai problemei.

Se remarcă din cele prezentate că metodele calculului numeric și a modelării oferă cele mai largi posibilități de analiză a câmpurilor electrice și magnetice.

Față de calculul numeric, modelarea prezintă câteva avantaje de care trebuie să se țină seama în alegerea uneia sau alteia, și anume, ea dă posibilitatea analizei câmpurilor care se extind în domenii mari și este deosebită mai economică. De asemenea, prin modelare se rezolvă cu mare ușurință problemele de curenți turbionari, chiar și pentru sisteme foarte complicate repartizate în domenii întinse și pentru viteze

de variație a cîmpului magnetic corespunzătoare efectului pelicular mediu.

În rezolvarea problemelor propuse s-a impus luarea în considerare a posibilităților și avantajelor metodei modelării și ca atare s-a optat pentru ea.

Metoda modelării se aplică ușor pentru sisteme care îndeplinesc câteva condiții:

- Corpurile sistemului electromagnetic sînt fixe; în această situație expresia legii inducției electromagnetice se simplifică. Trebuie remarcat că sînt situații cînd pentru sisteme de corpuri mobile analiza cîmpului se poate efectua cu ecuațiile cîmpului corespunzătoare corpurilor fixe dacă sistemul de referință la care se raportează aceste ecuații se fixează de corpul respectiv, influența restului sistemului luîndu-se în considerare prin condiții de frontieră adecvate, variabile în timp.

- Se neglijează contribuția curenților de deplasare în legea circuitului magnetic, cu alte cuvinte se limitează gama de probleme la cele corespunzătoare regimurilor static, staționar și cvasistaționar.

- Cîmpurile sînt bidimensionale. În general cîmpurile sînt tridimensionale dar pentru o mulțime de cazuri de interes practic obținerea soluțiilor implică calcule prohibitive.

Se pot obține soluții de o exactitate suficient de mare folosind o aproximație bidimensională a acestor cîmpuri, adică o analiză a cîmpului cu neglijarea lui într-o anumită direcție.

În lucrarea de față se va acorda atenție doar problemelor de cîmp bidimensional și din motive de simplitate și unitate în prezentare se au în vedere doar cîmpurile plan-paralele în condițiile menționate anterior.

Dintre ecuațiile care descriu cîmpurile electrice și magnetice, ecuațiile cîmpului electromagnetic în conductoare masive în regim cvasistaționar sînt cele mai generale, așa încît la tratarea modelării se vor avea în vedere în primul rînd acestea, mai ales că aplicațiile practice sînt rezolvări de astfel de probleme. Rezultatele pentru celelalte forme ale cîmpului sînt obținute prin particularizări.

Trebuie justificată absența din lucrare a ecuațiilor cu derivate parțiale pe care le satisfac : densitatea locală de curent  $\vec{J}$ , intensitatea cîmpului electric  $\vec{E}$ , intensitatea cîmpului

magnetic  $\vec{H}$  și inducția magnetică  $\vec{B}$ . Motivul principal constă în faptul că ecuațiile respective sînt satisfăcute de vectori și rezolvarea lor ar presupune un volum de lucru în general mai mare decît la rezolvarea unei ecuații diferențiale cu derivate parțiale pe care o satisface potențialele. În plus, pentru ecuațiile în  $\vec{J}$  și  $\vec{E}$  nu se cunosc de obicei condițiile de unicitate [27].

S-a evitat de asemenea tratarea cîmpurilor plane din plăcuțele semiconductoare în care se manifestă efectul Hall, întrucît lucrarea vizează în principal cîmpurile care apar în problemele de curenți tari. Pentru informarea în acest sens se indică lucrarea [28].

Lucrarea nu își propune analiza modelării mașinilor și aparatelor electrice sub aspectul comportării lor la unda de impulsie și în general în regimul tranzitoriu, dar unul din scopurile fundamentale a analizei cîmpului electromagnetic este de a da informații prețioase acestui tip de modelare [29].

### CONTINUTUL LUCRĂRII

Optarea pentru tipul de model utilizat la rezolvarea problemelor propuse s-a făcut în urma unei analize atente a diferitelor metode de modelare care s-au impus în timp.

Pe parcursul documentării, construirii modelelor (în diverse variante și de diferite tipuri) și a măsurătorilor efectuate pe ele, au apărut o seamă de probleme de principiu, de alimentare și măsurare, care pe măsura clarificării lor au fost sistematizate și în felul acesta au apărut părțile A și B ale prezentei lucrări.

Cîteva din rezultatele experimentale publicate parțial sau comunicate alcătuiesc partea C a lucrării.

În afară de INTRODUCERE și cele trei părți lucrarea conține cîteva ANEXE de calcule.

În prima parte (A) se prezintă ecuațiile diferențiale cu derivate parțiale (Cap.I) și sistemele de ecuații algebrice și diferențiale (Cap.II) pe care le satisfac potențialele scalar și cel vectorial, din care derivă intensitățile cîmpurilor electrice și magnetice respectiv inducția magnetică și se precizează condițiile de unicitate (Cap.III).

Partea a doua (B) cuprinde tratarea unitară a modelării câmpurilor plan-paralele integrând-o în teoria generală a analogiei și modelării pe baza analizei criteriale care utilizează tecremele analogiei (Cap.I). Modelarea în medii rezistive și capacitive e cuprinsă în Cap.II, cea pe rețele analizoare în Cap. III, iar cea probabilistică în Cap.IV al acestei părți. Fiecare tip de modelare este analizat critic avîndu-se în vedere posibilitățile de realizare, de măsurare și de interpretare a rezultatelor obținute cu ele. În baza acestei analize tratarea problemelor propuse s-a efectuat cu rețele analizoare pasive.

În partea a treia, (C), se rezolvă trei probleme de câmp electromagnetice cvasistaționare în conductoare masive : problema barelor colectoare în laboratorul de mare putere (Cap.I), a conductorului cilindric de secțiune transversale trapezoidală, plasat într-o creștătură efectuată în material feromagnetic liniar, nesaturat (Cap.II), și a conductorului de secțiune dreptunghiulară, ecranat feromagnetic (Cap.III). Rezolvarea ultimei probleme a avut drept scop confruntarea posibilităților de modelare cu cele ale calculului numeric. În CONCLUZII sînt enumerate principalele contribuții personale și observațiile finale. În linii mari contribuțiile se referă la fundamentarea și dezvoltarea metodelor de modelare, precum și la rezolvarea concretă a unor cazuri de interes deosebit pentru aplicațiile practice.

În ANEXE sînt prezentate : discretizarea cu pas constant la limitele de separație a două medii magnetice diferite (Anexa 1), soluția analitică aproximativă (acoperitoare) pentru problema II-C (Anexa 2), soluția exactă pentru problema tratată în III-C (Anexa 3) și programul scris în FORTRAN corespunzător analizei numerice cu calculatorul a câmpului din problema III-C (Anexa 4).

Teza a fost elaborată sub îndrumarea de excepție, competență și deosebit de atentă a tov.prof.dr.ing. CONSTANTIN SORA, căruia îi mulțumesc și pe această cale pentru indicațiile și sugestiile pe care mi le-a dat întotdeauna cu condescendență.

## A. ECUATIILE CÂMPULUI ELECTROMAGNETIC

În această parte a lucrării se prezintă formele ecuațiilor diferențiale și algebrice pe care le satisfac potențialele scalare și vectoriale din care derivă vectorii câmpului electric respectiv magnetic, ecuații utilizate obișnuit în analiza acestor câmpuri în diferite regimuri electromagnetice și care stau și la baza analizei prin modelare.

### I. ECUATIILE DIFERENȚIALE CU DERIVATE PARTIALE

#### 1.1. Câmpul electrostatic

Pentru regimul electrostatic legea inducției electromagnetice în formă locală ( $\text{rot } \vec{E} = - \frac{\partial \vec{B}}{\partial t}$ ) devine :

$$\text{rot } \vec{E} = 0 \quad (1.1)$$

Relația (1.1) arată că intensitatea câmpului electric  $\vec{E}$ , se poate exprima sub forma

$$\vec{E} = - \text{grad } V, \quad (1.2)$$

(forma locală a teoremei potențialului electrostatic), unde  $V$  este potențialul electrostatic.

Pentru dielectrici izotropi, fără polarizație permanentă, ( $\vec{D} = \epsilon \vec{E}$ ), legea fluxului electric sub formă locală devine

$$\text{div } (\epsilon \vec{E}) = \rho_v, \quad (1.3)$$

$\epsilon$  fiind permitivitatea și  $\rho_v$  - densitatea volumetrică de sarcină electrică.

Ecuațiile (1.2) cu (1.3) dau :

$$\text{div } (\epsilon \text{grad } V) = - \rho_v \quad (1.4)$$

Într-un sistem de axe cartezian, ecuația (1.4) va lua forma :

$$\frac{\partial}{\partial x} (\epsilon \frac{\partial V}{\partial x}) + \frac{\partial}{\partial y} (\epsilon \frac{\partial V}{\partial y}) + \frac{\partial}{\partial z} (\epsilon \frac{\partial V}{\partial z}) = - \rho_v \quad (1.5)$$

Pentru câmpul electrostatic plan-paralel  $E_z = - \frac{\partial V}{\partial z} = 0$  și deci, ecuația (1.5) se reduce la

$$\frac{\partial}{\partial x} (\epsilon \frac{\partial V}{\partial x}) + \frac{\partial}{\partial y} (\epsilon \frac{\partial V}{\partial y}) = - \rho_v \quad (1.6)$$

Dacă sistemul electrostatic considerat nu posedă sar-

cini volumetrică ( $\rho_v = 0$ ), ecuația (1.6) se scrie sub forma :

$$\frac{\partial}{\partial x} \left( \epsilon \frac{\partial V}{\partial x} \right) + \frac{\partial}{\partial y} \left( \epsilon \frac{\partial V}{\partial y} \right) = 0 \quad (1.7)$$

Pentru medii dielectrice liniare și omogene ecuația (1.7) se simplifică, obținându-se ecuația lui Laplace în plan :

$$\nabla^2 V = \frac{\partial^2 V}{\partial x^2} + \frac{\partial^2 V}{\partial y^2} = 0 \quad (1.8)$$

Pentru medii anizotrope permitivitatea este un tensor de ordinul doi, deci produsul  $\vec{E}$  nu mai dă un vector colinear cu  $\vec{E}$ .

În cazul anizotropiei plane când există o diferență accentuată a lui  $\epsilon$  după două direcții ortogonale,  $x$  și  $y$ , exprimând inducția după aceste direcții în funcție de  $\vec{E}$ , la o reprezentare simplificatoare a anizotropiei, se obține [31], [32] :

$$D_x = \epsilon_x E_x; D_y = \epsilon_y E_y \quad (1.9)$$

În acest caz, pentru  $\rho_v = 0$  și  $\frac{\partial \epsilon_x}{\partial x} = \frac{\partial \epsilon_y}{\partial y} = 0$ , din  $\text{div } \vec{D} = 0$ , rezultă :

$$\epsilon_x \frac{\partial^2 V}{\partial x^2} + \epsilon_y \frac{\partial^2 V}{\partial y^2} = 0 \quad (1.10)$$

## 1.2. Cîmpul magnetic în regim staționar

Pentru deducerea ecuației diferențiale cu derivate parțiale care trebuie rezolvată în scopul determinării cîmpului magnetic staționar (și a cîmpului cvasistaționar) se utilizează legea circuitului magnetic ( $\text{rot } \vec{H} = \vec{J}$ ) și legea fluxului magnetic care sugerează introducerea unei funcții vectoriale auxiliare,  $\vec{A}$ , numită vector potențial magnetic, din care să derive  $\vec{B}$ ,

$$\vec{B} = \text{rot } \vec{A}, \quad (1.11)$$

Prin relația (1.11) potențialul vector nu este însă univoc determinat. I se poate adăuga, fără a infirma relația (1.11), orice vector de tip grad  $\varphi$ . Datorită acestei neunivocități i se poate impune lui  $\vec{A}$  o condiție suplimentară; de exemplu se alege  $\text{div } \vec{A} = 0$ .

Cu (1.11) din legea circuitului magnetic se obține :

$$\text{rot} \left( \frac{1}{\mu} \text{rot } \vec{A} \right) = \vec{J} \quad (1.12)$$

Ecuația (1.12) este valabilă pentru orice mediu neomogen și

neliniar (cînd  $B(H)$  este curba de primă magnetizare).

Într-un mediu liniar și omogen ( $\mu = \text{const.}$ ), ecuația (1.12) ia forma :

$$\nabla^2 \bar{A} = -\mu \bar{J} \quad (1.13)$$

$$\text{deoarece : } \text{rot} (\text{rot } \bar{A}) = \text{grad div } \bar{A} - \Delta \bar{A} \quad (1.14)$$

Dacă în domeniul  $D$  există două sau mai multe medii diferite în contact, fiecare avînd o anumită permeabilitate magnetică, pentru fiecare subdomeniu se poate scrie o ecuație de forma (1.13), iar la suprafețele de separație a mediilor trebuie să fie verificată condiția de continuitate a componentelor tangențiale ale vectorului  $\bar{A}$ , [33].

Pentru cîmpul magnetic plan-paralel,  $\bar{J} = \bar{k} J(x,y)$  și  $\bar{A} = \bar{k} A(x,y)$ , [19],  $\bar{k}$  fiind versorul lui  $z$ . Se va obține deci :

$$\bar{B} = \text{rot } \bar{A} = \text{rot} (A \bar{k}) = (\text{grad } A \times \bar{k}) = \frac{\partial A}{\partial y} \bar{i} - \frac{\partial A}{\partial x} \bar{j} \quad (1.15)$$

și de asemenea, dacă  $\bar{B} = \mu \bar{H}$  ( $\mu = \frac{1}{\nu}$  - scalar),

$$\begin{aligned} \text{rot } \bar{H} &= \text{rot} (\nu \bar{B}) = \text{rot} (\nu \text{grad } A \times \bar{k}) = \\ &= - \left( \frac{\partial}{\partial x} (\nu \frac{\partial A}{\partial x}) + \frac{\partial}{\partial y} (\nu \frac{\partial A}{\partial y}) \right) \bar{k} = \bar{J} \end{aligned} \quad (1.16)$$

în care  $\nu$  este reluctivitatea.

Ecuația pe care o satisface  $A$  în medii izotrope, pentru cîmpul magnetic staționar este

$$\frac{\partial}{\partial x} (\nu \frac{\partial A}{\partial x}) + \frac{\partial}{\partial y} (\nu \frac{\partial A}{\partial y}) = -J \quad (1.17)$$

Pentru medii omogene și liniare ( $\mu = \text{const.}$ ) ecuația (1.17) devine :

$$\frac{\partial^2 A}{\partial x^2} + \frac{\partial^2 A}{\partial y^2} = -\mu J \quad (1.18)$$

adică o ecuație este de tip Poisson (ca și ecuația (1.6) pentru  $\epsilon = \text{const.}$ ). Pentru subdomeniile în care  $J = 0$  ea devine o ecuație de tip Laplace.

În tehnică se utilizează deseori tablă electrotehnică care posedă o orientare magnetică preferențială în sensul de laminare. În această tablă, componentele inducției  $\bar{B}$ , presupunînd de exemplu axa  $y$  paralelă cu direcția de laminare, sînt după cum urmează [31]:

$$B_y = \mu_y H_y ; B_x = \mu_x H_x \quad (1.19)$$

Corespunzător cu cele două permeabilități există pentru această tablă două caracteristici diferite de magnetizare, care

cu condiția reprezentării simplificatoare a unei anizotropii ideale, [32], descriu cu suficientă exactitate proprietățile tablei.

Ecuațiile pentru calculul câmpului în medii anizotrope lipsite de curenți electrici sînt :

$$\operatorname{div} \bar{B} = 0 ; \operatorname{rot} \bar{H} = 0$$

Pentru câmpul  $\bar{H}$ , din  $\operatorname{div} \bar{B} = 0$ , rezultă :

$$\frac{\partial}{\partial x} (\mu_x H_x) + \frac{\partial}{\partial y} (\mu_y H_y) = 0 \quad (1.20)$$

Dacă,  $\frac{\partial \mu_x}{\partial x} = 0$  și  $\frac{\partial \mu_y}{\partial y} = 0$ , cu (1.20), ecuația (1.21), devine :

$$\mu_x \frac{\partial^2 V_H}{\partial x^2} + \mu_y \frac{\partial^2 V_H}{\partial y^2} = 0 \quad (1.22)$$

Pentru câmpul  $\bar{B}$ , din  $\operatorname{rot} \bar{H} = 0$ , rezultă :

$$\operatorname{rot} \bar{H} = \bar{k} \left( \frac{\partial}{\partial y} (\nu_x \frac{\partial A}{\partial y}) + \frac{\partial}{\partial x} (\nu_y \frac{\partial A}{\partial x}) \right) = 0 \quad (1.23)$$

Dacă  $\nu_x = \text{const. pe direcția } y$  și  $\nu_y = \text{const. pe direcția } x$ , din ecuația (1.23) se obține :

$$\nu_x \frac{\partial^2 A}{\partial y^2} + \nu_y \frac{\partial^2 A}{\partial x^2} = 0 \quad (1.24)$$

### 1.3. Câmpul magnetic în regim ovasistaționar

Rezolvarea ecuațiilor câmpului electromagnetic corespunzător regimului ovasistaționar se face prin introducerea potențialului vector magnetic,  $\bar{A}$ , în aceleași condiții ca și în cazul câmpului magnetic staționar.

Ecuațiile deduse pentru  $\bar{A}$  sînt aceleași, doar că densitatea de curent  $\bar{J} = J \bar{k}$ , care are de data aceasta și o componentă ce derivă din  $\bar{A}$ , se exprimă sub forma :

$$\bar{J} = \sigma \bar{E} = -\sigma \left( \frac{\partial \bar{A}}{\partial t} + K \right) \bar{k}; \quad (1.25)$$

unde  $K$  este componenta potențială a intensității câmpului electric, constantă în planul câmpului pe secțiunea fiecărui conductor [19].

Ecuațiile (1.17) și (1.18) devin în acest caz

$$\frac{\partial}{\partial x} \left( \nu \frac{\partial A}{\partial x} \right) + \frac{\partial}{\partial y} \left( \nu \frac{\partial A}{\partial y} \right) = -\sigma \left( \frac{\partial A}{\partial t} + K \right) \quad (1.26)$$

$$\frac{\partial^2 A}{\partial x^2} + \frac{\partial^2 A}{\partial y^2} = \mu \sigma \left( \frac{\partial A}{\partial t} + K \right) \quad (1.27)$$



În lipsa unor curenți impuși, din (1.21) rezultă ecuația

$$\frac{\partial^2 A}{\partial x^2} + \frac{\partial^2 A}{\partial y^2} = \mu \sigma \frac{\partial A}{\partial t}, \quad (1.28)$$

care este de tip difuzie.

Ecuația (1.21) este de tip combinat (Fourier).

În ecuația (1.21) :  $-\sigma K$  reprezintă densitatea de curent medie pe secțiunea unui conductor alimentat cu curentul  $i = -S\sigma K$ , iar  $-\sigma \frac{\partial A}{\partial t}$  este densitatea locală a curenților turbionari.

#### 1.4. O ecuație generală cu derivate parțiale

Ecuațiile cu derivate parțiale prezentate pentru medii neliniare, neomogene, izotrope, și câmpuri plan-paralele, derivă prin particularizări din ecuația de tip Fourier.

$$\frac{\partial}{\partial x} \left( \alpha \frac{\partial \varphi}{\partial x} \right) + \frac{\partial}{\partial y} \left( \alpha \frac{\partial \varphi}{\partial y} \right) = \beta \left( \frac{\partial \varphi}{\partial t} + e \right), \quad (1.29)$$

în care  $\alpha$ ,  $\beta$ ,  $e$ , pot fi în caz general funcții de punct.

Dacă prin  $\varphi$  s-a notat mărimea  $A$ ,  $\alpha$  reprezintă reluctivitatea magnetică  $\nu$ ,  $\beta$  - conductivitatea electrică  $\sigma$ , iar  $e$  are semnificația intensității de câmp electric potențial (cu semn schimbat) adică a lui  $K$ .

Pentru câmpurile electrice potențiale  $\frac{\partial \varphi}{\partial t} \equiv 0$  și  $\varphi$  reprezintă pe  $V$ ,  $\alpha$  pe  $\epsilon$ ,  $\beta = -1$  și  $e$  are semnificația densității de volum de sarcină adevărată  $\rho_V$ .

Notarea potențialelor prin  $\varphi$  se va utiliza în continuare acolo unde tratarea câmpurilor enumerate se poate face simultan evitându-se astfel referirile repetate și la un potențial sau altul, la un câmp sau altul.

## II. SISTEME DE ECUAȚII CU VALORI ALE POTENȚIALELOR ÎN PUNCTE FINITE

Fie că este vorba de metoda parabolilor sau de aceea a diferențelor finite, de metoda care are la bază discretizarea tip "celulă", sau de metoda elementelor finite, obținerea sistemelor de ecuații algebrice liniare sau neliniare pe care le satisfac valorile potențialelor într-un număr finit,  $N_S$ , de puncte interioare domeniului plan  $S$ , are la bază aproximarea unei variații simple a potențialelor pe anumite segmente de dreapta, sau în interiorul unor elemente de suprafață.

La oricare din metodele numerice de calcul al câmpului, pe lângă poziționarea celor  $N_s$  puncte interioare cărora li se asociază valorile finite ale potențialelor, este necesară unirea punctelor vecine cu segmente de dreapta. Rețeaua de segmente obținută astfel se numește rețea de discretizare (fig.2.1.)

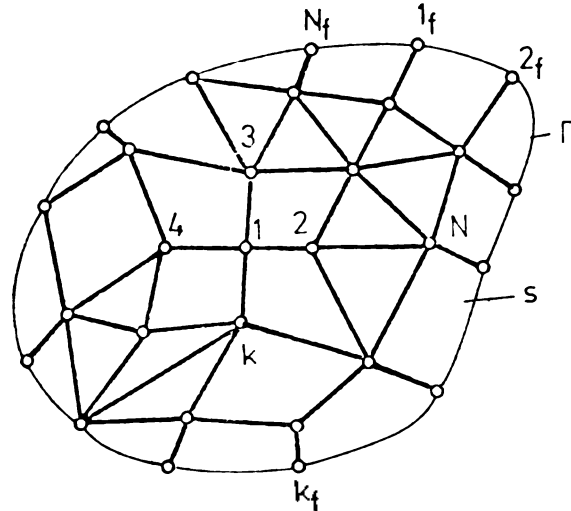


Fig.2.1. - Un exemplu de discretizare a domeniului plan S.

Pentru a obține valorile soluției unei probleme de câmp în punctele  $N_s$  alese prin metoda parabolilor, derivatele din ecuațiile cu derivate parțiale sînt aproximative prin derivatele unor parabole de gradul "n" care trec printr-un număr de "m" puncte ( $m \in N_s$ ). Atunci cînd aceste aproximări se fac prin dezvoltări în serie Taylor rezultatele sînt identice cu cele date de metoda parabolilor [34], obținîndu-se în plus expresiile în diferențe finite centrale, regresive, progresive, ale erorilor de trunchiere.

Metoda care are la bază discretizarea tip "celulă", [18], utilizează legea fluxului electric și legea circuitului magnetic [35], sub formă integrală, admițînd o variație liniară a potențialelor pe elemente de suprafață cu contur patrulateric.

Metoda elementelor finite, prezentată aici doar pentru câmpurile magnetice, are la bază minimizarea funcționalei corespunzătoare (pe unitatea de lungime în direcția normală planului câmpului), cu condiția aproximării unei variații liniare a potențialului pe un element de suprafață triunghiular (elemente finite de ordinul unu).

Sistemele de ecuații pe care le satisfac valorile lui în cele  $N_s$  puncte, au forma generală :

$$[\alpha] \cdot [\varphi] = [\beta]_t \cdot \{[\dot{\varphi}] + [e]\} + [f] \quad (2.1)$$

în care :

- $[\alpha]$  - este o matrice pătratică cu  $N_S \times N_S$  elemente depinzând de dispoziția spațială a celor  $N_S$  puncte și de structura fizică a diviziunilor domeniului S;
  - $[\varphi]$  - matricea coloană a valorilor finite  $\varphi_k$  ( $k \in E [1, 2, 3, \dots, N_S]$ )
  - $[\beta]_t$  - transpusă unei matrici-coloană ai căror termeni depind de structura fizică și geometrică a discretizării domeniului plan;
  - $[\dot{\varphi}]$  - matricea coloană conținând derivatele în raport cu timpul ale componentelor matricii;
  - $[e]$  - matricea coloană conținând  $N_S$  elemente depinzând de excitație ( $\rho_v, J$ );
  - $[f]$  - matrice coloană depinzând de condițiile de frontieră.
- Pentru cîmpurile potențiale matricea  $[\dot{\varphi}]$  nu apare în ecuația (2.1).

În regim sinusoidal  $[\dot{\varphi}] = j\omega [\varphi]$  (la reprezentarea complexă a mărimilor electromagnetice).

Datorită identității rezultatelor și a modurilor de discretizare corespunzătoare metodei parabolilor și aceleia utilizînd dezvoltările în serie Taylor, asupra primei metode nu se va mai insista, iar a doua se va numi "metoda diferențelor finite" (de fapt ambele utilizează diferențele finite).

### 2.1. Metoda diferențelor finite

Transformarea unei ecuații cu derivate parțiale în ecuația cu diferențe finite parțiale corespunzătoare, se obține dezvoltînd în serii Taylor valorile potențialelor în nodurile unei rețele geometrice, obținută prin intersecția unor familii de curbe ortogonale (sau neortogonale) care divizează domeniul S în elemente de suprafață poligonale (triunghiulare, patrulaterice etc.). Din dezvoltările respective se exprimă derivatele parțiale în funcție de valorile potențialelor în cîteva "noduri" ale rețelei de discretizare și de derivatele parțiale de ordin superior celor din ecuație. Neglijînd aceste derivate în expresiile astfel obținute rezultă un sistem de  $N_S$  ecuații algebrice pe care le satisfac valorile potențialului în cele  $N_S$  puncte-noduri interioare domeniului S.

Erorile de trunchiere incluse prin aproximarea prin diferențe finite a derivatelor parțiale, provoacă erori de trunchiere fiecărei mărimi care se calculează din soluția numerică a sistemului  $N_S \times N_S$ . Punerea în evidență a unora dintre aceste

erori a fost motivul pentru care se prezintă această metodă.

Din motive subliniate la sfârșitul paragrafului, se tratează diferențele finite doar pentru medii liniare izotrope și omogene.

Se consideră, pentru simplitate, o discretizare a domeniului  $S$  efectuată de două familii de drepte echidistante în cadrul aceleiași familii, ortogonale : una paralelă cu direcția  $x$ , cealaltă paralelă cu  $y$ .

Intersecțiile interioare lui  $S$  sînt în număr de  $N_g$  și indexarea lor se face cu indicii  $(i,j)$ ,  $i$  variînd după  $x$ , iar  $j$  după  $y$ .

Se consideră de asemenea cîteva puncte interioare reparate ca în fig. 2.2.

Seriile Taylor ale funcției  $\varphi$  în cele patru puncte vecine lui  $(i,j)$  sînt :

$$\varphi_{i+1,j} = \varphi_{i,j} + \sum_{n=1}^{\infty} \frac{h_1^n}{n!} \left( \frac{\partial^n \varphi}{\partial x^n} \right)_{i,j} \quad (2.2 a)$$

$$\varphi_{i,j-1} = \varphi_{i,j} + \sum_{n=1}^{\infty} (-1)^n \frac{h_2^n}{n!} \left( \frac{\partial^n \varphi}{\partial y^n} \right)_{i,j} \quad (2.2 b)$$

$$\varphi_{i-1,j} = \varphi_{i,j} + \sum_{n=1}^{\infty} (-1)^n \frac{h_1^n}{n!} \left( \frac{\partial^n \varphi}{\partial x^n} \right)_{i,j} \quad (2.2 c)$$

$$\varphi_{i,j+1} = \varphi_{i,j} + \sum_{n=1}^{\infty} \frac{h_2^n}{n!} \left( \frac{\partial^n \varphi}{\partial y^n} \right)_{i,j} \quad (2.2 d)$$

Exprimînd laplacianul lui  $\varphi$  în punctul  $(i,j)$ , din aceste expresii rezultă :

$$\begin{aligned} \left( \frac{\partial^2 \varphi}{\partial x^2} + \frac{\partial^2 \varphi}{\partial y^2} \right)_{i,j} &= \frac{1}{h_1^2} (\varphi_{i+1,j} - 2\varphi_{i,j} + \varphi_{i-1,j}) + \\ &+ \frac{1}{h_2^2} (\varphi_{i,j+1} - 2\varphi_{i,j} + \varphi_{i,j-1}) + \frac{\varepsilon_{2x}}{h_1^2} + \frac{\varepsilon_{2y}}{h_2^2} \end{aligned} \quad (2.3).$$

Utilizînd exprimarea derivatelor prin diferențe centrale

$$\frac{\partial^n \varphi}{\partial x^n} \Big|_{i,j} = \sum_{k=0}^n (-1)^k c_n^k \varphi_{i+\frac{n}{2}-k,j} ; \quad (2.4 a)$$

$$\delta_y^n \varphi_{i,j} = \sum_{k=0}^n (-1)^k C_n^k \varphi_{i,j+\frac{n}{2}-k}, \quad (2.4b)$$

cantitățile

$$\varepsilon_{2x} = -2 \sum_{n=0}^{\infty} \frac{h_1^{2n}}{(2n)!} \left( \frac{\partial^{2n} \varphi}{\partial x^{2n}} \right)_{i,j}, \quad (2.5)$$

$$\varepsilon_{2y} = -2 \sum_{n=0}^{\infty} \frac{h_2^{2n}}{(2n)!} \left( \frac{\partial^{2n} \varphi}{\partial y^{2n}} \right)_{i,j}, \quad (2.6)$$

primesc formele :

$$\varepsilon_{2x} = \left( -\frac{\delta_x^4}{12} + \frac{\delta_x^6}{90} - \dots \right) \varphi_{i,j}, \quad (2.7)$$

$$\varepsilon_{2y} = \left( -\frac{\delta_y^4}{12} + \frac{\delta_y^6}{90} - \dots \right) \varphi_{i,j}, \quad (2.8)$$

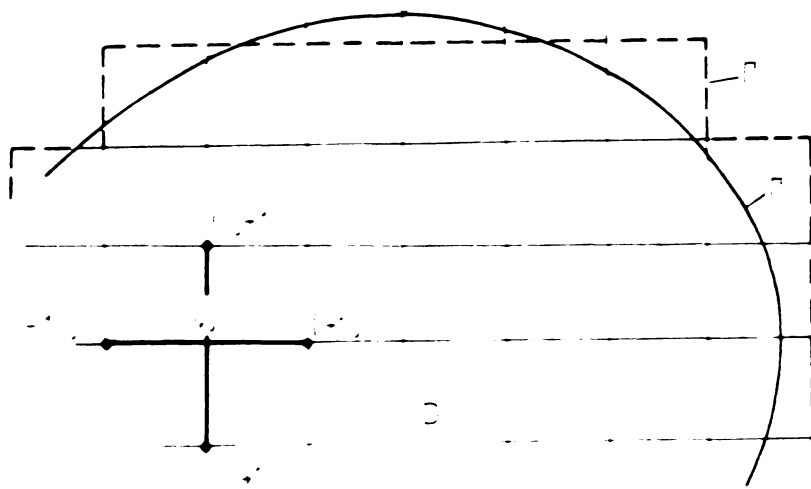
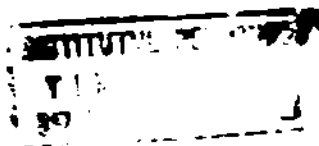


Fig.2.2.

La neglijarea acestor cantități (erorile de trunchiere ale laplacianului), expresia în diferențe finite a lui  $(\nabla^2 \varphi)_{i,j}$  va fi :

$$(\nabla^2 \varphi)_{i,j} = \frac{\varphi_{i+1,j} - 2\varphi_{i,j} + \varphi_{i-1,j}}{h_1^2} + \frac{\varphi_{i,j+1} - 2\varphi_{i,j} + \varphi_{i,j-1}}{h_2^2} \quad (2.9)$$

Pentru discretizarea cu pas constant,  $(h_1=h_2=h)$ , expresia (2.9) ia forma :



348035  
111 F

$$(\nabla^2 \varphi)_{i,j} = \frac{1}{h^2} (\varphi_{i-1,j} + \varphi_{i,j+1} + \varphi_{i+1,j} + \varphi_{i,j-1} - 4\varphi_{i,j}) \quad (2.10)$$

Pentru discretizările adecvate transcrierii laplacianului în coordonate oblice, polare, triunghiulare sînt prezentate dezvoltări asemănătoare în [34].

Evident aproximările se fac în oricare puncte - nod interior domeniului plan, obținîndu-se  $N_s$  valori în diferențe finite ale laplacianului  $\nabla^2 \varphi$ . Schimbînd notațiile :  $\varphi_{i,j} = \varphi_e$  ;  $\varphi_{i,j+1} = \varphi_{e'}$ , ș.a.m.d.p., ( $e, e' \in N_s$ ), ecuațiile cîmpului electric sau magnetic laplacean, vor avea forma :

$$\sum_{e'} \frac{\varphi_{e'} - \varphi_e}{L_{ee'}} = 0 ; \quad (2.11)$$

cu  $L_{ee'}$  - distanța dintre  $e$  și  $e'$  sau în forma matricială :

$$[\alpha] \cdot [\varphi] = [f] \quad (2.12)$$

Matricea coloană  $[f]$  include condițiile de frontieră care apar în ecuațiile corespunzătoare nodurilor vecine frontierei  $\Gamma$ .

Sistemul (2.11) este diagonal și ca urmare se pretează la o rezolvare numerică iterativă [8], [9], [34] etc..

În cazul cîmpurilor poissoniens, la care

$$\nabla^2 \varphi = \beta e(x,y) = \begin{cases} -\frac{\rho_v}{\epsilon}, & \text{pentru cîmpurile electrice } (\varphi \equiv V) ; \\ -\mu J, & \text{pentru cîmpurile magnetice } (\varphi \equiv A) ; \end{cases}$$

funcțiile de excitație  $e(x,y)$ , ( $\rho_v$  sau  $J$ ) iau valorile  $e_k$  astfel că pentru cele  $N_s$  puncte se poate scrie sistemul de ecuații:

$$[\alpha] \cdot [\varphi] = [\beta] \cdot [e] + [f] \quad (2.13)$$

În tehnica curenților tari se întîlnesc de prea puține ori cîmpuri electrice cu distribuție volumetrică de sarcină electrică, astfel încît ecuația (2.12) vizează în primul rînd cîmpurile magnetice și în acest caz ea are forma :

$$[\alpha] \cdot [A] = -\mu [J] + [\alpha'] \cdot [A_f] \quad (2.14)$$

Matricea  $[A_f]$  conține condițiile de frontieră, de obicei de tip Neumann.

În condițiile acceptate, ecuația de tip Fourier se întîlnește la cîmpurile magnetice în care contribuția variației în timp a inducției magnetice este apreciabilă, adică la probleme-

mele cu efect de refulare, și în aceste cazuri, pentru medii liniare, în regim sinusoidal, cu (1.19) sistemul de ecuații algebrice scris în complex, ia forma :

$$[\alpha][\underline{A}] = \mu \sigma \{ [j\omega \underline{A}] + [\underline{e}'] \} \quad (2.15)$$

Matricea  $\underline{e}$  are termenii de forma :

$$\underline{e}'_k = \underline{K}_k + \underline{A} f_k$$

în care  $\underline{A} f_k$  sînt termeni conținînd condițiile de frontieră impuse pentru  $\underline{A}$ .

Ecuațiile deduse se utilizează foarte comod în analiza cîmpurilor pe rețele analizoare de tip R și RC.

În cadrul celorlalte metode se va trata problema obținerii sistemelor pornindu-se de la cazul cîmpurilor în medii cu un anumit tip de neliniaritate, sistemele de ecuații algebrice pentru medii liniare obținîndu-se prin particularizare.

De asemenea, modul de introducere a condițiilor de frontieră pentru diferite tipuri de frontieră, se va discuta comparativ în ultimul paragraf al capitolului.

## 2.2. Discretizarea tip "celulă" (Metoda lui Gafr)

Această metodă a fost tratată unitar pentru toate cîmpurile fizice de tip poissonian în [18] și particularizată pentru cîmpuri magnetice în [35] .

Metoda are la bază utilizarea legii fluxului electric (pentru cîmpurile electrice) și legea circuitului magnetic (pentru cîmpurile magnetice) în formele lor integrale, pentru subdomenii plane suficient de mici, subdomenii denumite "celule", limitate de contururi poligonale.

Pentru tratarea metodei e necesară deci, prezentarea formelor integrale ale acelor legi, pentru cîmpurile plan-paralele.

a. Legea fluxului electric. Forma integrală a legii fluxului electric pentru medii izotrope liniare și neomogene,

$$\int_{\Sigma} (\bar{D} \cdot \bar{ds}) = q_{\Sigma}, \quad (2.16)$$

ia pe baza explicativei din fig.2.3 următoarele expresii pentru cîmpul plan-paralel :

$$\int_{\Sigma} (\overline{D} \cdot \overline{ds}) = \int_{S_e} (\overline{D} \cdot \overline{ds}_e) = - \int_{S_e} (\varepsilon \operatorname{grad} V) \cdot (\overline{n} h_c dl) =$$

$$= - h_c \oint_{\Gamma} \varepsilon \frac{\partial V}{\partial n} dl = q = \int_V \rho_v dv = h_c \int_{S_r} \rho_v ds \quad (2.17)$$

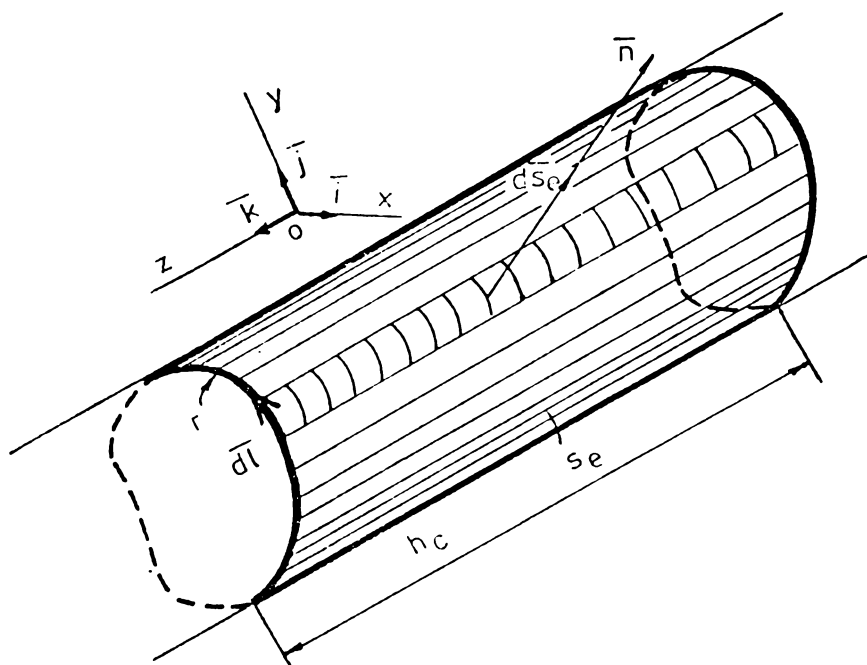


Fig.2.3. Explica-  
tivă la relațiile  
(2.17)

în care :  $S_e$  este suprafața generatoare a unui volum cilindric de înălțime  $h_c$  (în direcția  $z$ , normală pe planul cîmpului);  $ds_e$  -elementul de suprafață pe  $S_e$  :

$$\overline{ds}_e = \overline{n} ds_e = \overline{n} h_c dl;$$

$\overline{n}$  - normala exterioară lui  $S_e$ , respectiv curbei (care reprezintă intersecția lui  $S_e$  cu planul cîmpului);

$\Sigma$  - suprafața închisă compusă din  $S_e$  și suprafețele-baze  $S_r$  ;

$\frac{\partial V}{\partial n}$  - derivata potențialului  $V$  după normala  $\overline{n}$ .

Menționînd ultima egalitate, pentru mediile neomogene se poate scrie :

$$\oint_{\Gamma} \varepsilon \frac{\partial V}{\partial n} dl = \begin{cases} - \int_{S_r} \rho_v ds & ; \rho_v \neq 0 ; \\ 0 & ; \rho_v = 0 . \end{cases} \quad (2.18)$$

Pentru medii omogene ( $\varepsilon = \text{const. pe } \Gamma$ ),

$$\oint_{\Gamma} \frac{\partial V}{\partial n} dl = \begin{cases} - \frac{1}{\varepsilon} \int_{S_r} \rho_v ds ; \\ 0 \end{cases} \quad (2.19)$$



Ecuațiile (2.18) și (2.19) se pretează la o aproximare a integralelor conținute de ele prin valori finite în urma discretizării planului câmpului prin elemente tip "celulă",

b. Legea circuitului magnetic. La neglijarea curentului de deplasare, legea circuitului magnetic sub formă integrală are expresia :

$$\oint_{\Gamma} (\vec{H} \cdot d\vec{l}) = \int_S (\vec{J} \cdot d\vec{s}) \quad (2.20)$$

cu semnificațiile lui  $\Gamma$ ,  $d\vec{l}$ ,  $S_{\Gamma}$ ,  $d\vec{s}$  prezentate în fig.2.4.

Cum  $\vec{B}$  se poate exprima :

$$\vec{B} = \text{rot}(A\vec{k}) = \frac{\partial A}{\partial y} \vec{i} - \frac{\partial A}{\partial x} \vec{j} = (\text{grad } A \times \vec{k}) = \mu \vec{H}, \quad (2.21)$$

prin înlocuirea lui  $\vec{H}$  în prima parte a egalității (2.20), aceasta ia forma :

$$\begin{aligned} \oint_{\Gamma} (\vec{H} \cdot d\vec{l}) &= \oint_{\Gamma} \nu (\text{grad } A \times \vec{k}) \cdot d\vec{l} = - \oint_{\Gamma} \nu (\text{grad } A \cdot \vec{n}) dl = \\ &= - \oint_{\Gamma} \nu \frac{\partial A}{\partial n} dl \end{aligned} \quad (2.22)$$

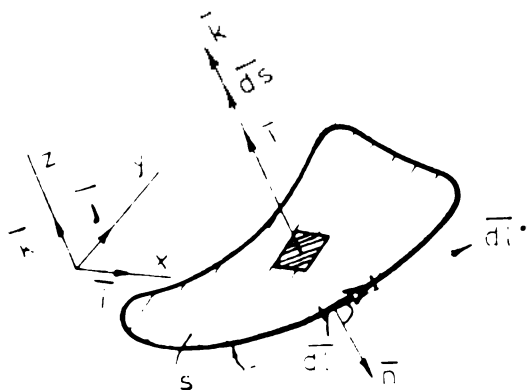


Fig.3.4. Explicativă la (2.20) și (2.22).

Ecuația (2.20) pentru câmpurile magnetice plan-paralele în medii neomogene se mai poate descrie cu (2.22) :

$$\oint_{\Gamma} \nu \frac{\partial A}{\partial n} dl = - \int_{S_{\Gamma}} J ds \quad (2.23)$$

știind că ;

$$\vec{J} = J \vec{k} \quad \text{și} \quad d\vec{s} = \vec{k} ds \quad (2.24)$$

Pentru medii omogene din punct de vedere magnetic ( $\nu = \text{const. pe } \Gamma$ ) ecuația (2.24) se rescrie astfel :

$$\oint_{\Gamma} \frac{\partial A}{\partial n} dl = - \mu \int_S J ds \quad (2.25)$$

Si expresiile (2.23) și (2.25) se pretează la aproximări prin valori finite la o discretizare tip "celulă".

Ecuațiile sînt adevărate și pentru neliniaritățile<sup>la</sup> care se neglijează histerezisul, adică pentru situațiile în care  $B = \mu \cdot H$ ,  $\mu$  fiind un scalar.

Se aleg în domeniul  $S$  al problemei de cîmp electric sau magnetic, un număr  $N'_S$  de elemente de suprafață, suficient de mici, numite celule și delimitate de linii poligonale închise. Aceste celule nu au nici un punct comun cu frontiera  $\Gamma$  și au, fiecare, cîte o latură comună cu fiecare din celulele vecine. Se divizează apoi aria rămasă între curba și celulele trasate în  $N''_S$  celule astfel alese încît fiecare dintre ele are cîte o latură comună cu cele vecine aparținînd mulțimii  $N'_S$  și mulțimii  $N''_S$  și cîte o latură aproximînd o porțiune dintre lungimea lui  $\Gamma$ . Se obțin în modul acesta  $N_S = N'_S + N''_S$  celule care cuprind aria suprafeței  $S$ .

Se aleg apoi  $N'_S$  puncte interioare, cîte unul de fiecare din cele  $N'_S$  celule, astfel încît segmentele care unesc cîte două din punctele vecine să intersecteze normal latura comună celulelor cărora aceste puncte le aparțin. Se mai alege cîte un punct interior fiecărui element din cele  $N''_S$  elemente de arie care au o latură pe (sau aproximînd o porțiune din  $\Gamma$ ) respectîndu-se condiția pentru cele aparținînd mulțimei  $N'_S$  și în plus ținîndu-se seama de următoarele condiții :

- dacă condițiile de frontieră pentru problema de cîmp sînt de tip Dirichlet cele  $N''_S$  puncte semnificative se plasează la o anumită distanță de latura care urmărește frontiera;
- dacă condițiile sînt de tip Neumann ele pot fi interioare sau pe curba  $\Gamma$ .

Respectarea acestor condiții se realizează prin modificarea laturilor comune celor două grupe  $N'_S$  și  $N''_S$  de elemente și a laturilor comune elementelor vecine aparținînd mulțimii  $N_S$ .

În figura 2.5 este prezentată o divizare cu alegerea

celor  $N_s$  puncte semnificative, pentru condiții de frontieră de tip Neumann.

Se va prezenta spre exemplificare modul de aproximare pentru ecuația (2.23), respectiv pentru câmpul magnetic.

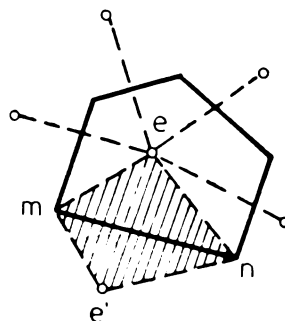
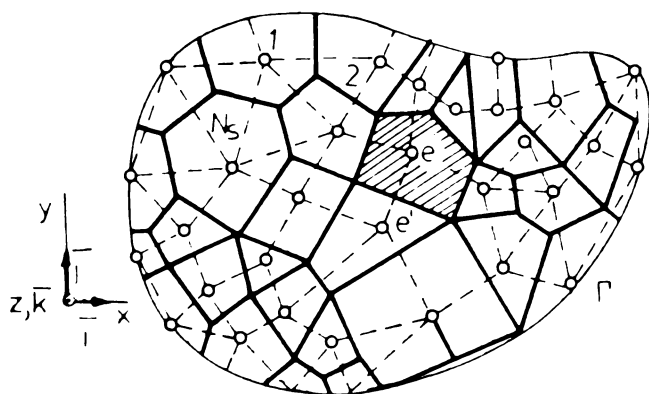


Fig.2.5 - Discretizarea tip celulă pentru condiții de frontieră Neumann

Fig.2.5' Celula "e" din fig.2.5 (mărită)

Admițînd o variație liniară pentru  $A(x,y)$  pe fiecare element patrulateric  $eme'n$  și  $\nu = \text{constant}$  în interiorul acestuia, (fig.2.5'), valoarea integralei din prima parte a egalității (2.23) pe conturul celulei „e” va fi :

$$\oint_{\Gamma_e} \nu \frac{\partial A}{\partial n} dl = \sum_P \frac{A_e - A_{e'}}{L_{ee'}} L_{mn} \quad (2.26)$$

în care :  $\Gamma_e$  este perimetrul celulei "e" ,

$P$  - numărul patrulaterelor corespunzătoare celulei "e";

$A_e$ ;  $A_{e'}$  - valorile potențialelor în "e" respectiv în punctul vecin "e' " ;

$L_{ee'}$ ;  $L_{mn}$  - lungimile segmentelor normale  $ee'$  și  $mn$

$$L_{mn}^2 = (x_n - x_m)^2 + (y_n - y_m)^2 \quad (2.27)$$

$$L_{ee'}^2 = (x_{e'} - x_e)^2 + (y_{e'} - y_e)^2$$

A doua parte a egalității (2.23) se poate evalua astfel :

$$-\int_{S_0} J ds = -\sum_T J_{med} S_{\Delta} \quad (2.28)$$

$J_{med}$  fiind valoarea medie a densității de curent pe un element de arie triunghiular  $S_{\Delta}$  (aria triunghiului  $e_{mn}$ ), iar  $S_c$  - aria celulei "e".

Cum, în cazul cel mai general tratat aici,  $J$  are expresia :

$$J = -\sigma \left( \frac{\partial A}{\partial t} + K. \right),$$

acceptînd și pentru  $J$  o variație liniară pe fiecare triunghi  $lmn$  de arie  $S_{\Delta}$ , rezultă

$$-\int_{S_c} J ds = \frac{1}{3} \sum_T \sigma \left[ \frac{\partial}{\partial t} (A_e + A_m + A_n) + K_e + K_m + K_n \right] S_{\Delta} \quad (2.29)$$

care cu (2.26) și (2.29), relația (2.23) devine :

$$\sum_P \nu \frac{A_{e'} - A_e}{L_{ee'}} L_{lmn} = \frac{1}{3} \sum_T \sigma \left[ \frac{\partial}{\partial t} (A_e + A_m + A_n) + K_e + K_m + K_n \right] S_{\Delta} \quad (2.30)$$

în care :

$$S_{\Delta} = \frac{1}{2} \begin{vmatrix} 1 & x_e & y_e \\ 1 & x_m & y_m \\ 1 & x_n & y_n \end{vmatrix} \quad (2.31)$$

iar  $T$  indexează triunghiurile  $lmn$  (în număr egal cu patrulatele  $e'men$ ).

Întrucît numărul de celule pentru care putem scrie (pentru  $S$ ) ecuații algebrice de tipul (2.30) este  $N_s$ , iar valorile semnificative care trebuie să intervină în (2.30) sînt  $A_e$  și  $A_{e'}$ , sau dacă se vrea  $A_m$  și  $A_n$ , este necesară eliminarea unei perechi de valori, de exemplu a lui  $A_m$  și  $A_n$ , din ecuația respectivă.

Punînd condiția ca cele patru puncte  $A_e, A_{e'}, A_m$  și  $A_n$  să fie coplanare în sistemul  $(A, x, y)$ , (fig.2.6), rezultă :

$$A_e \frac{L_{ep}}{L_{ee'}} + A_{e'} \frac{L_{ep}}{L_{ee'}} = A_m \frac{L_{np}}{L_{mn}} + A_n \frac{L_{mp}}{L_{mn}} \quad (2.32)$$

Deci chiar dacă s-ar exprima  $A_m$  sau  $A_n$  în funcție de celelalte trei valori cu relația (2.32), la o aproximație liniară a lui  $J$  pe triunghiurile elementare  $lmn$ , sistemul  $N_s$  ecuație

de tipul (2.30) are mai multe necunoscute decât sînt necesare în caz general.

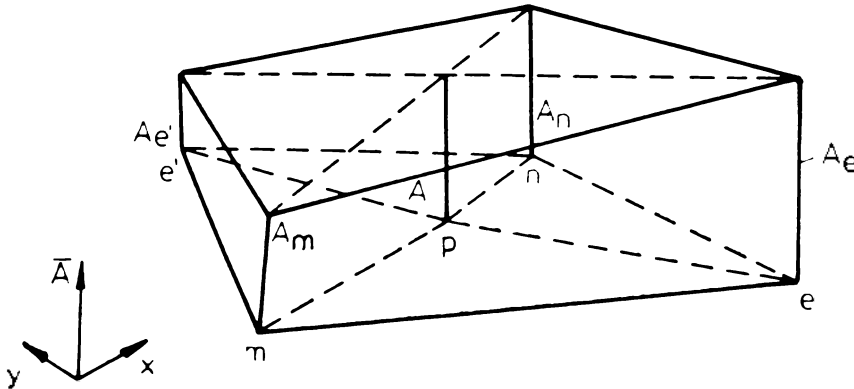


Fig.2.6. Explicați-vă la relația (2.32)

S-ar părea că există două situații în care se poate elimina această dificultate. În primul rînd, în cazul că  $e'$  se confundă cu  $p$ , respectiv  $L_{e',p} = 0$ ,  $A_e$  s-ar exprima în funcție de  $A_m$  și  $A_n$  și luînd ca puncte semnificative ale domeniului  $S$ , vîrfurile poligoanelor celulelor ar rezulta un sistem determinat de ecuații în  $A_e$ ,  $A_m$ ,  $A_n$  (cu  $m, n, e$  aparținînd mulțimii vîrfurilor poligoanelor cuprinse în  $S$ ). În acest caz în ecuațiile (2.30) nu ar mai fi corecte întrucît de-a lungul segmentului  $mn$  intensitatea cîmpului magnetic prezintă o discontinuitate de speța a I-a. În adevăr, pentru :

$$A(x,y) = \alpha_1 + \alpha_2 x + \alpha_3 y \text{ pe un triunghi } emn,$$

$$\vec{H} = \nabla \text{rot}(Ak) = \nabla(\text{grad } A \times \vec{k}) = \nabla(\alpha_3 \vec{i} - \alpha_2 \vec{j}) = \text{const.}$$

Deci, la acceptarea variației liniare a lui  $A(x,y)$  pe un triunghi se admite automat o repartiție strict superficială a densității de curent și anume de-a lungul fețelor prismelor de secțiune transversală  $S_\Delta$ . Tratarea corectă a acestui caz, astfel încît să fie respectată legea circuitului magnetic, se poate face fără dificultate cu metoda elementelor finite, fără a utiliza densități superficiale de curenți.

Al doilea caz, în care apariția lui  $A_m$  și  $A_n$  în ecuația (2.30) nu deranjează, este acela în care :

$$A_m + A_n = A_e + A_{e'} \quad (2.33)$$

adică situația în care paralelogramele  $e m e' n$  sînt romburi.

Cu această condiție restrictivă pentru cîmpurile cu curenți turbionari, ecuația (2.30) primește forma :

$$\sum_P \left[ \frac{A_{e'} - A_e}{L_{ee'}^2} - \frac{\sigma}{12} \frac{\partial}{\partial t} (A_{e'} - A_e) \right] \nu L_{ee'} L_{mn} = \frac{1}{4} \sum_P \left( \frac{\partial A_e}{\partial t} + \frac{K_e + K_m + K_n}{3} \right) L_{ee'} L_{mn} \quad (2.34)$$

observînd că :  $L_{ee'} \cdot L_{mn} = 4S_{\Delta}$

Pentru  $P = 4$  (fig.2.7b), ecuația (2.34) se poate compara cu ecuația obținută prin metoda diferențelor finite la discretizarea din fig.2.7a :

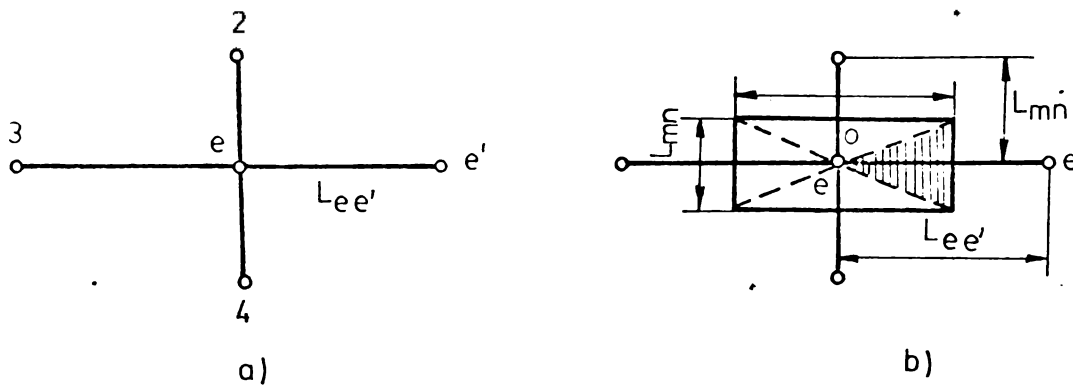


Fig.2.7.

Prin metoda diferențelor finite se obține :

$$\sum_P \nu \frac{A_{e'} - A_e}{L_{ee'}^2} = \sigma \left( \frac{\partial A_e}{\partial t} + K_e \right) \quad (2.35)$$

iar din (2.34) :

$$\sum_{P=1}^4 \nu \left[ \frac{A_{e'} - A_e}{L_{ee'}^2} - \frac{\sigma}{12} \frac{\partial}{\partial t} (A_{e'} - A_e) \right] = \sigma \left( \frac{\partial A_e}{\partial t} + \sum_{P=1}^4 \frac{K_e + K_m + K_n}{12} \right) \quad (2.36)$$

Deci față de metoda diferențelor finite, metoda de față dă rezultate îmbunătățite atît în ce privește structura matricilor  $[\beta]_t$  și  $[\alpha]$  (v.sistemul (2.1) și (2.15)) pentru cîmpuri sinusoidale cît și în ceea ce privește evaluarea lui  $K$ , respectiv a ma-

tricilor de excitație.

La neglijaarea vitezei de variație a lui  $A$  ecuațiile (2.35) și (2.36) diferă doar când pe interiorul celulei  $k = f(x,y)$  dacă se ia o discretizare cu patrulater rombic. În acest caz discretizarea tip celulă se poate aplica foarte elastic.

Pentru câmpurile electrice rezultatul se poate scrie direct :

$$\sum_P \varepsilon \frac{V_{e'} - V_e}{L_{ee'}} L_{mn} = \frac{1}{12} \sum_P (\rho_e + \rho_m + \rho_n) L_{ee'} \cdot L_{mn} \quad (2.37)$$

Pentru câmpuri laplaciene ecuația (2.37) se reduce la :

$$\sum_P \varepsilon \frac{V_{e'} - V_e}{L_{ee'}} L_{mn} = 0$$

care pentru medii omogene devine :

$$\sum_P \frac{V_{e'} - V_e}{L_{ee'}} L_{mn} = 0 \quad (2.38)$$

### 2.3. Metoda elementelor finite

Metoda elementelor finite are la bază aplicarea unor principii variaționale și constă în obținerea unor sisteme de ecuații algebrice satisfăcute de un număr finit de valori ale potențialelor, prin minimizarea unei anumite funcționale [36], [37].

Pentru câmpul electric în medii izotrope, fără polarizație permanentă, funcționala are forma :

$$F_e = \int_S \left( \int_0^E e ds - \rho_v V \right) ds \quad (2.39)$$

$$F_m = \int_S \left( \int_0^B b db - JA \right) ds \quad (2.40)$$

$F_e$  și  $F_m$  sînt funcționale-energie.

Condiția de extremum impusă integranzilor , care este dată de ecuația lui Euler :

$$\frac{\partial}{\partial x} \left[ \frac{\partial w}{\left( \frac{\partial \varphi}{\partial x} \right)} \right] + \frac{\partial}{\partial y} \left[ \frac{\partial w}{\left( \frac{\partial \varphi}{\partial y} \right)} \right] - \frac{\partial w}{\partial \varphi} = 0, \quad (2.41)$$

în care  $\varphi$  reprezintă pe  $V$ , respectiv  $A$ , împreună cu expresiile :

$$E^2 = \left(\frac{\partial V}{\partial x}\right)^2 + \left(\frac{\partial V}{\partial y}\right)^2 \text{ și } B^2 = \left(\frac{\partial A}{\partial x}\right)^2 + \left(\frac{\partial A}{\partial y}\right)^2 ,$$

devine

$$\frac{\partial}{\partial x} \left( \epsilon \frac{\partial V}{\partial x} \right) + \frac{\partial}{\partial y} \left( \epsilon \frac{\partial V}{\partial y} \right) = -\rho_v , \quad (2.43)$$

respectiv

$$\frac{\partial}{\partial x} \left( \nu \frac{\partial A}{\partial x} \right) + \frac{\partial}{\partial y} \left( \nu \frac{\partial A}{\partial y} \right) = -J \quad (2.44)$$

Ecuațiile (2.43) și (2.44) reprezintă formele locale în  $V$ , respectiv în  $A$ , a legii fluxului electric, respectiv, a legii circuitului magnetic.

Se aleg în domeniul  $S$ ,  $N_s$  puncte interioare "potrivit repartizate" și un număr  $N_f$  de puncte pe frontiera  $\Gamma$  (fig.2.8).

Aflarea sistemelor de ecuații algebrice pe care le satisfac potențialele  $V$  respectiv  $A$ , prin această metodă, se efectuează prin minimizarea funcționalelor (2.39) respectiv (2.40), în anumite condiții de aproximare a variației acestor potențiale în subdomenii delimitate de linii poligonale obținute prin unirea unor puncte vecine. Expresia "potrivit repartizate" se interpretează prin "eroare de trunchiere acceptabilă".

Se vor utiliza în cele ce urmează elementele finite de ordinul 1, cu alte cuvinte aproximații liniare pentru  $V$  și  $A$  și se va admite constanța lui  $\epsilon$  și  $\nu$ , în interiorul fiecăruia din triunghiurile elementare în care se divizează  $S$  (fig.2.8) [36], [37], [38]; se pot face și exprimări prin polinoame de ordin superior, însă expresiile obținute astfel, sînt mai complicate.

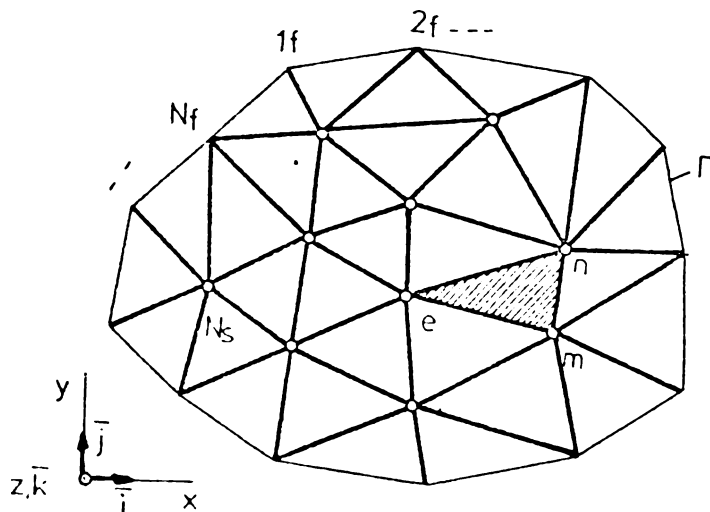


Fig.2.8. Discretizarea domeniului  $S$  (delimitat de frontieră) pentru elementele finite de ordinul 1.

Pentru un triunghi elementar oarecare,  $emn$ , în cazul problemei de câmp electric, se aproximează deci :



$$V(x,y) = \alpha_{v1} + \alpha_{v2}x + \alpha_{v3}y \quad (2.45)$$

iar pentru problema de câmp magnetic,

$$A(x,y) = \alpha_{A1} + \alpha_{A2}x + \alpha_{A3}y \quad (2.46)$$

În continuare se deduc relațiile între valorile finite doar pentru câmpul magnetic, relațiile pentru problema de câmp electric obținându-se prin înlocuirea mărimilor : A cu V,  $\gamma$  cu  $\varepsilon$  și J cu  $\rho_v$ .

Expresiile coeficienților  $\alpha_{Ai}$  ( $i = 1,2,3$ ) se deduc impunând condițiile ca A să ia valorile  $A_e$  în punctul e,  $A_m$  în m și  $A_n$  în n :

$$\begin{aligned} A_e &= \alpha_{A1} + \alpha_{A2} x_e + \alpha_{A3} y_e \\ A_m &= \alpha_{A1} + \alpha_{A2} x_m + \alpha_{A3} y_m \\ A_n &= \alpha_{A1} + \alpha_{A2} x_n + \alpha_{A3} y_n \end{aligned} \quad (2.47)$$

Din sistemul (2.49) rezultă :

$$\begin{aligned} \alpha_{A2} &= \frac{1}{D} \left[ (y_m - y_n) A_e + (y_n - y_e) A_m + (y_e - y_m) A_n \right] \\ \alpha_{A3} &= \frac{1}{D} \left[ (x_n - x_m) A_e + (x_e - x_n) A_m + (x_m - x_e) A_n \right] \end{aligned} \quad (2.48)$$

$$D = (x_m y_n - x_n y_m) + (x_n y_e - x_e y_n) + (x_e y_n - x_m y_e).$$

D fiind dublul ariei triunghiului emn ( $D = 2S_{\Delta}$ ).

În interiorul triunghiului elementar inducția magnetică are expresia :

$$\vec{B} = \alpha_{A3} \vec{i} - \alpha_{A2} \vec{j} \quad (2.49)$$

și deci

$$B^2 = \alpha_{A2}^2 + \alpha_{A3}^2 \quad (2.50)$$

La o distribuție dată a lui J, (în cazul problemelor în care  $\frac{\partial B}{\partial t} = 0$ ), se poate echivala pentru orice triunghi elementar o valoare medie care înmulțită cu aria  $\frac{D}{2}$  a triunghiului respectiv, dă curentul elementar corespunzător acestuia. Astfel, în condițiile acceptate ( $\gamma = \text{const. pe triunghi și } A - \text{ funcție liniară de } x \text{ și } y$ ), funcționala (2.39) este o funcție de valorile  $A_e$  ( $e \in [1,2,\dots,N_s]$ ) și condiția de extremum este echivalentă cu  $N_s$  condiții :

$$\frac{\partial F_m}{\partial A_e} = 0 \quad (2.51)$$

Ținînd seama de (2.40), (2.46) și (2.50), după calcule simple rezultă din condițiile (2.51) rezultă  $N_s$  ecuații de tipul :

$$A_e \sum_T \nu k_{1T} + \sum_T (A_m \nu k_{2T} + A_n \nu k_{3T}) = \frac{1}{6} \sum_T JD \quad (2.52)$$

unde :

$$k_{1T} = \frac{1}{2D} \left[ (y_m - y_n)^2 + (x_n - x_m)^2 \right]$$

$$k_{2T} = \frac{1}{2D} \left[ (y_m - y_n)(y_n - y_e) + (x_n - x_m)(x_e - x_n) \right] \quad (2.53)$$

$$k_{3T} = \frac{1}{2D} \left[ (y_m - y_n)(y_e - y_m) + (x_n - x_m)(x_m - x_e) \right]$$

Indicele "T" indică un triunghi care are unul din vîrfuri în „e” : însumarea se face deci pentru toate triunghiurile cu vîrful comun „e” .

Dacă excitația J este o funcție de timp, se împarte domeniul timp, t, în care se studiază cîmpul, în intervale  $\Delta t_k$ , suficient de mici și se rezolvă sistemul alcătuit din cele  $N_s$  ecuații de tipul (2.52) la finalul fiecărui interval  $\Delta t_k$ , utilizînd valorile corespunzătoare pentru  $\nu$  din curba B(H).

În lipsa densității de curent, pentru medii liniare ecuația (2.52) devine :

$$A_e \sum_T \nu k_{1T} + \sum_T (A_m \nu k_{2T} + A_n \nu k_{3T}) = 0 \quad (2.54)$$

Pentru probleme de cîmp electric ecuația (2.52) se transformă astfel :

$$V_e \sum_T \varepsilon k_{1T} + \sum_T (V_m \varepsilon k_{2T} + V_n \varepsilon k_{3T}) = \frac{1}{6} \sum_T \rho_v D \quad (2.55)$$

Cîmpurile electrice laplaciene în medii neomogene și omogene, vor fi descrise de cîte  $N_s$  ecuații de forma :

$$V_e \sum_T \varepsilon k_{1T} + \sum_T (V_m \varepsilon k_{2T} + V_n \varepsilon k_{3T}) = 0 \quad (2.56)$$

respectiv

$$V_e \sum_T k_{1T} + \sum_T (V_n k_{2T} + V_n k_{3T}) = 0 \quad (2.57)$$

Revenind la problema de cîmp magnetic și cunoscînd importanța curenților turbionari în tehnică, se impune precizarea modului de obținere variațională a ecuațiilor algebrice și pentru acest tip de probleme.

S-ar părea că întrucît în expresia lui  $J$  (v.rel.(1.19)) intră derivata în raport cu timpul a lui  $A(x,y,t)$ , problema minimizării se complică știut fiind că în regim sinusoidal, la transformarea în complex a mărimilor electromagnetice,  $J$  depinde liniar de  $A$ . Dificultatea este doar aparentă făcînd observația că deducerea formei locale a legii circuitului magnetic pentru cîmpul quasistaționar în conductoare masive (1.19) se obține introducînd pe  $J$  dat de (1.19) după procesul de minimizare, așa încît în procesul de minimizare această mărime poate fi considerată specificată. Ținînd seama de faptul că în acest caz ea nu mai este constantă pe secțiunea unui conductor, se poate admite o variație aproximativă, liniară, pentru ea, pe fiecare element triunghiular, de forma :

$$J(x,y) = \alpha_{J1} + \alpha_{J2}x + \alpha_{J3}y \quad (2.58)$$

constantele  $\alpha_{Jk}$  ( $k = 1,2,3$ ) obținîndu-se din valorile  $\alpha_{Ak}$  în care se înlocuiesc  $A_e, A_m, A_n$  cu  $J_e, J_m, J_n$ .

Introducînd expresiile (2.46) și (2.58) în (2.40), din condiția (2.51) rezultă cele  $N_e$  ecuații de forma :

$$A_e \sum_T \gamma k_{1T} + \sum_T (A_m \gamma k_{2T} + A_n \gamma k_{3T}) = \frac{1}{24} \sum_T (2J_e + J_m + J_n) D \quad (2.59)$$

Relația (1.19) rescrisă aici :

$$J = -\sigma \left( \frac{\partial A}{\partial t} \right) + K \quad (2.60)$$

primește în e,m,n, formele :

$$\begin{aligned} J_e &= -\sigma_e \left( \frac{\partial A_e}{\partial t} + K_e \right), \\ J_m &= -\sigma_m \left( \frac{\partial A_m}{\partial t} + K_m \right), \\ J_n &= -\sigma_n \left( \frac{\partial A_n}{\partial t} + K_n \right), \end{aligned} \quad (2.61)$$

și dacă se notează :

$$\frac{2K_e + K_m + K_n}{4} = K$$

din ecuația (2.59) rezultă :

$$\begin{aligned} A_e \sum_{\mathbb{T}} \nu k_{1\mathbb{T}} + \sum_{\mathbb{T}} (A_m \nu k_{2\mathbb{T}} + A_n \nu k_{3\mathbb{T}}) &= \frac{1}{24} \sum_{\mathbb{T}} \sigma \frac{\partial}{\partial t} (A_e + A_m + A_n) D - \\ - \frac{1}{24} \sum_{\mathbb{T}} \frac{\partial A_e}{\partial t} D - \frac{1}{6} \sum_{\mathbb{T}} KD &\quad (2.62) \end{aligned}$$

Pentru regimul sinusoidal în medii omogene la reprezentarea în complex a mărimilor electromagnetice, (2.62) ia forma :

$$\begin{aligned} A_e \sum_{\mathbb{T}} (k_{1\mathbb{T}} + j \frac{\mu \sigma \omega}{24} D) + \sum_{\mathbb{T}} A_m (k_{2\mathbb{T}} + j \frac{\mu \sigma \omega}{24} D) + \sum_{\mathbb{T}} A_n (k_{3\mathbb{T}} + j \frac{\mu \sigma \omega}{24} D) &= \\ = - j \frac{\mu \sigma \omega}{24} A_e \sum_{\mathbb{T}} D - \frac{1}{6} \sum_{\mathbb{T}} KD &\quad (2.63) \end{aligned}$$

Ecuațiile care descriu câmpul magnetic pentru regimul staționar, sau cvasistaționar cu neglijarea vitezei de variație a lui A, pentru medii omogene cu repartiții de densități de curent constante pe secțiunile conductoarelor, sau funcție de punct, se obțin din (2.62), prin particularizări.

#### 2.4. Precizări referitoare la metodele descrise

Metodele descrise au la bază legile fluxului electric și a circuitului magnetic în formele lor integrale și locale, sau funcționale din care se obțin printr-un proces de minimizare, ecuațiile care exprimă aceste legi, așa încît e firesc ca în aceleași condiții de aproximare pentru potențialele  $\varphi$ , sistemele de ecuații algebrice care se obțin cu aceste metode, să fie identice.

În fond evaluarea laplacianului funcției  $\varphi$  prin diferențele din expresia (2.9) este identică cu evaluarea lui în condițiile unor variații parabolice de gradul doi a lui  $\varphi$  între trei puncte consecutive de pe fiecare din direcțiile de discretizare sau cu a unor variații lineare între două puncte vecine (fig.2.9).

Deci dacă discretizările la ultimele două metode se aleg astfel încît punctele semnificative (nodurile  $N_s$ ) să se suprapună în mod constant la cele trei metode, rezultatele obținute prin

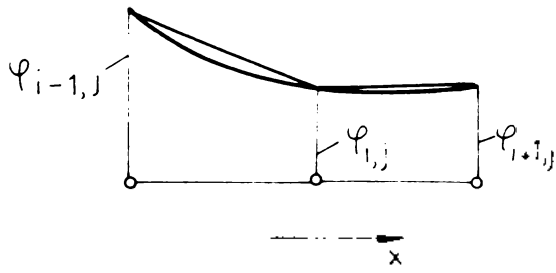


Fig.2.9

Ecuția (2.35) referitoare la figura 2.10 a se scrie :

$$\underline{A}_1 + \underline{A}_2 + \underline{A}_3 + \underline{A}_4 - 4\underline{A}_e = j\mu\sigma\omega h^2(\underline{A}_e - \underline{A}_s). \quad (2.64)$$

S-a notat aici :  $\underline{A}_s = -\frac{K}{j\omega}$

aceste metode, în condițiile acceptate pentru potențiale, ar trebui să fie identice.

Pentru exemplificare se consideră discretizarea de la diferențele finite cu  $h_1=h_2=h$  (cu pas constant) (fig.2.10) în cazul problemei de câmp magnetic sinusoidal.

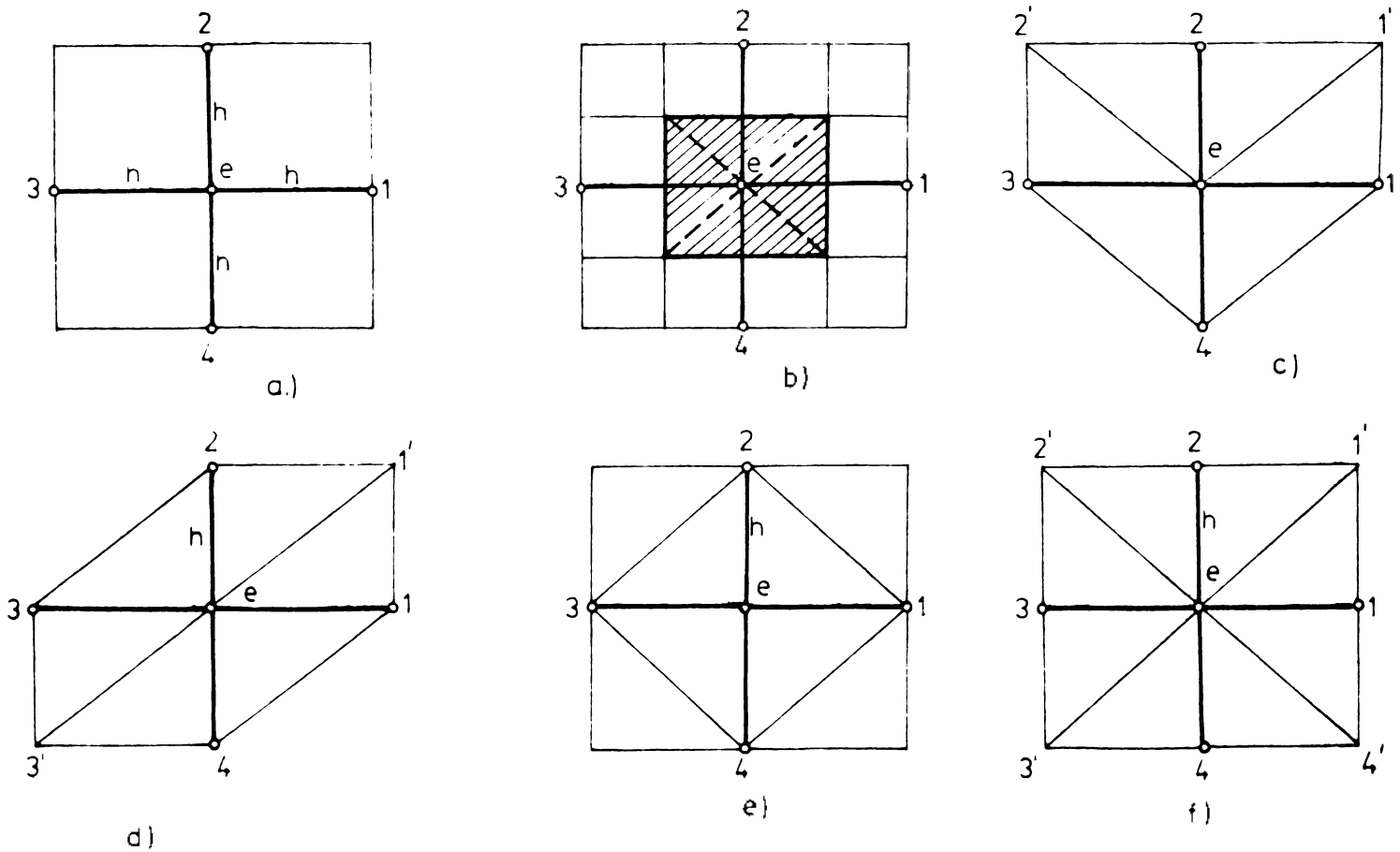


Fig.2.10

Ecuția (2.36) pentru o divizare ca cea din fig.2.10 b primește forma :

$$(\underline{A}_1 + \underline{A}_2 + \underline{A}_3 + \underline{A}_4 - 4\underline{A}_e) \left(1 - j\frac{\mu\sigma\omega h^2}{12}\right) = j\mu\sigma\omega h^2(\underline{A}_e - \underline{A}_s) \quad (2.65)$$

Ecuția (2.62) pentru discretizările din fig.2.10 c și d se reduce la (2.65).

Pentru discretizările din fig.2.10 e și fig.2.10 f, prima parte a ecuației (2.65) se reproduce în ambele cazuri, dar

partea a doua se înmulțește cu  $\frac{2}{3}$ , pentru primul din aceste două cazuri, și cu  $\frac{4}{3}$  pentru al doilea caz. Aceste două discretizări nu corespund individual condițiilor cerute pentru comparația care se face aici dar pot fi utilizate împreună pentru acoperirea completă a lui S întrucît respectă legea circuitului magnetic.

Se observă că ecuațiile (2.64) și (2.65) se deosebesc numai prin factorul  $(1-j\frac{\mu\sigma\omega h^2}{12})$  care intervine în (2.65) și care se datorează aproximării mai bune a repartiției densității de curent pe suprafața unui triunghi elementar emn în cadrul metodelor care dau ecuația (2.65).

Se cuvin cîteva precizări referitoare la utilizarea rezultatelor obținute. În primul rînd pentru cîmpurile general variabile, mărimea  $\frac{\partial A_k}{\partial t}$  trebuie exprimată la utilizarea calculatorului și ea prin valori discrete în raport cu timpul, problema respectivă de cîmp fiind cu valori la limită și inițiale. Ca atare este utilă aproximarea acestei cantități prin diferențe progresive sub forma :

$$\frac{\partial A_k}{\partial t} = \frac{A_{k_{\Delta t}} - A_{k_0}}{\Delta t} \quad (2.66)$$

Notînd cu  $h_t$  pe  $\Delta t$  (pasul de discretizare a domeniului timp  $t$ ) rezultă :

$$2h_t \frac{\partial A}{\partial t} = A_{k_{h_t}} - A_{k_0} + 2\varepsilon_{1t} \quad (2.67)$$

cu :

$$\varepsilon_{1t} = \left( -\overset{3}{\delta} \frac{t}{6} + \overset{5}{\delta} \frac{t}{30} \dots \right) A_k \quad (2.68)$$

între operatorii  $\alpha$  și  $\delta$  (de la diferențele centrale) fiind relația [34] :

$$\alpha^2 = 1 + \frac{\delta^2}{4} \quad (2.69)$$

În astfel de probleme trebuie rezolvate succesiv  $N_t$  sisteme de  $N_s$  ecuații cu  $N_s$  necunoscute, pentru a determina soluțiile problemei de cîmp în fiecare din cele  $N_t$  momente finite ale domeniului  $t$ . Pentru problemele de cîmp în medii neliniare, pentru rezolvarea unui sistem de ecuații se utilizează metoda aproximațiilor succesive.

Analog exprimarea valorilor lui  $\bar{B}$  sau  $\bar{E}$  în funcție de valorile discrete ale potențialelor, este afectată de erori simi-

lare cu cea dată de (2.68) ținând bineînțeles seama că  $\bar{B}$  și  $\bar{E}$  depind de derivatele parțiale în raport cu spațiul.

O altă precizare se referă la elasticitatea discretizărilor pe care le oferă cele trei metode.

Discretizarea corespunzătoare metodei diferențelor finite este relativ rigidă, trecerile de la un pas de discretizare la altul efectuându-se greoi, urmărirea frontierei cu segmente paralele cu cele două direcții de discretizare fiind uneori imposibilă pentru anumiți pași de divizare a domeniului.

Discretizarea tip "celulă" este extrem de elastică în privința formelor celulelor însă presupune o atenție deosebită în fixarea geometriilor prin lungimi și unghiuri.

Metoda elementelor finite oferă comoditate maximă în fixarea geometriilor triunghiurilor elementare și, în general, eforturi minime în alegerea discretizării potrivite.

În privința erorilor de trunchiere se poate aprecia că întrucât pentru discretizările fundamentale (cu pași constanți) relațiile între valorile discrete sînt identice cu cele ale metodei diferențelor finite, evaluarea acestor erori în caz general poate fi efectuată cu expresiile aferente acestei metode.

Sistemele de ecuații date de cele trei metode pot fi rezolvate cu calculatorul cifric [39], [40], [18], [36], etc., sau modelate prin rețele analizoare : acest ultim mod de rezolvare se are în vedere în continuare.

### III. CONDITII DE UNICITATE

Pentru unicitatea soluțiilor ecuațiilor lui Laplace, Poisson și Fourier și respectiv a sistemelor de ecuații algebrice la rezolvarea cărora se reduce analiza numerică a câmpurilor electrice și magnetice, e necesar să se impună una, două sau toate trei tipurile de condiții [41], [42], [43], [44] :

- a. Condiții de frontieră;
- b. Condiții impuse surselor ( $\rho_v, \bar{J}$ ) ;
- c. Condiții inițiale.

Pentru fiecare problemă concretă, pe lângă geometria sistemului studiat sînt necesare și funcțiile  $\sigma(x,y,T)$ ,  $\epsilon(x,y,E)$ ,  $\mu(x,y,H)$ .

Conductivitatea electrică este cu bună aproximație, în multe probleme de câmp, funcție doar de punct și doar în cazul conductoarelor masive se pare că e necesară și dependența ei

de temperatură,  $T$ , [35] (în măsura în care  $T$  este o funcție de  $J$ , și  $\sigma$  este funcția de  $J$ ).

Permitivitatea  $\epsilon$  este pentru materialele izolante utilizate în tehnica curenților tari, o funcție independentă de intensitatea câmpului electric,  $E$ , dar variază funcție de punct (izolația mașinilor și aparatelor electrice este neomogenă).

Permeabilitatea magnetică,  $\mu$ , este aproximativ egală cu constanta  $\mu_0$  pentru foarte multe materiale utilizate în construcția sistemelor electrotehnice [46] și este funcție de punct și intensitatea câmpului magnetic doar în miezurile feromagnetice saturate. La utilizarea materialelor feromagnetice în domeniul caracteristicii de magnetizare pentru care  $\mu \gg \mu_0$  și inducția  $B$  se poate exprima ca o funcție liniară de  $H$ , iar în unele calcule se poate introduce valoarea infinită pentru  $\mu$ , [3], [6] etc.

Ca urmare a acestor observații condițiile de unicitate vor fi prezentate în general pentru mediile liniare, precizându-se la locul potrivit modul de utilizare a acestora pentru mediile neliniare la neglijarea histerezisului, în lipsa magnetizației permanente.

Condițiile de frontieră întâlnite în electrotehnică, pentru potențiale, sînt de următoarele tipuri [2] :

1. Condiții de tip Dirichlet

$$\varphi_{\Gamma} = f_1(x_{\Gamma}, y_{\Gamma}) \quad (3.1)$$

unde  $\varphi_{\Gamma}$  reprezintă potențialele  $V_{\Gamma}$ ,  $V_{H\Gamma}$  sau  $A_{\Gamma}$ , după cum studiul se referă la câmpul electric sau la cel magnetic.

Funcția  $f_1(x_{\Gamma}, y_{\Gamma})$  este cunoscută în fiecare punct  $(x_{\Gamma}, y_{\Gamma})$  de pe conturul  $\Gamma$ .

2. Condiții de tip Neumann.

$$\left(\frac{\partial \varphi}{\partial n}\right)_{\Gamma} = f_2(x_{\Gamma}, y_{\Gamma}) \quad (3.2)$$

cu  $f_2(x_{\Gamma}, y_{\Gamma})$  cunoscută.

Derivata normală  $\frac{\partial \varphi}{\partial n}$  reprezintă pentru câmpul electric, componenta normală a intensității câmpului electric la curba  $\Gamma$ , pentru câmpul magnetic, componenta normală a intensității câmpului magnetic sau componenta tangențială a inducției magnetice (după cum se lucrează cu mărimea  $V_H$  sau  $A$ ).

3. Condiții de tip omogen (în cazurile în care curba se extinde la infinit), [46] :



$$\lim_{\sqrt{x^2+y^2} \rightarrow \infty} [(x^2+y^2) H] = \text{finită} \quad (3.3)$$

$$\lim_{\sqrt{x^2+y^2} \rightarrow \infty} [(x^2+y^2) E] = \text{finită}$$

sau referitor la potențiale V și A,

$$\lim_{\sqrt{x^2+y^2} \rightarrow \infty} (\sqrt{x^2+y^2} \cdot V) = \text{finită}$$

$$\lim_{\sqrt{x^2+y^2} \rightarrow \infty} (\sqrt{x^2+y^2} \cdot A) = \text{finită} \quad (3.4)$$

Condițiile (3.3), (3.4) presupun automat anularea funcțiilor  $f_1$  și  $f_2$  la infinit.

Pentru un sistem complet de  $n$  conductoare suma curenților,  $i_k(t)$ , este nulă și de asemenea suma sarcinilor lineice,  $q_k$ , este nulă :

$$\sum_{k=1}^n i_k(t) = 0 ; \quad \sum_{k=1}^n q_k(t) = 0. \quad (3.5)$$

În regim cvasistaționar, pentru corpuri liniare, cilindrice, paralele, în repaus, câmpul electric poate fi analizat prin intermediul componentelor sale : longitudinală (în direcția generatoarelor suprafețelor cilindrice care delimitează corpurile) și transversală (conținută în planul normal) suprafețelor cilindrice.

Câmpul electric longitudinal este în interdependență cu câmpul magnetic al sistemului electromagnetic, iar cel transversal se poate studia independent, pentru determinarea celui din urmă fiind valabilă următoarea teoremă de unicitate [44] , [46] : În dielectricul foarte slab conductor în fiecare moment și în fiecare plan transversal, potențialul electric transversal este univoc determinat de repartiția sarcinii în dielectric și de potențialele celor  $n$  conductoare ale sistemului, prin aceleași relații ca în problema electrostatică corespunzătoare.

Cum în afara unor probleme speciale nu există repartiție de sarcină în dielectric, rezultă că pentru câmpurile electrice transversale trebuie rezolvată doar o ecuație de tip Laplace.

Pentru câmpul magnetic plan-paralel, transversal al sis-

temului considerat în [44] și [46] este demonstrată următoarea teoremă de unicitate : câmpul magnetic plan-paralel, transversal al unui sistem complet de "n" conductoare, potențialul magnetic vector, repartitia de curent și căderile de potențial sînt univoc determinate în regim cvasistaționar, pentru  $t > \rho$ , de funcțiile de timp  $i_k(t)$  din n-1 conductoare și de repartitia inițială a curenților, dacă se adoptă la infinit condițiile (3.4).

Pentru regimul sinusoidal permanent condițiile se restrîng : se cere doar cunoașterea valorilor curenților din n-1 conductoare [46].

Ipoteza existenței sistemelor complete de conductoare este întotdeauna realizată în practică. În cazul unor probleme idealizate în care această condiție nu este satisfăcută, formularea corectă a condițiilor la infinit trebuie studiată separat [47] , de exemplu ca un caz-limită al sistemului complet, cînd unul dintre conductoare se îndepărtează infinit de mult de celelalte.

Condițiile de unicitate prezentate aici pentru câmpul plan-paralel sînt adevărate și pentru câmpul plan al sistemelor axial-simetrice [48] .

Cînd domeniul spațial al problemei de câmp este limitat de curba  $\Gamma$  finită, ( $\Gamma$  nu se extinde la infinit), pe frontieră se impun una din condițiile de frontieră : de tip Dirichlet sau Neumann (dacă e cazul și valorilor lor inițiale).

### 3.1. Condițiile de frontieră pentru câmpul electric transversal

În problemele de câmp electric plan-paralel (mai general, bidimensional) condițiile de frontieră sînt de obicei de tip Dirichlet cărora li se asociază pe porțiuni condiții Neumann nule [6] .

Condițiile de tip Dirichlet sînt reprezentate de potențialele pe care le au corpurile încărcate cu sarcini electrice, iar condițiile Neumann-nule intervin pe porțiunile de frontieră care coincid cu linii de câmp electric.

Există o serie de probleme în care sistemul prezintă una sau mai multe axe de simetrie, axe care coincid cu o linie echipotențială, cu o linie de câmp, sau segmentată de astfel de linii, alternativ.

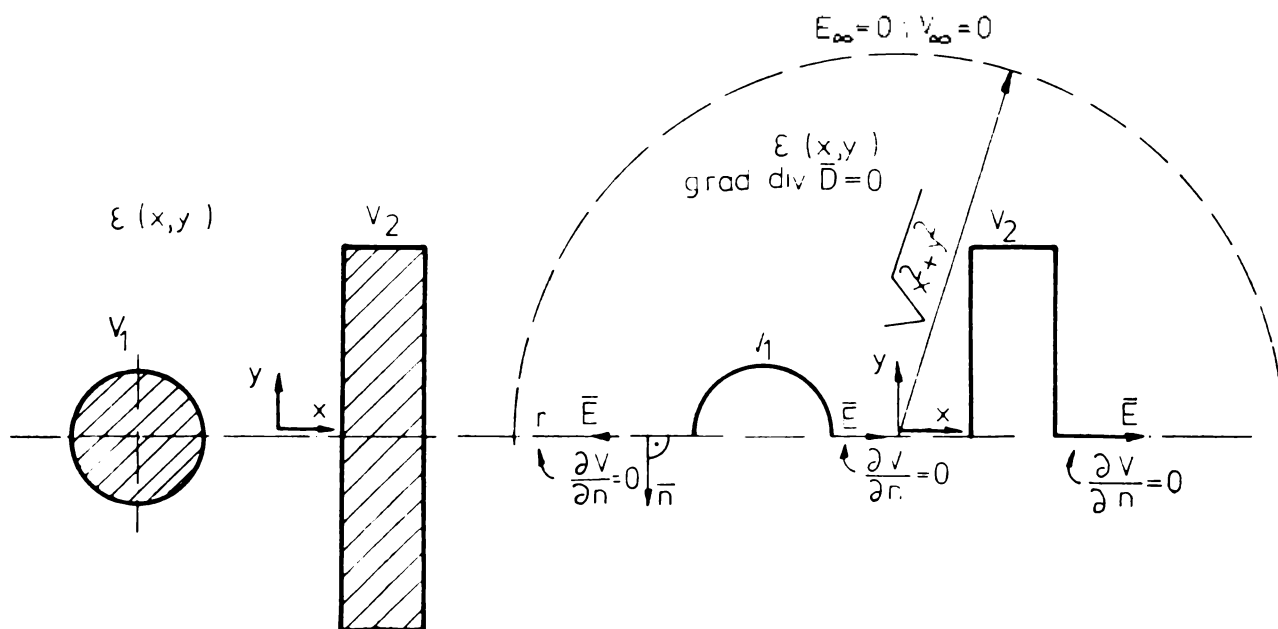


Fig.3.1 a. Sistem de două conductoare încărcate cu sarcini electrice, cu o axă (xx) de simetrie.

Fig.3.1 b. Frontiera și condițiile de frontieră pentru sistemul din fig.3.1 a.

În fig.3.1 a, se prezintă un astfel de sistem de două corpuri care prezintă în planul câmpului o simetrie față de o axă. Datorită simetriei respective e necesară analiza câmpului doar într-un semiplan (fig.3.1 b).

Uneori pentru un sistem de corpuri cilindrice se cunoaște o suprafață echipotențială  $S_\Gamma$  (cu urma în planul câmpului,  $\Gamma$ ) care cuprinde doar o parte din conductoarele sistemului. Forma acestei suprafețe și valoarea potențialului corespunzător (cunoscut) reprezintă condiția de separabilitate a celor două subdomenii în care este împărțit domeniul spațial al problemei de către  $S_\Gamma$ , în baza principiului de echivalență.

Suprafețele de separație ale corpurilor cilindrice, metalice sau izolante de permitivități diferite, reprezintă suprafețe de discontinuitate a câmpului și pentru acestea se utilizează :

- teorema conservării componentelor tangențiale ale intensității câmpului electric,
- $$[\bar{n} \times (\bar{E}_{ex} - \bar{E}_{in})] = 0 \quad (3.6)$$

- teorema saltului componentelor normale ale inducției electrice,
- $$\{\bar{n} \cdot [(\epsilon \bar{E})_{ex} - (\epsilon \bar{E})_{in}]\} = \rho_s, \quad (3.7)$$

unde :  $\bar{n}$  este normala exterioară a corpului la care se referă

indicii ex (exterior) și in (interior);

$\rho_s$  - densitatea superficială de sarcină electrică (diferită de zero pe suprafețele conductoarelor).

### 3.2. Condițiile de frontieră pentru câmpul magnetic plan-paralel

Condițiile de frontieră pe care trebuie să le satisfacă potențialul magnetic vector sînt de tip Neumann și Dirichlet.

Condițiile de tip Neumann cer cunoașterea repartiției pe conturul  $\Gamma$  a componentei tangențiale  $H_{\tau}$ , a intensității câmpului magnetic :

$$H_{\tau} = \nu \frac{\partial A}{\partial n} \quad (3.8)$$

respectiv a derivatei normale a potențialului magnetic vector.

$\vec{\tau}$  este versorul tangentei la conturul  $\Gamma$  și deci este ortogonal cu  $\vec{n}$ . Aceste condiții sînt în general greu de manipulat în analiza câmpului și introducerea lor se face comod doar în calculul sau modelarea, care au la bază ecuațiile obținute la discretizarea tip celulă.

Atunci cînd sistemul electromagnetic prezintă simetrii, linia de simetrie intersectînd normal liniile de cîmp magnetic, sau în cazurile cînd în sistem există elemente confecționate din material feromagnetic nesaturat, în probleme respective intervin condiții Neumann omogene.

În cazul simetriilor domeniul plan al problemei este împărțit în atîtea subdomenii (în care cîmpul se reproduce identic), cîte semiaxe de simetrie există. În aceste cazuri este economic să se analizeze cîmpul doar în unul din subdomenii, introducîndu-se astfel pe semiaxele de simetrie condiția  $H_{\tau} = 0$ .

O condiție Dirichlet apare în problemele de cîmp magnetic bidimensional, cînd se cunoaște o linie de cîmp  $\vec{B}$  (respectiv  $\vec{H}$ ).

Observînd că

$$(\vec{B} \cdot \text{grad } A) = [(\text{grad } A \times \vec{k}) \cdot \text{grad } A] = 0 \quad (3.9)$$

rezultă că o linie de cîmp  $B$  reprezintă în cazul câmpurilor bidimensionale o linie

$$A(x, y) = \text{constant} \quad (3.10)$$

Data fiind importanța acestei condiții în analiza câmpului magnetic, se va prezenta în detaliu cum se exploatează observația cît și cîteva exemple de probleme la care se utilizează

această teoremă.

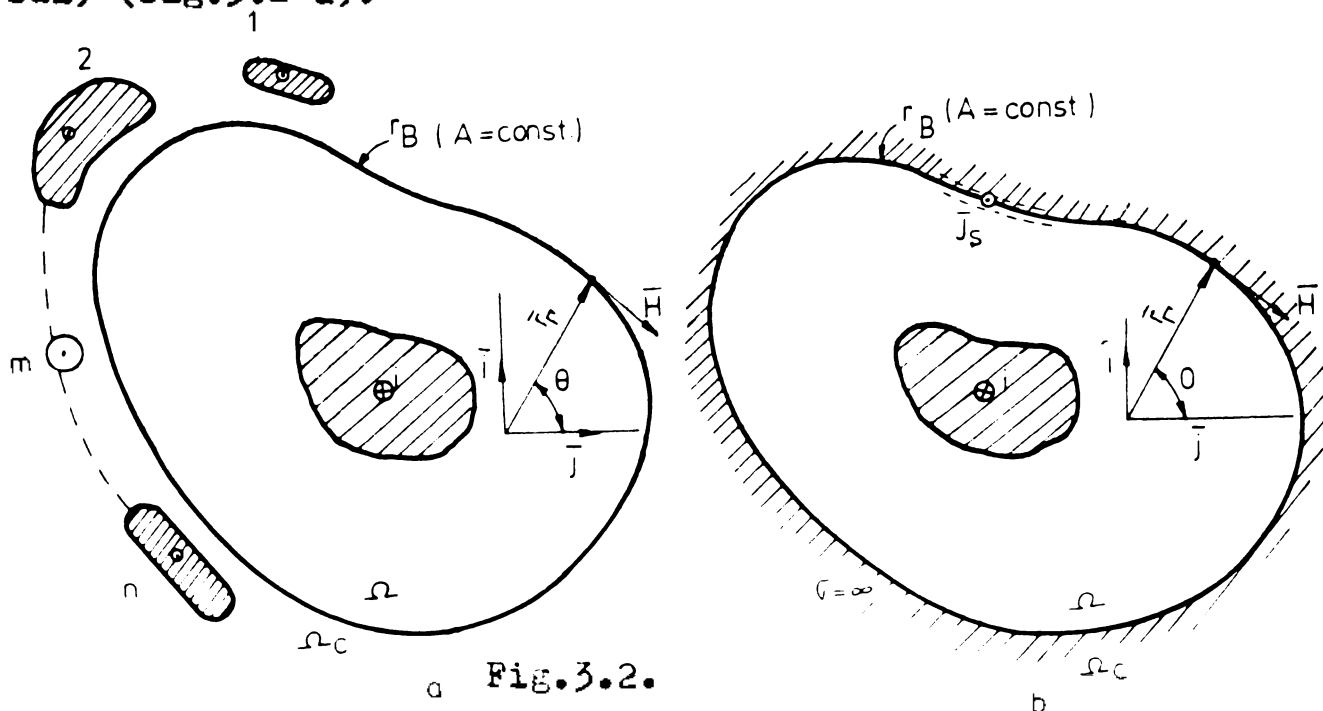
Teorema se poate formula astfel :

Dacă într-un domeniu plan  $S$  al câmpului magnetic se cunoaște o linie de câmp magnetic,  $\Gamma_B$ , care înlanțuie un subdomeniu  $S_\Gamma$ , câmpul magnetic din acest subdomeniu poate fi studiat pe un sistem fictiv alcătuit din conținutul lui  $S$  și o pînză de curent distribuită pe suprafața cilindrică a cărei intersecție cu planul câmpului este  $\Gamma_B$ . Valoarea curentului este egală cu suma algebrică cu semn schimbat a curenților conductoarelor înlanțuite de linia de câmp cunoscută.

Teorema este valabilă pentru medii liniare și izotrope, în regim electromagnetic staționar și cvasistaționar.

Se va demonstra teorema pentru câmpul electromagnetic cvasistaționar sinusoidal.

Se consideră pentru simplitate un singur conductor cilindric, parcurs de curentul  $i$  și avînd calea de întoarcere pe la infinit sau divizată prin alte  $(n-1)$  conductoare aflate la distanțe finite sau, parțial, infinite, de conductorul considerat, înlanțuit de linia de câmp  $\Gamma_B$  (situată în planul câmpului) (fig.3.2 a).



a Fig.3.2.

Curba  $\Gamma_B$  împarte planul câmpului în două subdomenii : unul notat cu  $\Omega$ , în care este conținut secțiunea transversală a conductorului considerat și, altul,  $\Omega_c$ , complementarul lui  $\Omega$ , în care se află secțiunile celorlalte conductoare ale sistemului. Se consideră apoi un sistem cu structura lui  $\Omega$  identică cu a primului sistem (fig.3.2 b),  $\Omega_c$  fiind umplut cu

un conductor perfect ( $\sigma = \infty$ ).

Identitatea soluțiilor  $H(x,y,t)$ , pentru cele două sisteme, în  $\Omega$ , presupune ca pe lângă condiția

$$\oint (\bar{H} \cdot d\bar{l}) = i, \quad (3.11)$$

componenta tangențială a lui  $\bar{H}$ , identică cu  $H$ , să fie aceeași pentru toate perechile de puncte de pe  $\Gamma_B$  (identice), la aceleași valori ale lui  $r$  și  $\theta$ .

Cum în  $\Omega_c$ , din sistemul "de calcul" se află un conductor perfect, în acest conductor va apărea o repartiție strict superficială de curent, în interiorul lui,  $\bar{H}$ ,  $\bar{E}$ ,  $\bar{J}$  avînd valori nule [46] (fig.3.3).

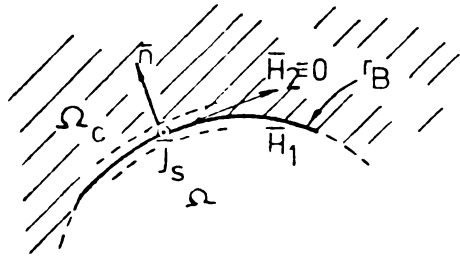


Fig.3.3. Explicativă la relația (3.12)

Valoarea densității de curent va fi:

$$\begin{aligned} \bar{J}_s &= [\bar{n} \times (\bar{H}_2 - \bar{H}_1)] = -(\bar{n} \times \bar{H}_1) = \\ &= -(\bar{n} \times \bar{H}) = -H_{\Gamma_B} \bar{k} \end{aligned} \quad (3.12)$$

Expresia curentului superficial este:

$$\begin{aligned} i_s &= \oint_B [(\bar{H}_2 - \bar{H}_1) \cdot d\bar{l}] = \\ &= -\oint_B (\bar{H} \cdot d\bar{l}) = -i \end{aligned} \quad (3.13)$$

În cazul cînd  $\Gamma_B$  înlănțuie  $n_1 \leq n$  conductoare parcurse de  $n_1$  curenți de diferite sensuri, diferiți de zero sau parțial identici nuli,

$$i_s = - \sum_{k=1}^{n_1} i_k, \quad (3.14)$$

adică ceea ce se vroia demonstrat.

Această teoremă se poate utiliza cu succes, la analiza cîmpurilor prin modelare, pentru cîteva tipuri de probleme des întîlnite în tehnică.

De exemplu, cînd  $\Gamma_B$  este o linie de simetrie în spectrul cîmpului, închizîndu-se pe la infinit (fig.3.4), analiza cîmpului se poate efectua doar pentru un semiplan, considerînd că prin suprafața plană de simetrie, (a cărei urmă în planul cîmpului este  $\Gamma_B$ ), se întoarce un curent egal cu suma cu semn schimbat curenților dintr-o parte sau alta a acestei suprafețe.

Sînt situații cînd pe porțiuni  $\Gamma_B$  cunoscute,  $H \neq 0$ , iar pe restul curbei  $\Gamma_B$ ,  $\bar{H} \approx 0$ , respectiv probleme pentru care toată tensiunea

magnetomotoare este repartizată pe segmente  $\Delta\Gamma_B$  cunoscute ; cazul conductoarelor plasate în creștături efectuate în material feromagnetic nesaturat ( $\mu_{Fe} \gg \mu_0$ ).

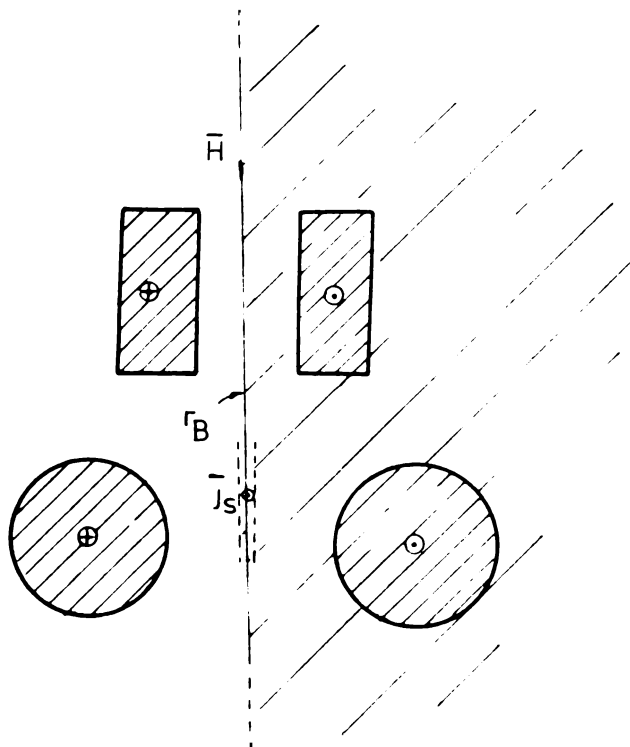


Fig.3.4. Exemplu de simetrie față de o suprafață de câmp magnetic.

În astfel de probleme curentul  $i_s$  circulă prin benzile longitudinale cu urmele  $\Gamma_B$  în planul câmpului. În fig.3.5 sînt prezentate cîteva exemple tipice.

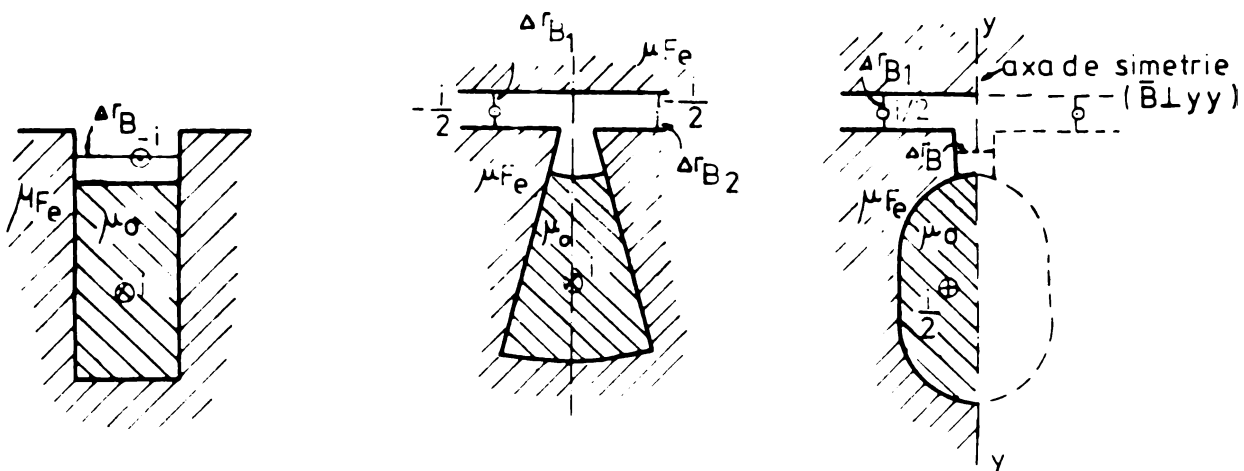


Fig.3.5.

Dacă printr-o metodă oarecare, de exemplu printr-o modelare grosieră, se poate determina o linie de câmp în bobinajul unui sistem a cărui câmp magnetic poate fi asimilat cu un câmp plan-parallel (cazul tratării idealizate a câmpului de dispersie a unui transformator de mare putere [49]), analiza fină a câmpului și a interacțiunilor electromagnetice a conductoarelor

înălțuite de  $\Gamma_B$  (sau  $\Delta\Gamma_B$ ) se poate face pe un anumit tip de model utilizându-se o scară de modelare corespunzătoare fineții de determinare dorită utilizând condiția de frontieră  $A = \text{constant}$  pentru noua frontieră  $\Gamma_B$  (fig.3.6)

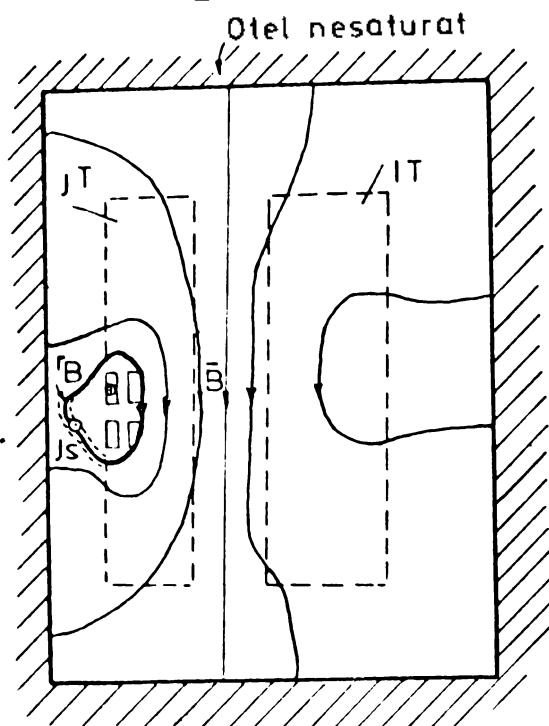


Fig.3.6 - Secțiunea transversală a unui sistem de conductoare drepte, paralele, plasate într-o carcasă feromagnetică. (Modelul idealizat a ferestrei unui transformator de mare putere, pentru calculul câmpului magnetic de dispersie).

Deseori, în problemele de câmp magnetic intervin suprafețe de discontinuitate pentru câmp, suprafețe pentru care se utilizează teorema privind saltul componentelor tangențiale ale intensității câmpului magnetic

$$[\vec{n} \times (\vec{H}_{\text{ex}} - \vec{H}_{\text{in}})] = \vec{J}_s \quad (3.15)$$

și teorema conservării componentelor normale ale inducției magnetice :

$$\{\vec{n} \cdot [(\mu \vec{H})_{\text{ex}} - (\mu \vec{H})_{\text{in}}]\} = 0 \quad (3.16)$$

Pentru o seamă de probleme frontiera domeniului coincide total sau parțial, cu limita de separație a două medii dintre care unul este neliniar (oțel saturabil).

În aceste probleme singurele informații referitoare la frontieră sînt relațiile (3.15), (3.16), valabile pentru  $\vec{B} = \mu \vec{H}$ , ( $\mu$  - scalar) și tensiunea magnetomotoare de-a lungul conturului frontierei. Se mai cunoaște și caracteristica magnetică  $B(H)$  ale mediului neliniar.

În aceste cazuri, pe baza caracteristicii  $B(H)$ , se determină cu metoda aproximațiilor succesive  $H_T(x_T, y_T)$  și în final soluția pentru  $A$  din interiorul domeniului care conține medii liniare.

În analiza numerică a câmpurilor condițiile de frontieră se introduc cu oarecare atenție mai ales atunci cînd ele sînt de tip



Neumann.

Condițiile Dirichlet se manipulează simplu : în ecuațiile corespunzătoare nodurilor vecine frontierei, în care apar și valorile potențialelor punctelor de pe frontieră, se introduc valorile date  $\varphi = f_1(x_f, y_f)$  în general fără nici-o dificultate. Dificultățile care pot apărea privesc metoda diferențelor finite și constau în aproximările care se fac din cauza unei imposibilități practice de a discretiza corect zona vecină frontierei.

Introducerea condițiilor Neumann la utilizarea metodei diferențelor finite cere deseori eforturi considerabile, avînd în vedere că metoda are la bază forme locale ale legilor electromagnetismului. Dat fiind faptul că metoda lui Gaîr utilizează ecuații integrale în care intervin direct derivatele normale ale potențialelor, ea permite introducerea extrem de ușoară a condițiilor Neumann prin simple medieri a derivatelor normale pe laturile celulelor, aflate pe frontieră. Pentru cîmpul magnetic, de exemplu, pentru o latură  $mn$ , se obține :

$$\int_m^n \vec{H} \cdot d\vec{l} = - \int_m^n \gamma \frac{\partial A}{\partial n} dl \approx - (\gamma \frac{\partial A}{\partial n}) L_{mn} = - \gamma_{med} \frac{\partial A}{\partial n} L_{mn} \quad (3.17).$$

La metoda elementelor finite introducerea acestor condiții se efectuează în general mai greu și pe o cale mai ocolită. Între două puncte  $m$  și  $n$

$$\begin{aligned} \int_m^n (\vec{H} \cdot d\vec{l}) &= \int_m^n (\gamma \vec{B} \cdot d\vec{l}) = \gamma [(x_n - x_m) \alpha_{A3} + (y_m - y_n) \alpha_{A2}] = \\ &= - \gamma \frac{\partial A}{\partial n} L_{mn} \end{aligned} \quad (3.18).$$

Trebuie remarcat că în (3.18) circulația lui  $\vec{H}$  pe  $L_{mn}$  s-a efectuat prin interiorul triunghiului vecin frontierei și expresia obținută este adevărată cu aproximarea (2.46) numai atunci cînd în celulele vecine frontierei (din interiorul sau exteriorul domeniului  $S$ ), densitatea de curent are valoare nulă. În caz contrar trebuie să se țină seama de echivalarea curenților ce străbat aceste celule, cu pînze de curent potrivit repartizate pe fețele laterale ale prismelor determinate de celule în direcția axei  $z$ , astfel încît să se respecte legea cir-

cuitului magnetic.

Revenind la ultima egalitate (3.18), construind expresia derivatei normale a lui  $A$  (dată de această egalitate), în (2.54) și ținând seama că în celulele,  $\text{rot } \vec{H} = 0$ , din ecuațiile (2.54) dispar valorile potențialului din punctele de pe frontieră și în termenii liberi apar valorile derivatei normale.

B. MODELAREA CÂMPURILOR  
PLAN - PARALELE

I. GENERALITĂȚI ASUPRA MODELĂRII

Utilizarea teoremelor modelării în deducerea relațiilor între coeficienții de analogie este necesară pentru fundamentarea integrării teoriei modelării câmpurilor electrice și magnetice în teoria generală a similitudinii, analogiei și modelării. Relațiile se pot deduce mai simplu prin substituția mărimilor unei ecuații cu produsele coeficienților de analogie cu mărimile analoage din ecuația care descrie fenomenul analog celui descris de prima [51], [52]. Acest mod, firesc de altfel, este susținut mai degrabă de bunul simț decât de un suport teoretic adecvat: din acest motiv, pentru modelele discutate relațiile între coeficienții de asemănare se deduc în baza analizei criteriale.

De obicei, în ecuațiile fizicii matematice intră un număr apreciabil de mărimi fizice complexe (parametri, constante dimensionale etc.) care evident pot fi exprimate prin mărimi fundamentale. O transformare a unităților acestor mărimi nu lasă în genere neschimbat sistemul de ecuații decât în cazul când între coeficienții de transformare există o serie de condiții adecvate de compatibilitate.

Condițiile de compatibilitate se obțin pe baza omogenității ecuațiilor ale căror termeni trebuie să fie echidimensionali. Aceste condiții determină așa-numitele criterii de similitudine.

În existența acestor criterii stă deosebirea dintre similitudinea geometrică și cea fizică.

O transformare admisă în sistemul de ecuații împarte totalitatea fenomenelor clasei simile corespunzătoare în grupe de fenomene simile, caracterizate prin proprietatea că oricare ar fi proprietățile fenomenelor grupului se zic asemenea (simile) iar transformarea admisă poartă numele de similitudine.

Analogiile se aplică la fenomene din domenii diferite ale fizicii. Legile asemănătoare ca formă, dar diferite ca parametri care intră în componența lor, determină clasa de analogie.

Ca și la similitudine, în grupa de analogie oricare

ar fi particularitățile fenomenelor cercetate, ele pot fi determinate într-un fenomen cunoscut grupului.

Experimentarea în cazul analogiilor diferă de cea de la similitudine prin faptul că fenomenul ales pentru experimentare, ai cărui parametri pot fi ușor măsurați în condițiile de lucru ale laboratorului, face parte din alt domeniu al fizicii decât fenomenul pentru care se aplică rezultatul.

Teoria modelării indică cum trebuie ales fenomenul experimentat din grupa de similitudine sau de analogie atunci când, în locul fenomenului dat, imposibil sau greu de explorat, se analizează un altul aparținând grupului de similitudine sau de analogie din care fac parte ambele.

Astfel, se alege un alt fenomen de aceeași natură cu primul sau de natură diferită, la care variația diferiților parametri identici sau analogi să fie în limitele rezonabile posibilităților de măsurare sau intențiilor experimentatorului. Pentru că rezultatele cercetării fenomenului ales pentru experimentare se poate folosi la determinarea tuturor condițiilor în care se desfășoară cel dintâi, este necesar ca cele două fenomene să aibă condiții de unicitate corespunzătoare, criterii de similitudine sau analogie identice, deci ca fenomenele să facă parte din același grup de similitudine sau analogie; în felul acesta fenomenul al doilea constituie modelul primului fenomen care se numește original.

Condițiile enumerate mai sus decurg din cele trei teoreme ale similitudinii [50], [51], [52] :

1. Teorema produselor (sau teorema  $\pi$ ) spune că o ecuație poate fi scrisă doar cu  $n-k$  termeni complecși adimensionali,  $n$  fiind numărul mărimilor care intră în ecuația respectivă, iar  $k$ , numărul de mărimi fundamentale din această ecuație.

Fiind dată deci ecuația :

$$f(a_1, a_2, \dots, a_k, b_{k+1}, \dots, b_n) = 0 \quad (1.1)$$

care conține  $k$  mărimi dimensionale primare  $a_1, a_2, \dots, a_k$  și  $n-k$  mărimi secundare  $b_{k+1}, \dots, b_n$ , conform teoremei  $\pi$  aceasta se mai poate scrie :

$$F(\pi_1, \pi_2, \dots, \pi_{n-k}) = 0 \quad (1.2)$$

în care

$$\bar{\pi}_j = \frac{b_{k+j}}{\prod_{i=1}^k (a_i)^{r_i}} \quad (1.3)$$

sînt termeni adimensionali numiți criterii.

Pentru aplicarea teoremei  $\bar{\pi}$  se impune, în prima instanță, ca din rîndul mărimilor fizice care determină fenomenul să se aleagă mărimile care pot fi considerate fundamentale.

Trebuie subliniat că forma în care apare legătura dintre mărimile fizice depinde în mare măsură de modul cum s-a făcut alegerea mărimilor fundamentale. Ca mărimi fundamentale pot fi alese fie mărimile fundamentale universal admise ale sistemului de unități de măsură în care se lucrează, (SI, de exemplu), fie un număr oarecare de mărimi fizice care intervin în fenomenul studiat, alese independent de mărimile fundamentale ale sistemului de unități în care se lucrează. În acest ultim caz ele trebuie să îndeplinească următoarele condiții :

- să fie independente dimensional;
- dimensiunile lor să permită exprimarea dimensională a tuturor mărimilor derivate de care depinde fenomenul.

2. Pornind de la condițiile de similitudine ale fenomenelor fizice, și anume scriind identitatea formală a ecuațiilor la similitudine, se poate scrie pentru două fenomene A și V cu mărimile esențiale deduse din legea de conduită :

$$f(a_1^A, a_2^A, \dots, a_k^A, b_{k+1}^A, \dots, b_n^A) = 0 \quad (1.4)$$

$$f(a_1^V, a_2^V, \dots, a_k^V, b_{k+1}^V, \dots, b_n^V) = 0$$

în care  $f$  este o funcție necunoscută, însă unică, iar  $a_1^A, b_1^A$  și  $a_1^V, b_1^V$ , sînt mărimile corespunzătoare din cele două ecuații asemănătoare.

Utilizînd teorema produselor și introducînd în formele adimensionale relațiile dintre A și V, rezultă :

$$\pi_j^A = \pi_j^V \quad (1.5)$$

Adică un șir de fenomene corespunzătoare unui sistem de ecuații formează un grup de fenomene asemenea, fiecare dintre criteriile respective de similitudine are o valoare unică pentru toate fenomenele grupului.

Această teoremă permite extinderea imediată a rezultatelor unei singure experiențe în întregul grup de fenomene sim-

ple sau analoage, care este determinat prin invariația (egalitatea valorilor) criteriilor de similitudine.

3. Mulțimea fenomenelor determinate din sisteme de ecuații și condiții de unicitate date, alcătuiește un grup de fenomene numai dacă mărimile care intră în condițiile de unicitate formează un grup de similitudine și criteriile de similitudine care se deduc din ecuații, fiind alcătuite cu mărimile acestora, au valori unice.

Necesitatea condițiilor indicate de această teoremă decurge direct din teorema întâia.

Pentru această teoremă nu se poate da o demonstrație generală, deoarece o formulare completă a condițiilor de unicitate nu e cunoscută.

Teoremele similitudinii se aplică sub aceeași formă și la analogie. Astfel, pentru toate fenomenele grupului de analogie, criteriile care corespund au aceeași valoare. Sînt fenomene analoage acelea ale căror condiții de unicitate sînt corespunzătoare și ale căror criterii corespunzătoare au aceeași valoare.

La analogie și mai mult la similitudine, corespondențele biunivoce care se pot stabili între diversele mărimi fizice ale originalului și ale modelului se observă imediat. În modelarea cîmpului electromagnetic ele se pun în evidență prin factorii de similitudine sau de analogie. Acești factori sînt definiți de rapoartele dintre mărimile din original și corespondentele lor din model. De exemplu, notînd o mărime din original cu  $A$  și pe cea corespunzătoare din model  $V_m$  factorul de analogie al acestora va fi:

$$k_A = \frac{A}{V_m} \quad (1.6)$$

Cu precizările făcute, de altfel foarte utile pentru a putea încadra corect sub aspect teoretic modelarea cîmpurilor electromagnetice în teoria generală a modelării, se pot deduce fără nici-o dificultate condițiile de asemănare original-model și corespondențele optime și corecte între diversele mărimi care descriu cele două fenomene aparținînd aceleiași grupe de similitudine sau analogie.

Tinînd seama de cele două tipuri de ecuații care trebuie rezolvate (1.29-A și 2.1-A) se vor căuta fenomene caracterizate prin ecuații asemănătoare ca formă, se vor analiza dimensional reducîndu-se la formele lor criteriale și din condițiile impuse de teoremele a II-a și a III-a se vor obține relațiile între

coeficienții de corespondențe, relații cu care apoi, în fiecare problemă concretă, se proiectează modelul optim indicat simularea câmpului.

Trebuie remarcate trei tipuri de modelări care s-au impus în practica analizei câmpului electric și respectiv magnetic și anume : modelarea în medii rezistive și capacitive (mediul rezistiv fiind un electrolit, hîrtia electroconductoare sau în general un strat electroconductor de rezistivitate mare, în raport cu cea a metalelor : Cu, Ag etc.), modelare pe rețele analizoare RC și modelarea probabilistică.

## II. MODELAREA ÎN MEDII REZISTIVE ȘI CAPACITIVE

Acest tip de modelare are la bază ecuațiile cu derivate parțiale pe care le satisfac potențialele  $V$  și  $A$ .

Se cuvine remarcat faptul că în electrotehnică se găsesc rareori probleme de câmp electric cu distribuție volumetrică de sarcina electrică așa încît problema generală a modelării se va prezenta doar pentru câmpul magnetic, insistîndu-se la locul convenit asupra aceluia electric fără surse volumetrice de sarcină (în medii dielectrice, omogene, neomogene și cu anizotropie idealizată).

Se va căuta deci un fenomen ușor determinabil experimental aparținînd clasei de analogie descrisă de ecuația (1.24-A).

### 2.1. Principiul metodei

Se consideră în acest scop un strat electroconductor de electrolit, hîrtie grafitată etc., avînd grosimea  $h_m$  funcție de două coordonate  $x_m$  și  $y_m$  ale unui sistem cartezian ortogonal  $(x_m, y_m, z_m)$ , una din fețele stratului fiind conținută într-un plan paralel cu planul  $z_m = 0$ . În acest strat de rezistivitate  $\rho_m$  cu mult mai mare decît rezistivitățile metalelor sau aliajelor obișnuite (Al, Cu, Am), se injectează prin una din fețele lui, curenții electrici  $i_{mak}$  ( $k=1, \dots, N_g$ ;  $N_g$  este numărul curenților). Injectarea poate fi făcută prin piese semiconductoare (fig.2.1 a) de rezistivități  $\rho_{ms} \gg \rho_m$ , sau prin rezistențe de valori adecvate (fig.2-1 b) astfel încît valorile acestor curenți să poată fi fixate independent de stratul cu care sînt în contact. La alimentarea ansamblului cu curenți alternativi, curenții pot fi injectați prin condensatoare în număr și de valori ale capacităților potrivite.

La injectarea distribuită (prin rezistențe sau capacități) se poate echivala o repartiție medie de densitate de curent  $\bar{J}_{ms}$  pentru fiecare zonă  $S_{ms}$  de injecție,  $\bar{J}_{ms}$  avînd direcția (nesemnificativă de altfel) și sensul dorit și bine determinat. Ansamblul de elemente de injecție pentru un curent poate fi identificat sub acest aspect cu o piesă semiconductoră (fig.2.1 c), bineînțeles cu condiția ca elementele pasive de injecție  $R_{ms}$  sau  $C_{ms}$  să fie implantate în mediul electroconductor la distanțe suficient de mici încît  $J_{ms}(x_m, y_m)$  - densitatea medie de "calcul" corespunzătoare elementului de suprafață din jurul punctului de injecție - să fie echivalentă cu densitatea de curent medie din același element de suprafață din piesa semiconductoră.

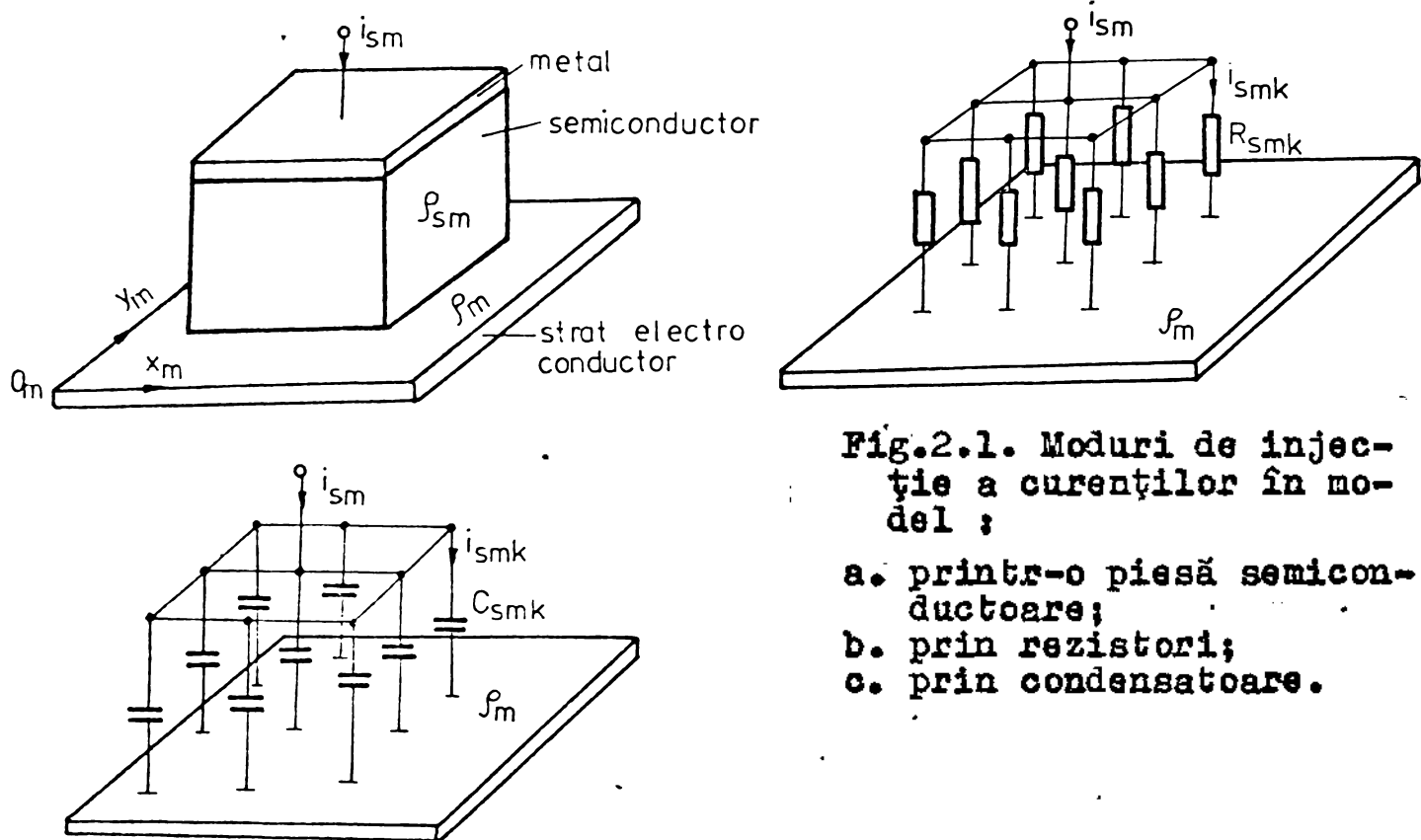


Fig.2.1. Moduri de injecție a curentilor în model :

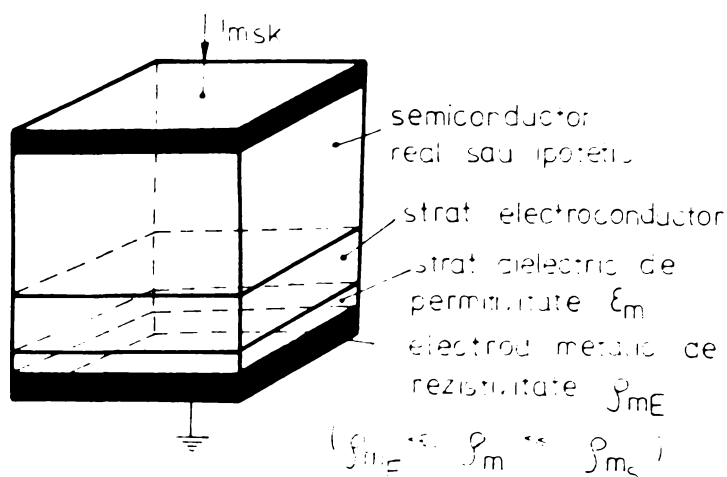
- a. printr-o piesă semiconductoră;
- b. prin rezistori;
- c. prin condensatoare.

Sistemul se consideră ipotetic (sub aspectul existenței lui  $J_{ms}$ ) dacă injecția se efectuează prin elemente distribuite  $R_{ms}$  (fig. 2.1.b) sau  $C_{ms}$  (fig.2.1.c).

Se mai admite ca pe cealaltă față a stratului electroconductor se află dispus un strat condensator, uniform repartizat pe proiecția  $S_{ms}$  a bazei piesei semiconductoră, pe această față; se creează astfel un sistem de capacități uniform distribuite, una din armăturile unui condensator fiind comună, alcătuită dintr-un electrod metalic legat la masă, iar celelalte în număr infinit de mare fiind



determinate de porțiunea corespunzătoare din stratul electroconductor (fig.2.2).



(fig.2.2.)

elementului de volum considerat și evident, cu această condiție semiconductorul nu poate fi decât ipotetic.

Bazele au ariile infinit mici  $dx_m dy_m$ . Elementul de volum este prezentat în fig.2.3.

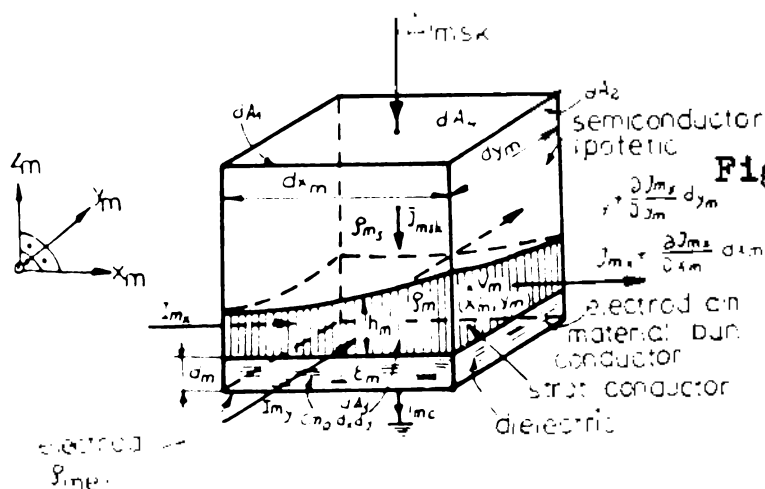


Fig.2.3. Explicativă la relațiile (2.7), (2.8) și (2.9).

Densitatea de curent  $\vec{J}_m$  într-un punct din stratul electroconductor are trei componente

$$\vec{J}_m = J_{mx} \vec{i} + J_{my} \vec{j} + J_{mz} \vec{k} \quad (2.7)$$

Ținând seama că  $\rho_{ms} \gg \rho_m$ , la aplicarea legii conservării

sarcinii

$$i_m = - \frac{dq_m}{dt_m}, \quad (2.8)$$

pentru volumul elementar considerat în fig.2.1 (mai puțin volumul electrodului conectat la pământ), neglijînd infiniții mici de ordin superior lui 2, se obține :

$$\frac{\partial}{\partial x_m} \left( h_m \frac{\partial J_{mx}}{\partial x_m} \right) + \frac{\partial}{\partial y_m} \left( h_m \frac{\partial J_{my}}{\partial y_m} \right) - J_{ms} = - C_{mo} \frac{dV_m}{dt_m} \quad (2.9)$$

cu :  $C_{mo}$  - capacitatea corespunzătoare stratului dielectric pe unitatea de suprafață de electrod ;

$V_m$  - potențialul electrocinetic al punctului de coordonate  $(x_m, y_m)$  din stratul electroconductor;

$J_{ms}$  - densitatea curentului (reală sau de calcul) din piesa semiconductoare (reală sau ipotetică).

Cu legea lui Ohm în forma locală

$$\bar{J}_m = \sigma_m \bar{E}_m, \quad (\sigma_m = \frac{1}{\rho_m}) \quad (2.10)$$

și expresia intensității cîmpului electric  $\bar{E}_m$  în funcție de potențialul  $V_m$

$$\bar{E}_m = - \text{grad } V_m, \quad (2.11)$$

$$\frac{\partial}{\partial x_m} \left( \frac{h_m}{\rho_m} \frac{\partial V_m}{\partial x_m} \right) + \frac{\partial}{\partial y_m} \left( \frac{h_m}{\rho_m} \frac{\partial V_m}{\partial y_m} \right) = C_{mc} \frac{dV_m}{dt_m} - J_{ms}; \quad (2.12)$$

aceasta în ipoteza că și  $V_m$  este o funcție de punct.

În lipsa curentului de injecție, din ecuația (2.12) ar lipsi  $J_{ms}$  iar în absența stratului condensator din această ecuație se suprimă primul termen al membrului doi. Pentru porțiunile din pătura electroconductoare lipsite de injecții de curent și de scurgeri de sarcină la pământ, ecuația satisfăcută de potențialul  $V_m$  va menține din ecuația (2.12) primul membru, membrul al doilea fiind identic nul.

Ecuațiile cu derivate parțiale pe care le satisface  $V_m(x_m, y_m)$  în diferitele zone ale sale vor fi deci :

$$\frac{\partial}{\partial x_m} \left( \frac{1}{\rho_m} \frac{\partial V_m}{\partial x_m} \right) + \frac{\partial}{\partial y_m} \left( \frac{1}{\rho_m} \frac{\partial V_m}{\partial y_m} \right) =$$

$$= \begin{cases} C_{m0} \frac{dV_m}{dt_m} - J_{ms} , & \text{pentru cazul general prezentat;} & (2.13a) \\ C_{m0} \frac{dV_m}{dt_m} , & \text{pentru zonele lipsite de curenți } i_{ms}; & (2.13b) \\ - J_{ms} , & \text{pentru zonele lipsite de strat condensator;} & (2.13c) \\ 0 , & \text{pentru zonele fără curenți } i_{ms} \text{ și fără strat} & \\ & \text{condensator} & (2.13d) \end{cases}$$

În ecuațiile de mai sus s-a notat prin  $\rho'_m$ , expresia :

$$\rho'_m = \frac{\rho_m}{h_m} = \frac{1}{h_m \sigma_m} \quad (2.14)$$

Ecuațiile care descriu câmpul magnetic în medii neomogene, se pot grupa într-un mod asemănător ecuațiilor (2.13) :

$$\frac{\partial}{\partial x} \left( \frac{1}{\mu} \frac{\partial A}{\partial x} \right) + \frac{\partial}{\partial y} \left( \frac{1}{\mu} \frac{\partial A}{\partial y} \right) =$$

$$\begin{cases} \sigma \frac{\partial A}{\partial t} - J_s , & \text{pentru zonele corespunzătoare secțiunilor conduc-} & \\ & \text{toarelor alimentate cu curenții } i_k \text{ în care nu se} & \\ & \text{neglijează curenții turbionari;} & (2.15a) \\ \sigma \frac{\partial A}{\partial t} , & \text{în conductoare parcurse doar de curenți turbiona-} & \\ & \text{ri } (i_k = 0); & (2.15b) \\ - J_s , & \text{în conductoare alimentate în curent continuu sau} & \\ & \text{în curent alternativ (cu neglijarea curenților} & \\ & \text{turbionari);} & (2.15c) \\ - 0 , & \text{în spațiile dintre conductoare} & (2.15d) \end{cases}$$

$J_s = -\sigma K$  este densitatea medie de curent dintr-un conductor.

Din compararea ecuațiilor (2.13) cu (2.15) rezultă că fenomenele descrise de ele aparțin aceleiași clase de analogie astfel încît prin fenomenul descris (2.13) se poate analiza câmpul magnetic plan-paralel în diversele regimuri electromagnetice.

Fenomenul caracterizat de (2.13), indicat prin litera "V<sub>m</sub>" apare în "model" iar cel descris de (2.15) se indică prin litera "A" și apare în original, adică în sistemul electrostatic de studiat sub aspectul câmpului magnetic (direct) și a câmpului electric (indirect prin relațiile dintre aceste câmpuri).

Relațiile de analogie se vor obține pentru ecuațiile mai generale (2.13a și 2.15a), pentru celelalte, prin particularizări.

Ecuațiile (2.13a) și (2.15a) în formele lor implicite se pot scrie pe baza asemănării lor :

$$f(J_s, l, t, \sigma, \mu, A) = 0 \quad (2.15a')$$

$$f(J_{ms}, l_m, t_m, C_{mo}, \rho'_m, V_m) = 0 \quad (2.13a')$$

Alegînd pe  $J_s, l$  (lungimea),  $t, \sigma$  și respectiv pe  $J_{ms}, l_m, t_m, C_{mo}$ , ca mărimi independente (fundamentale) în cele două ecuații și pe  $\mu, A$ , și respectiv  $\rho'_m$  și  $V_m$  ca mărimi derivate din primele, ecuațiile (2.15a') și (2.13a') se pot scrie în formele lor criteriale :

$$F(\pi_1^A, \pi_2^A) = 0, \quad (2.15a'')$$

$$F(\pi_1^V, \pi_2^V) = 0, \quad (2.13a'')$$

în care :

$$\pi_1^A = \frac{\mu}{J_s \cdot l \cdot t \cdot \sigma}, \quad \pi_2^A = \frac{A}{J_s \cdot l \cdot t \cdot \sigma} \quad (2.16)$$

$$\pi_1^V = \frac{m}{J_{ms} \cdot l_m \cdot t_m \cdot C_{mo}}, \quad \pi_2^V = \frac{V_m}{J_{ms} \cdot l_m \cdot t_m \cdot C_{mo}}$$

sînt criteriile celor două fenomene descrise de A și respectiv de V.

În urma analizei dimensionale se determină necunoscutele  $x_1^A, x_2^A, y_1^A, y_2^A, z_1^A, z_2^A, w_1^A, w_2^A$ , ș.a.m.d.p., și din egalarea criteriilor corespunzătoare analogiei  $A \Rightarrow V_m$

$$\pi_1^A = \pi_1^V; \quad \pi_2^A = \pi_2^V, \quad (2.17)$$

rezultă :

$$\frac{\mu \sigma l^2}{t} = \frac{C_{mo} \rho'_m l_m^2}{t_m}, \quad (2.18)$$

$$\frac{A}{J_s t} = \frac{V_m C_{mo}}{J_{ms} t_m} \quad (2.19)$$

Definind coeficienții de analogie.

$$k_A = \frac{A}{V_m}, \quad k_l = \frac{1}{I_m}, \quad k_{J_S} = \frac{J_S}{J_{ms}}, \quad k_\mu = \frac{\mu}{\mu_m}$$

$$k_t = \frac{t}{t_m}, \quad k_\sigma = \frac{\sigma}{\sigma_{m0}}, \quad (2.20)$$

relațiile criteriale (2.18) și (2.19) se transformă, la înlocuirea valorilor unui fenomen în funcție de cele analoage, în relații între acești coeficienți :

$$\frac{k_\mu k_\sigma k_l^2}{k_t} = 1 \quad (2.18')$$

$$\frac{k_A k_\sigma}{k_{J_S} k_t} = 1 \quad (2.19')$$

Se observă că relația (2.18') conține toți coeficienții de analogie în afară de  $k_A$  care apare în (2.19'). Ca urmare relația (2.18') se consideră relație de bază în modelare și dacă scopul rezolvării problemei de câmp constă doar în a determina valori raportate ale mărimilor R și L, nu se mai apelează la relația (2.19'). Dacă problema impune determinarea valorilor absolute ale mărimilor electromagnetice se utilizează și expresia (2.19') din care se determină,

$$k_A = k_{J_S} \frac{k_t}{k_\sigma} = \frac{k_l}{k_\ell^2} \frac{k_t}{k_\sigma} \quad (2.20)$$

unde  $k_l = \frac{1}{I_m}$  este raportul curenților din original și a celor corespunzător absorbtiei de model.

Exprimînd pe  $k_t$  din (2.18'), (2.20) se mai poate scrie

$$k_A = k_\mu k_l \quad (2.20')$$

Modelul se proiectează astfel : se aleg  $k_\mu$ ,  $k_\sigma$ ,  $k_\ell$  și rezultă  $k_t$ , respectiv timpul din model. Alegîndu-se corespunzător necesităților impuse de măsurare corectă și consum minim de energie în model, valoarea raportului  $k_l$ , rezultă valoarea lui  $k_A$  și deci posibilitatea determinării complete a câmpului prin modelare.

Analog, pentru ecuații (2.13b) și (2.15b) se obțin :

$$k_\mu k_\sigma k_\ell^2 = k_t \quad (2.18'')$$

$$k_A k_\sigma = k_t \quad (2.19'')$$

Aceste relații se pot obține din (2.18) și (2.19') observînd că:

$$x_1^A = x_1^V = x_2^A = x_2^V = 0$$

Din (2.18'') și (2.19'') rezultă :

$$k_A = k_\mu k_\ell^2 \quad (2.20'')$$

La modelarea câmpurilor descrise de (2.13c) timpul nu intervine în proces chiar dacă procesele sînt variabile în timp și de asemenea capacitatea  $C_{m0}$  și  $\sigma$  nu mai apar în expresiile criteriilor. Ca urmare :

$$z_1^A = z_1^V = z_2^A = z_2^V = 0$$

și relațiile (2.18') și (2.19'') devin

$$k_\mu k_\ell^2 = 1 \quad (2.18'')$$

$$\frac{k_A}{k_{Js}} = 1 \quad (2.18''')$$

din care rezultă

$$k_A = k_\mu k_\ell^2 k_{Js} = k_\mu k_i \quad (2.20''')$$

Condițiile de analogie se simplifică și mai mult pentru câmpurile laplaciene (ec.2.15d), observînd că cele trei mărimi din fiecare grup de analogie ( $A$  și  $V_m$ ) pot fi considerate independente dimensiunile lui  $A$  și fiind legate prin unitatea de măsură a curentului mărime ce nu apare în ecuația care descrie câmpul. Ca urmare rezultă :

$$\frac{k_A}{k_\mu k_\ell^2} = \text{o constantă arbitrară} \quad (2.21)$$

În fiecare din condițiile de compatibilitate s-a presupus constanța coeficienților de similitudine. Dacă pentru  $k$ ,  $k$ ,  $k_{Js}$  se poate asigura ușor această constantă, pentru coeficientul  $k_\mu$  ea se asigură mai dificil. Din

$$k_\mu = \text{constant} \quad (2.22)$$

rezultă 
$$\frac{\mu}{\rho'_m} = \frac{\mu h_m}{\rho'_m} = \text{constant} \quad (2.22')$$

Cum mediile electroconductoare sînt de obicei omogene sub aspectul rezistivității, (2.22') se reduce la condiția :

$$h_m = \text{constant} \quad (2.22'')$$

adică neomogenitatea magnetică din original se transpune pe model prin variere inversproporțională a grosimii stratului electroconductor.

În cazul câmpurilor electrice plan-paralele, descrise de ecuații de tipul (A.1.6) sau (A.1.7) se poate scrie

$$k_{\varepsilon} = \text{constant}$$

adică

$$\frac{\varepsilon}{h_m} = \text{constant} \quad (2.22^{IV})$$

adică grosimea stratului electroconductor se variază proporțional cu  $\varepsilon$ .

În fig.2.4. sînt prezentate modurile de realizare a condiției (2.22<sup>IV</sup>) cu electrolit (b) și cu hîrtie electroconductoare (c), pentru structura unui sistem electrostatic prezentată în fig.2.4a; firele conductoare de corectare a cîmpului sînt implantate în materialele electroconductoare, pe curbele corespunzătoare suprafețelor de discontinuitate a funcției  $\varepsilon(x,y)$  în scopul echipotențializării pe verticală a punctelor de pe aceste curbe [53].

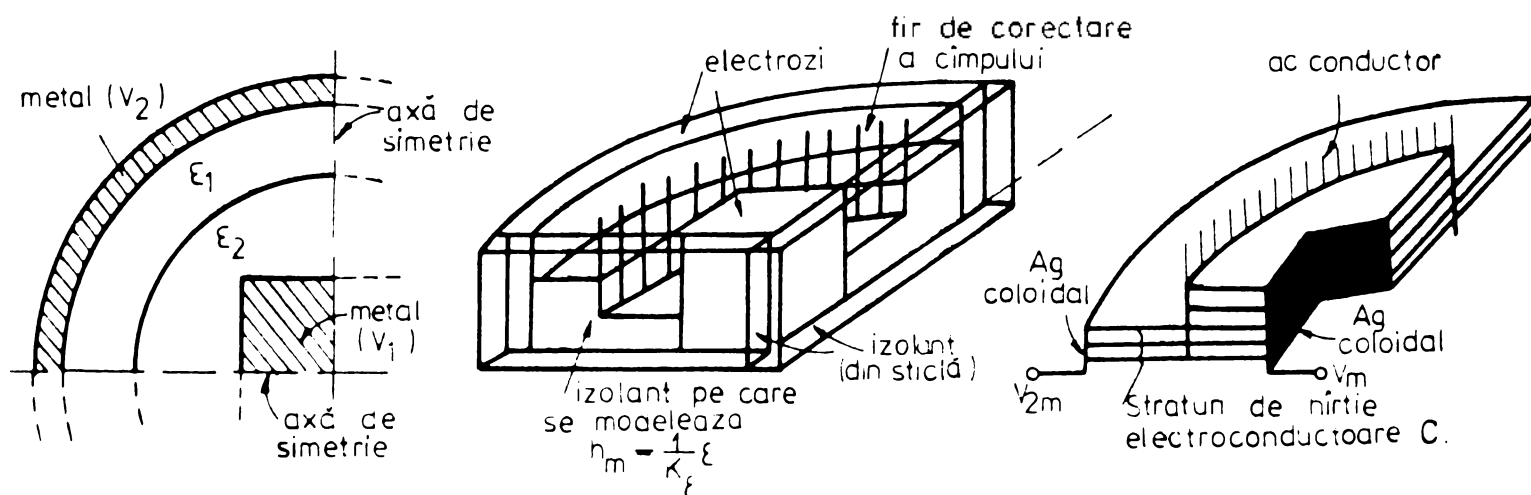


Fig.2.4. Exemplu de transpunere pe model a funcției  $\varepsilon(x,y)$  : a. sistemul original; b. modelul electrolițic; c. modelul pe hîrtie electroconductoare.

Caracteristicile permibilității magnetice neliniare (sau a permitivității dielectrice) pot fi reprezentate într-o cuvă electrolitică (un vas izolant cu electrolit) sau pe hîrtie electroconductoare printr-un proces iterativ [54]. Se presupune la început o permeabilitate constantă. Corespunzător

tor acestei situații se construiește un model cu stratul electroconductor va fi de grosime  $h_m$  constantă. Pentru câmpul determinat pe acest model se calculează valori noi ale permeabilității în fiecare punct iar grosimea stratului electroconductor este reprofilat corespunzător. Apoi distribuția câmpului în noile condiții se determină din nou, se recalculează  $\mu$ , ș.a.m.d. În mod normal două sau trei etape sînt suficiente pentru a se determina repartiția reală a câmpului.

Simularea anizotropiei magnetice sau electrice, pe model se poate trata pornind de la ecuațiile (2.13) și în acest scop se reamintește ecuația (A.1.31) ecuație care descrie câmpul magnetic într-un mediu anizotrop idealizat, în lipsa curenților electrice și de asemenea ecuația (2.13.d):

$$\nu_x \frac{\partial^2 A}{\partial x^2} + \nu_y \frac{\partial^2 A}{\partial y^2} = 0 \quad (A.1.31)$$

$$\frac{\partial}{\partial x_m} \left( h_m \sigma_m \frac{\partial V_m}{\partial x_m} \right) + \frac{\partial}{\partial y_m} \left( h_m \sigma_m \frac{\partial V_m}{\partial x_m} \right) = 0 \quad (2.13.d)$$

Cum  $\sigma_m$  nu se poate realiza ca funcție dorită de punct, se consideră stratul electroconductor omogen ( $\sigma_m(x_m, y_m) = \text{const.}$ ) astfel încît ecuația (2.13d) se mai poate scrie :

$$\frac{\partial}{\partial x_m} \left( h_m \frac{\partial V_m}{\partial x_m} \right) + \frac{\partial}{\partial y_m} \left( h_m \frac{\partial V_m}{\partial x_m} \right) = 0 \quad (2.13'd)$$

Dacă se imaginează ca la o deplasare după  $x_m$ , grosimea  $h_m$  a stratului electroconductor are o valoare medie constantă  $h_{mx}$  iar la o deplasare după  $y_m$  o valoare medie constantă  $h_{my}$ , ecuația (2.13'd) devine :

$$h_{mx} \frac{\partial^2 V_m}{\partial x^2} + h_{my} \frac{\partial^2 V_m}{\partial y_m^2} = 0 \quad (2.13''d)$$

și deci în sistemul imaginat se pot modela câmpurile din medii anizotrope.

Comparînd ecuațiile (A.1.31) admitînd proporționalitățile între  $\nu_x$  și  $h_{mx}$  și  $\nu_y$  și  $h_{my}$  cu (2.13''d) ținînd seama de independența dimensională a mărimilor  $A$ ,  $\nu$ ,  $l$  și respectiv  $V_m$ ,  $h_m$ ,  $l_m$ , cu notațiile :



$$k_{yx} = \frac{\gamma_x}{k_{mx}} ; k_{xy} = \frac{\gamma_y}{h_{my}} ;$$

și condiția rezonabilă

$$k_{yx} = k_{xy} = k_y ,$$

rezultă

$$k_y \frac{k}{k_l^2} = \text{constantă arbitrară} \quad (2.23)$$

Modul de realizare a valorilor  $h_{mx}$  și  $h_{my}$  este indicată în fig.2.5.

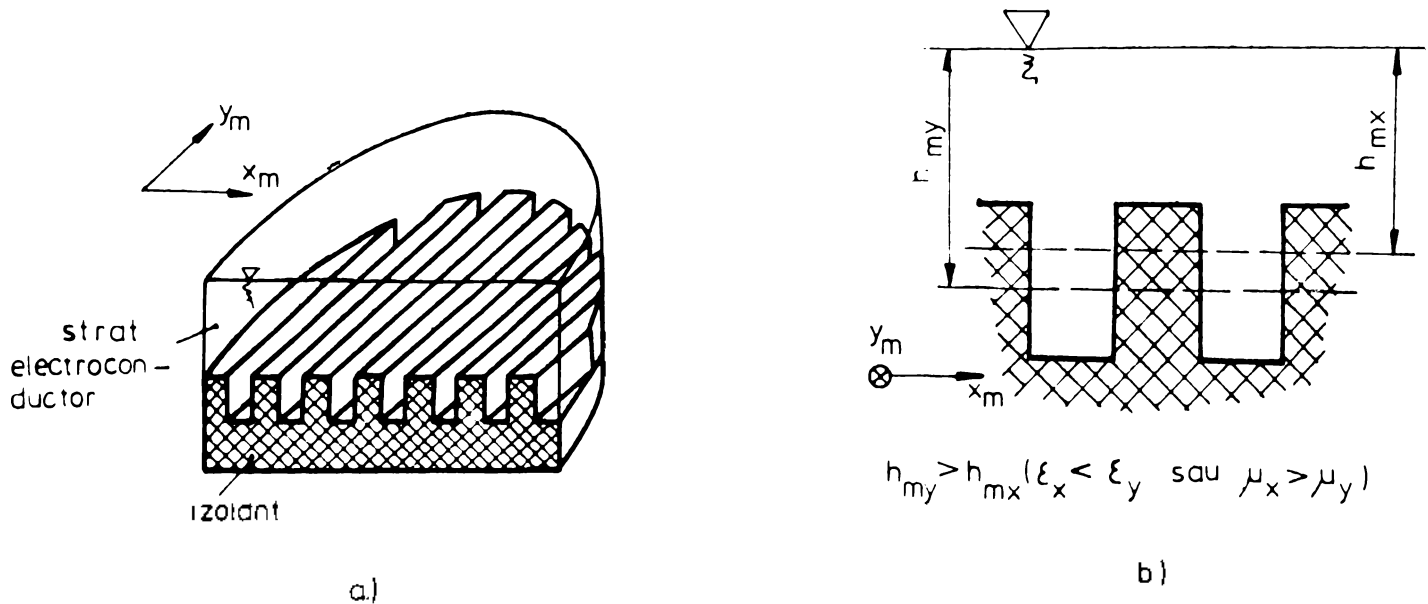


Fig.2.5. Mod de simulare a anizotropiei

## 2.2. Posibilități practice. Modelarea condițiilor de frontieră

Reveind la modelarea cîmpului magnetic descris de ecuația 2.15), se pot face cîteva observații practice referitoare la posibilitățile cîmpurilor magnetice în medii neliniare în condițiile existenței în aceste medii a unor curenți electrici.

Stiind că

$$C_{mo} = \frac{\epsilon}{d_m} , \quad (2.24)$$

din relația (2.18) rezultă :

$$\epsilon_m = \frac{\mu \sigma}{\rho'_m} \frac{k_l^2}{k_t} d_m , \quad (2.25)$$

$d_m$  fiind grosimea dielectricului (a stratului condensator) din ansamblul-model.

Expresia (3.25) arată că dacă neomogenitatea lui  $\mu$  se poate modela prin  $\rho'_m$ , neliniaritatea magnetică poate fi analogă neliniarității electrice a dielectricului de permitivitate  $\epsilon_m$  din stratul condensator. Pentru calitățile obișnuite de hîrtie electroconductoare pentru care  $\rho'_m$  este de ordinul (3+5 k $\Omega$ ), o frecvență de alimentare a modelului (corespunzătoare regimului sinusoidal),  $f_m=2000$  Hz, scara timpului  $k_t \approx 40$ , scara uzuală a lungimilor  $k_l = 3+4$  și permeabilitatea medie a materialului neliniar  $\mu \approx 1,256 \cdot 10^{-3}$  H/m, rezultă  $C_{m0} \approx (400 + 500) \cdot 10^{-6}$  F/m<sup>2</sup>. Asemenea valoare se poate atinge utilizînd pelicule dielectrice foarte subțiri sau folosind plăcuțe metalice oxidate pe una din fețe.

Reproducerea dependenței  $\mu(H)$  prin funcția  $\epsilon_m(E_m)$  prin folosirea peliculelor de seignettodielectrice este foarte greu de realizat, practic imposibilă, din cauza lipsei unor materiale cu caracteristici adecvate [54].

Procedeul iterativ descris în § 2.1 introduce, în caz general, mari complicații constructive care adăugate celorlalte dezavantaje de metodă, îl fac de multe ori neutilizabil.

Există totuși probleme cu medii neliniare în care cîmpul se poate analiza relativ ușor utilizînd un procedeu iterativ, și anume acelea în care se cere cîmpul în afara mediilor neliniare (în aer, în cupru etc.), zone pentru care permeabilitatea magnetică se poate identifica cu cea a vidului ( $\mu = \mu_0 = 1,256 \cdot 10^{-6}$  H/m).

Evident, pentru zonele cu  $\mu = \mu_0$ , grosimea stratului electroconductor  $h_m$  va fi constantă iar pelicula de dielectric va avea permitivitatea independentă de cîmp.

Pe suprafețele unor medii feromagnetice, care vor fi considerate frontiere în astfel de probleme, în regim sinusoidal, pentru frecvența industrială, în fiecare punct de pe suprafață, între componentele tangențiale  $\underline{E}$  și  $\underline{H}_\tau$  (scrise în complex) ale vectorilor intensitate de cîmp electric  $\underline{E}$  și intensitate de cîmp magnetic  $\underline{H}$ , există o legătură pe deplin determinată care reprezintă condiția la limita necesară de realizat la modelare.

Pentru cîmpurile magnetice uzuale, ( $H > 20$  A/cm), în cazul semispațiului conductor feromagnetic, relația dintre  $\underline{E}_\tau$  și  $\underline{H}_\tau$  este [54] :

$$\underline{E}_\tau = (1 + 0,6 j) \sqrt{\frac{\mu \epsilon \omega}{\sigma}} \underline{H}_\tau \quad (2.26)$$

în care  $\mu_e$  este modulul permeabilității magnetice complexe pe suprafața corpului feromagnetic și este o funcție de  $H_T$ .

Pentru înțuirea modului de utilizare a relației (2.26) la modelarea pe hîrtie electroconductoare se consideră un sistem de conductoare alimentate cu curenți sinusoidali, sistem care în secțiune transversală are forma din fig.2.6.

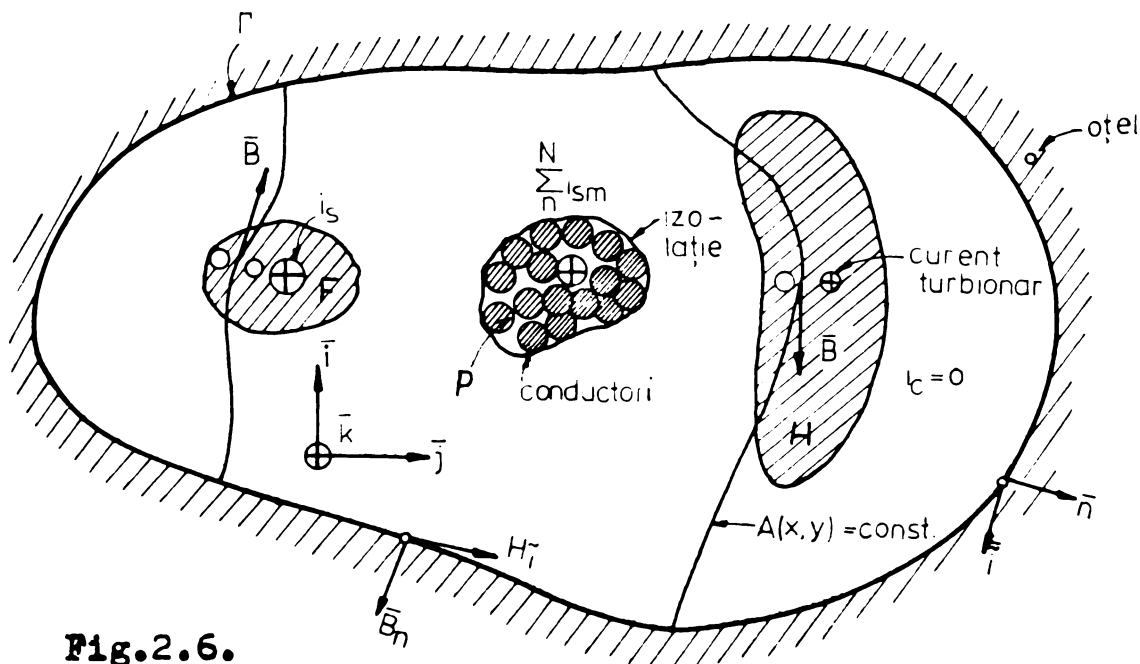


Fig.2.6.

S-au prezentat aici trei tipuri de conductoare : conductorul masiv parcurs de curentul  $i_s \neq 0$  (notat cu F), conductorul masiv - mediu de curenți turbionari ( $i_s = 0$ , notat cu H) și un fascicol de conductoare subțiri în care se poate neglija componenta solenoidală  $-\nabla \frac{\partial A}{\partial t}$  a cîmpului electric și avînd curentul  $i_{sk}$  prin fiecare conductor k diferit de zero.

Sistemul se află plasat într-o cavitate efectuată în oțel electrotehnic de grosime și cu raze de curbură suficient de mare pentru a putea fi tratat ca un semispațiu conductor.

Pentru interiorul cavității, potențialul vector magnetic  $A$  satisface pe porțiuni : ecuația lui Fourier (în conductorul F), ecuația lui Helmholtz (în conductorul H) și în fier ecuația lui Poisson (în interiorul fascicolului P) și ecuația lui Laplace (în spațiul L dintre conductoare).

Se observă că de-a lungul curbei  $\Gamma$  (urma suprafeței cilindrice interioare a ecranului feromagnetic sînt valabile : o ecuație Helmholtz pentru interiorul oțelului și o ecuație Laplace pentru cavitate.

Condițiile de frontieră, de tip nelinier, sînt date de proprietățile de conservare a componentei normale a induc-

ției magnetice și a componentei tangențiale a intensității câmpului magnetic :

$$\underline{B}_{nFe} = \underline{B}_n \text{ aer} \quad \text{sau} \quad \left(\frac{\partial A}{\partial \tau}\right)_{Fe} = \left(\frac{\partial A}{\partial \tau}\right)_{\text{aer}} \quad (2.27)$$

$$\underline{H}_{Fe} = \underline{H}_\tau \text{ aer} \quad \text{sau} \quad \frac{1}{\mu_{Fe}} \left(\frac{\partial A}{\partial n}\right)_{Fe} = \frac{1}{\mu_0} \left(\frac{\partial A}{\partial n}\right)_{\text{aer}} \quad (2.28)$$

După substituirea în (2.28) a expresiei (2.26), știind că:

$$\underline{E} = -j\omega \underline{A}, \quad (2.29)$$

înlocuind cu "1" spațiul cavității și cu "2" mediul-oțel, se obține:

$$\underline{A}_2 + \frac{1}{\mu_0} \sqrt{\frac{\mu_e}{\sigma\omega}} (0,6-j) \left(\frac{\partial A}{\partial n}\right)_1 = 0. \quad (2.30)$$

Condiția la limită corespunzătoare pentru model se va obține înlocuind în (2.30) :

$$\underline{A} = k_A \underline{V}_m; \quad \partial n = k_1 \partial n_m; \quad \underline{J}_{ms} = -\sigma_m \frac{\partial V_{m1}}{\partial n_m} \quad (2.31)$$

după care rezultă :

$$\underline{V}_{m2} = \frac{1}{\mu_0} \sqrt{\frac{\mu_e}{\sigma\omega}} (0,6-j) \frac{\underline{J}_{ms}}{k_1 \sigma_m} \quad (2.32)$$

unde  $\underline{J}_{ms}$  este densitatea de curent, normală la frontiera  $\Gamma_m$  din model, într-un punct "s" pe frontiera  $\Gamma_m$  corespunzătoare frontierei din original.

Se împarte limita  $\Gamma_m$  în sectoare  $\Delta l_{ms}$  și pentru fiecare sector se obține o valoare medie  $\underline{V}_{ms2}$  a potențialului  $\underline{V}_{m2}$ , egală cu :

$$\underline{V}_{ms2} = \Delta l_{ms} h_m \underline{J}_{ms} z_{ms} = \underline{I}_{ms} z_{ms} \quad (2.33)$$

Din identificarea relației (2.32) cu (2.33) rezultă :

$$\begin{aligned} z_{ms} = R_{ms} + j X_{ms} &= (0,6-j) \sqrt{\frac{\mu_e}{\sigma\omega}} \cdot \frac{1}{\mu_0 k_1 \Delta l_{ms} \sigma_m h_m} = \\ &= \beta (0,6-j) \sqrt{\mu_e} \end{aligned}$$

cu  $\beta = \text{constant}$ .

Rezultă că  $z_{ms}$  este impedanța unui circuit serie  $R_{ms}, C_{ms}$ , avînd valorile parametrilor

$$R_{ms} = 0,6\beta \sqrt{\mu_e}; \quad C_{ms} = \frac{1}{\omega_m \beta \sqrt{\mu_e}} \quad (2.35)$$

Dacă se potrivesc rezistențele  $R_{ms}$  neliniare și capacitățile  $C_{ms}$  la care dependența de curent este funcție de  $\mu_e$ , respectiv de  $\underline{H}_\tau$ , atunci se pot crea pe model condițiile la limită neliniare.

Se poate obține o precizie mai mare utilizând impedanțele  $\underline{z}_{ms}$  liniare și folosind și metoda aproximațiilor succesive.

Curentul care deviază în  $\underline{z}_{ms}$  (cuplată între șine s de dimensiune  $\Delta l_{ms}$  și masă) este proporțional cu valoarea lui  $\underline{H}_\tau$  :

$$\begin{aligned} \underline{H}_s &= \frac{1}{\mu_0} \left( \frac{\partial A}{\partial n} \right)_{ls} = - \frac{k_A}{k_1 \mu_0 \sigma_m h_m \Delta l_{ms}} \Delta I_{ms} = \\ &= - \frac{k_A}{k_\mu k_1} \frac{I_{ms}}{\Delta I_{ms}} = - k_1 \frac{I_{ms}}{\Delta I_{ms}} \end{aligned} \quad (2.36)$$

S-a ținut aici seama de relațiile (2.18") și (2.19").

Cu această observație rezultă următorul mod de construire a modelului. Mai întâi se alege o foaie de hîrtie electroconductoare de grosime  $h_m$  constantă, pe care se trasează curba  $\Gamma_m$ . În interiorul frontierei se injectează acolo unde e nevoie curentii  $i_{ms}$  (în zonele F și P) și pe porțiunile corespunzătoare prezenței în original a curenților turbionari se lipesc straturi condensatoare. Cu mijloace obișnuite se măsoară valoarea lui  $\underline{H}_s$  prin mărimea  $I_{ms}$  admitînd inițial  $\mu = \mu_0$ . Din curba fundamentală de magnetizare a oțelului se află  $\mu_{es}(\underline{H}_\tau)$ . Cu relația (2.34) se calculează  $\underline{z}_{ms}$ . Hîrtia se taie după conturul  $\Gamma_m$  și pe șinele de cupru cu dimensiunile  $\Delta l_{ms}$  se cuplează  $R_{ms}$  și  $X_{ms}$ . Se măsoară  $I_{ms}$  care deviază în fiecare șină, se calculează  $\underline{H}_\tau$  și se corectează  $\underline{z}_{ms}$ . Măsurile se repetă de 3-4 ori pînă cînd corectarea nu mai este necesară; atunci valoarea măsurată a lui  $\underline{H}_s$  va corespunde lui  $\mu_e$  teoretic. Modelul corespunzător sistemului din fig.2.4 este prezentat în fig.2.7.

O dată fixate ultimele valori  $\underline{z}_{ms}$  în urma procesului de iterație modelul este pregătit pentru măsurările necesitate de analiza problemei de cîmp.

Condițiile de frontieră de tip Dirichlet și Neumann - nule se transpun pe model extrem de simplu :

- pentru condițiile Dirichlet, potențializarea la scara  $k_A$  ( $k_V$  sau  $k_{VH}$ ) a punctelor de pe marginea  $\Gamma_m$  a modelului se face prin ace metalice suficient de apropiate unul de altul încît

funcția potențial din original să fie reprodusă cât mai fidel de funcția  $V_m(x_m, y_m)$ ; dacă potențialul din original este o constantă pe un anumit segment din frontieră, atunci segmentul corespunzător din model conține o foiță metalică potențializată corespunzător (la modelul cu electrolit) sau, se pensulează marginea obținută prin decuparea modelului pe porțiunea respectivă, cu argint coloidal (pentru modelul din hîrtie electroconductoare) [55].

- pentru porțiunile de graniță cu condiții Neumann-nule forțarea direcției liniei de câmp  $\vec{E}_m$  tangențial pe porțiunile corespunzătoare din model, se face izolînd de-a lungul acestor porțiuni domeniul  $D_m$  de exteriorul său, cu piese de pertinax, lemn lustruit etc., dacă pătura conductoare este electrolitul; dacă modelul se confecționează din hîrtii electroconductoare condiția se realizează simplu prin decuparea hîrtiei din exteriorul lui  $D_m$ .

Exemplul din fig.2.8, 2.9 și 2.10 ilustrează cele expuse mai sus.

Există o multitudine de probleme la care domeniul  $D$  este infinit și pentru care oricît de mare ar fi scara lungimilor, pentru a modela cîmpul acestor sisteme, ar fi necesară întinderea nelimitată a păturii rezistive :

- de obicei sistemele electromagnetice sînt complete, adică sînt îndeplinite condițiile (3.5-A);

- sursele cîmpurilor sînt concentrate în spații cilindrice de rază  $< r_0$  ( $r_0 = \sqrt{x_0^2 + y_0^2}$ );

- ecuația lui Laplace, satisfăcută de orice potențial ( $A, V, V_H$ ) pentru  $r \gg r_0$ , este invariantă față de inversiunea [33] :

$$r' = \frac{r_0^2}{r_m} \text{ respectiv } r'_m = \frac{r_{0m}^2}{r_m} \quad (2.37)$$

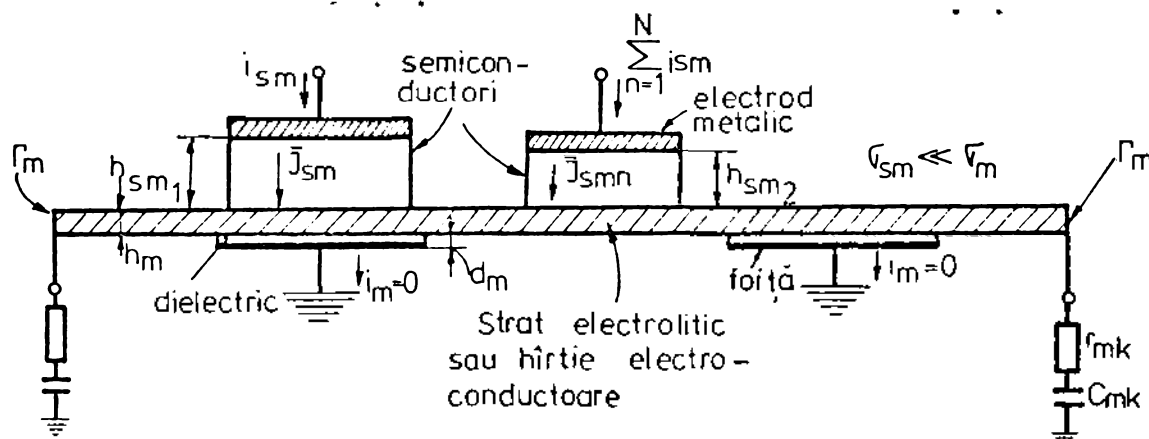


Fig.2.7. Modelul sistemului din fig.2.6.

Aplicând subdomeniului  $r_m \gg r_{om}$  inversiunea (2.37) se obține un simulator în dublu strat [56], [57], [58], în care se poate modela punctul de la infinit ( $r = \infty$ ,  $r'_m = 0$ ); primul strat (I) cuprinde zona interioară cercului de rază  $r_{om}$  și se obține în zona  $r < r_o$  simplu, prin similitudinea geometrică determinată de  $k_\rho$ . În acest strat se modelează normal din original. În al doilea strat, de aceeași dimensiuni plane cu primul, se modelează zona  $r > r_o$ . Punctele celor două margini  $r_m = r_{om}$  se echipotencializează ca în figura 2.11 a,b.

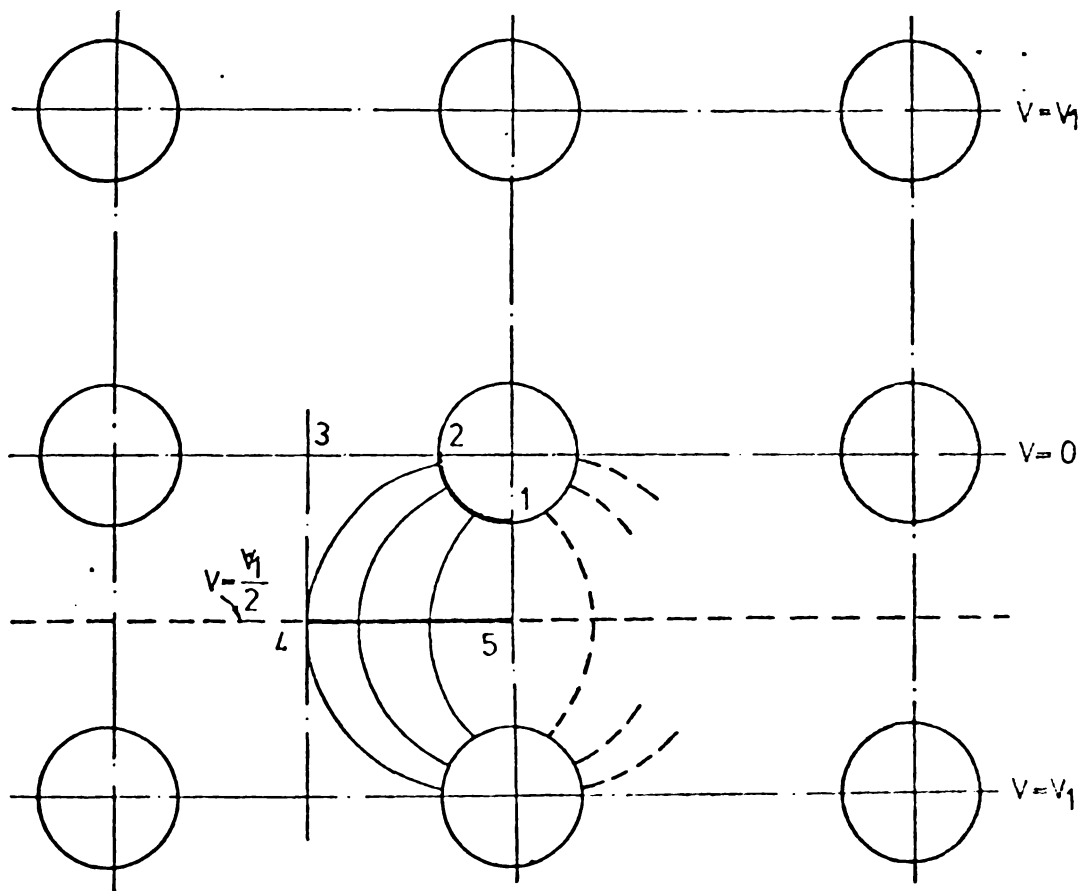


Fig.2.8. Alegerea domeniului D dintr-un sistem cu mai multe simetrii.

De obicei, modelele electrolitice se execută într-un vas din material izolant, plin cu electrolit, numit cuva electrolitică.

Pătura conductoare electrolitică poate fi o soluție apoasă a uneia din sărurile :  $NH_4Cl$ ,  $KI$ ,  $KNO_3$ ,  $AgNO_3$  etc., dar de cele mai multe ori, apă de conductă. Cava propriu-zisă (vasul în care se pune electrolitul și se plasează electrozii, se construiește de obicei din pertinax, cu volum paralelipipedic, obiș-

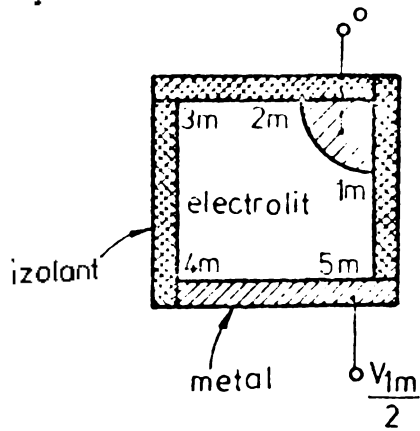


Fig. 2.9. Transpunerea pe modelul electrolitic al domeniului D din fig. 2.8 (delimitat de 1, 2, 3, 4, 5).

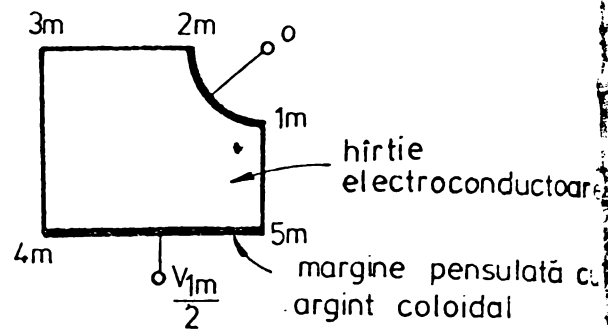


Fig. 2.10. Modelul pe hirtie electroconductoare, corespunzător domeniului D (fig. 2.8 din original).

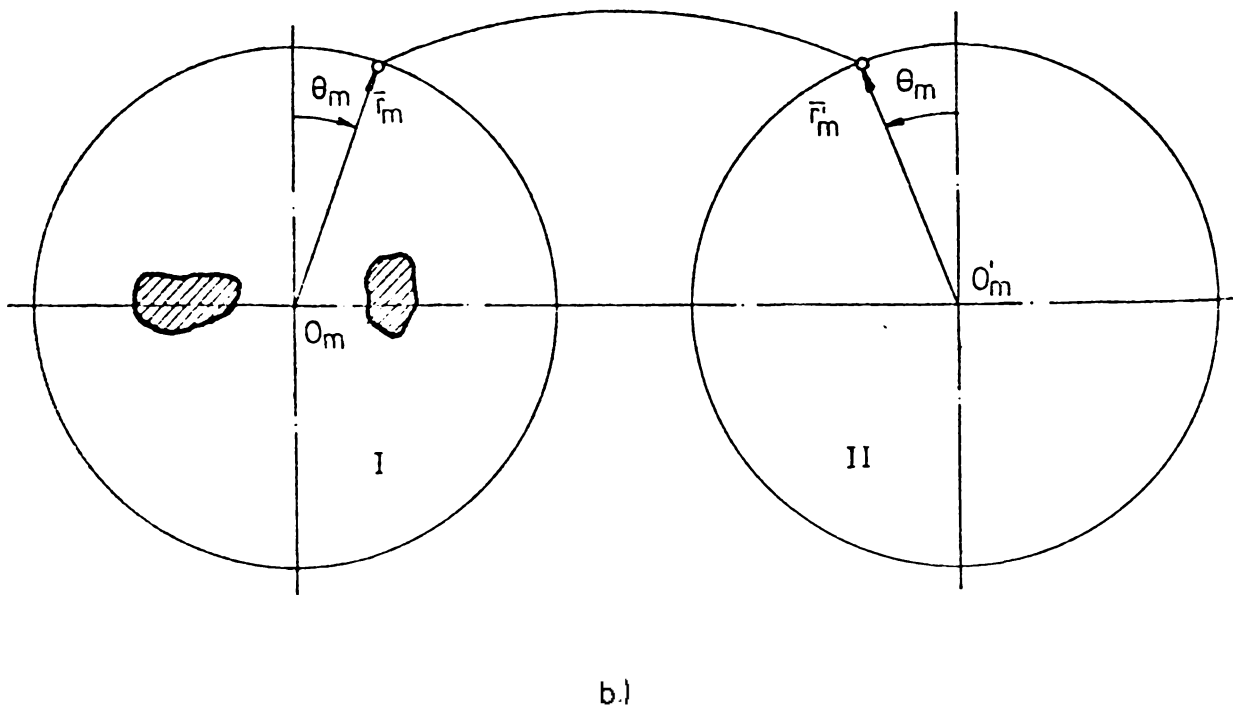
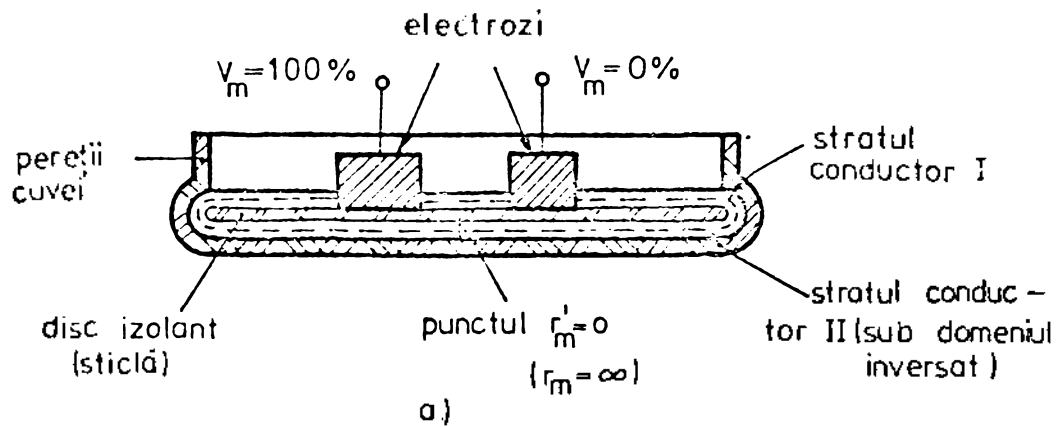


Fig. 2.11. Simulator în dublu strat. a) cuva electrolitică; b) modul de echipotenzializare a punctelor  $r_m = r_{om}$ .



nuit de dimensiunile  $1 \times 1 \times 0,1 \text{ m}^3$ .

Pentru domenii infinite se folosește cuva cu dubiu strat de electrolit (fig.2.11 a) iar pentru frontiere de tipul celei din fig.2,8, se pot construi modele individuale.

Hîrtia electroconductoare cea mai utilizată este hîrtia grafitată [55], avînd conductivitate, pe cît posibil, independentă de direcție, care se fixează pe o planșetă de lemn. Valoarea rezistenței superficiale este cuprinsă între  $10^3 \dots 10^5 \Omega$ , deci mai reduse de cel puțin 90 ori decît cea a lemului.

### 2.3. Tehnica măsurării pe modele

a. Determinarea cîmpurilor laplaciene prin modelare în cuva electrolitică sau pe hîrtie electroconductoare se poate face în urma trasării unui spectru de linii echipotențiale, suficient de dens, între electrozi, cu ajutorul unei scheme de măsurare în punte conform fig.2.12.

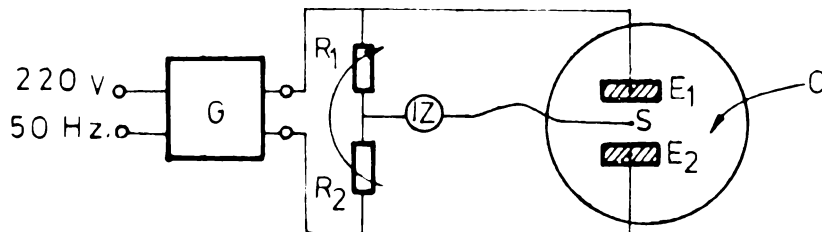


Fig.2.12. Schema de măsurare în punte.

S-a notat cu : G - generator de audeofrecvență;  $R_1$  și  $R_2$  - rezistențe complementare ( $R_1 + R_2 = \text{const.}$ ); IZ - indicator de tensiune zero;  $E_1$  și  $E_2$  - electrozii model; C - cuva electrolitică (sau simulator din hîrtie electroconductoare); S - sonda de detectare a punctelor echipotențiale (la cuva electrolitică - un ac conductor, la hîrtia electroconductoare - un creion special care la echilibrul punții lasă o urmă colbrată pe hîrtie).

În cazul cuvei electrolitice, avînd în vedere efectul polarizării electrozilor la o alimentare în curent continuu, se alege ca tensiune de alimentare o tensiune alternativă sinusoidală de frecvență limitată superior de condiția rot  $\vec{E}_m = 0$ , și

în cazul măsurărilor în punte avînd ca indicator de zero casca telefonică, și de sensibilitatea organului de auz pentru frecvențele audeo. Limitarea inferioară a frecvenței este determinată de atenuarea polarizării. Frecvențele optime care răspund acestor necesități pentru cuvele electrolitice cu strat dublu (cu un diametru de 0,5 m) sînt cuprinse între 1000 ÷ 2000 Hz.

Modelele din hîrtie electroconductoare se pot alimenta atît în curent continuu cît și în curent alternativ.

Pentru măsurări de precizie în cuva electrolitică, trebuie ținută seama că puntea din fig.2.12, nu permite înlăturarea influenței capacităților parazite dintre componentele schemei de măsurare și masă și compensarea totală a impedanței echivalente corespunzătoare polarizării în cuvă. Pentru a satisface aceste deziderate, la fel ca la o punte obișnuită de curent alternativ, se conectează în derivație cu  $R_1$  și  $R_2$  capacitățile reglabile  $C_1$  și  $C_2$  (fig.2.13) și se prevede pămîntarea Wagner cu un divizor alcătuit din rezistențele  $R_{w1}$  și  $R_{w2}$  și capacitățile  $C_{w1}$  și  $C_{w2}$  (în schemă nu sînt figurate capacitățile a căror influență trebuie compensată) [6].

Cu schema din fig.2.13, punctele de potențial egal se determină alegînd un anumit raport al rezistențelor  $R_1$  și  $R_2$  și căuțînd cu sonda în cuvă pe hîrtie pozițiile pentru care se obține echilibrarea puntii.

De obicei, la sistemele de doi electrozi echipotențiali, se trasează un spectru de 11 linii echipotențiale : două corespunzătoare profilurilor electrozilor și nouă linii corespunzătoare potențialelor obținute prin diferențierea liniilor învecinate cu cîte 10% din tensiune  $V_m$  de alimentare a electrozilor. Se vor alege în consecință următoarele rapoarte între  $R_2$  și  $R_1$  :

$$\frac{R_2}{R_1} = \frac{100}{900} ; \frac{200}{800} ; \dots ; \frac{900}{100}$$

Fiecare linie echipotențială se trasează înregistrînd la scară pe o hîrtie, punctele detectate în cuvă cu detectorul S, pentru un anumit raport  $\frac{R_2}{R_1}$ . Numărul de puncte înregistrate

este determinat de precizia cu care se dorește să se traseze linia respectivă.

Cu schema din fig.2.13 se lucrează astfel : cu cursorul de la divizorul  $R_1 + R_2$  pus la poziția corespunzătoare raportului  $\frac{R_2}{R_1}$  ales pentru a se ridica o linie echipotențială dorită,

și cu comutatorul  $k$  în poziția 1, se deplasează sonda pînă la aflarea unui minim relativ la indicatorul de zero IZ se corectează minimul prin reglarea lui  $C_1$  și  $C_2$ , se trece comutatorul în poziția 2 și se aduce IZ la potențialul pămîntului prin reglarea brațelor de la pămîntarea Wagner, se revine la poziția 1 și se perfectează echilibrul prin reglarea sondei și capacitățile  $C_1$  și  $C_2$ . Se procedează astfel la determinarea fiecărui punct al liniei echipotențiale care se determină.

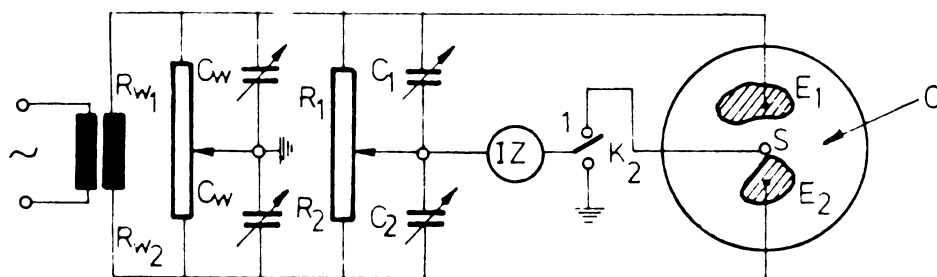


Fig.2.13. Schema în punte cu împămîntare Wagner.

După trasarea spectrului liniilor echipotențiale restul mărimilor de câmp, funcții de punct sau integrale, se determină ușor cu ajutorul constantelor  $k_A$ ,  $k_V$ ,  $k_{VH}$  alese la proiectare : pentru mărimile intensității de câmpuri sau inducții, se fac aproximații de ordinul I, iar pentru mărimile integrale se utilizează regulile de aproximare numerică (regula trapezului, a lui Simpson etc.) [34] , [39], [40].

b. Determinarea câmpurilor poissoniene prin modelare în oua electrolitică este dificilă. Încercările modelării pe hîrtie electroconductoare au dat rezultate mulțumitoare [59]. Schema de principiu a instalației de alimentare și măsurare la modelarea pe hîrtie electroconductoare are structura celei din fig. 2.14.

În fig.2.14 se prezintă o schemă tipică de alimentare și măsurarea pe modelul din hîrtie electroconductoare pentru câmpuri poissoniene cu condiții de frontieră nelineare [59].

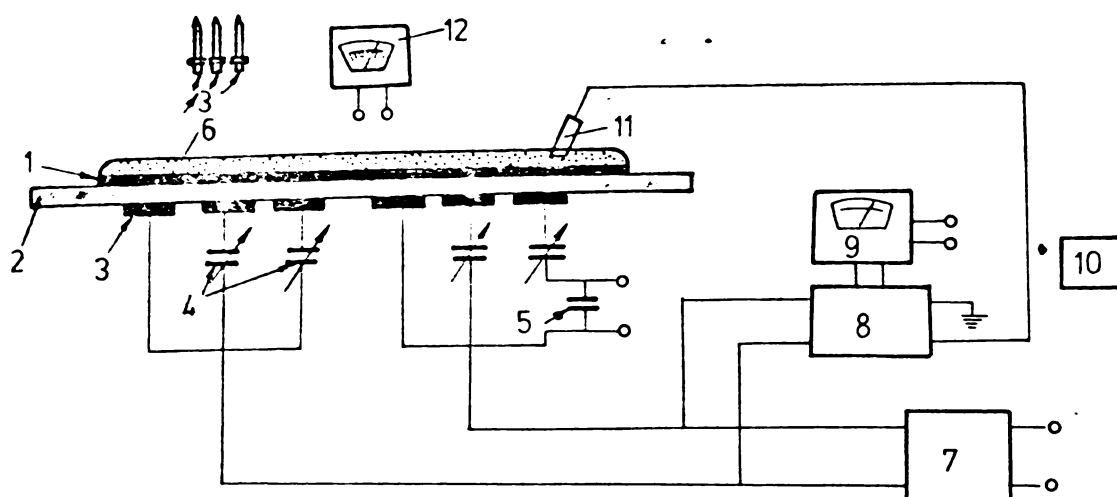


Fig.2.14. Schema de principiu a instalației de alimentare și măsurare pentru un model din hîrtie electroconductoare.

O foaie de hîrtie electroconductoare 1, are dimensiunile la scară  $k_1$  în concordanță cu secțiunea transversală a domeniului D. Marginile foii corespund marginilor suprafețelor feromagnetice. Hîrtia se așează pe o suprafață de geam 2, de grosime de 2-2,5 mm geamul avînd rol de dielectric. Pe partea inferioară a geamului sînt lipiți electrozi din foile de aluminiu, 3. Dimensiunile electrozilor corespund dimensiunilor secțiunilor conductoarelor parcurse de curenții din original. Aducerea curenților de la sursă se realizează cu capacitățile de alimentare 4, alese astfel încît curenții electrozilor să fie proporționali cu tensiunile magnetomotoare a zonelor respective.

Pentru verificarea valorii curenților se utilizează condensatorul de măsurare 5, cu capacitate cu mult mai mare decît capacitățile electrozilor și a celor de alimentare. Tensiunea pe condensatorul 5 se măsoară cu un voltmetru electronic.

Hîrtia electroconductoare trebuie să adere strîns de sticlă. Lipirea hîrtiei nu este rațională datorită neomogenizării grosolane a hîrtiei sub aspectul conductivității  $\sigma_m$  în urma procesului de lipire [56].

Atașarea hîrtiei de sticlă se realizează prin intermediul unui strat de material friabil, neconductor de exemplu praful de porțelan 6. În cazul modificărilor, praful se îndepărtează ușor cu ajutorul unei pensule moi și sonda de măsurare se instalează în locul necesar.

Ca sursă de alimentare a modelului se utilizează un generator de audeo-frecvență 7, cu intrare simetrică.

În schema instalației intră blocul de deconectare de la reglarea capacitivă 8, și voltmetrul electronic 9 de măsurare a tensiunii. Verificarea potențialului zero pe model se face cu ajutorul voltmetrului 9, sau a osciloscopului 10; Această tensiune se culege de pe model cu sonda 11, nivelul "zero" este menținut cu blocul 8. Măsurătorile pe model se realizează cu milivoltmetrul 12 și garnitura de sonde 13. Cele trei sonde sînt plasate cîte două în planuri ortogonale.

Din expresiile (1.2-A) și (1.15-A) rezultă că E și B au expresiile

$$E = \sqrt{\left(\frac{\partial V}{\partial x}\right)^2 + \left(\frac{\partial V}{\partial y}\right)^2} \approx \frac{1}{h} \sqrt{(V_1 - V_2)^2 + (V_3 - V_2)^2}$$

$$B = \sqrt{\left(\frac{\partial A}{\partial x}\right)^2 + \left(\frac{\partial A}{\partial y}\right)^2} \approx \frac{1}{h} \sqrt{(A_1 - A_2)^2 + (A_3 - A_2)^2}$$

asa încît măsurarea succesivă a diferențelor  $(V_{1m} - V_{2m})$  și  $(V_{3m} - V_{2m})$  dă la scara  $\frac{k_V}{k_1}$  respectiv  $\frac{k_A}{k_1}$ , componentele mărimi-

lor E sau B.

Dacă înaintea voltmetrului 9 se conectează un dispozitiv care ridică la patrat tensiunile  $U_{31m}$ , le însumează și din rezultat extrage rădăcina patrată, voltmetrul va măsura direct pe E respectiv pe B.

#### 2.4. Precizia metodelor de modelare

##### 2.4.1. Precizia modelării în cuva electrolițică

Eroarea metodei de măsurare este determinată de precizia elementelor din schema de măsurare și de erorile sistematice care depind de metoda de măsurare.

Eroarea globală include erorile mecanice, pe cele determinate de tensiunea superficială a lichidului electrolit, de neomogenizarea electrolitului, erorile cauzate de polarizare, de perturbarea din timpul investigației și efectele de frontieră.

Contribuția la eroarea totală a preciziei tensiunii de alimentare și a circuitelor de măsurare poate fi făcută neglijabilă dacă se acordă atenția cuvenită unui sistem de pămîntare a instalației măsurare și stabilizării tensiunii de alimentare.

Circuitul de măsurare a gradientului care implică măsurarea unor tensiuni mici între două puncte dintre care nici unul nu este la potențial nul cere un mai mare grad de precizie decât cele pentru măsurarea potențialului și în acest caz sînt necesare circuite de urmărire catodică și amplificatoare stabile.

Erorile mecanice includ atît inexactitățile constructive ale analogului cît și interpretarea falsă care se datorește jocurilor excesive ale părților mecanice și a impreciziilor în aproximarea frontierei.

Erorile care se datoresc tensiunii superficiale a electrolitului sînt importante în special cînd măsurătorile de potențial sînt făcute lîngă frontieră.

La orice interfață electrod-electrolit trebuie să existe un oarecare grad de polarizare. Cu frecvențe de ordinul a 1 kHz și electrozi de alamă grafitată, polarizația este redusă suficient ca rezultatele obținute să fie acceptabile.

Reducerea influenței polarizației este importantă în special cînd se folosesc dispuneri multi-electrozi pentru care se măsoară gradientii și în aceste situații sînt indicați electrozi din platină sau platinizați [60].

La analogia bidimensională se realizează precizii în măsurarea potențialului, de ordinul 0,1-0,2% dar numai dacă se acordă mare grijă minimalizării tuturor erorilor posibile [7]. Precizia corespunzătoare măsurărilor de gradient este de aproximativ de 0,5%. Pentru analogii complicate e greu de obținut precizii de măsurare a potențialului, mai mari decât  $\pm 1\%$ . Eroarea permisă este determinată de problema studiată și de precizia cu care pot fi stabiliți parametrii cîmpului original și în majoritatea aplicațiilor ingineresti o precizie totală de 1-2% în măsurarea potențialelor este cu totul acceptabilă [17].

#### 2.4.2. Precizia modelării cu hîrtie electroconductoare

Cauzele principale ale erorilor care apar la modelarea cîmpurilor electrice și magnetice pe hîrtie electroconductoare constau în imperfecțiunea mediului rezistiv - hîrtie în ceea ce privește omogenitatea, stabilitatea la temperatură și umiditate și izotropia lui.

Ordinul de mărime al dispersiei într-un rulou de hîrtie grafitată este de  $\pm 6\%$ . Pe suprafața limitată de un contur

mai mic decît lăţimea ruloului ea este net mai slabă (de ordinul a 2-3%) [55].

Variaţia rezistivităţii hîrtiei electroconductoare numai cu temperatura este foarte mică ea fiind de ordinul a - 0,2%/°C.

Variaţia cu umiditatea este mai importantă şi poate produce modificări fie prin schimbarea condiţiilor atmosferice, fie prin uscarea locală a hîrtiei datorită încălzirii laterne cauzată de o încărcare cu curent excesiv. Efectul din urmă poate fi uşor evitat avînd grijă ca disiparea în hîrtie să nu depăşească nicăieri aproximativ  $100 \text{ mW/cm}^2$ , echivalentă variaţiei potenţialului cu aproximativ 8 V/cm.

Hîrtia prezintă o anizotropie destul de evidentă, rezistivitatea în sensul rulării fiind cu aproximativ 10% inferioară celei în sens transversal rulării. Erorile introduse de anizotropie sînt admise ca atare, construirea unor modele distorsionate care să ţină seama de ea fiind dificilă.

Ca şi în cazul modelelor electrolitice şi chiar mai mult, eroarea totală este greu de aproximat datorită complexităţii ei. E greu de trecut de la o discuţie despre tipurile de surse de erori, la o afirmaţie generală a ordinului de mărime a preciziei care e de aşteptat la o problemă oarecare de cîmp.

Problemele variază ca structură foarte mult dar pot fi recunoscute două mari categorii.

Prima categorie cuprinde problemele la care informaţiile cerute se referă la configuraţia generală a cîmpului, de exemplu capacitatea sau permeanţa dintre anumite frontiere specificate, în problemele de acest gen o precizie de 1-2% se atinge destul de uşor.

Problemele de a doua categorie sînt acelea în care se cer informaţii despre detaliile locale ale modelului de cîmp, de exemplu gradientul de-a lungul unei frontiere specificate sau intensitatea cîmpului electric lîngă un colţ ascuţit. Depinzînd de geometria problemei precizia poate fi oricare, de la nivelul  $\pm 1 - 2\%$  pînă la  $\pm 10-20\%$  sau chiar mai slabă în cazuri deosebit de dificile şi la aplicarea unei tehnici greşite de execuţie a modelului. Ultima observaţie se referă la faptul că dacă electrozii de injectare a curenţilor, la modelarea unei ecuaţii Poisson, se lipsesc, datorită procesului de lipire pot apare erori inadmisibile de 20-30% şi chiar mai

mult, de aceea atașarea acestor electrozi pe hîrtie trebuie făcută cu mare atenție și prin presarea cu un strat izolator de strîngere (granule de porțelan cu diametrele de 2-3 mm) [20].

Dacă modelarea cîmpurilor poissoniene se poate efectua obținîndu-se în mod obișnuit o precizie de 10% (în determinarea intensităților de cîmp, a fluxurilor și a forțelor), [54] posibilitatea modelării cu precizie rezonabilă, a cîmpurilor magnetice variabile în timp, nu se întrevede din motive tehnologice.

#### 2.4.3. Precizia modelării pe modele din tablă

Modelele din tablă (de oțel de exemplu) dau rezultate cu mult mai bune decît cele din hîrtie grafitată putîndu-se atinge precizii de determinare a intensităților cîmpurilor de pînă la 0,5% [61]. Aceste modele pot fi utilizate cu succes la analiza cîmpurilor laplaciene și poissoniene aproape cu aceleași precizii. Trebuie remarcat însă, că pentru precizii ridicate este nevoie ca în procesul de fabricare a tablei să se urmărească o abatere de la grosimea presorisă foarte mică (sub 1%).

Pentru tabla din fier se impune atenție în privința dependenței de temperatură a rezistenței electrice și a tensiunii termice. La o sarcină de  $1 \text{ A/mm}^2$  creșterea temperaturii este de  $1,7^\circ\text{C}$ . La valori ale tensiunilor de măsurat de 0,5 mV se face observată căldura mîinii operatorului încît trebuie utilizate "vîrfuri de măsurare" speciale a căror construcție este pretențioasă.

Exemple de utilizare a unor modele de tablă pentru determinarea cîmpurilor magnetice se găsesc în [62] - [66].

Utilizarea acestui tip de model la analiza cîmpurilor în conductoare masive e greu de întrevăzut (ca și în cazul celorlalte modele cu strat electroconductor) datorită dificultăților de fabricare a stratului condensator care implică o grosime foarte mică pentru dielectricul dintre foaia electroconductoare și electrodul conectat la masă.

### III. MODELAREA PE REȚELE ANALIZOARE R ȘI RC

Acest tip de modelare are la bază ecuațiile obținute prin metoda diferențelor finite, elementelor finite și utilizînd discretizarea tip "celulă". Referirile se vor face în principal, la ultima metodă. Opțiunea are la bază și faptul că operațiile de



îmbunătățire a acestor ecuații sînt extrem de simple în comparație cu cele corespunzătoare metodei elementelor finite (v.2.2-A).

Din motivele expuse în 3.1-A se prezintă aici numai modelarea cîmpului magnetic.

### 3.1. Tipurile de modele

Pentru o celulă "e" (care include nodul "e") (fig.3.1.a) ecuația pe care o satisface A, în condițiile aproximării unei densități medii de curent pe celulă egale cu cea din nodul "e", este:

$$\sum_{mn} \nu_{mn} \frac{A_{e'} - A_e}{L_{ee'}} L_{mn} = \sigma_e \left( \frac{\partial A_e}{\partial t} + K \right) \quad (3.1)$$

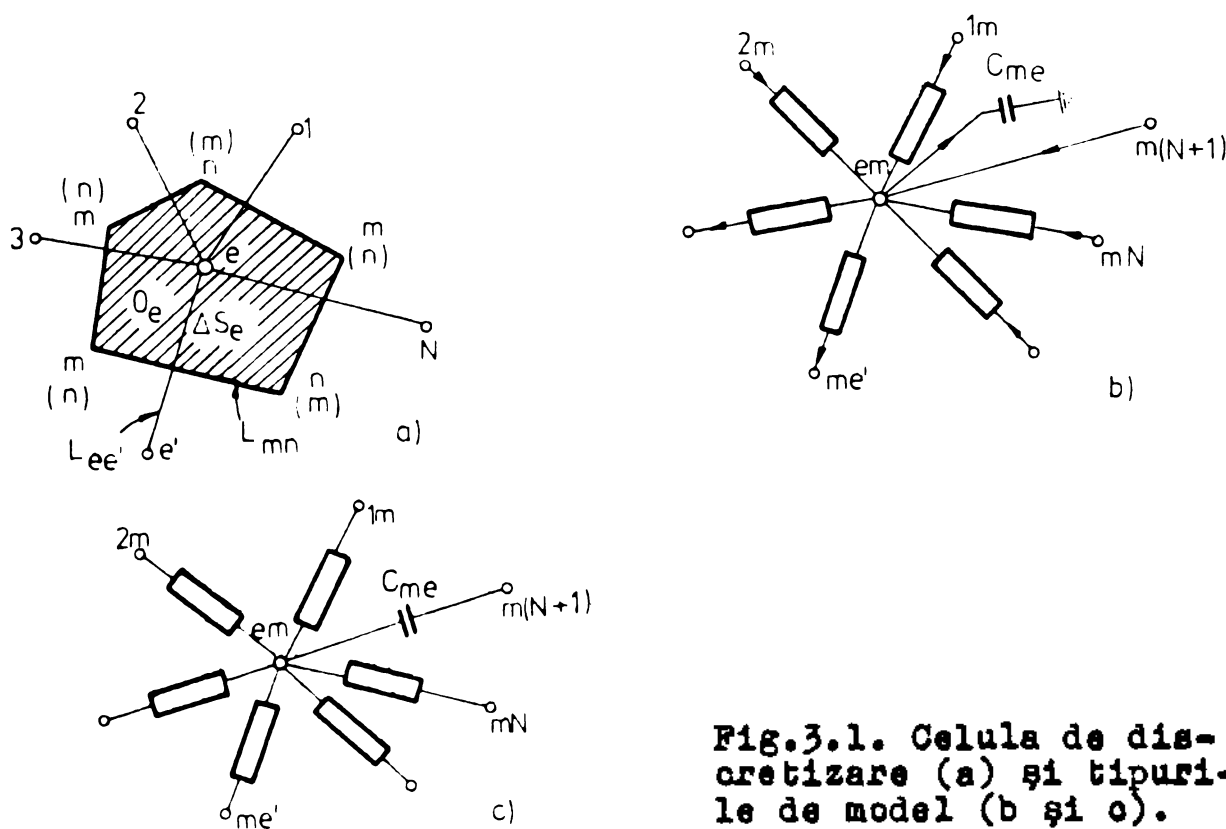


Fig.3.1. Celula de discretizare (a) și tipurile de model (b și c).

Există două tipuri de rețele electrice pe care se poate modela o astfel de ecuație (fig.3.1.b și c).

Teorema I a lui Kirchhoff aplicată în jurul nodului "e" al rețelei din fig.3.1.b, se poate scrie astfel :

$$\sum_{e'=1}^N \frac{V_{me'} - V_{me}}{R_{me'}} = C_{me} \frac{dV_{me}}{dt} - i_{me} \quad (3.2)$$

Pentru nodul "e" al rețelei din fig.3.1.c ea primește for-

ma :

$$\sum_{e'=1}^N \frac{V_{me'} - V_{m0}}{R_{me'}} = C_{me} \frac{dV_{me}}{dt_m} - C_{me} \frac{dV_{m,N+1}}{dt_m} \quad (3.3)$$

Se observă că ecuațiile (3.1) și (3.2) se mai pot scrie:

$$f(t, K, \Delta s_e, \sigma_e, \mu_e \frac{L_{ee'}}{L_{mn}}, A) = 0 \quad (3.1')$$

$$f(t_m, i_{me}, C_{me}, R_{me'}, V_m) = 0 \quad (3.2')$$

Alegînd pe  $t, K, \Delta s_e, \sigma_e$  respectiv pe  $t_m, i_{me}, C_{me}$ , ca mărimi fundamentale și pe  $\mu_e, \frac{L_{ee'}}{L_{mn}}, A$ , respectiv pe  $R_{me'}, V_m$  ca mă-

rimi derivate din primele, ecuațiile (3.1') și (3.2') se pot scrie sub formele lor criteriale :

$$F(\pi_1^A, \pi_2^A) = 0 \quad (3.1'')$$

$$F(\pi_1^V, \pi_2^V) = 0 \quad (3.2'')$$

în care :

$$\pi_1^A = \frac{\mu_e \frac{L_{ee'}}{L_{mn}}}{t^A \cdot K^A \cdot (\Delta s_e \sigma_e)^{z_1^A}} ; \pi_2^A = \frac{A}{t^A \cdot K^A \cdot (\Delta s_e \sigma_e)^{z_2^A}} ;$$

$$\pi_1^V = \frac{R_{me'}}{t_m^V \cdot i_{me}^V \cdot C_{me}^V} ; \pi_2^V = \frac{V_m}{t_m^V \cdot i_{me}^V \cdot C_{me}^V}$$

Impunînd condițiile de adimensionalitate criteriilor, prin egalitățile :

$$\pi_1^A = \pi_1^V ; \pi_2^A = \pi_2^V ,$$

se obțin condițiile care trebuie satisfăcute la modelarea ecuației (3.1) pe modelul din fig.3.1 b :

$$\frac{\mu_e \frac{L_{ee'}}{L_{mn}} \cdot \Delta s_e \sigma_e}{t} = \frac{C_{me} R_{me'}}{t_m} \quad (3.4)$$

$$\frac{A}{t \cdot K} = - \frac{V_m \cdot C_{me}}{t_m \cdot i_{me}} \quad (3.5)$$

Introducînd în aceste relații coeficienții de analogie :

$$k_A = \frac{A}{V_m} ; k_\mu = \frac{\mu_e \frac{L_{ee'}}{L_{mn}}}{R_{me'}} ; k_K = - \frac{K C_{me}}{i_{me}} ;$$

$$k = \frac{\Delta s_e \sigma_e}{C_{me}} ; k_t = \frac{t}{t_m}, \quad (3.6)$$

rezultă :

$$k_t = k_\sigma k_u \quad (3.4')$$

$$k_K = k_A k_t^{-1} \quad (3.5')$$

Dintr-o analiză similară a corespondențelor ecuațiile (3.1) și (3.3) se obțin condițiile care trebuie respectate la modelare între mărimile fizice din original și model :

$$\mu_e \frac{L_{ee'}}{L_{mn}} \Delta s_e \sigma_e = \frac{t}{t_m} C_{me} R_{me'} \quad (3.7)$$

$$\frac{A}{tK} = \frac{V_m}{t_m \frac{dV_{m,N+1}}{dt_m}} \quad (3.8)$$

respectiv relațiile (3.4') și (3.5') cu observația că de data aceasta

$$k_K = - \frac{K}{\frac{dV_{m,N+1}}{dt_m}} \quad (3.9)$$

Pentru medii magnetice neliniare  $R_{me}$  trebuie să fie o funcție de curent analoagă lui  $\mu$  (H), lucru practic imposibil de realizat datorită inexistenței unor astfel de dependențe pentru rezistențe.

În [67] se indică simularea neliniarității pentru cîm-

puri unidimensionale prin circuite active în punte. Utilizarea acestei metode pentru câmpuri bidimensionale duce la scheme mult prea complexe. Metoda nu ține seama de pierderile prin histereză.

Se pot utiliza în acest caz modele cu elemente R și C liniare și variabile, problema de câmp rezolvându-se prin metoda aproximațiilor succesive (V.Cap.III-A). La fiecare iterație valorile rezistențelor  $R_{me}$ , se vor schimba proporțional cu noile valori recalculate ale lui  $\mu$  din caracteristica de magnetizare a materialului.

Tratarea prin modelare a problemei mediilor neliniare în general este în orice caz greoaie. E preferabil acestei rezolvări, soluționarea ei cu calculatorul cifric, bineînțeles pentru domenii care reduc problema la un număr de ecuații acceptat de către acesta.

În consecință discuția se va limita doar la mediile liniare indicându-se la locul potrivit cum poate fi modificat modelul corespunzător acestor situații pentru a putea fi folosit pentru condiții de graniță neliniare (în problemele câmpurilor de dispersie).

Pentru medii liniare și omogene, cel puțin pe zone, la pași de discretizare constanți și egali cu  $h$ , (fig.3.2.a),

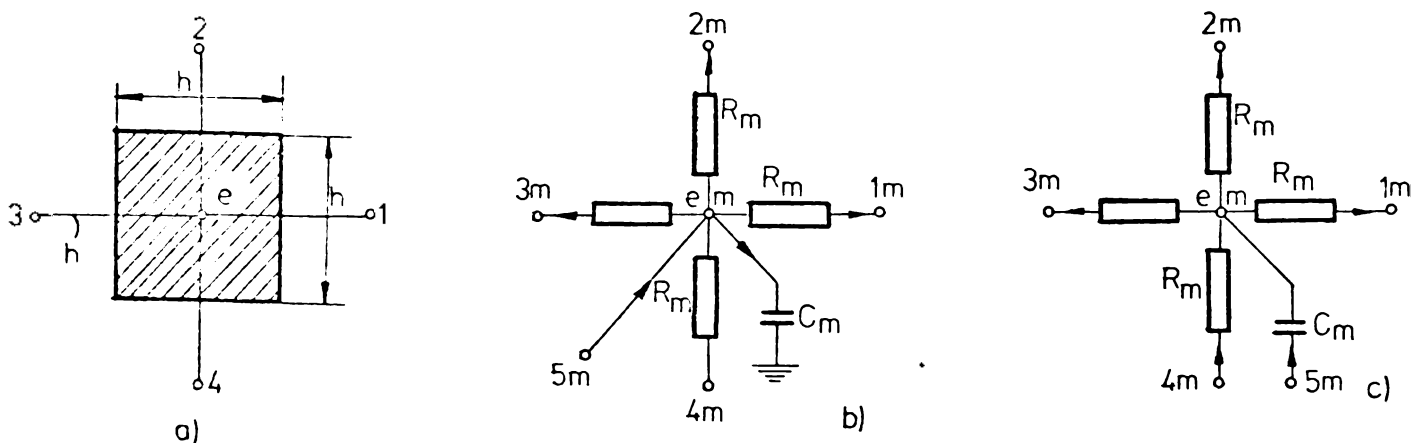


Fig.3.2.a. Celulă pătratică corespunzătoare discretizării cu pas constant ( $L_{ee} = L_{mn}$ ); b) rețeaua RC alimentată de la surse de curenți  $i_{me}$ ; c) analogul electric cu alimentare doar prin condensatori.

Ecuațiile (3.1), (3.2), (3.3) vor primi formele :

$$A_1 + A_2 + A_3 + A_4 - 4A_e = \mu \sigma h^2 \left( \frac{\partial A_e}{\partial t} + K_i \right), \quad (3.10)$$

$$V_{m1} + V_{m2} + V_{m3} + V_{m4} - 4V_{me} = R_m C_m \left( \frac{dV_{me}}{dt_m} - \frac{1}{C_m} \right), \quad (3.11)$$

$$V_{m1} + V_{m2} + V_{m3} + V_{m4} - 4V_{me} = R_m C_m \left( \frac{dV_{me}}{dt_m} - \frac{dV_{m5}}{dt_m} \right), \quad (3.12)$$

condițiile (3.4) și (3.7) care sînt identice și în caz general, devin :

$$\mu \sigma h^2 = R_m C_m k_t, \quad (3.13)$$

iar condițiile (3.5) și (3.8) se pot scrie în ordine :

$$K = - \frac{k_A}{k_t} \frac{i_{me}}{C_m} \quad (3.14)$$

$$K = - \frac{k_A}{k_t} \frac{dV_{m5}}{dt_m} \quad (3.15)$$

Condiția (3.14) se poate realiza injectînd curenții  $i_{me}$  de la o sursă de curenți sau de la surse obișnuite prin rezistențe de injecție de valori cu mult mai mari decît valori  $R_m$ .

Condiția (3.15) se realizează mai simplu făcînd observația că pe secțiunea unui conductor componenta longitudinală  $K$  a cîmpului electric, este o constantă. Acest lucru sugerează legarea punctelor "m5" din model la același potențial.

Rezultă deci două cele două moduri de alimentare a celor două tipuri de modele, prezentate în fig.3.3.a,b.

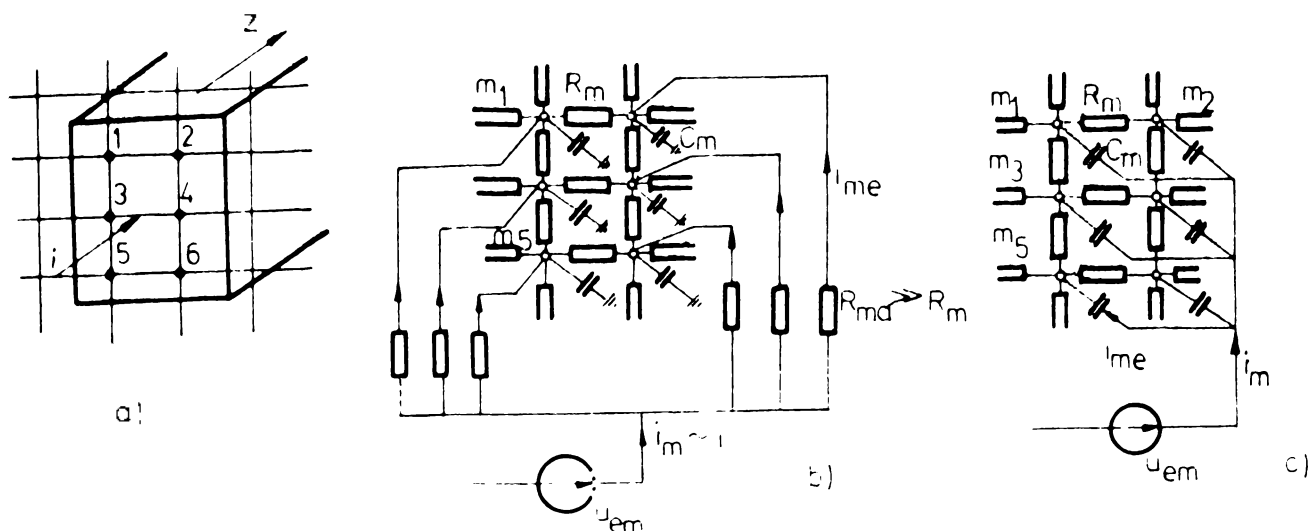


Fig.3.3. a)- Original cu pînanul cîmpului discretizat;  
 b)- Model RC (primul tip);  
 c)- Model RC (al doilea tip).

Primul tip de model (fig.3.3.b) are posibilități mai largi de utilizare putînd fi ușor modificat în scopul modelării

cîmpurilor cu distribuții poissoniene de curenți (respectiv de sarcini, în cazul cîmpurilor electrice), prin simpla deconectare a condensatoarelor de la nodurile rețelei de rezistențe, rămînînd astfel conectați doar rezistorii  $R_{ma}$  prin care se injectează curenții  $i_{me}$  proporțional cu densitatea de curent  $J = -K\sigma$  (sau cu densitatea volumetrică de sarcină electrică).

De asemenea acest model permite separarea componentelor potențiale și rotaționale ale cîmpului electric, respectiv a densităților medii de curent de cele turbionare:

$$J_{med} = -\sigma K = \frac{k_A}{k_t} \sigma i_{me} \quad (3.16)$$

$$J_{turb} = -\sigma \frac{\partial A}{\partial t} = -\sigma k_A \frac{du_{mc}}{dt_m} = -\frac{\sigma}{C_m} k_A i_{mc} \quad (3.17)$$

Al doilea tip de model (fig.3.3.c) permite pentru regiul variabil însoțit de curenți turbionari, determinarea directă a densității de curent ( $\bar{J} = -\sigma \left( \frac{\partial A}{\partial t} + K \right) \bar{k}$ ) în domeniu timp, compunerea lui  $J$  nemaifiind necesară după efectuarea măsurărilor pe model ca în cazul primului tip și de asemenea permite alimentarea mai simplă, mai puțin costisitoare.

Se observă că dacă viteza de variație a lui  $A$  este apreciabilă, și la problema de cîmp e necesar printre altele și repartiția cîmpului în curent continuu, această repartiție se poate obține cu o precizie convenabilă alimentînd modelul din fig.3.2.c. cu curenți (sau tensiuni) sinusoidale de frecvențe foarte mici : așa de mici încît căderile de tensiune pe condensatori să fie foarte apropiate, practic egale.

După necesități se poate alege tipul de model adecvat.

Trebuie remarcat că pentru determinarea mărimilor globale  $R$ ,  $L$ ,  $C$ , al doilea tip răspunde foarte bine din p.d.v. al preciziei așa că, din motive de economicitate, de spațiu, referirile se vor face în continuare doar la acesta.

Referitor la cîmpurile potențiale e util doar de precizat că pentru cele care se extind în tot domeniul (pînă la infinit), se poate utiliza un model în dublu strat asemănător celui prezentat în cap.II. Modelul în dublu strat se poate utiliza și pentru analiza cîmpurilor magnetice rotaționale ale sistemelor complete de conductoare, cu condiția ca aceste conductoare să fie conținute în interiorul cilindrului avînd raza egală cu raza in-

versiune, în condiții la limită omogene [57] .

Pentru câmpurile electrice în medii neomogene relațiile de similitudine se deduc ușor luând în considerare ecuațiile 3.37-A și (3.2) din analiza căroră, cu

$$V = k_V V_m, \quad (3.18)$$

rezultă :

$$\varepsilon_e \frac{L_{mn}}{L_{ee'}} = k_\varepsilon G_{me'}, \quad (G_{me'} = \frac{1}{R_{me'}}) \quad (3.19)$$

adică proporționalitatea dintre permitivitatea din original și conductanța model.

### 3.2. Exprimarea mărimilor din original în funcție de cele din model

Pentru obținerea unor relații simple de corespondență se admite că discretizarea cu pas constant este efectuată astfel, încît secțiunile conductoarelor sînt divizate într-un număr întreg  $N_s$  de elemente de suprafață  $\Delta s_e = h \times h$ . Acest lucru nu este desigur întotdeauna posibil și ca atare relațiile obținute aici se modifică potrivit, de la caz la caz.

Inducția magnetică se exprimă în funcție de mărimile măsurabile pe model astfel :

$$\begin{aligned} \bar{B} &= B_x \bar{i} + B_y \bar{j} = \frac{\partial A}{\partial y} \bar{i} - \frac{\partial A}{\partial x} \bar{j} \approx \frac{A_2 - A_4}{2h} \bar{i} + \frac{A_3 - A_1}{2h} \bar{j} = \\ &= \frac{k_A}{2h} (V_{m2} - V_{m1}) \bar{i} + (V_{m3} - V_{m1}) \bar{j} \end{aligned} \quad (3.20)$$

Densitatea de curent are expresia :

$$\begin{aligned} J_e &= -\sigma_e \left( \frac{\partial A_e}{\partial t} + K \right) = \frac{k_A}{k_t} \sigma_e \frac{d(V_{me} - V_{m,N+1})}{dt_m} = \frac{k_A}{k_t} \frac{\sigma_e}{\sigma_{me}} i_{me} = \\ &= k_A \frac{R_m}{\mu h^2} i_{me} \end{aligned} \quad (3.21)$$

Curentul electric este una din condițiile date la o problemă de câmp magnetic și se calculează simplu în funcție de cel absorbit de model, ținînd seama de (3.21) :

$$i = \int_{S_0} \bar{J} \cdot d\bar{s} \approx k_A \frac{R_m}{\mu} i_m \quad (3.22)$$

Impunându-se  $i_m$  în funcție de posibilitățile de alimentare și măsurare, pentru  $i$  cunoscut, se determină coeficientul de similitudine  $k_A$  :

$$k_A = \sqrt{\frac{n}{R_m}} \frac{1}{i_m} \quad (3.23)$$

Cu această valoare, pentru condiții de frontieră, inițialele și structurile geometrice și fizice cunoscute, corelațiile original-model sînt cunoscute.

Fluxul magnetic printr-o suprafață  $S_r$  care se sprijină pe curba închisă  $\Gamma$ , formată din două segmente paralele, în direcția lui  $\vec{A}$  și alte două normale acestea se obțin

$$\phi_{1,2} = \int_{S_r} (\vec{B} \cdot d\vec{s}) = \oint_{\Gamma} (\vec{A} \cdot d\vec{l}) = h_c (A_1 - A_2) \approx k_A h_c (V_{m1} - V_{m2}) \quad (3.24)$$

$h_c$  - lungimea segmentelor paralele cu  $\vec{A}$ .

Tensiunea la bornele originalului se obține din legea inducției electromagnetice :

$$e_r = \oint_{\Gamma} (\vec{E} \cdot d\vec{l}) = - \frac{d\phi_{1,2}}{dt} \quad (3.25)$$

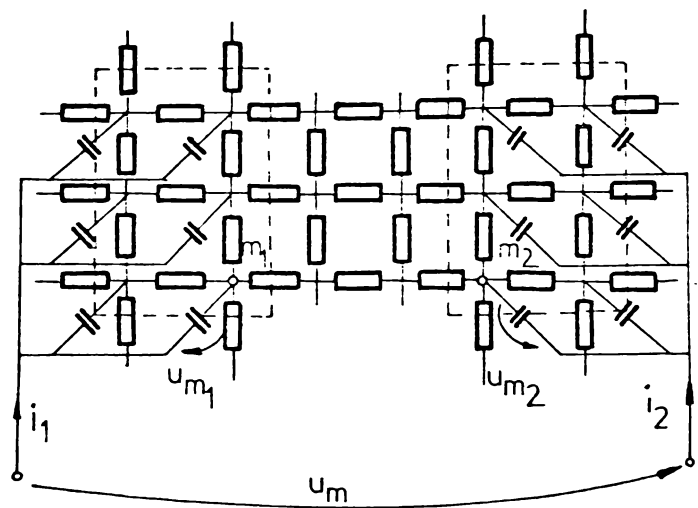
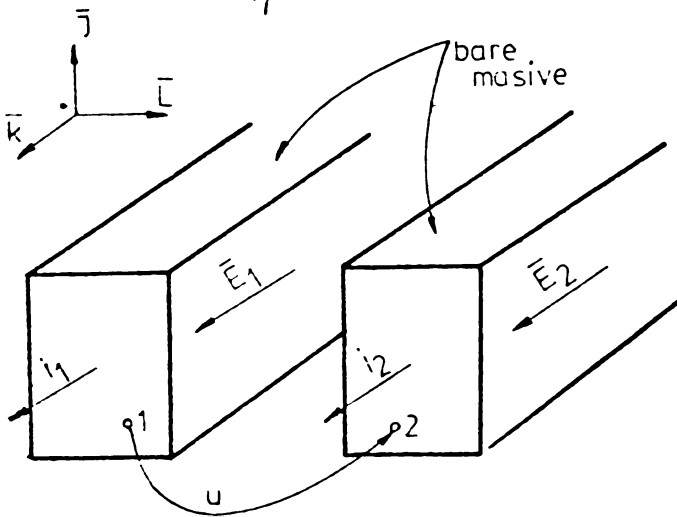


Fig.3.4.a. original; b. model (parțial).

Cu notațiile din fig.3.4.a, (3.25) devine :

$$u + h_c (E_1 - E_2) = - \frac{d\phi_{12}}{dt} \quad (3.26)$$

Pentru model se poate scrie :

$$u_m - u_{m2} + (V_{m2} - V_{m1}) + u_{m1} = 0 \quad (3.27)$$



Introducînd expresiile c derilor de tensiune pe condensatori  n func ie de curen i,  n derivata expresiei (3.26)  n raport cu timpul din model rezult  :

$$\frac{du_m}{dt_m} + (E_1 - E_2) \frac{k_A}{k_t} = - \frac{k_t}{h_c k_A} \frac{d\phi_{12}}{dt} ; \quad (3.28)$$

s-a  tinut aici seama  i de rela ia :

$$E_e = \frac{J_e}{e} = \frac{k_t}{k_A} \frac{i_{me}}{C_{me}} \quad (3.29)$$

Compar nd (3.28) cu (3.26) se ob ine :

$$u = h_c \frac{k_A}{k_t} \frac{du_m}{dt_m} \quad (3.30)$$

Energia magnetic  se aproximeaz  prin sume cu una din rela iile :

$$W_m = \frac{1}{2} \int_V (\vec{B} \cdot \vec{H}) dv = \frac{1}{2} \int_V (\vec{A} \cdot \vec{J}) dv \quad (3.31)$$

Cu expresia (3.30) puterea instantanee se exprim  :

$$p = ui = h_c \left(\frac{k_A}{k_t}\right)^2 h^2 \frac{\sigma_e}{C_{me}} i_m \frac{du_m}{dt_m} \quad (3.32)$$

In regim sinusoidal puterea complex 

$$\underline{S} = \underline{U} \underline{I}^* = P + j Q = k_p (-Q_m + j P_m) \quad (3.32)$$

$k_p$  av nd valoarea :

$$k_p = h_c \left(\frac{k_A}{k_t}\right)^2 h^2 \frac{\sigma_e}{C_{me}} \omega_m \quad (3.33)$$

 n care s-a  tinut seama de expresia lui  $k_t$  :

$$k_t = \frac{t}{t_m} = \frac{\omega_m}{\omega} = \frac{f_m}{f} \quad (3.34)$$

Puterea activ  disipat   n original este propor ional  deci cu puterea reactiv  din model iar cea reactiv  cu cea activ  din model. Aceast  observa ie simplific  mult determinarea parametrilor R, L, C  n curent alternativ sinusoidal dac  mijloacele de m surare s nt sensibile la puteri mici. Astfel  $R_a$   i  $L_a$  se vor determina din :

$$P = \frac{1}{\sigma} \int_V J^2 dv = I^2 R_a; \quad Q = \int_V (\vec{B} \cdot \vec{H}) dv = X_a I^2 = L_a I^2$$

Tinând seama de relațiile (3.21), (3.22) și (3.7), expresia factorului rezistenței în alternativ

$$k_a = \frac{R_a}{R_c} = \frac{P_a}{P_c} = \frac{\int_{V_c} (\vec{J} \cdot \vec{E}) dv}{R_c I^2} = \frac{S_c}{I^2} \int_{S_c} J^2 ds \approx$$

$$\approx \frac{S_c}{I^2} \sum_{e=1}^N J_e^2 \Delta S_c,$$

primește formele :

$$k_a = \frac{N'}{I_m^2} \sum_{e=1}^N I_{me}^2 \frac{C_{me}}{C_m} = \frac{N' \omega_m^2}{I_m^2} \sum_{e=1}^N (U_{me} C_{me})^2 \frac{C_{me}}{C_m} \quad (3.35)$$

unde :  $N'$  este numărul de celule  $h \times h$  cuprinse în secțiunea  $S_c$  a conductorului :

$N$  - numărul de noduri cuprinse în interiorul lui  $S_c$ ;

$C_m$  - capacitatea de proiectare (v. rel. 3.13);

$C_{me}$  - capacitatea corespunzătoare nodului "e" (ea poate fi diferită de  $C_m$  dacă discretizarea nu cuprinde un număr întreg de celule cu  $S_e = h \times h$ ).

Se caută ca pe cât posibil discretizarea să se facă astfel încât  $n' = N$  și  $C_{me} = C_m$ .

Expresia raportului dintre inductivitatea în c.a., ( $L_a$ ) și cea în c.c., ( $L_c$ ):

$$L_{ar} = \frac{L_a}{L_c} = \frac{\int_{V_c} (\vec{B} \cdot \vec{H}) dv}{\int_{V_c} (\vec{B} \cdot \vec{H}) dv}$$

se aproximează, în caz general, înlocuind pe  $L_c$  cu  $L_a$  determinată pe modelul RC la o frecvență suficient de mică (de 1Hz pentru efectul de refulare mediu). Prin acest procedeu se evită utilizarea unor surse de curent necesare modelării câmpului magnetic în C.C.

Cu această aproximație, ținând seama de relația (3.20), se obține :

$$L_{ar} \frac{(L_a)_f}{(L_a)_{1Hz}} = \frac{(\int B^2 ds)_f}{(\int_{S_0} B^2 ds)_{1Hz}} = \frac{\left[ \sum_e (U_{m2e4}^2 + U_{m3e1}^2) \frac{C_{me}}{C_m} \right]_f}{\left[ \sum_e (U_{m2e4}^2 + U_{m3e1}^2) \frac{C_{me}}{C_m} \right]_{1H}} \quad (3.36)$$

în care :

- $U_{m2e4}$ , este tensiunea măsurată pe model în punctele 2 și 4, vecine pe o direcție punctului "e";
- $U_{m3e1}$  - tensiunea între punctele 3 și 1 vecine lui "e", pe o direcție ortogonală direcției (2,4).

Forța care acționează asupra unui corp din câmpul magnetic poate fi determinată prin intermediul tensiunii fictive de suprafață [4] , [5]:  $\vec{F} = \int_{S_c} \vec{T} ds$  (3.37)

$S_c$  fiind suprafața conductorului iar  $\vec{T}$ - tensiunea superficială.  
Pentru câmpurile plan-paralele

$$\vec{F} = h_0 \oint_{\Gamma} \vec{T} dl \quad (3.37')$$

în care  $\Gamma$  reprezintă urma lui  $S_c$  în planul câmpului.

Tensiunea superficială la neglijarea variației permeabilității cu densitatea de masă are expresiile

$$\vec{T} = \left[ \frac{\vec{H}}{B} - \frac{1}{2} (\vec{B} \cdot \vec{H}) \right] \cdot \vec{n} = \vec{H} \cdot (\vec{B} \cdot \vec{n}) - \frac{1}{2} (\vec{B} \cdot \vec{H}) \cdot \vec{n} \quad (3.38)$$

unde  $\vec{n}$  reprezintă normala exterioară a suprafeței  $S_c$  (fig.3.5) și  $\vec{H}/\vec{B}$  - produsul diadic al lui  $\vec{H}$  cu  $\vec{B}$ .

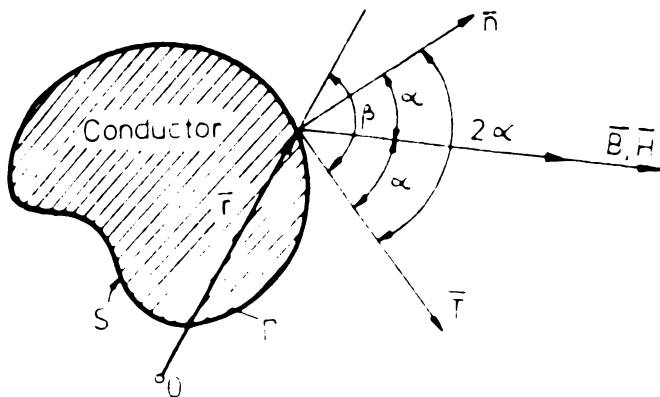


Fig. 3.5. Explicativă pentru relațiile (3.38) și (3.41).

Alegând ultima expresie a lui  $\vec{T}$  se observă ușor că  $\vec{n}$  cu  $\vec{H}$  și  $\vec{H}$  cu  $\vec{T}$  formează unghiuri egale și în plus unghiul dintre  $\vec{n}$  și  $\vec{T}$  are de două ori valoarea primului (notat cu  $\alpha$  în fig.3.5): vectorii  $\vec{n}$ ,  $\vec{H}$ ,  $\vec{T}$  sînt coplanari, perechile  $(\vec{n}, \vec{H})$  și  $(\vec{H}, \vec{T})$  for-

mînd unghiuri egale. In plus  $T = \frac{HB}{2} = \frac{B^2}{2\mu}$  (3.39)

Din cele arătate rezultă un mod simplu de determinare a forței  $\bar{F}$ . Pentru fiecare nod al rețelei de discretizare, aflat pe curba  $\Gamma$ , se determină  $\bar{B}$  cu expresia (3.20), se află pătratul modulului ei care se înmulțește apoi cu  $\frac{\mu}{2}$  și se determină modulul lui  $\bar{T}$ ; direcția și sensul tensiunii  $\bar{T}$  se determină în baza explicativei din fig. 3.5. Se calculează forțele elementare

$h_0 \bar{T} \Delta l_\Gamma$  și apoi se însumează de-a lungul lui  $\Gamma$ . Elementul de lungime  $\Delta l_\Gamma$  este deseori egal cu pasul de discretizare  $h$ .

Tensiunea maxwelliană  $\bar{T}$  în cazul unei suprafețe de discontinuitate pentru  $\mu$  ( $\mu$  are valorile  $\mu_1$  și  $\mu_2$  pe cele două fețe), cînd una din valorile lui  $\mu$ , de exemplu  $\mu_2$ , este cu mult mai mare decît cealaltă, are valoarea [4], [5]:

$$\bar{T}_{1,2} = \frac{\bar{n}}{2} \mu_2 H_t^2 \quad (3.40)$$

$H_t$  fiind componenta tangențială la suprafață a intensității cîmpului magnetic  $\bar{H}$ .

Momentul în raport cu un punct se determină simplu cu

$$\bar{M} = (\bar{r} \times \bar{F}) = h_c \oint_\Gamma [\bar{r} \times \bar{T}] dl = \frac{1}{2} k h_0 \oint_\Gamma r H B \sin \beta dl, \quad (3.41)$$

Momentul are sensul și direcția lui  $\bar{k}$ .

S-a optat pentru utilizarea tensiunii maxwelliene la calculul forțelor și momentelor întrucît față de metoda care utilizează densitatea de volum a forțelor, nu necesită un număr așa de mare de măsurări și nu implică determinări de defazaje, iar față de metoda care are la bază teoremele forțelor generalizate măsurările necesitate pentru calculul unei forțe sînt cu mult mai puține.

### 3.3. Modelarea la limitele de discontinuitate

#### Condiții de frontieră

Este practică imposibil ca pentru o frontieră oarecare și forme ale secțiunii conductoarelor diferite să se utilizeze doar discretizarea cu pas constant, și deci constanța valorilor rezistențelor  $R_{meo} = R_m$  în model.

Urmărirea geometriei sistemului, în apropierea conturilor de diferite forme, se efectuează prin schimbări ale rapoartelor  $L_{eo}/L_{mn}$ , acest lucru transpunîndu-se pe model prin modi-

ficare în același raport a valorilor rezistențelor  $R_{me'e}$ . În același scop, structura unei celule se poate modifica și prin modificarea numărului de elemente patrulaterare  $em'e'n$ , respectiv de triunghiuri  $emn$  astfel încât  $N \geq 4$ . Aceste operații pot fi foarte ușor urmărite prin intermediul relațiilor (3.6) și (3.7).

Sub aspect fizic, structura domeniului  $D$  se poate caracteriza prin funcțiile  $\mu(x,y)$  și  $\sigma(x,y)$ . În mod obișnuit  $\mu = \mu_0$  pentru materialele neferomagnetice, în fier valoarea permeabilității fiind mult mai mare decât  $\mu_0$  și, la considerarea neliniarității, este o funcție de punct și de intensitatea cîmpului magnetic :  $\mu(x,y, H)$ .

Executarea modelului corespunzător zonelor neliniare implică așa cum s-a mai arătat, dificultăți de ordin constructiv și un volum mare de măsurări. Este indicat ca pentru rezolvarea acestor probleme să se apeleze la calculatorul cîfric atunci cînd numărul ecuațiilor algebrice care intervin în analiza cîmpului, este suficient de mic pentru o capacitate medie de rezolvare a unui calculator.

În cazurile pentru care se poate evita studiarea cîmpului în astfel de medii, prin introducerea la suprafețele lor a unor condiții de frontieră neliniare, se poate transpune într-o formă adecvată metoda descrisă în Cap.II al acestei părți.

În condițiile aproximării funcției  $\mu(x,y)$  cu o constantă cel puțin pe zone, un sistem care conține miezuri feromagnetice de bună calitate și în rest materiale electrotehnice obișnuite (cupru, aluminiu, izolație) divizează domeniul cîmpului plan-paralel în zone care pot fi caracterizate prin  $\mu_r = \infty$  (cu oțel) și în zone cu  $\mu_r = 1$  ( $\mu = \mu_0$  : cupru). În acest caz pentru discretizarea în apropierea limitelor de separație, pentru geometrii ale acestor limite compuse din segmente de drepte ortogonale ale acestor limite ceulele pătratice pot fi în mai multe situații : în funcție de raportul dintre dimensiunile zonelor și mărimea pasului de discretizare și în funcție de plasarea rețelelor de segmente cu care se subdivizează aceste zone.

Se vor considera doar rezultatele pentru trei situații tipice în care se află o celulă din zona de dispersie a cîmpului magnetic în vecinătatea unei zone ocupate de oțel electrotehnic în condițiile inexistenței unei densități superficiale de curent (fig.3.6.a,b,c.). Cele două medii : oțelul (notat cu II) și cel

din zona de dispersie (notat cu I) au conductivități electrice diferite. Relațiile pe care le satisface A în cele trei situații (deduse în Anexa 1) sînt, în ordine :

$$\frac{A_1 - A_e}{\mu_I} + \frac{A_2 - A_e}{\mu_I} + \frac{A_3 - A_e}{\frac{\mu_I + \mu_{II}}{2}} + \frac{A_4 - A_e}{\mu_I} = \sigma_I h^2 \left( \frac{\partial A_e}{\partial t} + K \right)$$

$$\frac{A_1 - A_e}{\mu_I} + \frac{A_2 - A_e}{\frac{2\mu_I \mu_{II}}{\mu_I + \mu_{II}}} + \frac{A_3 - A_e}{\mu_{II}} + \frac{A_4 - A_e}{\frac{2\mu_I \mu_{II}}{\mu_I + \mu_{II}}} = \frac{h^2}{4} (\sigma_I + \sigma_{II}) \left( \frac{\partial A_e}{\partial t} + K \right) \quad (3.42)$$

$$\frac{A_1 - A_e}{\mu_I} + \frac{A_2 - A_e}{\mu_I} + \frac{A_3 - A_e}{\frac{2\mu_I \mu_{II}}{\mu_I + \mu_{II}}} + \frac{A_4 - A_e}{\frac{2\mu_I \mu_{II}}{\mu_I + \mu_{II}}} = (3\sigma_I + \sigma_{II}) \frac{h^2}{4} \left( \frac{\partial A_e}{\partial t} + K \right)$$

care în baza relațiilor (3.6) și (3.8) se pot analiza pe rețelele din fig.3.6 d, e, f; sau, pentru  $\mu_{rII} \gg 1$  și  $\sigma_{II} = 0$  (la oțelul electrotehnic cu planul tolelor paralel cu cel al cîmpului), pe rețelele din fig.3.6, g, h, i.

È ușor de observat că pentru  $\mu_{rII} = \infty$  ( $\mu_{rII} \gg 1$ ) condițiile la limită dau condiții de frontieră de tip Neumann omogene și porțiunilor ocupate de oțel le corespund în model rezistori cu conductante nule.

Pentru comoditatea construcției unui model RC este util ca pe cît posibil valorile  $R_m$  și  $C_m$  să aibe aceleași valori.

Comparînd rețelele din fig.3.6 g, h, i se observă că dezideratul de mai sus este satisfăcut alegînd o discretizare la care celulele vecine frontierei să fie de tipul celei din fig.3.6.a.

De multe ori pe frontieră sînt date componentele tangențiale ale intensității cîmpului magnetic (condiții Neumann pentru A), diferite de zero și celula interioară domeniului, vecină frontierei, este dreptunghiulară (fig.3.7.a). Pentru lungime  $L_r$  se poate aproxima :

$$\int_{L_r} \frac{1}{\mu} \frac{\partial A}{\partial n} dl \approx \left( \frac{1}{\mu} \frac{\partial A}{\partial n} \right)_e \cdot L_r \quad (3.43)$$

Ecuația (5.1) scrisă pentru celula vizată, va avea forma:

$$\frac{A_1 - A_e}{\mu_1} \frac{L_1}{L_{e1}} + \frac{A_2 - A_e}{\mu_2} \frac{L_2}{L_{e2}} + \frac{A_4 - A_e}{\mu_4} \frac{L_4}{L_{e4}} = \Delta S_e \sigma_e \left( \frac{\partial A_e}{\partial t} + K \right) - \left( \frac{1}{\mu} \frac{\partial A}{\partial n} \right)_e \cdot L_r \quad (3.44)$$

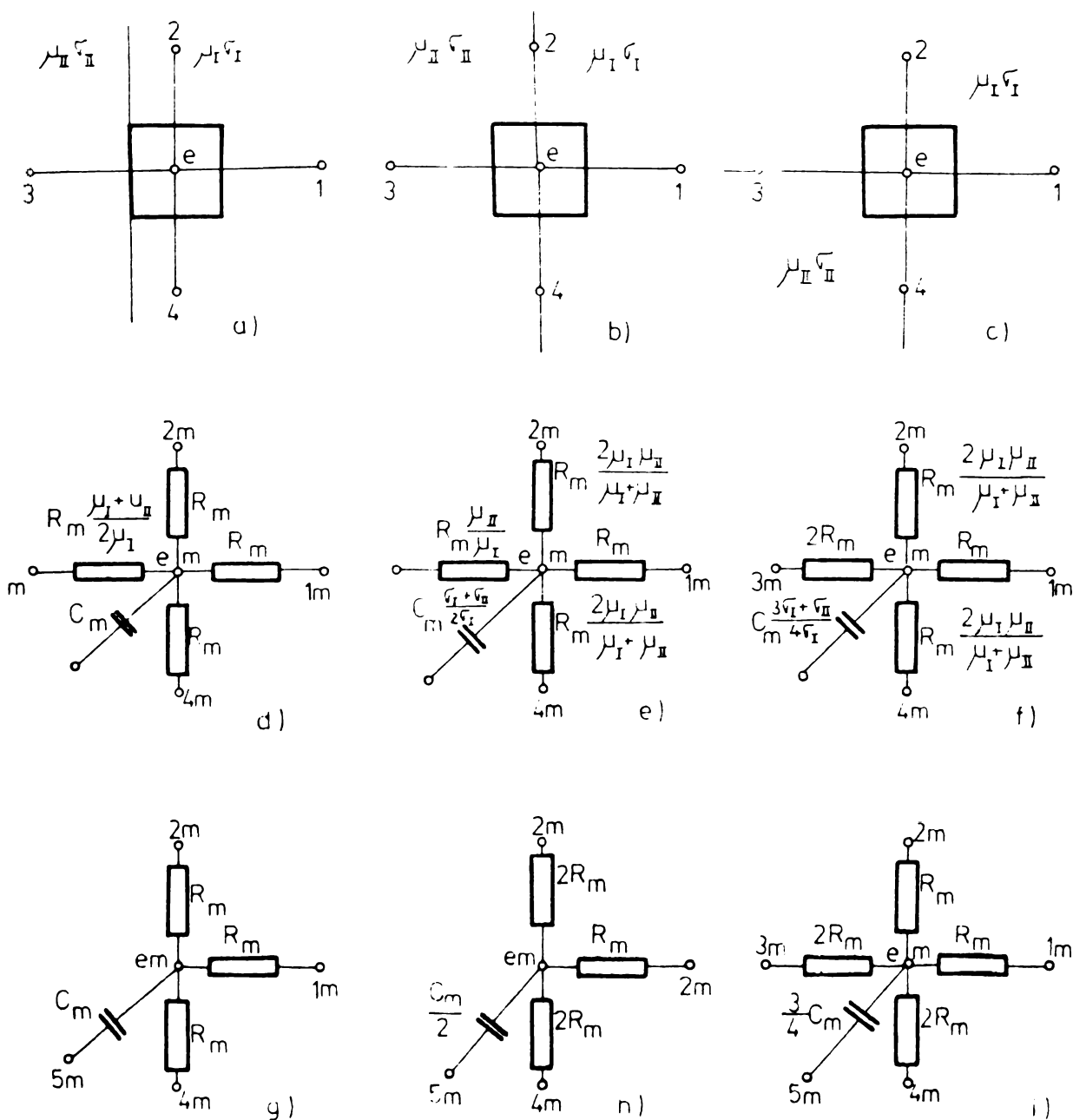


Fig.3.6. Poziții tipice ale celulei pătratică și rețelele-model corespunzătoare.

Pentru analogul din fig.5.7 b se poate scrie :

$$\frac{V_{m1} - V_{me}}{R_{m1}} + \frac{V_{m2} - V_{me}}{R_{m2}} + \frac{V_{m4} - V_{me}}{R_{m4}} = C_{m1} \frac{d(V_{me} - V_{m5})}{dt_m} - i_{ms} \quad (3.45)$$

Din compararea relațiilor (5.44) și (5.45) rezultă :

$$i_{ms} = \frac{k}{K_A} \left( \frac{1}{\mu} \frac{\partial A}{\partial n} \right)_e L_r \quad (3.46)$$

Curenții  $i_{ms}$  se obțin de la surse de curent adecvate : amplificatoare operaționale acordate cu reacție pozitivă [68] ,

sau pur și simplu surse obișnuite de tensiune înseriate cu rezistențe (impedanțe) adiționale suficient de mari pentru a transforma aceste surse în surse de curent.

În regim sinusoidal, pentru condiții de frontieră neliniare, determinarea câmpului pe model se efectuează utilizând metoda aproximațiilor succesive (descrișă în cap.II al acestei părți).

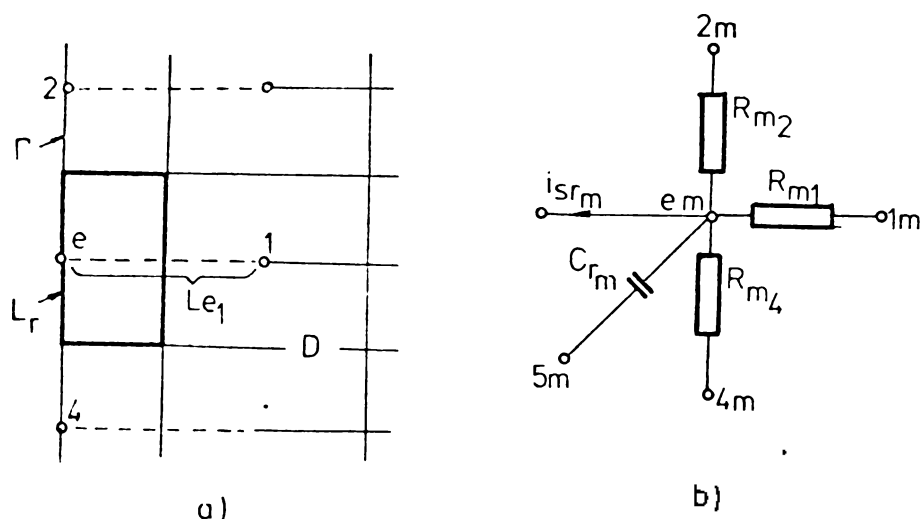


Fig.3.7.

Pentru o frontieră de același tip ca aceea prezentată în paragraful menționat la o scriere în complex a mărimilor de câmp se obține :

$$\frac{1}{\mu_0} \left( \frac{\partial A}{\partial n} \right)_e = \frac{k_A}{k_\mu} \frac{I_{ms}}{L_r} \quad (3.47)$$

$$\text{și } \underline{V}_{me} = (0,6-j) \sqrt{\frac{\mu_e}{\sigma\omega}} \frac{k_A}{k_\mu} \frac{I_{ms}}{L_r}, \quad (3.48)$$

$$\text{de unde : } \underline{Z}_{me} = \frac{\underline{V}_1}{\underline{I}_{ms}} = r_{mr} + j X_m = (0,6-j) \sqrt{\frac{\mu_e}{\sigma\omega}} \cdot L_r^{-1} \quad (3.49)$$

Analogul electric corespunzător unei celule de frontieră va avea structura celui din fig.3.8.

După stabilirea lui  $r_{mr}$  și  $C_m$  pentru un  $\mu_e$  (de exemplu  $\mu_e = \mu_0$ ) se efectuează procesul de iterație și se determină modelul final și soluția problemei.

Pentru o frontieră curbată (fig.3.9) sau oblică; este necesară deformarea dreptunghiurilor -celule (atît poziția punctelor "e" cît și a laturilor) pentru a le acomoda frontierei curbate.



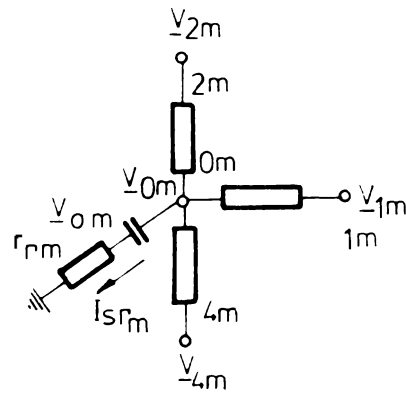


Fig.3.8. Analog electric pentru realizarea condițiilor de frontieră neliniare.

La construirea analogului electric se observă că anumiți rezistori sînt poziționați în linii diagonale ca de exemplu cel corespunzător punctelor  $P_1$  și  $P_2$ .

È necesară o anumită experiență pentru a alege celula și punctul potrivit pentru fiecare frontieră curbată.

În caz cînd  $A$  este definit pe  $\Gamma$  printr-o constantă, valoarea  $V_m$  se impune la scara  $k_A$  și se fixează printr-un rezistor conectat cu o bornă la echipotențiala  $\Gamma_m$  și cu cealaltă la masă, valoarea rezistenței fiind cu mult mai mare decît  $R_{m\text{ee}}$ .

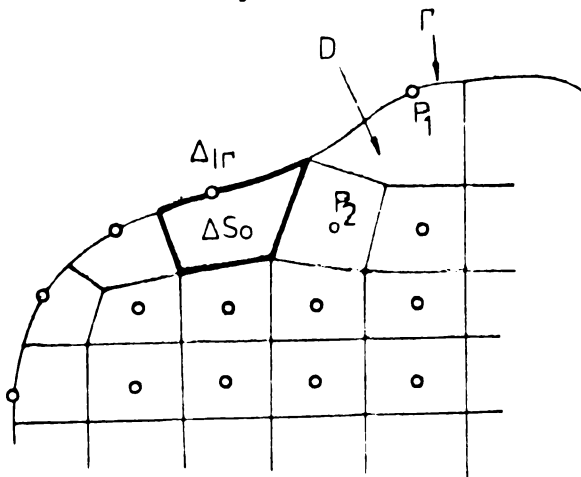
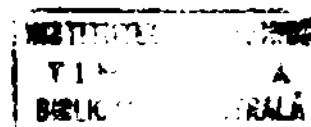


Fig.3.9. Structuri de celule la o frontieră  $\Gamma$ , curbată.

### 3.4. Tehnica măsurării pe modelele

Pentru măsurările pe rețelele analizoare R și RC sînt necesare voltmetre cu consum propriu mic ; voltmetre electronice (analogice sau cifrice), oscilografe catodice etc. La modelele de curent alternativ, trebuie măsurate și defazaje. În acest scop se folosesc fazmetre electronice, osciloscopice stabile cu două spoturi, sau vectormetre magnetoelctrice.

a). În fig.3.10 este prezentată o schemă de măsurare pentru un model RC.



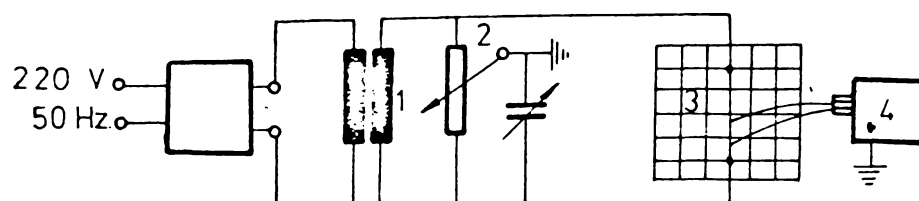


Fig.3.10. - Schemă de măsurare cu osciloscop cu două spoturi : 1) generator de audio-frecvență; 2) transformator de izolare a circuitului de măsurare; 3) priză de pământare tip Wagner; 4) modelul rețea; 5) oscilograf cu două spoturi.

Oscilograful are intrarea simetrică. Modelul este conectat la masă printr-o pământare Wagner pentru armonica fundamentală a tensiunii de alimentare.

În lipsa unui oscilograf cu două spoturi se poate utiliza unul cu un spot și în acest caz defazajele se măsoară prin metoda elipsei.

Schema de lucru cu osciloscop cu un spot este prezentată în fig.3.11.

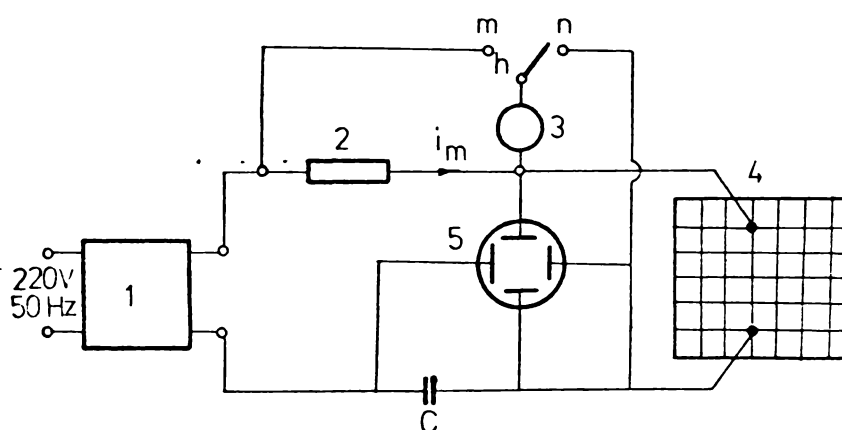


Fig.3.11. Schema de măsurare a mărimilor  $P_m$  și  $Q_m$  : 1) generator de audiofrecvență; 2) rezistența etalon pentru măsurarea din  $i_m$ ; 3) voltmetru electronic; 4) model RC; 5) osciloscop cu un spot.

Puterea activă este :

$$P_m = \frac{1}{T_m} \int_0^{T_m} u_m i_m dt_m = \frac{Cf_m A}{S_x S_y} \quad (3.50)$$

unde :  $A = \pi ab$ , este aria elipsei descrisă de spot pe ecranul osciloscopului (a și b, cele două semiaxe), iar  $S_x$  și  $S_y$  - sensibili-

tățile deplasărilor pe orizontală respectiv pe verticală osciloscopului ( $S = \frac{h}{U}$ ;  $h$  - deplasarea spotului pe ecran.

Cu comutatorul  $k$  în poziția "n" se măsoară curentul  $i_m$ , ( $i_m = \frac{U}{R}$ ,  $R$  - rezistența rezistorului 2), iar în poziția "n", tensiunea la bornele modelului. Rezultă :

$$Q_m = \sqrt{U_m^2 I_m^2 - P_m^2}$$

Metoda voltmetrului este mai simplă decât cele descrise și la utilizarea unui voltmetru cifric, mai precisă. Ea permite măsurarea puterilor și a valorilor densităților de curent. Schema de măsurare (fig.5.12) este extrem de simplă.

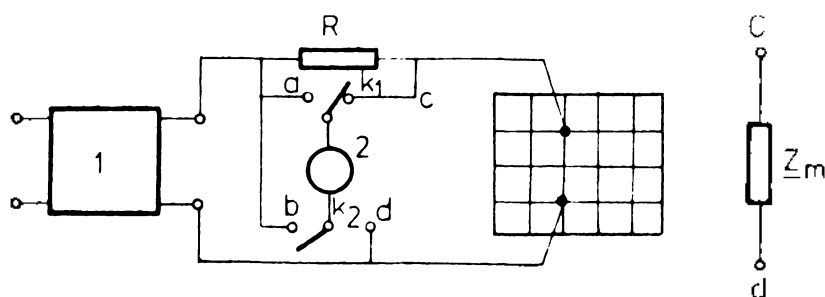


Fig.3.12.

a) generator de audiofrecvență;  $R$  rezistor de precizie ridicată; 2-voltmetru electronic; 3- model.

Se măsoară  $I_m$  ( $k_1$  în poziția  $c$  și  $k_2$  în poziția  $b$ ),  $V_m(k, \text{ în } c \text{ și } k_2 \text{ în } d)$ ,  $R_{em}$  (rezistența echivalentă a mediului) și  $K_{em}$  (reactanța echivalentă a modelului).

Notînd  $U_m = U_{m1}$  și cu  $U_{m2}$  tensiunea măsurată între  $a$  și  $d$ , rezultă :

$$R_{em} = \frac{R}{2} \left[ \left( \frac{U_1}{U_a} \right)^2 - \left( \frac{U_2}{U_3} \right)^2 - 1 \right] \quad (3.51)$$

$$X_{em} = R \sqrt{\left( \frac{U_2}{U_3} \right)^2 - \left( \frac{R_{em}}{R} \right)^2} \quad (3.52)$$

Cu aceste mărimi se calculează  $P_m$  și  $Q_m$  respectiv  $Q$  și  $P$  din original.

Cu  $K_1$  în poziția  $a$  și  $k_2$  în  $b$  se reglează "zeroul" aparatului de măsurare.

### 3.5. Precizia rezultatelor obținute prin modelare pe rețele analizare

Erorile de determinare a soluției problemei de câmp pe modele  $R$  și  $RC$ , au ca surse : imprecizia cunoașterii func-

țiilor de timp - tensiuni, curenți de alimentare, imprecizia cunoașterii parametrilor elementelor pasive care intră în structura modelului, imprecizia măsurărilor și fixării condițiilor de unicitate pe model și trunchierile ecuațiilor câmpului la aproximarea lor prin relații între valori în puncte finite.

Cu tot numărul mare de surse de erori aferente acestei metode, modelarea de acest tip asigură o bună precizie de determinare a câmpurilor și anume sub 5% [35], iar la o elaborare și măsurări atente sub 3% [19]. -

a. Imprecizia inerentă cunoașterii valorilor rezistențelor și capacităților elementelor pasive care alcătuiesc modelele determină, în baza condițiilor de analogie (3.7 și 3.8), un original probabil pentru care sînt valabile rezultatele obținute pe model și care diferă de cel pentru care s-a construit modelul.

Aprecierea cantitativă a erorilor introduse de abaterile ( $\Delta R_m$  și  $\Delta C_m$  valorilor rezistențelor și capacităților reale ( $R_m$ ,  $C_m$ ) față de cele considerate în calcul ( $R_m$  și  $C_m$ ) este dificilă și pentru a avea certitudinea diminuării lor nu rămîne altceva decît să se aleagă clase de precizie ridicate pentru elementele modelului. În caz că furnizorul nu poate asigura astfel de clase de precizie ele se asigură în urma sortării rezistorilor și condensatoarelor cu punți precise.

La rețelele RC, în comparație cu cele de tip R, pe care se modelează ecuația lui Laplace, apar erori suplimentare datorită imperfecțiunii condensatoarelor. Din această cauză rețeaua RC este mai puțin precisă decît rețeaua R. În consecință rețelele RC sînt construite de obicei cu puțini pași de discretizare, tendință care crește prin faptul că eroarea datorită curentului rezidual a condensatoarelor crește cu numărul condensatorilor folosiți.

Pentru a nu se influența negativ eroarea de trunchiere, care, după cum se va vedea, crește esențial cu creșterea pasului de discretizare, se caută limitarea scăderii numărului de condensatoare prin utilizarea unora cu pierderi foarte mici, și anume a condensatoarelor cu stiroflex [69].

b. În contrast cu cuva electrolytică și hîrtia electroconductoare (în mai mică măsură) rețelele analizoare nu ridică o reală dificultate de măsurare. Eroarea de măsurare poate fi re-

dusă la o atentă alegere a schemei și aparaturii de măsurare, sub  $10^{-4} + 10^{-5}$  din valoarea potențialului maxim [7] .

La modelul RC, alimentat cu mărimi alternative, trebuie compensată influența capacităților parazite ale modelului față de masă. Acest lucru se poate efectua în două moduri : fie alegând valorile capacităților din model cu mult mai mari decât cele parazite (care sînt de ordinul zecilor de picofarazi), fie compensînd influența ultimilor prin pămîntare Wagner [19] .

c. Pretenția unei bune precizii în cunoașterea semnalelor de alimentare a modelului este pe deplin satisfăcută azi întrucît există o gamă largă de generatoare de semnale cu calități superioare.

d. Precizia fixării condițiilor de unicitate depinde de satisfacerea cerințelor de la b și c.

e. Erorile sistematice ale căror valori nu se pot reduce oricît, sînt erorile de trunchiere.

Din expresiile (2.4-A), (2.7-A), (3.8-A), (2.67-A) și (2.68-A) rezultă că eroarea care afectează valoarea  $A_{1,j}$  (sau  $V_{1,j}$ ) se propagă prin diferențele succesive, cu coeficienții binomului  $(a-b)^{2n}$ , în toate direcțiile planului cîmpului și ca urmare soluțiile locale sînt afectate de erorile de trunchiere din tot domeniul studiat.

Modul de estimare a acestor erori e sugerat tocmai de expresiile lor. După determinarea unei soluții introducînd valorile  $A_{1,j}$  în aceste expresii se calculează aceste erori, bineînțeles cu un anumit grad de aproximație.

La proiectarea unui model e necesară estimarea acestor erori pentru că în funcție de ele se alege pasul de discretizare al domeniului cîmpului și ca atare numărul de rezistori și de condensatoare. Prin urmare ar fi foarte utile unele expresii ale acestora, chiar aproximative, care să sugereze mărimea pasului de discretizare.

Se știe că la modelarea ecuațiilor Fourier cele mai mari erori se pot datora trunchierii [7] și o parte substanțială din acestea este determinată de variația cîmpului, respectiv a lui  $A$ , în timp. Ținînd seama de aceste observații în [57] și [70] s-au dedus expresii ale diferitelor tipuri de erori de trunchiere pentru cazul particular al cîmpului magnetic unidimensional, adică pentru  $\epsilon_{2y} = 0$ . Pentru acest caz :

$$\epsilon_{\Delta} = \frac{\epsilon_{2x}}{h^2} \quad (3.52)$$

Indexînd mărimile exacte cu "e" și a celor trunchiate cu "m" (măsurate pe model în condițiile în care celelelalte erori de modelare ar fi nule), transcriind mărimile electromagnetice în complex, se obțin următoarele relații între valorile rapoarte ale erorilor de trunchiere :

$$\begin{aligned} \underline{\varepsilon}_{\Delta} &= - \frac{(\nabla^2 \underline{A})_m - (\nabla^2 \underline{A})_l}{(\nabla^2 \underline{A})_l} = \frac{J_m - J_e}{J_e} = - \underline{\varepsilon}_{jr} = \\ &= \left(\frac{h}{\delta}\right)^2 \sin \frac{h}{\delta} \operatorname{sh} \frac{h}{\delta} + j \left(\frac{h}{\delta}\right)^2 (1 - \cos \frac{h}{\delta} \operatorname{sh} \frac{h}{\delta}) \end{aligned} \quad (3.53)$$

din care se observă că părțile reale și imaginare ale cantităților  $\underline{\varepsilon}_{\Delta r}$  și de semn contrar :

$$\begin{aligned} \varepsilon_{\Delta r r} &= - \varepsilon_{j r r} \\ \varepsilon_{\Delta r i} &= - \varepsilon_{j r i} \end{aligned} \quad (3.54)$$

Calculînd pe  $\varepsilon_{\Delta r r}$ , ( $\varepsilon_{j r r}$ ),  $\varepsilon_{\Delta r i}$  ( $\varepsilon_{j r i}$ ) și erorile de unghi ale densității de curent, în funcție de raportul  $(\frac{h}{\delta})$  s-au obținut rezultatele din tabelul 3.1.

Din analiza acestor rezultate se pot trage cîteva concluzii foarte importante pentru analiza numerică în general și pentru modelarea cîmpului în particular.

Tabelul 3.1.

$\frac{h}{\delta}$	$\varepsilon_{j r r}$	$\varepsilon_{j r i}$	$\frac{J_m}{J_e}$	$\varphi_{J_m} - \varphi_{J_e}$
0,1	0,000003	-0,0018	1,0000046	- 0,103°
0,2	0,000025	-0,0067	1,0000474	- 0,383°
0,3	0,000092	-0,0150	1,000204	- 0,859°
0,4	0,000287	-0,0267	1,000643	- 1,520°
0,5	0,000695	-0,0417	1,00156	- 2,386°
0,6	0,001441	-0,0599	1,00323	- 3,423°
0,7	0,002670	-0,0816	1,00598	- 4,652°
0,8	0,004553	-0,1065	1,01018	- 6,052°
0,9	0,007290	-0,1348	1,01629	- 7,622°
1,0	0,011105	-0,1663	1,02468	- 9,340°
1,25	0,027076	-0,2589	1,05920	-14,148°
1,5	0,056028	-0,3704	1,11910	-19,328°

Se observă că începînd de la  $\frac{h}{\delta} = 0,8$ , eroarea în modul a densității de curent este mai mare decît 1%, astfel încît la  $\frac{h}{\delta} = 1,5$  această eroare atinge valoarea de 12%.

Atunci cînd rezolvarea problemei de cîmp se face doar în scopul determinării pierderilor suplimentare în alternativ sau în general a pierderilor Joule, raportul  $\frac{h}{\delta}$  se poate lua aproximativ 0,8.

Dacă pentru a evita un număr mare de măsurări pe model, se determină mărimile globale  $k_a$  și  $L_{ar}$  din puteri, e necesar ca  $\frac{h}{\delta} \leq 0,5$  întrucît pentru  $h > 0,5\delta$  eroarea de unghi a lui  $J$  depășește  $2,386^\circ$ .

O altă observație interesantă se referă tot la erorile de unghi. Erorile de unghi sînt negative și pentru compensarea lor ar fi necesară introducerea în model a unor reactanțe inductive. Prin utilizarea ecuațiilor (3.70-A) la modelare aceste erori s-ar micșora esențial, însă, așa după cum s-a mai remarcat, alimentarea modelului ar ridica probleme suplimentare în utilizarea lui întrucît ar fi necesară introducerea de inductivități (fig.3.13).

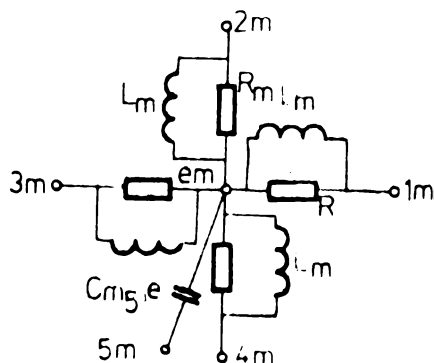


Fig.3.13. Model îmbunătățit corespunzător relațiilor (3.70-A).

Bineînțeles evaluarea erorilor analizate aici, la proiectarea unui model pentru o problemă de cîmp bidimensional, este aproximativă, însă ea poate fi satisfăcătoare dacă se utilizează o discretizare de tip celulă la care o pereche de normale  $L_{\bullet\bullet}$ , să urmărească liniile de cîmp magnetic, respectiv liniile  $\Delta(x,y) = \text{constant}$ .

Acest fapt ar presupune cunoașterea spectrului de cîmp, adică soluția problemei. Pentru multe probleme e posibilă o trasare aproximativă a liniilor de cîmp înaintea proiectării modelului așa încît problema evaluării cu bună precizie a erorii de trunchiere la determinările pe un model RC nu este insolubilă.

În concluzie, modelarea pe rețele analizoare pasive permite rezolvarea ecuațiilor câmpului electromagnetic pentru toate regimurile avute aici în vedere. Schemele de măsurare pe astfel de modele sînt extrem de simple și erorile de orice natură pot fi diminuate astfel încît precizia de determinare a mărimilor de câmp poate fi dată practic de eroarea de trunchiere, eroare controlabilă și deci ajustabilă.

#### IV. MODELARE PROBABILISTICĂ

O deducere a relațiilor de similitudine nu-și are sensul la acest tip de modelare, cu totul special.

Metoda se bazează pe identitatea formală a ecuațiilor în diferențe finite pe care le satisface  $\varphi$ ,  $(V, V_H, A)$ , cu ecuațiile în diferențe pe care le satisface probabilitatea  $P$ , caracteristică mersului la întîmplare. Mersul la întîmplare se efectuează pe rețeaua de discretizare corespunzătoare dezvoltării în diferențe finite a laplacianului [2]. În continuare se dau cîteva elemente orientative privind acest tip de modelare [71].

##### 4.1. Bazele metodei

Se reconsideră fig.3.2-A (fig.4.1) în care se aleg două puncte  $M$  ( $ih, jh$ ) și  $L$  ( $kh, th$ ),  $h$  fiind pasul de discretizare, iar  $i, j, k, t$ , numere, numere întregi pozitive sau negative.

Un traseu (sau drum) al rețelei este constituit dintr-o succesiune de puncte vecine din aproape în aproape, de exemplu  $M, M_1, M', M'', M''', \dots, L$ . Într-o asemenea succesiune parametrilor  $i$  și  $j$  a două puncte vecine diferă sau unul sau altul (nu ambele în același timp) printr-o unitate în plus sau în minus; un pas înainte sau înapoi pe una din dreptele rețelei.

Deplasarea la întîmplare pe o rețea plană este un lanț Markov finit foarte special și reprezintă alcătuirea din aproape în aproape a unor trasee conform unei matrici de probabilități de trecere dintr-un punct-nod în altul vecin. Stările la care se referă acest proces (în caz general include timpul) sînt nodurile rețelei. Procesul, caracterizat de o macrostructură uniformă și o microstructură neregulată, este dat odată cu matricea probabilităților de trecere de la un nod la altul  $P_{M,L}$  sau  $P_{ij,kl}$ . În procesul de mers la întîmplare singurele posibilități elementare care nu sînt obligatorii sînt cele care



corespund unui singur pas sau rămîinerii pe loc.

Se va presupune de la început că probabilitățile pașilor  $(i,j) \rightarrow (i+1,j)$  și  $(i,j) \rightarrow (i-1,j)$  ca și acelea ale pașilor  $(i,j) \rightarrow (i,j+1)$ ,  $(i,j) \rightarrow (i,j-1)$  sînt respectiv egale.

Cu aceste convenții prealabile se pot introduce notații convenabile pentru posibilitățile elementare de trecere într-un singur pas de la o poziție la alta (de la o stare la alta).

$$P_{M,L} = \begin{cases} p_M = p_{i,j} & \text{dacă } L \text{ este } M_1 \text{ sau } M_3, \\ q_M = q_{i,j} & \text{dacă } L \text{ este } M_2 \text{ sau } M_4, \\ r_M = r_{i,j} & \text{dacă } L \text{ este identic cu } M. \end{cases} \quad (4.1)$$

În plus,  $p_{M,L} = 0$ , dacă  $L$  nu este  $M$  însuși sau un punct vecin cu  $M$ .

Tinînd seama pentru posibilitățile elementare ale unui lanț Markov se pot scrie [71], [39], [72]:

$$p_{M,L} \geq 0; \sum_L p_{ML} = 1, \quad (4.2)$$

cînd  $L$  parcurge pozițiile posibile în rețea, rezultă în acest caz următoarele proprietăți

$$p_M \geq 0; q_M \geq 0; r_M \geq 0; 2(p_M + q_M) + r_M = 1 \quad (4.3)$$

Dacă se notează cu  $P_{M,L}^{(n)}$  posibilitatea de trecere de la  $M$  la  $L$  în  $n$  pași, relația lui Chapman caracteristică lanțului Markov este

$$P_{M,L}^{(n+1)} = \sum_R p_{M,R} P_{R,L}^{(n)} \quad (4.4)$$

unde  $R$  parcurge toate stările rețelei, și care, în cazul mersului la întîmplare, devine :

$$P_{(i,j),L}^{(n+1)} - P_{(i,j),L}^{(n)} = p_{i,j} (P_{(i+1,j),L}^{(n)} + P_{(i-1,j),L}^{(n)} - 2 P_{(i,j),L}^{(n)}) + q_{i,j} (P_{(i,j+1),L}^{(n)} + P_{(i,j-1),L}^{(n)} - 2 P_{(i,j),L}^{(n)}) \quad (4.5)$$

Dacă  $P_{(i,j),L}^{(n+1)} = P_{(i,j),L}^{(n)}$  ecuația (4.5) este identică

formal cu ecuația lui Laplace în diferențe finite la o discreti-

zare cu pași diferiți pe direcțiile x și y.

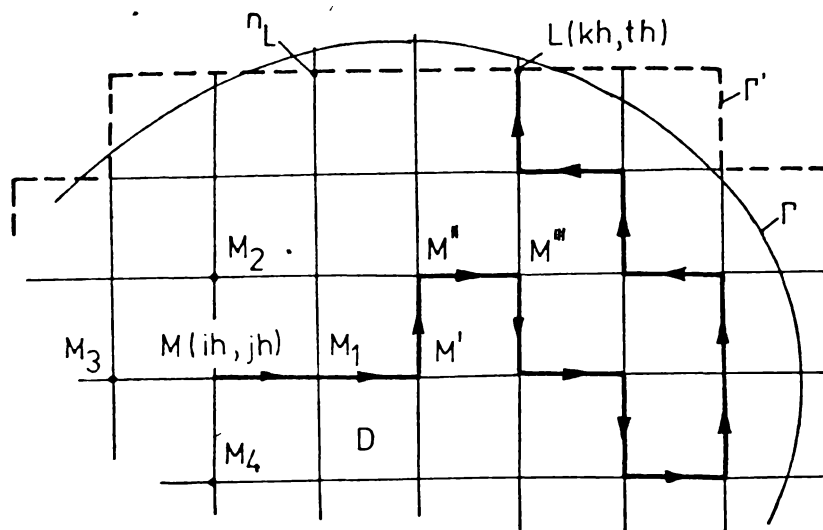


Fig.4.1. O porțiune din domeniul D, limitat de curba cu punctele semnificative și un traseu aleator.

In [71], [73], se arată că dacă, atunci când M și L se află pe frontiera  $\Gamma$  a domeniului (neextinsă pe la infinit), se admit pentru  $P_{M,L}^{(n)}$  condițiile :

$$P_{M,L}^{(n)} = \begin{cases} 1 & \text{dacă } M \equiv L, \\ 0 & \text{dacă } M \neq L, \end{cases} \quad (4.6)$$

mersul la întâmplare este un proces subergodic, adică  $\lim_{n \rightarrow \infty} P_{M,L}^{(n)} = P_{M,L}$ , și ca urmare relația (4.5) primește forma :

$$p_{i,j}(P_{(i+1,j),L} + P_{(i-1,j),L} - 2P_{(i,j),L}) + \quad (4.7)$$

$$q_{i,j}(P_{(i,j+1),L} + P_{(i,j-1),L} - 2P_{(i,j),L}) = 0$$

Dacă probabilitățile de trecere  $p_{i,j}$  și  $q_{i,j}$  sînt egale relația (4.7) se reduce la :

$$P_{(i,j),L} = \frac{1}{4}(P_{(i+1,j),L} + P_{(i-1,j),L} + P_{(i,j+1),L} + P_{(i,j-1),L}) \quad (4.8)$$

Se observă că  $P_{M,L}$  satisface o ecuația Laplace, în diferențe finite.

In [73] se demonstrează că în condițiile (4.6) valoarea unei funcții (x,y) care satisface ecuația lui Laplace, într-un punct M, interior domeniului D, cu valorile pe frontieră  $\varphi_L$  se

poate estima cu relația

$$\varphi_M = \sum_{L=1}^N \varphi_L P_{M,L} = \sum_{L=1}^N \frac{n_L}{n} \varphi_L \quad (4.9)$$

unde  $N$  este numărul de puncte - noduri aflate pe linia frântă închisă care aproximează după discretizare, frontiera.

Valoarea lui  $P_{M,L}$  se calculează simplu cu expresia :

$$P_{M,L} = \frac{n_L}{n}, \quad (4.10)$$

unde  $n$  este numărul total de trasee realizate pornind din  $M$  și ajungînd într-un punct de pe frontieră, iar  $n_L$  este numărul de cîte ori, pornind din  $M(x_i, y_j)$  intersecția frontierei se face în  $L(x_k, y_l)$ .

O realizare a procesului de mers la întîmplare, în corespondență cu posibilitățile de trecere definite de (4.1), dacă aceste posibilități sînt numere raționale, este următoarea : fiecărui punct  $M$  i se asociază o urnă care conține cinci grupe a cîte  $b_k$  ( $k = 0, \dots, 4$ ) bile de culori diferite. Cînd mobilul imaginar care execută mersul la întîmplare ajunge în  $M$ , se extrage din urnă, la întîmplare, o bilă. Dacă se asociază deplasarea elementară  $M M_k$  culorii grupului  $b_k$ , posibilitățile de trecere  $P_{MM_k}$  vor avea valorile

$$P_{MM_k} = \frac{b_k}{\sum_{k=0}^4 b_k} \quad (4.11)$$

avînd evident satisfăcute relațiile (4.2) :

$$\sum_{k=0}^4 P_{MM_k} = \sum_{k=0}^4 \frac{b_k}{\sum_{k=0}^4 b_k} = \frac{\sum_{k=0}^4 b_k}{\sum_{k=0}^4 b_k} = 1$$

Grupul  $b_0$  determină posibilitatea rămînerii în  $M$ .

Asociind extragerile la întîmplare din cîte o urnă la procesele de mers la întîmplare, se pune în evidență partea esențială aleatoare a procesului prin intervenția numerelor aleatoare legate de aceste extracții. Utilizarea efectivă a metodei este numai o problemă de practică imediată, care de-

pinde în primul rînd de tabelele de care se dispune în prealabil. E ușor de închipuit pe baza unor astfel de tabele cu numere aleatoare, algoritme și programe de calcul cu calculatorul cifric obișnuit, astfel încît durata de calcul a potențialelor să fie extrem de scurtă.

Sînt calculatoare hibride, specializate, care evită utilizarea unor tabele de numere aleatoare, tot procesul de realizare a traseelor aleatoare și de estimare probabilistică, efectuîndu-se de către un calculator hibrid [73]. Schema bloc a unui astfel de calculator este prezentată, în fig. 4.2.

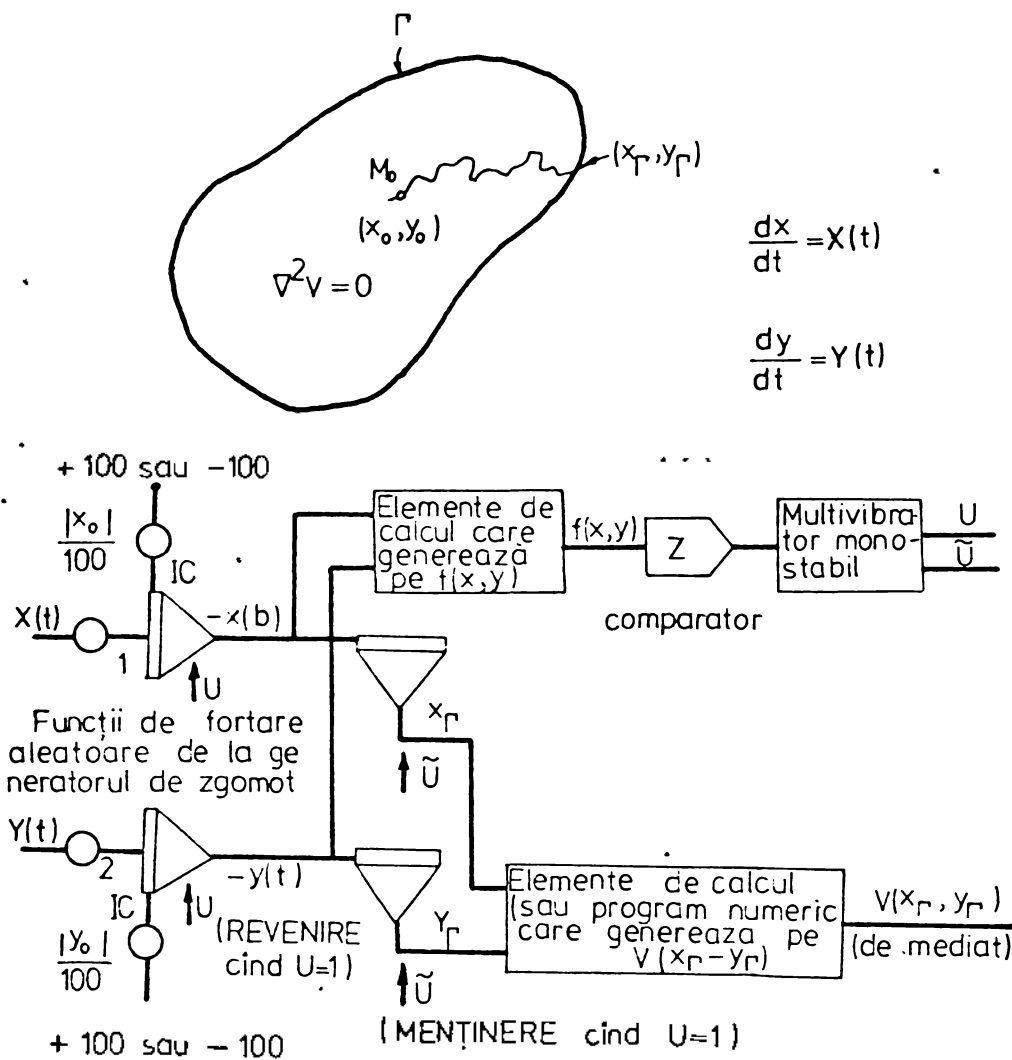


Fig.4.2. Schema bloc al unui calculator hibrid pentru rezolvare stohastică a ecuației lui Laplace:  $\nabla^2 \varphi = 0$ .

De data aceasta se rezolvă forma diferențială a ecuației lui Laplace.

Se arată [74] că traseul aleator generat de soluțiile  $x(t)$  și  $y(t)$  ale ecuațiilor

$$\frac{dx}{dt} = X(t) ; \frac{dy}{dt} = Y(t) , \quad (4.12)$$

cu valorile inițiale  $x(0) = x_M$ ,  $y(0) = y_M$  și funcții de forțare independente cu zgomot alb  $X(t)$   $Y(t)$ , cu medie nulă și densități spectrale egale, va traversa frontiera în astfel de puncte  $(x_L, y_L)$  să fie satisfăcută condiția ca media pe ansamblu

$$E \{ (x_L, y_L) \} = \varphi(x_M, y_M) \quad (4.13)$$

Prin urmare media eșantioanelor  $\tilde{\varphi}(x_L, y_L)$  pentru un număr convenabil de trasee aleatoare este o estimatie dorită  $\varphi(x_M, y_M)$  în  $M(x_M, y_M)$ .

Integratoarele 1 și 2 din fig.4.2. rezolvă ecuațiile stohastică (4.12) iar circuitul basculant acționat de un comparator eșantionează pe  $x(t), y(t)$  și readuce în situația inițială integratoarele când  $M(x, y)$  traversează frontiera.

Frontiera poate fi definită sub formele :

$$\begin{aligned} U = 1 \text{ dacă } y - f_1(x) > 0, \\ \text{sau } y - f_2(x) < 0, \\ \text{sau } f(x, y) > 0. \end{aligned} \quad (4.13)$$

Funcția de frontieră  $\varphi(x_L, y_L)$  a mărimilor de ieșire  $x_L, y_L$ , ale elementului de extragere-menținere, este calculată de circuite analogice sau numerice și este mediată, de preferință numeric, pentru a produce estimațiile  $\varphi(x_M, y_M)$ ; se regăsește astfel formula (4.9).

Metoda stohastică (probabilistică, Monte-Carlo) poate fi extinsă pentru probleme Dirichlet generale (câmpuri irotaționale în medii neomogene [75] , [76] și foarte ușor pentru câmpuri tridimensionale [71] .

De asemenea există posibilități atrăgătoare de a fi utilizată și în analiza câmpurilor care satisface cele mai generale ecuații diferențiale cu derivate parțiale [77] , [78] .

Se întrevede utilizarea în baza ecuațiilor (4.8) și (4.9) a unui program de calcul cifric utilizând tabele de numere aleatoare generate cu un model cu urne. Algoritmul de calcul constă în esență în varierea indicilor  $(i, j)$  pînă la identificarea lor cu  $(k, l)$ , varierea fiind condiționată de numerele aleatoare atașate deplasărilor elementare. Identificarea cuplurilor  $(i, j)$ ,  $(k, l)$  reprezintă condiția de reîntoarcere la valorile inițiale

ale lui  $(i, j)$ .

#### 4.2. Precizia metodei stocastice

Rezultatele obținute cu această metodă sînt afectate de erorile de trunchiere și de cele provocate de fluctuațiile statistice. Pentru eșantioane de 300 ÷ 2000 trasee, ultimul tip de erori are valoarea de cîteva procente [73] .

Utilizarea calculatorului specializat introduce și erorile determinate de imprecizia elementelor lor componente.

### C. PROBLEME REZOLVATE

În problemele propuse spre rezolvare se cere determinarea câmpului electromagnetic quasistaționar în câteva sisteme de conductoare masive.

După cum se observă în Cap. I-A, curenții variabili nu parcurg conductoarele masive cu o distribuție uniformă. Ei tind să se concentreze la periferia lor și ca urmare pierderile de putere pe unitatea de lungime a oricărui conductor, cresc peste valoarea din curent continuu. În mod similar repartițiile parțiale de curenți dau naștere la variații ale distanțelor geometrice ale distribuțiilor de curent, conducând la variații ale inductanței totale a oricărui conductor din sistem. În toate cazurile distribuția de curent este guvernată de ecuația difuziei.

Prima soluție în întregime analitică dată unei astfel de probleme este prezentată în [79] și utilizează o generalizare a procesului iterativ pentru bare de secțiuni transversale dreptunghiulare. Această metodă pare a fi puțin cunoscută și nu a fost des folosită, poate din cauza convergenței prea lente a iterației, care conduce la o rezolvare laborioasă. Este adevărat că foarte multe calcule pot fi preluate de calculatorul digital, însă între timp au fost dezvoltate metode mai bune.

Tehnica de aproximare numerică propusă și folosită pentru prima dată în [30] s-a dovedit ușor adaptabilă pentru o programare simplă a calculatorului cifric și a devenit foarte practică și cu aplicabilitate extinsă datorită lucrării [81].

Folosind teoria modală a curgerii curentului în analiza efectului pelicular al conductoarelor izolate, paralele, aranjate arbitrar și excitate de curenți arbitrari, s-au obținut rezultate cu precizii de 0,5% [82]. Procedul a fost extins [83] pentru cazul multiconductoarelor (conductoare multiple și polifazate). Întrucât deocamdată nu este suficient de bine înțeleasă variația parametrilor modali cu rapoartele laturilor conductoarelor, metoda s-a utilizat doar pentru regimuri sinusoidale, extinderea rezultatelor pentru regimuri tranzitorii neputând fi preconizată.

În [19] se prezintă o soluționare numerică a acestor probleme, prin utilizarea rețelelor analizoare de tip RC, justificată de acuratețea de 0,5 ÷ 0,3%. În scopul utilizării modelării

discrete pentru o gamă mai largă de probleme de câmp magnetic în [30] se sugerează aplicarea pentru domeniile infinite a unei inversiuni care determină o rețea "matematică" infinită. Acest model reprezintă o replică a cuvei electrolitice în dublu strat [56].

Rezolvările celor trei probleme prezentate aici au la bază analiza câmpului prin modelare pe rețele analizoare RC, celelalte mijloace de modelare (v. Cap. I-B și III-B) fiind incapabile de a asigura precizii cât de cât rezonabile. Din motive de comoditate constructivă s-a ales ca tip fundamental discretizarea cu pas constant. Cum la problemele de câmp magnetic se dau deseori condiții de frontieră de tip Neumann (pentru potențialul vector magnetic) și frontierele sînt de forme oarecare, se impune divizarea domeniului în celule patratică, de la care se poate trece fără dificultate la forme adecvate cuprinderii întregului domeniu delimitat de frontieră.

Întrucît în prezentarea de principiu s-au dedus relațiile de calcul și s-au făcut precizări asupra schemelor de măsurare, în continuare se va evita repetarea acestora. Cu toate că fiecare din problemele rezolvate s-a pretat la soluționări cu calculatorul cifric, doar pentru una din ele s-a alcătuit și s-a rulat un program scris în FORTRAN (problema III), în scopul confruntării rezultatelor.

## I. MODELAREA UNUI SISTEM DE BARE COLECTOARE ÎN VEDEREA DETERMINĂRII PARAMETRELOR $R^*$ , $L^*$ , $C^*$

Se prezintă o rețea RC pe care se poate modela câmpul electromagnetic a unui sistem de două bare masive, paralele, parcurse de curenți sinusoidali, în vederea determinării valorilor parametrilor linieiici  $R^*$ ,  $L^*$ ,  $C^*$  și a forțelor electrodinamice. Sînt prezentate de asemenea unele rezultate experimentale utilizate în calculul de proiectare a laboratorului de mare putere din cadrul U.E.P.C., și publicate în [69].

### 1.1. Integratorul RC corespunzător sistemului

Se consideră un sistem de două bare paralele de secțiune dreptunghiulară (fig.1), așezate simetric față de o axă mediană ( $y, y'$ ).

Datorită simetriei barelor față de axa  $y, y'$ , pentru orice distanță  $d$  există o linie de câmp magnetic care coincide cu



direcția  $yy'$  (fig.2), componenta inducției magnetice după axa  $xx'$  fiind pentru toate punctele de pe axa  $yy'$  egală cu zero :

$$B_x \doteq \frac{\partial A}{\partial y} = 0. \quad (1.1)$$

altfel spus,  $A = \text{const.}$  de-a lungul axei  $yy'$ .

Datorită simetriei sistemului față de axa  $xx'$ , relația (1.1) va fi adevărată de asemenea pentru orice punct de pe aceeași axă,  $xx'$  fiind perpendiculară pe toate liniile de cîmp care o traversează, astfel încît unul dintre semiplanele determinate de ea poate fi considerat ca fiind imaginea magnetică a celuilalt.

Observațiile făcute dau posibilitatea modelării doar a sfertului de plan  $xoy$  (cadranul I), spectrele avînd aceeași formă în cele patru cadrane.

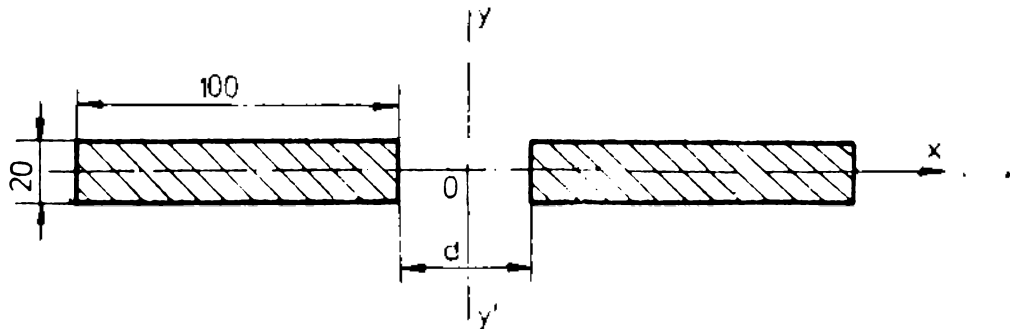


Fig.1.1. Dispunerea barelor colectoare.

Ou toate acestea, numărul rezistorilor necesari modelului e infinit de mare, neavînd nici o condiție de margine (dată de exemplu, de o ecranare feromagnetică a barelor) care să limiteze întinderea modelului.

Dacă însă se aplică spațiului  $r > r_0$  o inversiune

$$r' = \frac{r_0^2}{r}, \quad (1.2)$$

atunci cadranul I se modelează prin două rețele identice de rezistori avînd punctele corespunzătoare arcului  $r = r_0$ , echipotențializate conform figurii 1.3.

Rezistorii dispuși de-a lungul axei  $oy$  au o rezistență egală cu zero, iar cei de-a lungul axei  $ox$  au o rezistență dublă față de cei din interiorul conturului modelului (fig.4).

Valoarea nulă a rezistențelor rezultă din condiția necesară separării cadranului I de IV.

Modelul s-a construit folosind un pas de discretizare  $h = 5$  mm, o valoare a rezistenței  $R_m$  de  $1000 \Omega$  și o capacitate

$C_m = 27.000 \text{ pF}$  la o frecvență a curentului din bare de 50 Hz.

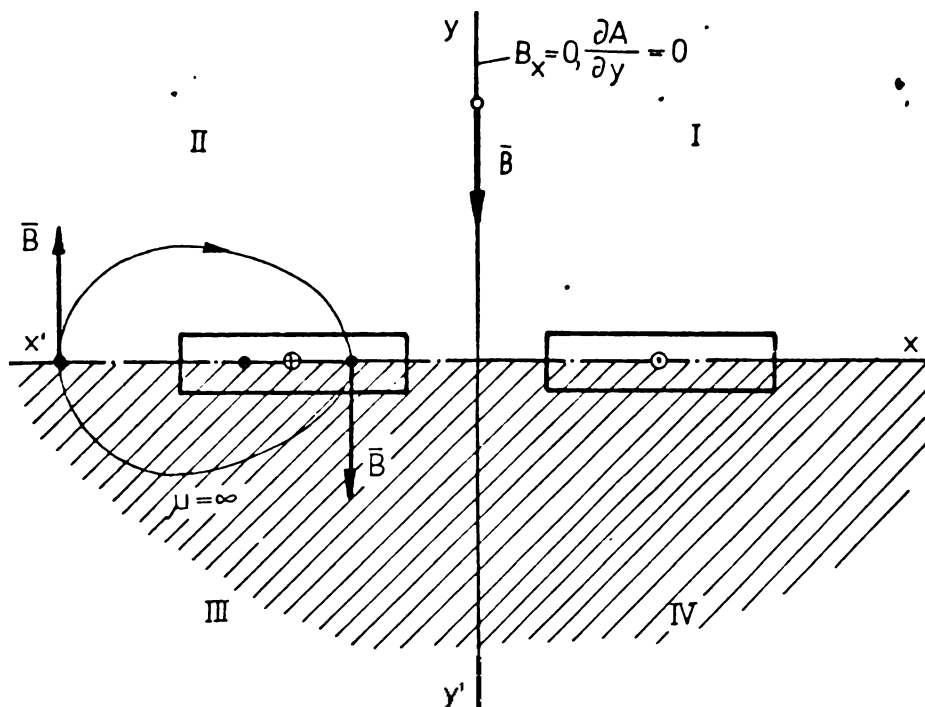


Fig.1.2.- Punerea în evidență a simetriilor câmpului magnetic după cele două axe  $xx', yy'$ .

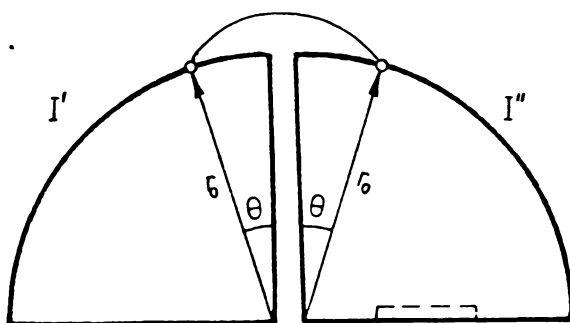


Fig.1.3. Modul echipotentializării punctelor modelului.

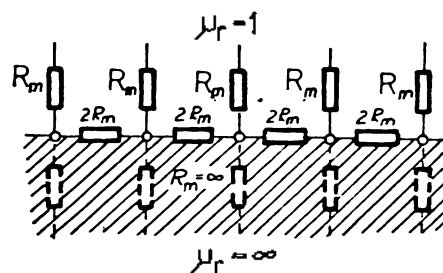


Fig.1.4. Valorile rezistențelor la limite de trecere dintr-un mediu cu  $\mu_r = 1$  într-un mediu cu  $\mu_r = \infty$ .

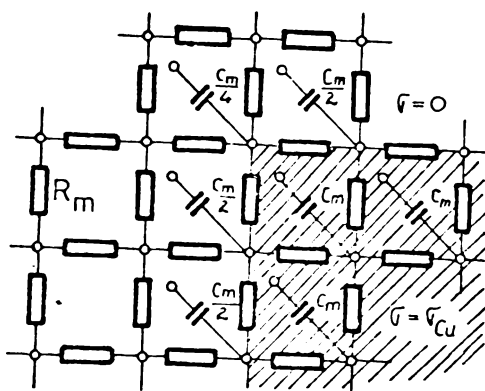
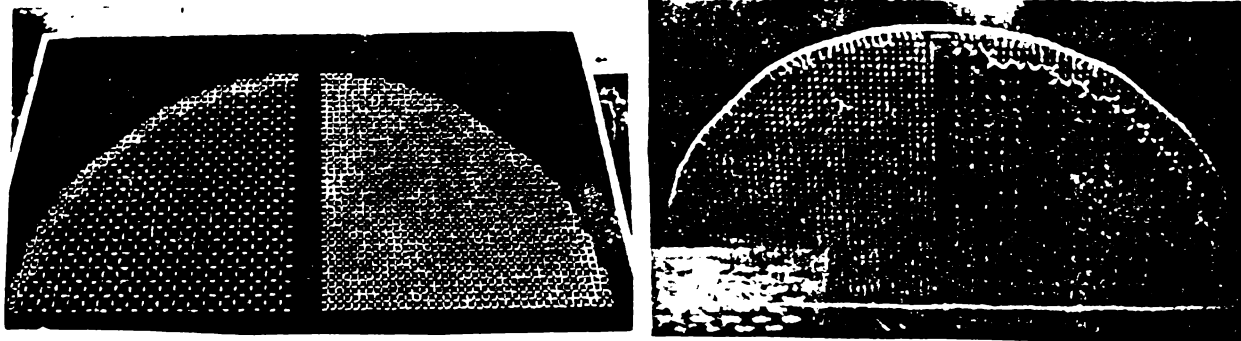


Fig.1.5. Valorile capacităților corespunzătoare frontierei conductor-izolant.

S-au utilizat aproximativ 2000 de rezistori a  $1000 \Omega$  fiecare, 500 de rezistori cu valori ale rezistenței cuprinse între 600 și  $2000 \Omega$

și 80 de condensatori cu valori ale capacităților cuprinse între 6800 și 27000 pF. Valorile capacităților se modifică doar de-a lungul conturului secțiunii, conform figurii 1.5.(v.rel.3.13-B). Modelul este prezentat în fig. 1.6.a,b.



a.

b.

Fig.1.6 Model RC pentru studiul câmpului electromagnetic a unui sistem de bare colectoare :

a.- dispunerea rezistorilor; b.- modul de conectare a rezistorilor și a condensatoarelor.

## 1.2. Rezultate experimentale

Pentru sistemul de bare prezentat s-au efectuat o serie de măsurători pe model în ceea ce privește pierderile suplimentare care apar în conductele masive datorită efectului skin și proximitate. Aceste pierderi sunt puse în evidență prin factorul rezistenței în alternativ, care se exprimă în funcție de mărimile măsurabile pe model cu expresia (3.35-B).

În fig.1.7 este reprezentat factorul  $k_a$  în funcție de distanța  $d$  dintre fețele interioare ale barelor în două cazuri : cînd conductele nu sînt divizate ( $d_1 = 0$ ) și cînd fiecare conductă este divizată longitudinal în două părți egale ( $d_1 = 20$  mm).

Din măsurătorile efectuate pentru distanța  $d$  cuprinsă între 450 și 600 mm, cînd efectul de proximitate este neglijabil, s-a constatat o stabilizare a factorului  $k_a$  la valoarea 1,35. Această valoare este confirmată de literatură [84] , [85] .

Figura 1.8 reprezintă o diagramă spațială a repartiției densităților de curent pe secțiunea unei conducte pentru distanța  $d = 10$  mm.

Mai jos sînt date cîteva tabele cu numere proporționale cu densitățile de curent pentru diverse valori ale lui  $d$  :  $d = 20, 40 \dots 160$  mm. Pentru ușurința urmării lor se numerează nodurile rețelei de discretizare ca în fig. 1.9.

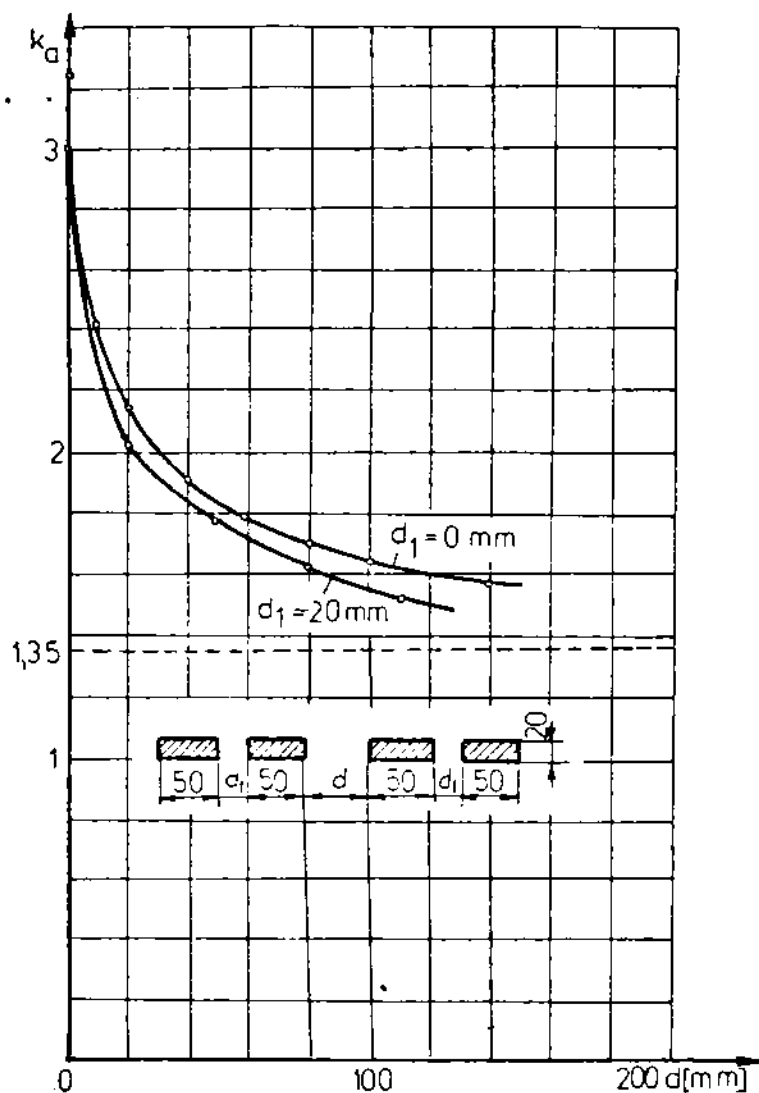
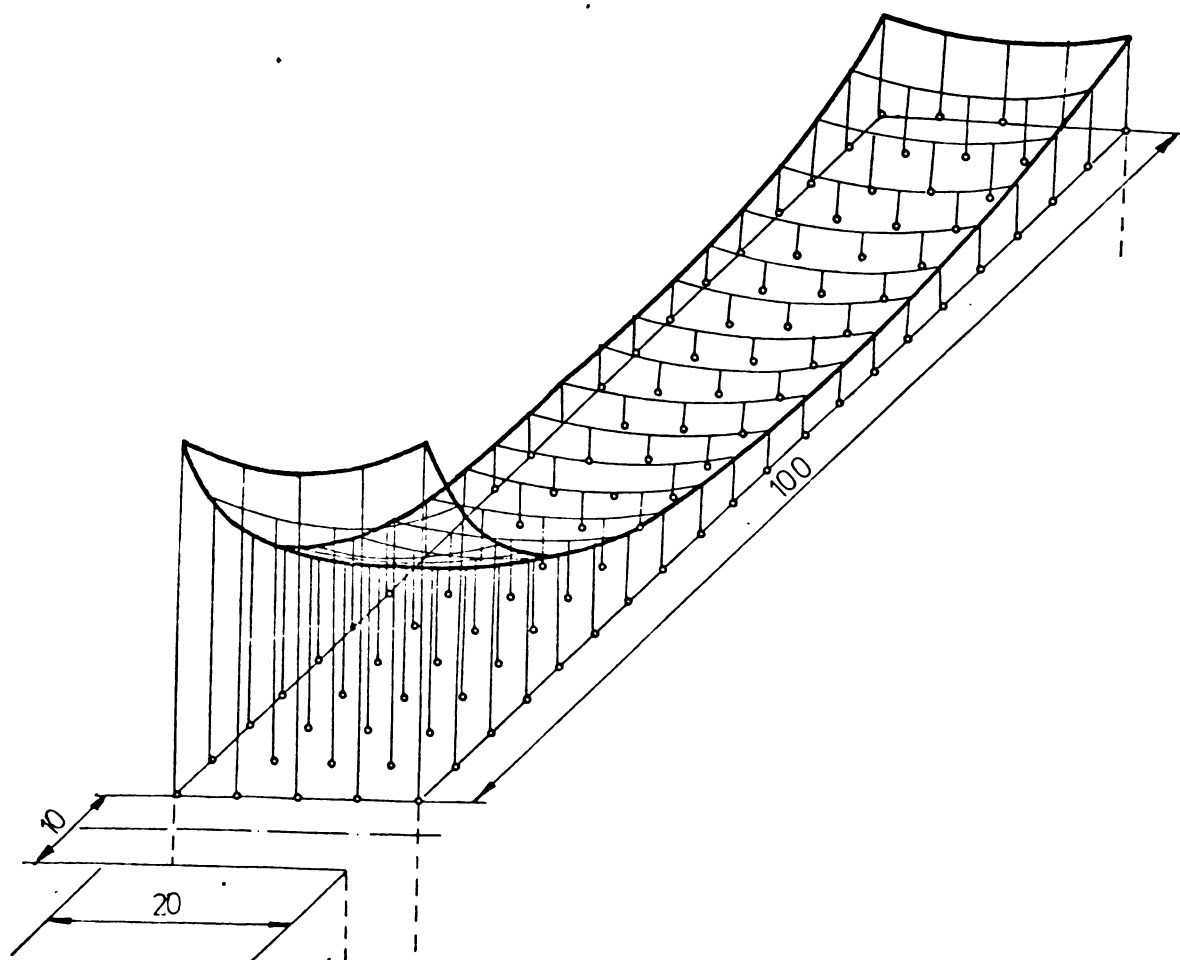


Fig.1.7. Factorul în alternativ al rezistenței  $k_d$ , pentru sistemul de bare din fig.1.1-funcție de distanța  $d$  dintre bare.

Fig.1.8. Repartiția spațială a densităților de curent pe secțiunea unui conductor pentru  $d = 10$  mm.



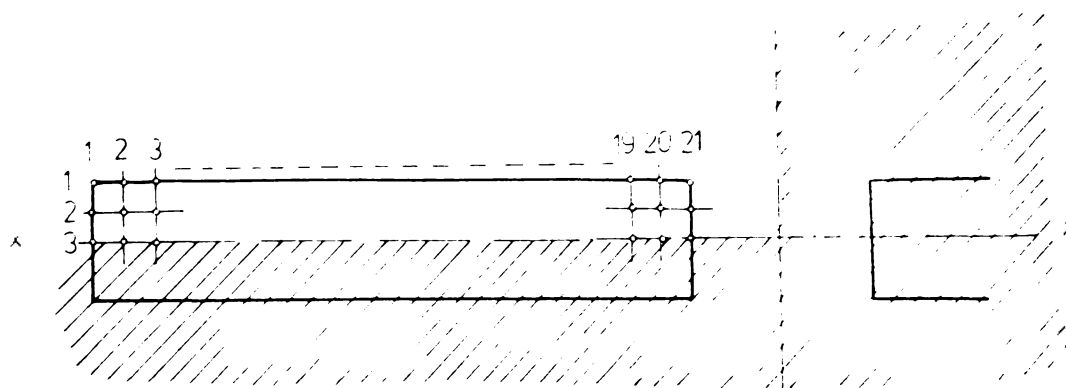


Fig.1.9. Explicativă la tabele.

Pentru alimentarea modelului s-a utilizat un generator de audiofrecvență de 5 W, iar pentru măsurători un voltmetru electronic cu intrare simetrică. Pentru determinările făcute s-a estimat o eroare totală de câteva procente.

Tabelul 1.1 :  $d = 20$  mm

	1	2	3	4	5	6	7	8	9	10	
1	1,6	1,28	1,06	0,89	0,72	0,64	0,615	0,6	0,61	0,625	
2	1,42	1,1	0,9	0,72	0,59	0,53	0,48	0,465	0,465	0,47	
3	1,37	1,075	0,865	0,70	0,58	0,525	0,47	0,46	0,435	0,45	
	11	12	13	14	15	16	17	18	19	20	21
	0,66	0,7	0,75	0,865	0,015	1,24	1,57	2,07	2,75	3,67	0,435
	0,485	0,53	0,58	0,68	0,83	1,06	1,365	1,815	2,45	3,28	4,48
	0,47	0,515	0,57	0,67	0,835	1,05	1,36	1,79	2,375	3,17	4,335

Tabelul 1.2 :  $d = 40$  mm

	1	2	3	4	5	6	7	8	9	10	
1	1,77	1,43	1,15	0,965	0,82	0,725	0,68	0,63	0,625	0,67	
2	1,57	1,2	0,98	0,8	0,665	0,57	0,53	0,49	0,48	0,48	
3	1,515	1,16	0,95	0,78	0,65	0,565	0,5	0,45	0,45	0,45	
	11	12	13	14	15	16	17	18	19	20	21
	0,7	0,73	0,8	0,9	0,03	1,25	1,52	1,885	2,41	3,16	4,16
	0,5	0,52	0,58	0,65	0,8	1,015	1,275	1,675	2,12	2,8	3,8
	0,5	0,52	0,57	0,65	0,83	1,0	1,27	1,63	2,07	2,7	3,68

Tabelul 1.3 : d = 60 mm

	1	2	3	4	5	6	7	8	9	10	
1	1,825	1,46	1,17	0,95	0,8	0,75	0,7	0,66	0,64	0,64	
2	1,63	1,25	1,0	0,8	0,65	0,58	0,52	0,5	0,48	0,48	
3	1,56	1,18	0,97	0,77	0,625	0,575	0,51	0,48	0,45	0,45	
	11	12	13	14	15	16	17	18	19	20	21
	0,08	0,7	0,765	0,85	1,01	1,17	1,37	1,71	2,165	2,78	3,625
	0,48	0,5	0,55	0,64	0,77	1,0	1,15	1,52	1,9	2,47	3,3
	0,45	0,48	0,53	0,63	0,76	0,95	1,114	1,47	1,86	2,375	3,175

Tabelul 1.4 : d = 80 mm

	1	2	3	4	5	6	7	8	9	10	
1	1,52	1,3	1,03	0,84	0,725	0,635	0,6	0,57	0,575	0,57	
2	1,45	1,15	0,88	0,715	0,6	0,515	0,47	0,44	0,43	0,435	
3	1,38	1,05	0,76	0,7	0,59	0,51	0,46	0,43	0,415	0,42	
	11	12	13	14	15	16	17	18	19	20	21
	0,585	0,625	0,65	0,7	0,785	0,925	1,13	1,41	1,78	2,33	3,015
	0,45	0,47	0,5	0,55	0,635	0,75	0,935	1,21	1,56	2,035	2,725
	0,44	0,46	0,475	0,535	0,625	0,74	0,930	1,18	1,525	1,95	2,635

Tabelul 1.5 : d = 100 mm

	1	2	3	4	5	6	7	8	9	10	
1	1,62	1,28	1,03	0,84	0,72	0,635	0,6	0,57	0,565	0,56	
2	1,425	1,12	0,885	0,715	0,6	0,515	0,465	0,45	0,42	0,420	
3	1,37	1,07	0,865	0,7	0,59	0,51	0,46	0,42	0,4	0,41	
	11	12	13	14	15	16	17	18	19	20	21
	0,575	0,585	0,625	0,67	0,75	0,87	1,05	1,3	1,66	2,16	2,77
	0,435	0,46	0,475	0,54	0,6	0,715	0,88	1,115	1,43	1,87	2,53
	0,42	0,435	0,47	0,525	0,59	0,71	0,875	1,1	1,385	1,8	2,45

Tabelul 1.6 : d = 120 mm

	1	2	3	4	5	6	7	8	9	10	
1	1,475	1,17	0,935	0,765	0,65	0,565	0,525	0,5	0,485	0,48	
2	1,352	1,01	0,8	0,65	0,525	0,465	0,415	0,37	0,36	0,36	
3	1,265	0,965	0,77	0,635	0,535	0,46	0,4	0,36	0,35	0,35	
	11	12	13	14	15	16	17	18	19	20	21
0,5	0,52	0,54	0,58	0,65	0,75	0,9	1,13	1,415	1,825	2,37	
0,37	0,375	0,41	0,44	0,52	0,615	0,75	0,965	1,23	1,575	2,12	
0,36	0,37	0,385	0,435	0,51	0,6	0,75	0,945	1,2	1,52	2,03	

Tabelul 1.7 : d = 140 mm

	1	2	3	4	5	6	7	8	9	10	
1	1,48	1,17	0,935	0,765	0,635	0,56	0,517	0,487	0,487	0,485	
2	1,32	1,015	0,9	0,64	0,53	0,465	0,4	0,37	0,37	0,36	
3	1,27	0,97	0,77	0,63	0,53	0,45	0,39	0,37	0,36	0,345	
	11	12	13	14	15	16	17	18	19	20	21
0,49	0,515	0,53	0,57	0,63	0,72	1,865	1,06	1,335	1,715	2,23	
0,365	0,37	0,4	0,435	0,49	0,58	0,725	0,92	1,165	1,49	2,01	
0,36	0,36	0,385	0,435	0,48	0,58	0,72	0,9	1,135	1,44	1,935	

Tabelul 1.8 : d = 160 mm

	1	2	3	4	5	6	7	8	9	10	
1	1,5	1,185	0,94	0,77	0,64	0,56	0,525	0,485	0,48	0,48	
2	1,3	1,03	0,815	0,655	0,54	0,45	0,4	0,37	0,36	0,36	
3	1,315	1,985	0,785	0,65	0,535	0,45	0,4	0,37	0,35	0,35	
	11	12	13	14	15	16	17	18	19	20	21
0,49	0,50	0,53	0,56	0,617	0,7	0,83	1,02	1,285	1,635	2,127	
0,36	0,365	0,4	0,43	0,49	0,565	0,68	0,87	1,12	1,435	1,91	
0,355	0,36	0,38	0,423	0,475	0,565	0,68	0,86	1,087	1,375	1,84	

### 1.3. Observații

Rezultatele experimentale obținute pe model pentru sistemul de bare colectoare (fig.1.1) indică o majorare apreciabilă a pierderilor suplimentare din bare pentru  $d < 150$  mm, așa încît o dispunere a barelor în rășini epoxidice de exemplu, ar fi sub acest aspect dezavantajoasă. De la distanța  $d > 500$  mm, factorul  $k_a$  include doar creșterea rezistenței datorată efectului pelicular, efectul de proximitate fiind neglijabil.

Cu integratorul prezentat se pot rezolva problemele de cîmp magnetic (și electric) care prezintă duble simetrii (față de două axe ortogonale).

Dacă conductoarele considerate sînt plasate într-o carcasă feromagnetică, modelul alimentat cu o frecvență aproape de zero va fi în principiu modelul unor înfășurări de transformator și cu el se poate deci studia fluxul de dispersie al unui transformator.

## II. DETERMINAREA PRIN MODELARE A CÎMPULUI ELECTROMAGNETIC AL UNUI CONDUCTOR CILINDRIC, DE SECȚIUNE TRANSVERSALA TRAPEZOIDALA, PLASAT ÎNTR-O CRESTATURA FEROMAGNETICA

Se studiază pe un model RC cîmpul unui conductor cilindric de secțiune transversală trapezoidală parcurs de un curent alternativ, plasat într-o crestătură efectuată într-un material feromagnetic. Pentru acest caz se prezintă modelul și cîteva rezultate experimentale referitoare la factorul în alternativ al rezistenței,  $k_a$ , la inductivitatea internă,  $L_i$ , și la forța lineică specifică  $f_0^*$ , comparîndu-se aceste rezultate cu valorile luate în mod curent în considerare la proiectarea mașinilor electrice și cu cele obținute prin calcul analitic exact pentru conductorul cu secțiunea transversală în formă de sector coroană circulară.

### 2.1. Descrierea sistemului

Realizarea unui model RC pentru studiul cîmpului electromagnetic al unui conductor drept, parcurs de un curent  $i = I\sqrt{2} \sin t$ , plasat într-o crestătură efectuată într-un material feromagnetic, necesită precizarea ipotezelor și condițiilor în care se rezolvă ecuațiile cîmpului.

Materialul feromagnetic, în care este practică crestătura, este alcătuit dintr-un pachet de tole izolate una față de alta (cu hîrtie, cu oxizi neconductori etc.). Acest lucru schiva-



lează cu faptul că  $\sigma_z$ , conductibilitatea electrică după normală fețelor izolate, este nulă.

Se consideră tolele suficient de subțiri și rezistivitatea lor electrică suficient de mare și ca urmare, se poate neglija efectul curenților turbicnari din tole asupra cîmpului magnetic al conductorului plasat în creștătură.

Datorită faptului că în direcția curentului, respectiv în direcția lui  $\vec{k}$ , straturile de material feromagnetic alternează cu straturile de izolanț care au o altă permeabilitate magnetică decît materialul feromagnetic, cîmpul magnetic nu este în general plan-paralel. Pentru a avea un cîmp plan-paralel e necesar ca raportul dintre grosimea tolei fără izolație și grosimea izolației dintre două tole succesive să fie cu mult mai mare decît unitatea. Se consideră îndeplinită și această condiție.

Raportul foarte mare între permeabilitatea magnetică a oțelului electrotehnic și aceea a aerului, cuprului, aluminiului etc. permite considerarea raportului :

$$\frac{\mu_{Fe}}{\mu_{aer, Al, Cu}} = \infty$$

Conductorul este dispus ca în figura 2.1a și el poate fi studiat considerîndu-se că curentul din el se întoarce printr-un conductor plasat la infinit [47], [57] ; de asemenea el poate fi considerat ca făcînd parte dintr-un sistem complet de conductoare plasate astfel încît efectul de proximitate al restului de conductoare din sistem asupra conductorului dat să fie nul.

Problema mai poate fi privită și altfel. Dacă pentru conductorul din sistemul prezentat în figura 2.1, al cărui curent  $i$ , este cunoscut, se mai cunoaște o linie de cîmp magnetic  $\Gamma_B$  care înlănțuie numai acest conductor, respectiv o linie  $A=constant$ , determinarea cîmpului din interiorul curbei  $\Gamma_B$  se face admițînd că curentul  $i$  se întoarce printr-o suprafață cilindrică, perpendiculară pe planul cîmpului, sprijinită pe conturul  $\Gamma_B$  și de conductivitate infinită.

Conform observațiilor din § 3.2-A, pentru sistemul din figura 2.1a, e suficient să se cunoască doar o linie de cîmp din întrefierul  $\delta$ . Pentru întrefierul constant considerat aici se cunosc o infinitate de linii de cîmp.

Datorită simetriei sistemului față de axa mediană a secțiunii transversale a conductorului și respectiv a cîmpului electromagnetic, este suficientă modelarea unei jumătăți din

suprafața de modelat.

Pentru porțiunea corespunzătoare materialului feromagnetic rezistențele din rețea au valori infinite și deci această zonă va fi "decupată" din model.

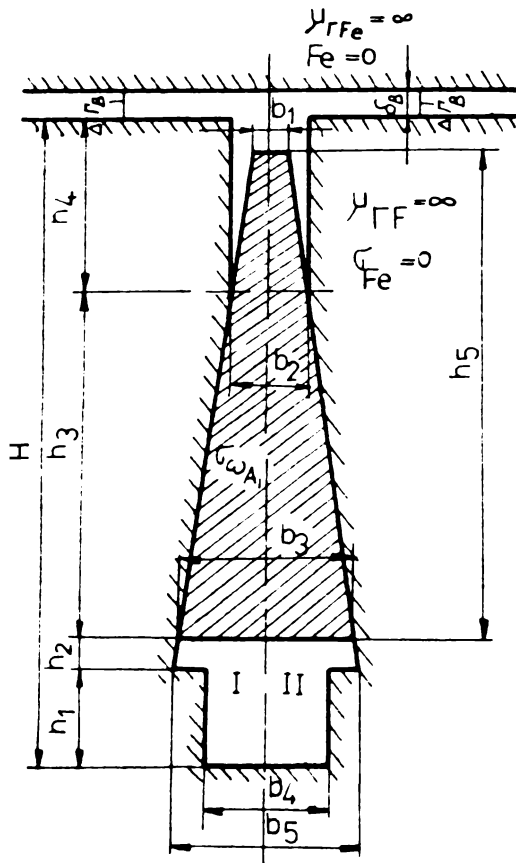


Fig.2.1.a - Ansamblul conductor-crestătură de modelat.

Fig.2.1.b- Modelul RC al ansamblului din figura 2.1. a.

## 2.2. O soluție analitică pentru un caz idealizat

Pentru un conductor avînd secțiunea transversală de forma unui sector-coroană circulară (fig.2.1-a) expresiile intensității de cîmp magnetic și a densității de curent la o reprezentare complexă a mărimilor electromagnetice sînt (v.Anexa 2) :

$$\underline{H}(\underline{r}, \rho) = \frac{\underline{I}}{2\theta} \frac{H_1^{(1)}(\underline{r}b) J_1(\underline{r}\rho) - J_1(\underline{r}b) H_1^{(1)}(\underline{r}\rho)}{J_1(\underline{r}a) H_1^{(1)}(\underline{r}b) - J_1(\underline{r}b) H_1^{(1)}(\underline{r}a)} \quad (2.1)$$

$$\underline{J}(\underline{r}, \rho) = \frac{H_1^{(1)}(\underline{r}b) J_0(\underline{r}\rho) - J_1(\underline{r}b) H_0^{(1)}(\underline{r}\rho)}{J_1(\underline{r}a) H_1^{(1)}(\underline{r}b) - J_1(\underline{r}b) H_1^{(1)}(\underline{r}a)} \quad (2.2)$$

în care  $H_k^{(1)} = J_k + j Y_k$  este funcția Hankel.

Separînd din puterea complexă prin suprafața generatoare a

conductorului puterea activă și reactivă se obțin :

$$k_a = \frac{\operatorname{Re} \{ J(\gamma a) \}}{2 \theta_m J_{med}} \quad (2.3)$$

$$L_{1ar} = \frac{2 \delta^2}{a^2 - 3b^2 + \frac{4b^2}{1 - (\frac{a}{b})^2} \ln \frac{b}{a}} \frac{\operatorname{Im} \{ J(\gamma a) \}}{J_{med}} \quad (2.4)$$

în care  $J_{med} = \frac{I}{\theta_m (b^2 - a^2)}$ , este real dacă se alege ca origine a fazelor fazorul  $I$ .

În expresiile de mai sus  $\theta_m$ ,  $a$  și  $b$  au valorile obținute din echivalările efectuate creștăturilor din fig.2.1a și fig.2.1-a ; unghiul  $\theta_m$  este identic pentru cele două creștături,

$$\theta_m = \operatorname{arctg} \frac{b_3 - b_1}{2h_5}, \quad (2.5)$$

cilindrul de rază  $a$  (fig.2.1-a), are axa de simetrie identică cu muchia diedrului format de fețele laterale ale conductorului din fig.2.1 și este tangent bazei  $b_1$  (fig.2.1) la mijlocul ei,

$$a = \frac{b_1 h_5}{b_3 - b_1}, \quad (2.6)$$

ariile secțiunilor transversale ale celor două conductoare sînt egale,

$$b = h_5 \frac{b_1}{b_3 - b_1} \sqrt{1 + \frac{b_1^3 + b_3^3 - b_1 b_3 (b_1 + b_3)}{2 \operatorname{arctg}(\frac{b_3 - b_1}{2h_5})}} \quad (2.7)$$

Folosind tabelele din [86] pentru datele problemei s-au calculat valorile pentru  $k_a$  și  $L_{1ar}$  reprezentate în fig.2.2. și fig.2.6 prin curbele 6 respectiv 3.

### 2.3. Modelul RC corespunzător sistemului

Pentru discretizarea suprafeței de modelat, elementele de suprafață  $\Delta S_e$  se aleg de formă convenabilă. Pentru a se utiliza elemente pasive  $R_m$  și  $C_m$  pe cît posibil de valori constante pentru întreg domeniul modelat și pentru a avea eroare de trunchiere mică, s-a ales discretizarea în elemente pătratice cu pas mic de discretizare.

Alegând pe  $h = 10^{-3} \text{ m}$ ,  $R_m = 910 \Omega$ ,  $C_m = 4,7 \cdot 10^{-9} \text{ F}$ ,  
 $= 5,5 \cdot 10^7 \frac{\text{S}}{\text{m}}$ ,  $\mu_{\text{Cu}} = \mu_0 = 1,256 \cdot 10^{-6} \frac{\text{H}}{\text{m}}$ , știind că mărimea (constantă  
 în planul câmpului)  $K = \frac{1}{S \sigma}$  ( $S =$  secțiunea conductorului) se poa-  
 te determina  $k_t$ , în baza relațiilor (3.13-B)

$$k_t^{-1} = \frac{R_m C_m}{\mu \sigma h^2} = 6,2 \cdot 10^{-2}$$

Datorită faptului că în cele ce urmează interesează mărimi-  
 le raportate,  $k_a$ ,  $\frac{L_{1a}}{L_{1c}}$ ,  $f_0^*$ , valoarea coeficientului de similitu-

dine  $k_A$  nu trebuie cunoscută.

Pe baza celor prezentate mai sus, pentru sistemul din figu-  
 ra 2.1a s-a construit modelul din figura 2.1b. Alimentarea mode-  
 lului cu un curent de aceeași formă cu  $i$  s-a făcut prin punctul  
 comun al condensatoarelor rețelei și prin punctul corespunzător  
 unui segment  $\Delta \Gamma_B$ .

#### 2.4. Rezultate experimentale

a. Rezistența în alternativ a conductorului  $R_a$  se deter-  
 mină indirect prin factorul în alternativ al rezistenței  $k_a$ , dat  
 de expresia (3.35-B), în funcție de mărimile măsurabile pe model.

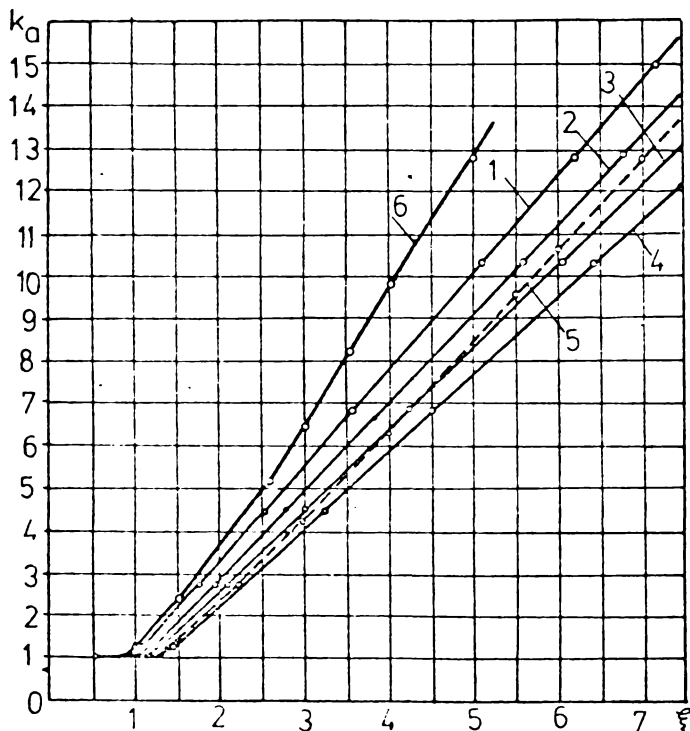


Fig.2.2. Factorul rezisten-  
 ței în alternativ  $k_a = f(\xi)$   
 pentru diverse temperaturi  
 medii ale conductorului de  
 cupru;  
 Curba: 1- $\theta = 20^\circ \text{C}$ ; 4- $\theta = 175^\circ \text{C}$ ;  
 2- $\theta = 75^\circ \text{C}$ ; 5-curba da-  
 3- $\theta = 125^\circ \text{C}$ ; tă în [87];  
 6-curba co-  
 respunzătoare  
 re rel.(2.3).

Rezultatele experimentale determinate pe model sînt reprezentate  
 sub formă de diagrame în figura 2.2 și figurile 2.3.a,b,c,d.

În figura 2.2 este reprezentată variația lui :

$k_a = k_a(\xi)$ ,  $\xi = 0,09 h_5 \sqrt{\frac{f}{50}}$ , ( $f$ -frecvența curentului  $i$ ;  $h_5$  înălțimea conductorului în mm).

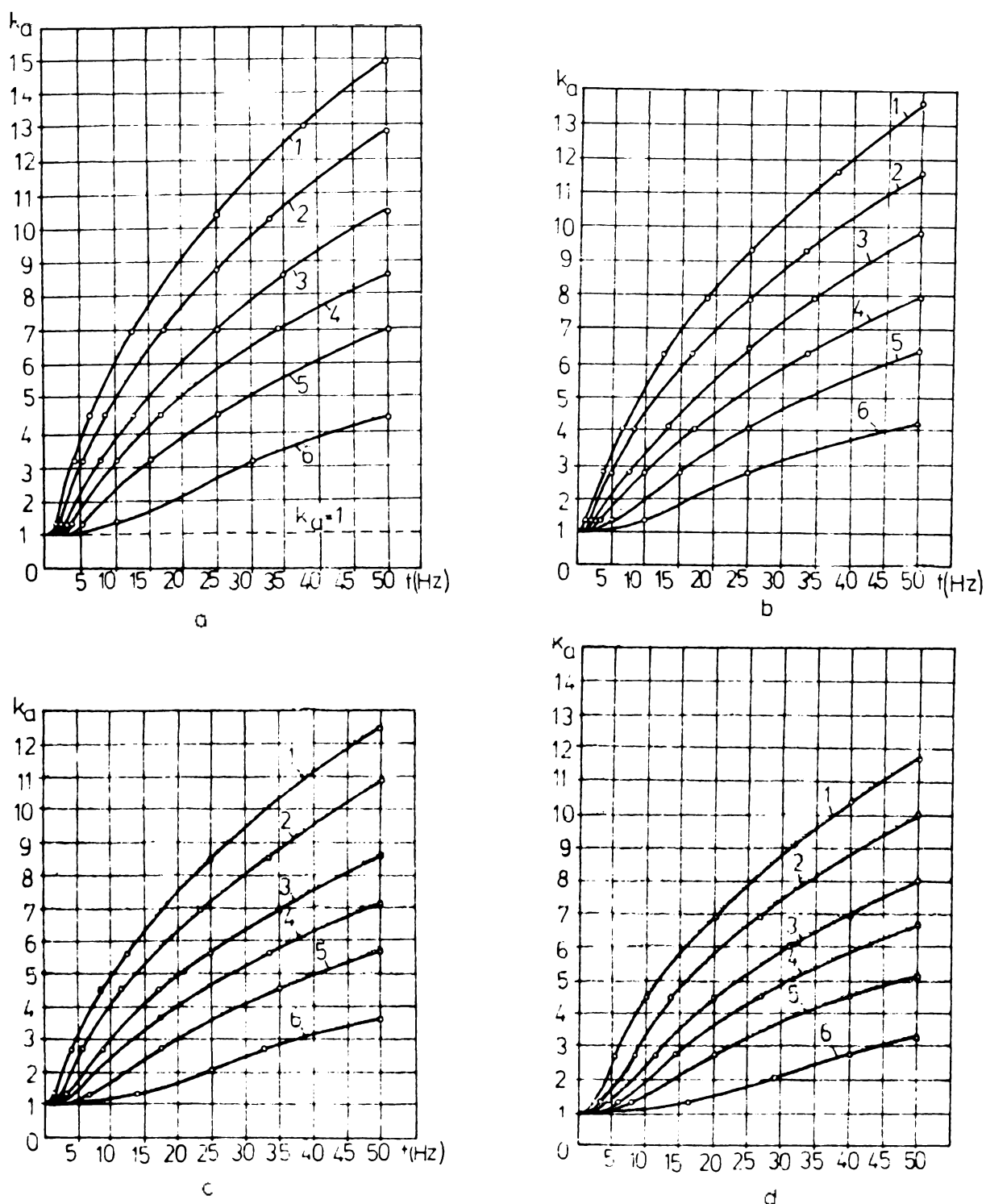


Fig.2.3. - Factorul  $k_a$  în funcție de frecvența câmpului electromagnetic.

În figura 2.3 sînt prezentate patru familii de curbe :  $k_a(f)$ , (a,b,c,d), pentru diferite temperaturi medii ale conductorului :

a) $\theta = 20^\circ\text{C}$	c) $\theta = 125^\circ\text{C}$
b) $\theta = 75^\circ\text{C}$	d) $\theta = 175^\circ\text{C}$ .

Dimensiunile secțiunii conductorului (fig.2.1) pentru care s-au făcut determinările date de curbele 1  $\frac{2}{3}$  6 din fig.2.3, sînt:

$$1 - b_1 = 6,8 \text{ mm}; b_2 = 14 \text{ mm}; h_5 = 80 \text{ mm};$$

$$2 - b_1 = \sqrt{3} \cdot 3,4 \text{ mm}; b_3 = \sqrt{3} \cdot 14 \text{ mm}; h_5 = \sqrt{3} \cdot 40 \text{ mm};$$

$$3 - b_1 = \sqrt{2} \cdot 3,4 \text{ mm}; b_3 = \sqrt{2} \cdot 14 \text{ mm}; h_5 = \sqrt{2} \cdot 40 \text{ mm};$$

$$4 - b_1 = \sqrt{1,5} \cdot 3,4 \text{ mm}; b_3 = \sqrt{1,5} \cdot 14 \text{ mm}; h_5 = \sqrt{1,5} \cdot 40 \text{ mm};$$

$$5 - b_1 = 3,4 \text{ mm}; b_2 = 14 \text{ mm}; h_5 = 40 \text{ mm};$$

$$6 - b_1 = 1,7 \text{ mm}; b_3 = 7 \text{ mm}; h_5 = 20 \text{ mm}.$$

S-a găsit interesantă prezentarea repartiției densității de curent  $J(x,y)$ , (fig.2.5 a,b,c,d,e,f,g,h) pentru un conductor de cupru la temperatura de  $20^\circ\text{C}$ , avînd baza mică a secțiunii transversale egală cu 3,4 mm, baza mare cu 14 mm și înălțimea de 40 mm, pentru diverse frecvențe ale cîmpului magnetic. Reprezentarea s-a făcut pe baza tabelii 2.1 care cuprinde valorile relative,  $\frac{J_a}{J_c}$ , în

funcție de frecvență, pentru axa mediană a conductorului studiat.

Notarea punctelor pentru care s-au dat valorile raportului  $\frac{J_a}{J_c}$  s-a făcut începînd cu mijlocul bazei mici (care s-a notat cu 1) și terminînd cu mijlocul bazei mari (notat cu 21) din 4 în 4 mm.

Din figura 2.2 se observă că variația factorului  $k_a = f(\xi, \theta)$  se poate aproxima, pentru  $\xi > 1,5$  cu o familie de drepte :

$$k_a = m\xi + n \quad (2.8),$$

coeficienții  $m$  și  $n$  determinîndu-se din diagramele respective în funcție de temperatura  $\theta$ .

Făcînd rapoartele între pierderile Joule în curent alternativ și în curent continuu, la definirea lui  $k_a$ , conductivitatea electrică nu mai apare explicat în expresia factorului rezistenței în alternativ, considerîndu-se, de obicei, că ea are aceeași valoare atît în expresia pierderilor  $P_a$  cît și în expresia lui  $P_c$ .

S-a considerat și aici că printr-o metodă oarecare temperatura conductorului, atunci cînd prin el circulă un curent continuu sau un curent alternativ de frecvență arbitrară dar cu va-

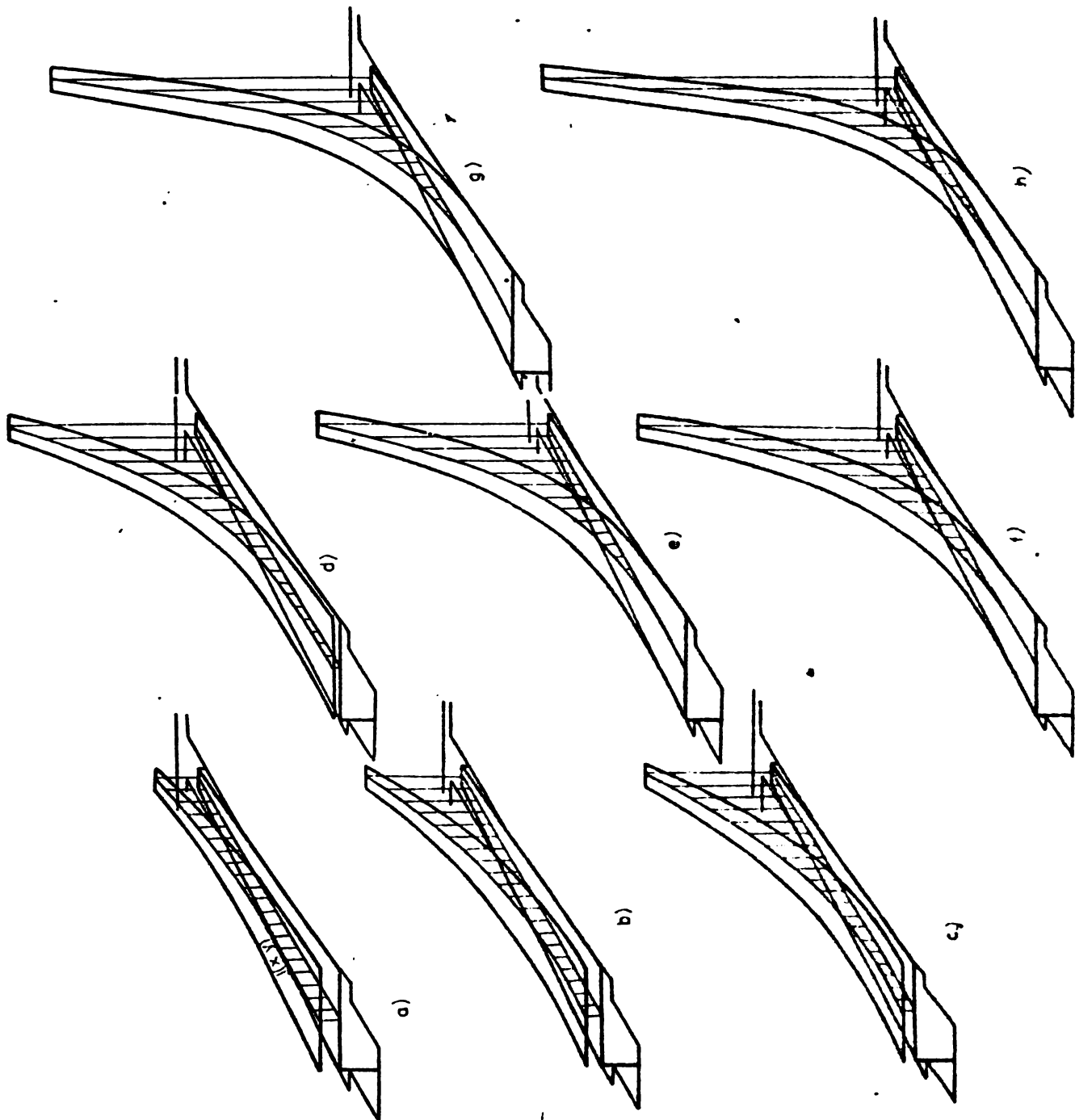


Fig 2.5 Distribuția densității de curent,  $J(x,y)$ , pe secțiunea transversală a conductorului de cupru, cu  $b_1=3,4\text{ mm}$ ;  $D_1=16\text{ mm}$ ;  $h=40\text{ mm}$  pentru diferite frecvențe.

- |    |                  |    |                   |
|----|------------------|----|-------------------|
| a) | $f=5\text{ Hz}$  | e) | $f=75\text{ Hz}$  |
| b) | $f=15\text{ Hz}$ | f) | $f=100\text{ Hz}$ |
| c) | $f=25\text{ Hz}$ | g) | $f=150\text{ Hz}$ |
| d) | $f=50\text{ Hz}$ | h) | $f=200\text{ Hz}$ |

loare eficace egală cu valoarea curentului continuu, este aceeași. În aceste condiții influența conductivității în variația lui  $k_a$  intervine prin deformările provocate de variația ei în repartiția cîmpului, respectiv a densității de curent  $J(x,y)$ .

Tabelul 2.1.

Panoul	15 Hz	25 Hz	50 Hz	75 Hz	100 Hz	150 Hz	200 Hz
1	3,900	5,330	7,640	9,030	10,000	12,060	14,200
2	3,467	4,640	6,470	7,315	7,660	9,060	10,000
3	3,040	4,035	5,36	5,590	5,800	6,670	6,670
4	2,645	3,500	4,25	4,350	4,415	4,470	4,400
5	2,260	2,967	3,43	3,265	3,170	3,070	2,870
6	2,000	2,487	2,715	2,457	2,300	2,067	1,570
7	1,715	2,050	2,110	1,863	1,763	1,435	1,200
8	1,450	1,680	1,644	1,380	1,268	0,965	0,777
9	1,238	1,357	1,285	1,070	0,866	0,667	0,473
10	1,107	1,143	1,000	0,759	0,600	0,433	0,267
11	0,986	0,892	0,786	0,517	0,400	0,267	0,153
12	0,857	0,750	0,607	0,418	0,300	0,166	0,067
13	0,786	0,607	0,471	0,290	0,233	0,133	0,020
14	0,700	0,536	0,393	0,221	0,166	0,067	0,005
15	0,643	0,486	0,357	0,172	0,133	0,033	0,000
16	0,615	0,464	0,286	0,138	0,066	0,013	0,000
17	0,600	0,428	0,250	0,114	0,040	0,005	0,000
18	0,600	0,428	0,214	0,089	0,016	0,000	0,000
19	0,600	0,428	0,214	0,076	0,000	0,000	0,000
20	0,600	0,428	0,214	0,076	0,000	0,000	0,000
21	0,600	0,428	0,214	0,076	0,000	0,000	0,000

Conductivitatea electrică,  $\sigma$ , depinde de temperatură prin relația

$$\sigma = \frac{\sigma_0}{1 + \alpha_0 \theta} \quad (2.9)$$

ca urmare, adîncimea echivalentă de pătrundere a cîmpului, va avea expresia :

$$\delta = \sqrt{\frac{2(1 + \alpha_0 \theta)}{\mu \sigma_0 \omega}} \quad (2.10)$$

și deci, chiar cînd valorile lui  $\delta$  din expresiile lui  $P_a$  și  $P_0$  sînt egale, factorul  $k_a$  ia valori diferite pentru temperaturi



diferite : așa se explică diferențele dintre diagramele din figura 2.2 (1,2,3,4) și de asemenea între diagramele din figura 2.3 a,b, c,d.

b: Inductivitatea internă ,  $L_1$  , a conductorului se definește energetic

$$L_1 = \frac{2W_{m1}}{I^2} \quad (2.11)$$

$W_{m1}$  fiind energia magnetică înmagazinată în volumul conductorului.

Ea s-a determinat prin raportul  $L_{iar} = L_{ia}/L_{io}$ , respectiv cu expresia (3.36-B).

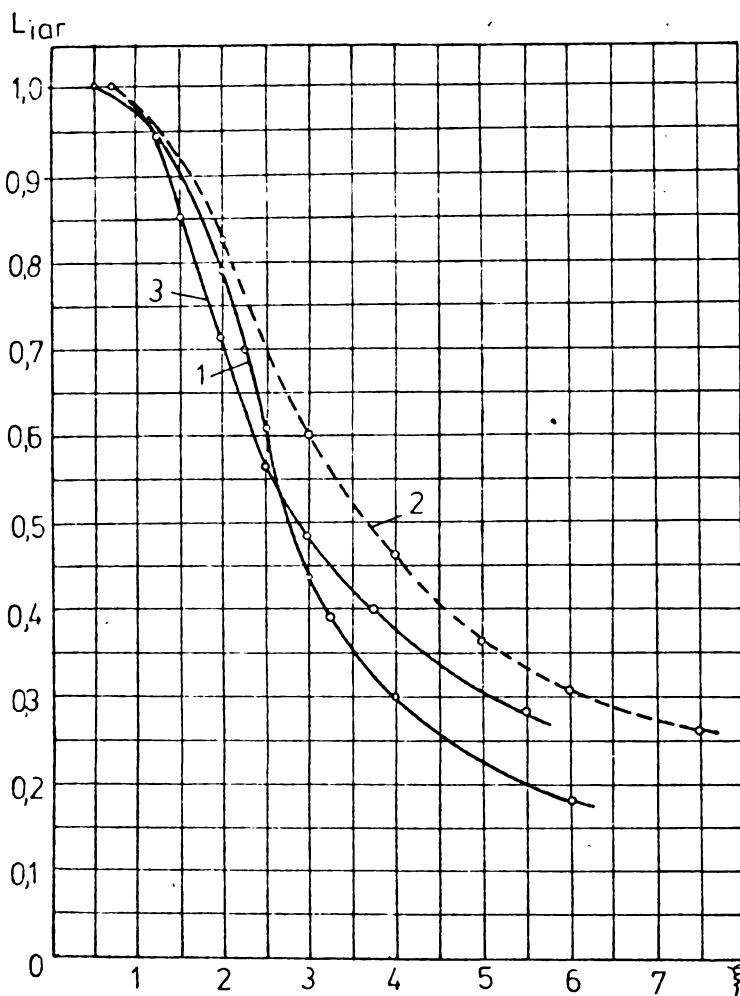


Fig.2.4 a. Inductivitatea internă raportată în funcție de  $\xi$  (la  $\theta = 75^\circ\text{C}$ ):  
 1 - curba obținută din model;  
 2 - curba din [87];  
 3 - curba calculată cu expresia (2.4).

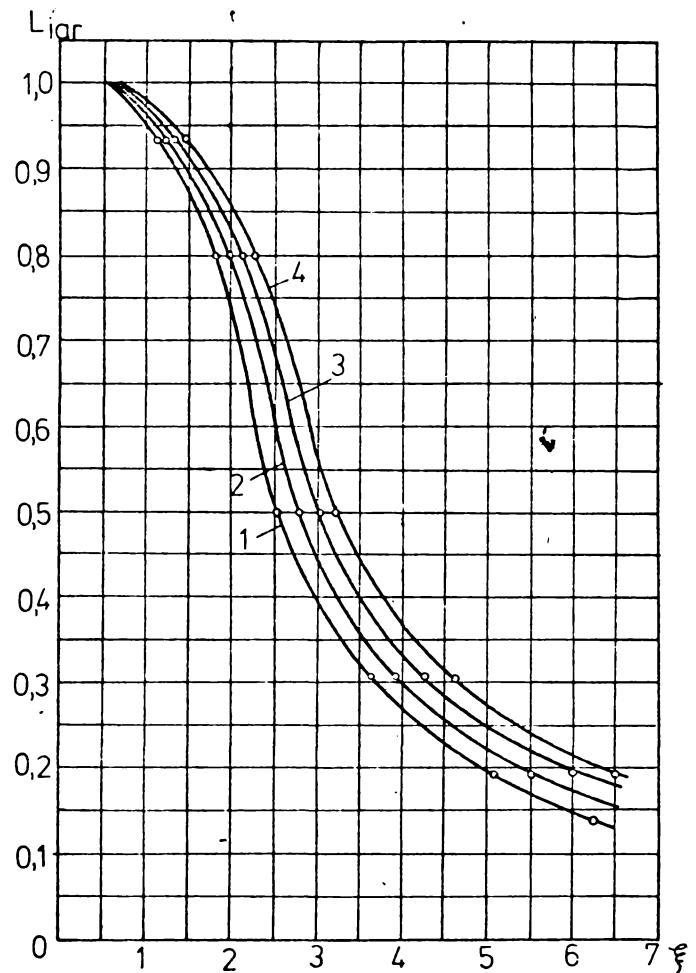


Fig.2.4 b. Valorile lui  $L_{iar}$  pentru  $\theta = 20^\circ\text{C}$  (curba 1),  $\theta = 75^\circ\text{C}$  (curba 2),  $\theta = 125^\circ\text{C}$  (curba 3),  $\theta = 175^\circ\text{C}$  (curba 4).

În fig.2.4. a este prezentată inductivitatea internă raportată în funcție de  $\xi$ , pe model, la  $\theta = 75^\circ\text{C}$ , din literatură [87] și calculată, iar în figura 2.4.b sînt date curbele experi-

mentale în funcție de  $\xi$  pentru diferite temperaturi medii ale conductorului.

c. Forța rezultantă care acționează asupra conductorului s-a determinat ținând seama de expresiile (3.37-B)-(3.39-B) și s-a calculat numeric cu metoda lui Simpson.

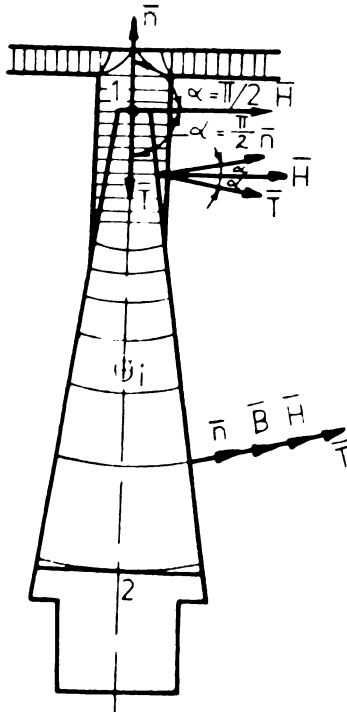


Fig.2.6. Explicativă la repartiția tensiunii maxwelliene pe conturul secțiunii transversale a conductorului.

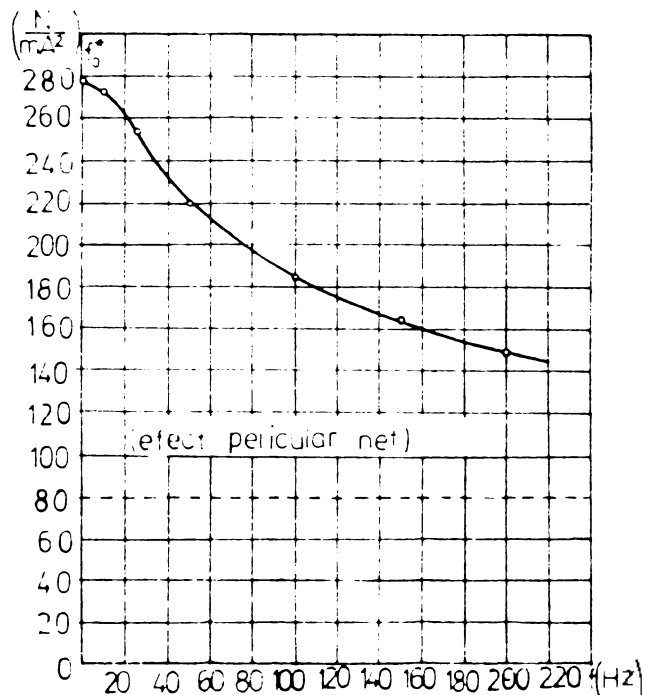


Fig.2.7. Variația lui  $f_0^*$  în funcție de frecvență, pentru un conductor de cupru cu  $b_1=3,4$  mm,  $b_3=14$  mm,  $h_5=40$  mm, la temperatura  $\theta = 20^\circ\text{C}$ .

În figura 2.7, s-a prezentat variația în funcție de frecvență a forței lineice specifice

$$f_0^* = \frac{F}{b_0 I^2} \quad (2.13)$$

După cum rezultă și din explicativa din figura 2,6, forța  $F$  împinge (fixează) conductorul în creștătură.

### 2.5. Aparate utilizate. Precizia măsurării

Pentru măsurările pe integrator s-au utilizat un miliampermetru UNIGOR-3 și un voltmetru electronic.

Modelul s-a alimentat cu un curent obținut de la un generator de audio-frecvență.

În urma unei analize atente a erorii de determinare a mărimilor  $k_a$ ,  $L_{iar}$ ,  $f_0^*$ , ea s-a evaluat la o valoare de câteva procente, eroarea de trunchiere fiind practic neglijabilă, pentru

pasul de discretizare ales. Condensatorii și rezistorii au fost sortați cu o punte cu precizia de 1%.

Aceste câteva procente-eroare au făcut imposibilă cunoașterea pe această cale a factorului  $k_a$  pentru efectul pelicular slab.

### 2.6. Observații

Rezultatele obținute, în ceea ce privește factorul  $k_a$ , concordă suficient de bine cu acele date în literatură [87] și sînt mai mici, așa cum de altfel era de așteptat, față de cele corespunzătoare conductorului de secțiune transversală sector-coroană circulară. În ceea ce privește inductivitatea internă raportată, ea este mai mică decît cea dată în literatură, mai ales pentru frecvențe mari.

Făcînd raportul între pierderile Joule în curent alternativ și cele în curent continuu în expresia lui  $k_a$ , nu mai apare explicit, influența ei intervenind prin deformările provocate de variația ei, în repartiția cîmpului magnetic  $\delta = \sqrt{\frac{2}{\mu \sigma \omega}}$ , respectiv a densității de curent  $J(x,y)$ .

În ceea ce privește influența temperaturii asupra forței acționează asupra conductorului se poate spune că ea este inversă influenței frecvenței.

Pentru cazul limită al conductorului de secțiune transversală trapezoidală, conductorul de secțiune dreptunghiulară, atît influența temperaturii cît și a frecvenței este nulă pentru forță, menținîndu-se pentru factorul  $k_a$  și inductanța  $L_{ia}$ .

Determinările s-au efectuat pentru  $\delta_B = 1$  mm și  $\delta_B = 2$  mm rezultatele nediferînd într-o situație față de cealaltă decît foarte puțin (datorită erorilor întîmplătoare de măsurare).

### III. CIMPUL ELECTROMAGNETIC ÎN CONDUCTORUL PARALELIPEDIC FOARTE LUNG, PARCURS DE UN CURENT SINUSOIDAL, PLASAT ÎNTR-O CRESTATURA EFECTUATĂ ÎN MATERIAL FEROMAGNETIC

Studiul cîmpului sistemului considerat, are ca scop obținerea unor informații asupra erorii de trunchiere, a erorii globale introdusă de modelarea pe rețele pasive RC și a formulelor optime de calcul a factorului în alternativ al rezistenței ( $k_a$ ) și a inductivității interne raportate ( $L_{iar}$ ) în cadrul analizei numerice a cîmpului electromagnetic (prin modelare și calcul cîfric).

Rezultatele determinate prin modelare și cu calculatorul cifric se compară cu cele obținute prin calcul analitic exact. Sistemul electromagnetic considerat se prezintă în fig. 3.1.a, iar în secțiune transversală în fig.3.1.b.

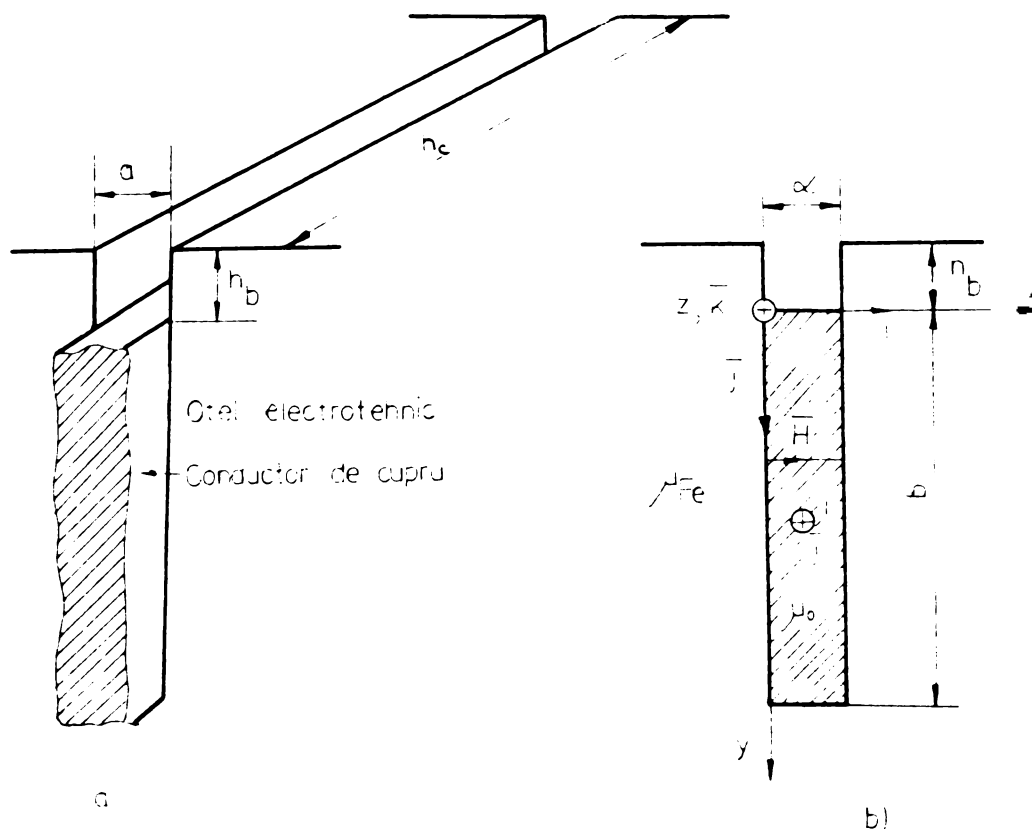


Fig.3.1.

Ipotezele admise sînt aceleași pentru fiecare mod de tratare a cîmpului :

$$\mu_{Fe} \gg \mu_0; h_c \gg b \gg a; h_b > a; \sigma_{zFe} = 0 \quad (3.1)$$

Ultima ipoteză derivă din dispunerea miezului feromagnetic sub forma de tole izolate între ele electric.

### 3.1. Soluția exactă a problemei

Ca urmare a ipotezelor acceptate cîmpul magnetic va fi plan-paralel și unidirecțional ( $\parallel$  cu axa x) și pentru determinarea lui e necesară aflarea soluției unuia din ecuațiile :

$$\frac{\partial^2 A}{\partial y^2} = \mu \sigma \left( \frac{\partial A}{\partial t} + K \right) \quad (3.2)$$

$$\frac{\partial^2 H}{\partial y^2} = \mu \sigma \frac{\partial H}{\partial t} \quad (3.3)$$

satisfăcute de componenta spațială a vectorului potențial magnetic  $A$ , (3.2), respectiv de unica componentă a intensității cîmpului magnetic  $H$  ( $\vec{H} = H\vec{i}$ ), (2.3).

Indiferent care din cele două ecuații se utilizează, rezultatele sînt aceleași, diferența în rezolvare constînd practic doar în tipul de condiții de frontieră utilizate. Se observă că condiția de frontieră dată este de tip Dirichlet pentru ecuația (3.3) și de tip Neumann pentru ecuația (3.2.), întrucît din aplicarea teoremei lui Ampère pe perimetrul secțiunii conductorului rezultă valoarea  $H(o, t)$  a intensității cîmpului magnetic :

$$H(o, t) = \frac{i(t)}{a} , \quad (3.4)$$

$i(t)$  - curentul din conductor.

Valorile lui  $k_a$  și  $L_{iar}$  obținute prin rezolvarea ecuației (3) (v. Anexa 3) sînt :

$$k_a = \alpha b \frac{\operatorname{sh} 2\alpha b + \sin 2\alpha b}{\operatorname{ch} 2\alpha b - \cos 2\alpha b} ; \quad (3.5)$$

$$L_{iar} = \frac{3}{2\alpha b} \frac{\operatorname{sh} 2\alpha b - \sin 2\alpha b}{\operatorname{ch} 2\alpha b - \cos 2\alpha b} ; \quad (3.6)$$

în care

$$\alpha = \sqrt{\frac{\mu \sigma \omega}{2}} = \frac{1}{\delta} \quad (3.7)$$

$\delta$  - fiind adîncimea echivalentă de pătrunderea cîmpului în semispațiul conductor ;

$\omega$  - pulsația electrică a curentului  $i(t) = I\sqrt{2} \sin \omega t$ .

Valorile deduse cu expresiile (3.5) și (3.6) sînt prezentate în coloanele 2 ale tabelelor 3.1 și 3.3, în funcție de frecvență, pentru  $b = 10$  a = 40 mm,

$$\mu_{cu} = \mu_0 = 1,256 \cdot 10^{-6} \text{ H/m}, \quad \sigma = 5,6 \cdot 10^7 \text{ S/m}, \quad \omega = 2\pi \cdot f .$$

### 3.2. Modelarea pe o rețea RC

Datorită ortogonalității suprafețelor de separație ale diferitelor medii care intră în structura sistemului, rețeaua de discretizare a planului cîmpului se alege ortogonală și cu pas constant  $h$  (fig. 3.2 b) sau cu varierea pasului de discretizare doar la bazele conductorului (fig. 3.2 a) în scopul unei mai bune aproximări a cîmpului la efect pelicular accentuat.

Neluînd în seamă variația densității de curent pe un element de suprafață  $\Delta S_k = k h^2$ , ( $\eta_1 = \frac{1}{2}$  la baza superioară,  $\eta_{10} = \frac{3}{2}$  la baza inferioară și  $\eta_k = 1$  în restul secțiunii conductorului), ecuațiile diferențiale trunchiate care derivă din 3.2. sînt :

$$- A_1 + A_2 = \frac{1}{2} \mu \sigma \left( \frac{\partial A_1}{\partial t} + K \right) h^2 + \mu I$$

$$A_{k-1} - 2A_k + A_{k+1} = \mu \sigma \left( \frac{\partial A_k}{\partial t} + K \right) h^2 ; k = 2, \dots, 9 \quad (3.8)$$

$$A_9 - A_{10} = \frac{3}{2} \mu \sigma \left( \frac{\partial A_{10}}{\partial t} + K \right) h^2$$

Acesteor ecuații le corespunde modelul din fig.3.2.c. Pentru parametrii modelului s-au ales valorile :  $R = 1000 \Omega$ ,  $C = 4,6 \text{ nF}$  și la  $h = a = 4 \text{ mm}$ ,  $\mu_{\text{cu}} \approx \mu_0$ , din relația (3.13-B) rezultă  $k_t = 4,1 \cdot 10^{-3}$  respectiv frecvența mărimilor din model  $f_m = 244 \text{ f}$ .

Măsurile s-au efectuat cu schema din fig.3.12-B, în care s-a utilizat un voltmetru cifric EO 302 și un generator de joasă frecvență (EO 501).

Rezultatele măsurării și calculelor sînt prezentate în coloanele 3 și 4 ale tabelelor 3.1 și 3.3.

a. Pentru calcularea factorilor  $k_a$  și  $L_{\text{iar}}$  s-au utilizat expresiile puterilor date de (3.32-B) în funcțiile de mărimile măsurabile pe modelul RC, rezultă :

$$P_a = -k_p Q_m = -k_p I_m^2 X_{me} ; Q = k_p P_m = k_p I_m^2 R_{me} \quad (3.9)$$

în care  $R_{me}$  și  $X_{me}$  sînt componentele impedanței echivalente a modelului.

Din (3.9) cu (3.33-B) și (3.34-B) și expresiile puterii active în c.c. și a energiei magnetice în funcție puterea aparentă ( $Q = 2 W_m$ ) rezultă :

$$k_{a1m} = 10 \frac{X_{me}}{X_m} \text{ cu } X_m = -\frac{1}{C_m \omega_m} \quad (3.10)$$

$$\text{și } L_{\text{iar}1m} = 10 \frac{R_{me}}{R_m} \quad (3.11)$$

b. Aproximînd integralele de volum care dau puterile active și reactive (respectiv a energiei magnetice) prin sume de valori finite, considerînd valorile densităților de puteri și energii constante pe cîte un element de suprafață  $\eta_k h^2$  :

$$P_a = \frac{1}{\sigma} \int_V \underline{J} \cdot \underline{J}^* dv = \frac{h_0 h}{\sigma} \int_0^b J^2 dy \approx \frac{h_c h^2}{\sigma} \sum_{k=1} J_k^2 \quad (3.12)$$

$$(\eta_1 = \frac{1}{2}; \eta_k = 1, \text{ pentru } k = 2, \dots, 9; \eta_{10} = \frac{3}{2})$$

$$W_{ma} = \frac{1}{2\pi} \int_V \underline{B} \cdot \underline{B}^* dv = \frac{h_0 h}{2\mu} \int_0^b B^2 dy = \frac{h_0 h^2}{2\mu} \sum_{k=1}^{10} \eta_k B^2_k \quad (3.13)$$

dacă se ține seama de (3.21-B) și (3.20-B), rezultă :

$$k_{a2m} = 10 \left( \frac{1}{X_m I_m} \right)^2 \sum_{k=1}^{10} \eta_k U_{mk}^2 \quad (3.14)$$

$$L_{iar2m} = 0,15 + \frac{3}{40} \left( \frac{1}{X_m I_m} \right)^2 \left( \sum_{k=2}^9 U_{mk+1,k-1}^2 + U_{m10,9}^2 \right), \quad (3.15)$$

in care  $U_{mk}$  este tensiunea la bornele condensatorului „k” iar  $U_{mk+1,k-1}$  - tensiunea la capetele m,k+1 - m,k-1 ale conductoarelor „k+1” și „k-1” .

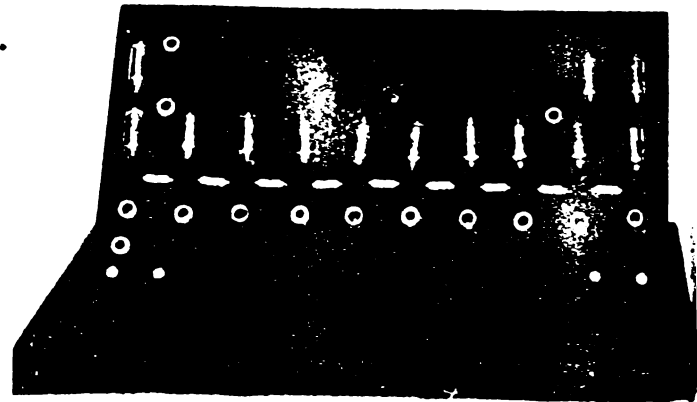
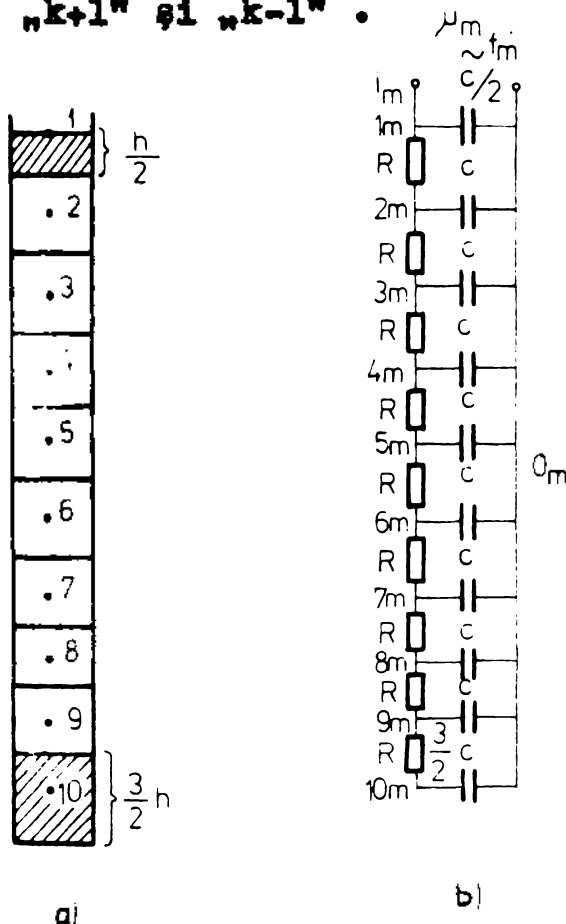


Fig.3.2. Discretizarea creștăturii (a) schema electrică a modelului (b), modelul realizat (c).

c. Folosind evaluări îmbunătățite ale puterii active și ale energiei magnetice din (3.12) și (3.13) cu formula  $\frac{1}{3}$  a lui Simpson se obține :

$$P_a = \frac{h_0 h^2}{3\sigma} \sum_{k=1}^{10} \zeta_k J_k^2, \text{ cu } \zeta_1 = 1, \zeta_k = 4 \text{ pentru } \quad (3.16)$$

$k = 2n$ ,  $\mathcal{S}_k = 2$  pentru  $k = 2n + 1$ ,  $n$  - numărul natural.

$$W_m = \frac{h_c \mu I^2}{6} + \frac{h_c h^2}{6} \sum_{k=2}^{10} \mathcal{S}_k B_k^2 \text{ cu (3.16) și (3.17) rezultă :} \quad (3.17)$$

$$k_{a3m} = \frac{10}{3} \left( \frac{1}{X_m I_m} \right)^2 \sum_{k=1}^{10} \mathcal{S}_k U_{mk}^2 \quad (3.18)$$

$$L_{iar3m} = \frac{1}{10} + \frac{1}{40(X_m I_m)} \sum_{k=2}^9 \mathcal{S}_k U_{m,k+1,k-1}^2 \quad (3.19)$$

Pentru măsurări s-a utilizat schema din fig.3.12-B în care s-a utilizat un voltmetru cifric și rezistența  $R$  a avut valoarea de  $1 \text{ k}\Omega$ .

Rezultatele obținute utilizând expresiile de calcul (3.10), (3.11), (3.14), (3.15), (3.18) și (3.19), s-au prezentat în tabelele 3.1 și 3.3, coloanele 3,4 și 5.

### 3.3. Rezultatele obținute cu calculatorul cifric

Problemei i se poate asocia reprezentarea în complex a ecuațiilor (3.8). Dacă se ia ca mărime de referință în planul complex fazorul  $\underline{I}$ , corespunzător curentului  $i(t)$ , ecuațiilor (3.8) le corespund ecuațiile complexe :

$$-\underline{A}_1 + \underline{A}_2 = \frac{1}{2} \mu \sigma h^2 (j\omega \underline{A}_1 - \frac{\underline{I}}{\sigma ab}) + \mu I$$

$$\underline{A}_{k-1} - 2\underline{A}_k + \underline{A}_{k+1} = \mu \sigma h^2 (j\omega \underline{A}_k - \frac{\underline{I}}{\sigma ab}); \quad k=2, \dots, 9 \quad (3.20)$$

$$\underline{A}_9 - \underline{A}_{10} = \frac{3}{2} \mu \sigma h^2 (j\omega \underline{A}_{10} - \frac{\underline{I}}{\sigma ab}),$$

în care s-a ținut seama că  $I = -\sigma abk$ .

Se notează :

$$x_k = R_e \{ \underline{A}_k \}; \quad x_{k+10} = I_m \{ \underline{A}_k \}, \quad k=1, \dots, 10 \quad (3.21)$$

și din cele 10 ecuații complexe (3.20) rezultă 20 ecuații algebrice reale cu 20 de necunoscute ( $x_L$ ,  $L = 1, \dots, 20$ )

$$-x_1 + x_2 + \frac{1}{2} \mu \sigma \omega h^2 x_{11} = \frac{19}{20} \mu I ;$$

$$-\frac{1}{2} \mu \sigma \omega h^2 x_1 - x_{11} + x_{12} = 0$$

$$x_{k-1} - 2x_k + x_{k+1} + \mu \sigma \omega h^2 x_{k+10} = -\frac{I\mu}{10} \quad k=2, \dots, 9 \quad (3.22)$$

$$-\mu \sigma \omega h^2 x_k + x_{k+9} - 2x_{k+10} + x_{k+11} = 0$$



$$x_9 - x_{10} + \frac{3}{2} \mu \sigma \omega h^2 x_{20} = -\frac{\mu I}{10};$$

$$-\frac{3}{2} \mu \sigma \omega h^2 x_{10} + x_{19} - x_{20} = 0$$

Norma sumă a matricii sistemului (3.22) este mai mare decât unitatea și deci sistemul nu se pretează la o rezolvare iterativă. S-a utilizat metoda lui Gauss.

Rezolvarea s-a efectuat pentru 10 frecvențe cuprinse în domeniul (0,50] cu un pas de 5 Hz, la  $I = 400$  A, după algoritmul care rezultă din schema logică prezentată în fig.3.3.

Marea majoritate a termenilor matricii A a sistemului (3.13) sînt nuli așa încît se introduc în calculator în zona afectată acesteia, valorile "0".

Coefficienții independenți de frecvență sînt, unii egali cu 1, sau -1 și alții cu -2 și se introduc cu ajutorul instrucțiunii de ciclare D Ø.

Termenii dependenți de frecvență se calculează după inițializarea frecvenței  $f$  ( $f = 50$  Hz) tot cu ajutorul unei instrucțiuni D Ø.

După introducerea termenilor liberi și după o prealabilă tipărire a celor două matrice se cheamă din biblioteca calculatorului (MATHLIB) subprogramul de rezolvare a sistemului de ecuații denumit RESØL, are la bază algoritmul lui Gauss.

Din soluția X se calculează valorile factorilor  $k_a$  și  $L_{iar}$  la fel ca și la modelare :

a. Utilizînd expresiile de definiere energetică, separînd puterile, activă și reactivă, din fluxul vectorului Poyting :

$$\begin{aligned} \underline{S} = P_a + jQ &= \int_{\Sigma} (\underline{H}^* \times \underline{E}) d\bar{s} = -h_c I (j\omega \underline{A}_1 + K) = \\ &= P_c \left(1 + \frac{\sigma_{ab} \omega}{I} x_{11}\right) - j\omega h_c I x_1 \end{aligned} \quad (3.23)$$

din care rezultă :

$$k_{alc} = 1 + \frac{10\alpha'}{I} x_{11} ; \quad \text{cu } \alpha' = \mu \sigma \omega h^2 \quad (3.24)$$

$$L_{iarlc} = \frac{3}{10 \mu I} x_1 \quad (3.25)$$

b. Inlocuind în (3.12) și (3.13) pe  $J_k$  respectiv,  $B_k$  cu expresiile

siile :  $J_k = \sigma E_k = \sigma \sqrt{(K - \omega x_{k+10})^2 + (\omega x_k)^2}$  (3.26)

$B_k = \mu H_k = \frac{1}{2h} \sqrt{(x_{k+1} - x_{k-1})^2 + (x_{k+11} - x_{k+9})^2}$  (3.27)

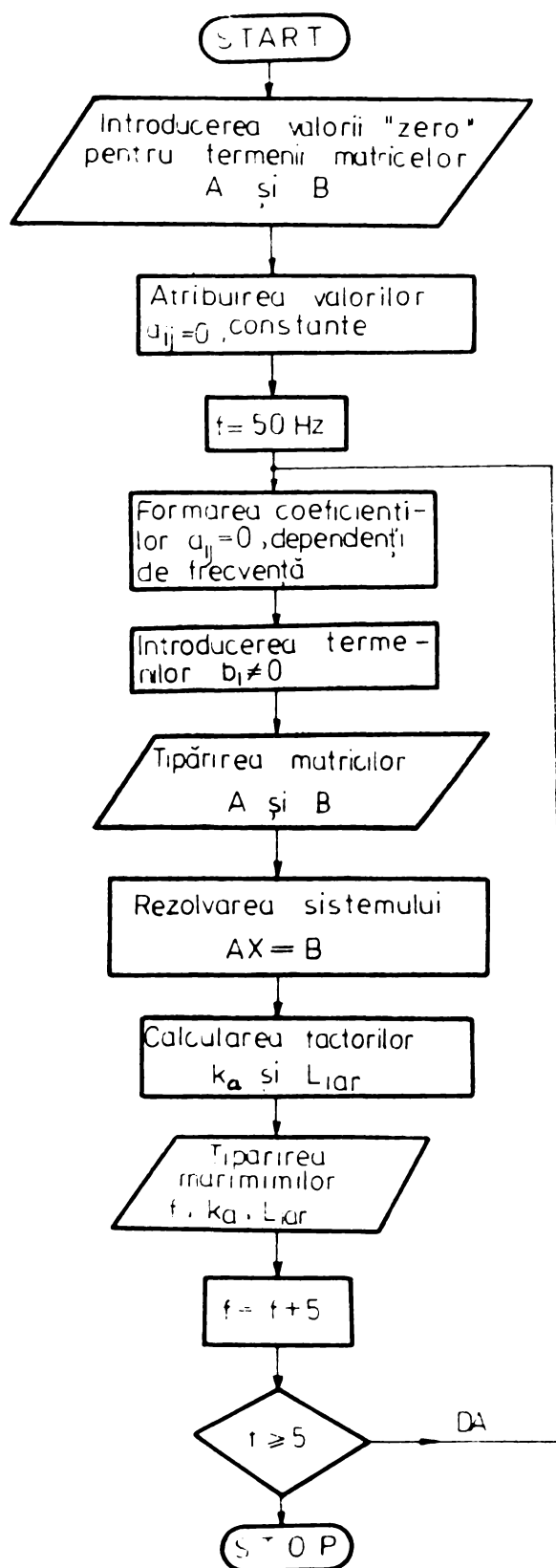


Fig.3.3. Schema logică de rezolvare a sistemului:  $AX = B$ .

se deduc :

$$k_{a2c} = \frac{1}{10} \sum_{k=1}^{10} \eta_k \left(1 + \frac{10\alpha'}{\mu I} x_{k+10}\right)^2 + \left(\frac{10\alpha'}{\mu I} x_k\right)^2 \quad (3.28)$$

$$L_{iar2c} = \frac{3}{20} + \frac{3}{40} \left(\frac{1}{\mu I}\right)^2 \left( \sum_{k=2}^9 [(x_{k+1} - x_{k-1})^2 + (x_{k+11} - x_{k+9})^2] + \frac{3}{2} (x_9^2 + x_{19}^2) \right) \quad (3.29)$$

o. Înlocuind în (3.16) și (3.17) expresiile (3.27) respectiv (3.28), rezultă :

$$k_{a3c} = \frac{1}{30} \sum_{k=1}^{10} \xi_k \left[ \left(1 + \frac{10\alpha'}{\mu I} x_{k+10}\right)^2 + \left(\frac{10\alpha'}{\mu I} x_k\right)^2 \right] \quad (3.30)$$

$$L_{iar3c} = \frac{1}{10} + \frac{1}{40(\mu I)^2} \sum_{k=2}^9 [(x_{k+1} - x_{k-1})^2 + (x_{k+11} - x_{k+9})^2] \quad (3.31)$$

Calcululele se repetă pentru cele 10 frecvențe.

Programul scris în FORTRAN este prezentat în Anexa 4 sub numele de MASIV 1.

Programul a utilizat câteva instrucțiuni care au determinat calcularea expresiilor (3.5) și (3.6).

Din confruntarea rezultatelor obținute pe model și cu calculatorul cu valori exacte s-au obținut abaterile relative procentuale. Erorile de determinare aferente fiecărei expresii de calcul a rapoartelor  $k_a$  și  $L_{iar}$  sînt trecute în coloanele tabelor 3.2 și 3.4, notate corespunzător.

#### 3.4. Observații

Așa cum este de așteptat, erorile de determinare pe model sînt mai mari decît cele pe care le include calculul numeric. Pe cînd erorile incluse de a doua metodă urmăresc o lege clară de variație cu frecvența, determinată de gradul de aproximare făcută la trunchiere și la evaluarea mărimilor calculate, primele nu respectă această calitate datorită intervenției erorilor nesistematice determinate de impreciziile elementelor care intră în schema de măsurare : voltmetrul cifric utilizat a asigura o precizie de 1%, elementele pasive  $R_m$  și  $C_m$  au fost sortate cu o precizie de 0,2%, rezistența R s-a cunoscut cu o precizie de 0,02%, iar generatorul RO utilizat pentru alimentarea modelului, o precizie în frecvență

Tabel 3.1 : Dependența factorului în alternativ a rezistenței de frecvență

1	2	3	4	5	6	7	8
f(Hz)	$k_e$	$k_{a1m}$	$k_{a2m}$	$k_{a3m}$	$k_{a1c}$	$k_{a2c}$	$k_{a3c}$
0	1	-	-	-	-	-	-
5	1,2482	1,2214	1,2517	1,2186	1,2536	1,2536	1,2179
10	1,760	1,7610	1,7346	1,7502	1,7773	1,7772	1,7342
15	2,2516	2,2514	2,2333	2,2309	2,2849	2,2817	2,2264
20	2,6516	2,6586	2,5626	2,5456	2,6973	2,6975	2,6254
25	2,9818	2,9501	2,8658	2,8303	3,0453	3,0449	2,9520
30	3,2676	3,4768	3,1430	3,1335	3,3503	3,3449	3,2320
35	3,5256	3,7783	3,3656	3,3314	3,6291	3,6286	3,4845
40	3,7648	4,0049	3,6035	3,5419	3,8904	3,8899	3,7163
45	3,9901	4,2180	3,7602	3,7721	4,1388	4,1382	3,9333
50	4,2040	4,5078	4,0022	3,9811	4,3788	4,3763	4,1382

Tabelul 3.2. : Repartiția erorilor de determinare a factorului  
 în alternativ al rezistenței la diferite frecvențe

1	2	3	4	5	6	7	8
f (Hz)	$\epsilon_{k_{a0}}$	$\epsilon_{k_{a1m}}$	$\epsilon_{k_{a2m}}$	$\epsilon_{k_{a3m}}$	$\epsilon_{k_{a10}}$	$\epsilon_{k_{a20}}$	$\epsilon_{k_{a30}}$
1	0	-	-	-	-	-	-
5	0	-2,4	0,3	-2,5	0,4	0,4	-2,4
10	0	0	-1,1	-1,2	1,0	1,0	-1,4
15	0	0	-0,8	-0,9	1,5	1,5	-1,0
20	0	-3,1	-3,3	-3,3	1,7	1,7	-1,0
25	0	-1,0	-3,9	-5,0	2,1	2,1	-1,0
30	0	6,4	-3,8	-3,9	2,5	2,5	-1,0
35	0	7,1	-4,5	-4,1	3,0	3,0	-0,7
40	0	6,3	-4,2	-5,9	3,3	3,3	-1,0
45	0	5,4	-5,7	-5,4	3,7	3,7	-1,4
50	0	7,2	-4,8	-5,3	4,1	4,1	-1,5

Tabelul 3.3 : Dependența de frecvență a inductivității  
interne raportate

1	2	3	4	5	6	7	8
f(Hz)	$L_{iar0}$	$L_{iar1m}$	$L_{iar2m}$	$L_{iar3m}$	$L_{iar1c}$	$L_{iar2c}$	$L_{iar3c}$
1	1	-	-	-	-	-	-
5	0,9296	0,9254	0,9027	0,9193	0,9249	0,9422	0,9328
10	0,7887	0,7674	0,7381	0,7538	0,7878	0,8074	0,7896
15	0,6629	0,6329	0,6264	0,6246	0,6539	0,6762	0,6621
20	0,5720	0,5524	0,5350	0,5280	0,5613	0,5880	0,5701
25	0,5081	0,4805	0,4787	0,4704	0,4964	0,5228	0,5055
30	0,4617	0,4217	0,4391	0,4300	0,4489	0,4772	0,4587
35	0,4266	0,3840	0,4076	0,3972	0,4127	0,4427	0,4232
40	0,3987	0,3541	0,3818	0,3710	0,3838	0,4156	0,3950
45	0,3756	0,3274	0,3635	0,3511	0,3600	0,3934	0,3720
50	0,3566	0,3194	0,3466	0,3325	0,3398	0,3748	0,3526

Tabelul 3.4 : Repartiția erorilor de determinare a inducivității interne raportate, în funcție de frecvență

1	2	3	4	5	6	7	8
f (Hz)	$\xi_{L0}$	$\xi_{L1m}$	$\xi_{L2m}$	$\xi_{L3m}$	$\xi_{L1c}$	$\xi_{L2c}$	$\xi_{L3c}$
0	0	-	-	-	-	-	-
5	0	-0,5	-2,9	-1,1	-0,5	-1,3	0,3
10	0	-2,7	-6,4	-4,4	-0,1	2,3	0,1
15	0	-4,5	-5,5	-5,5	-1,3	2,0	-0,1
20	0	-3,4	-7,7	-7,7	-1,8	2,7	-0,3
25	0	-5,4	-6,4	-7,4	-2,3	2,9	-0,5
30	0	-8,6	-4,9	-7,0	-2,7	3,3	-0,6
35	0	-9,9	-4,4	-6,8	-3,2	3,7	-0,8
40	0	-11,1	-4,2	-6,8	-3,7	4,2	-0,9
45	0	-12,8	-3,2	-6,5	-4,1	4,7	-0,9
50	0	-10,4	-2,8	-2,8	-4,7	5,1	-1,1

de 5%. Semnalul generatorului a avut o bună sinusoidalitate.

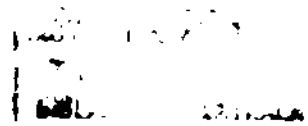
Se remarcă faptul că erorile de măsurare pe model care apar la determinarea lui  $k_a$  și  $L_{iar}$  din mărimile electromagnetice la suprafața conductorului, respectiv din fluxul vectorului Poyting, (relațiile 3.10 și 3.11), sînt mai mari decît la utilizarea expresiilor puterilor sub forma unor integrale de volum. Rezultatele reflectă o "acumulare" mai accentuată a erorilor la "frontiera" modelului decît în "interiorul" său (v.comparativ coloanele 3 și 4 din tabelele 3.2 și 3.4.).

Pentru elementele din schema de măsurare de precizii obișnuite, utilizarea unor formule de evaluare numerică îmbunătățite (3.18 și 3.19) nu dau rezultate mai precise decît cele care au la bază a evaluării simple (3.14 și 3.15). Această observație rezultă din compararea coloanelor 4 și 5 din tabelele 3.2 și 3.4.

Se poate constata de asemenea că pentru schema aleasă de alimentare și măsurare a modelului, rezultatele pe model diferă cu 3% pentru  $k_a$  și cu 5% pentru  $L_{iar}$ , față de cele corespunzătoare de la calculul cifric. La alegerea sursei, elementelor pasive și a aparatelor de măsurare de precizii ridicate rezultatele vor fi practic cele date de calculul cifric și în această situație se indică utilizarea formulelor de evaluare îmbunătățită (formulele  $\frac{1}{3}$  ale lui Simpson).

Abaterile rezultatelor obținute prin calcul numeric, față de valorile exacte obținute prin calcul analitic arată clar că discretizarea domeniului sistemului electromagnetic trebuie făcută cu un pas  $h$ , mai mic decît jumătate din adîncimea  $\delta$ , de pătrundere a cîmpului în conductor.

È interesant de observat că majoritatea erorilor incluse de modelare sînt negative atît pentru  $k_a$  cît și pentru  $L_{iar}$  așa încît nu se poate afirma că generatorul ar fi avut o deplasare de scală care ar provoca abateri în  $k_a$  și  $L_{iar}$  de semne opuse). Cauza căutată inițial în precizia de cunoaștere a tensiunii generatorului, a fost aflată în precizia de măsurare a voltmetrului numeric, cu mult mai slabă decît o asigură cartea aparatului, mai ales la limitele inferioare ale domeniului de măsurare. Este indicat ca pentru a nu fi nevoie de o schimbare a domeniului de măsurare a voltmetrului la măsurarea tensiunilor  $U_{mk+1, k-1}$  și  $U_{mk}$ , să se modifice  $R$ , respectiv curentul  $I_m$ , corespunzător





pentru fiecare frecvență a semnalului de alimentare.

## C O N C L U Z I I

$\alpha$ . În legătură cu problemele abordate în lucrare se pot face următoarele observații finale :

1. Utilizarea modelării în studiul câmpului electromagnetic din sisteme cu conductoare masive se impune din cel puțin două motive :

- este o metodă care poate furniza soluții cu precizii acceptabile din punct de vedere tehnic, pentru sisteme cu structuri geometrice și fizice și condiții de unicitate, dintre cele mai complicate;
- este un mijloc care permite analiza simplă a câmpului din sistemele cu conductoare cilindrice de secțiuni arbitrare, cu domenii extinse la infinit.

2. Sub aspectul posibilităților constructive și al controlabilității preciziei de determinare a câmpului, modelele care au la bază rețelele analizoare pasive (de tip R și RC), sînt mai convenabile decît celelalte tipuri de modele.

3. Dacă studiul pe model RC a efectului pelicular slab și net trebuie abordat cu circumspecție (datorită erorilor de măsurare și, respectiv, erorilor de trunchiere), pentru analiza efectului pelicular mediu acest model reprezintă un mijloc de tratare sigur și de multe ori de neînlocuit.

4. Din rezultatele obținute pe modele RC s-a constatat că în analiza efectului pelicular mediu utilizarea unui pas de discretizare mai mic sau egal cu jumătate din adîncimea echivalentă de pătrundere a câmpului, conduce la rezultate acceptabile. Ca urmare numărul condensatoarelor necesare construirii unui model, chiar pentru conductoare-original parcurse de curenți de ordinul kiloamperilor, este suficient de mic încît influența rezistențelor lor de pierderi să nu devină supărătoare. Dacă în unele probleme numărul acestora este totuși prea mare, dificultatea poate fi depășită alegînd rezistori ( $R_m$ ) cu valori ale rezistențelor suficient de mici în comparație cu rezistențele parazite ale condensatoarelor.

Compensarea influenței capacităților parazite din instalația de măsurare se efectuează prin alegerea adecvată a valorii  $C_m$  și utilizînd schema de pămîntare Wagner. Cu valori pentru  $R_m$  de ordinul kilohmilor și pentru  $C_m$  de ordinul nanofarazilor, problema

eliminării celor două influențe parazite este practic rezolvată.

5. O modelare comodă implică utilizarea unor valori constante ale rezistențelor și capacităților elementelor pasive și ca urmare, discretizarea cu pas constant a subdomeniilor omogene. Ecuațiile care stau la baza acestor modele sînt ecuațiile în diferențe finite sau cele date de metoda lui Gaïr. Ultimele se folosesc pentru obținerea unor expresii de calcul îmbunătățite și pentru cuprinderea în rețeaua de discretizare a întregului domeniu chiar și atunci cînd frontierele sînt curbate. Utilizarea ecuațiilor date de metoda elementelor finite este dificilă [88].

6. Modelarea discretă a cîmpurilor determinate de condiții de unicitate nesinusoidale, e discutabilă. Dacă aceste condiții sînt periodice și sistemul este liniar, în lipsa unor surse adecvate de alimentare a modelului, se analizează cîmpul pentru fiecare armonică sursă suprapunîndu-se apoi rezultatele. Trebuie avut în vedere faptul că pentru armonicile de ordin superior celei corespunzătoare efectului pelicular mediu, erorile de trunchiere și influența capacităților parazite, cresc sensibil. Analiza regimurilor tranzitorii se efectuează de asemenea cu prudență.

O orientare aproximativă în aprecierea dacă o anumită formă în timp a fenomenului electromagnetic poate fi tratată prin modelare RC sau nu, o pot da constantele de timp ale originalului [89]. Aceste regimuri ar putea fi analizate corespunzător pe modele cu pături electroconductoare, dacă tehnologia de construcție a acestora ar fi pusă la punct.

7. Modelarea neliniarităților magnetice, în general, este dificilă și ca urmare problemele de cîmp magnetic în medii neliniare sînt greu abordabile cu această metodă. În rest, majoritatea problemelor de interes practic prezintă anizotropii care se pot idealiza sau domenii cu structuri neomogene pentru care permeabilitatea are expresii de punct simple ( $\mu_r(\vec{r}) = 1$  sau  $\gg 1$ ). Ultimele probleme sînt ușor rezolvabile prin modelare.

8. După cum se observă din § 2.4-C repartiția cîmpului magnetic este o funcție de temperatură. În sistemele de conductoare parcurse de curenți mari și răcite forțat, la suprafețele conductoarelor apar de obicei gradienti mari de temperatură și

dacă în plus deformările repartițiilor de curent în interiorul conductoarelor sînt accentuate, cîmpul electromagnetic nu poate fi analizat corect independent de cel termic. Analiza celor două cîmpuri simultane se poate face în principiu prin aproximații succesive : se determină  $J$  la  $\sigma$  admis, apoi  $\Theta$  cu  $J$  în sursa de căldură, se recalculază  $\sigma$ , se află valori noi pentru  $J$ , ș.a.m.d. .

9. Schemele de măsurare utilizate la modelare sînt extrem de simple și permit determinarea aproape directă cu precizii bune, a mărimilor globale (rezistențe, inductivități) din puterile absorbite de model. Determinările acestor mărimi se pot face folosind formule de aproximare numerică a expresiilor lor de definire energetică. Din măsurările efectuate s-a observat că formulele de calcul a puterilor active și reactive din fluxul vectorului Poyting dau valori mai imprecise pentru impedanțe decît cele care utilizează expresiile lor sub forma unor integrale de volum. La precizii foarte bune ale elementelor din schema de măsurare la utilizarea unor formule de calcul cu aproximații îmbunătățite a integralelor de volum, rezultă precizii de evaluare a mărimilor  $k_a$  și  $L_{ar}$  de 1%.

10. Pentru probleme cu domenii mici (pentru care se scriu 100 — 200 de ecuații algebrice între valorile potențialelor) analiza cîmpului cu calculatorul cifric este mai avantajoasă decît cea cu modelul, cel puțin sub aspectul preciziei (V.III-C).

$\beta$ . Principalele contribuții personale la analiza cîmpului electromagnetic în sisteme cu conductoare masive, sînt :

1. În § 2.2-A se particularizează metoda lui Gaïr de proiectare utilizîndu-se discretizarea în "celule" [18] pentru cîmpurile electrostatice (folosînd legea fluxului electric) și se generalizează pentru cîmpul electromagnetic în regim ovasi-staționar în sisteme cu medii neomogene (utilizînd teorema lui Ampère). Această metodă posedă cîteva însușiri care o impun : elasticitate maximă în discretizarea planului cîmpului, ușoară introducere în ecuațiile cu valori finite a condițiilor de frontieră de tip Neumann.

2. Tot în § 2.2-A se prezintă o aproximare îmbunătățită a ecuațiilor corespunzătoare metodei lui Gaïr luîndu-se

în considerare variația densității de curent pe elementele de arie componente ale "celulei" : în § 3.4-B se prezintă analogul corespunzător acestei îmbunătățiri (fig.3.13-B).

4. Paragraful 2.4 - A conține o analiză comparativă a celor trei metode de bază prezentate în II-A punându-se în evidență identitatea acestora în aceleași condiții de aproximare.

5. Se demonstrează o teoremă de echivalență a câmpurilor magnetice din două sisteme : unul real al problemei date și unul fictiv format în scopul limitării domeniului infinit al problemei de modelat și ușurării alimentării modelului (III-A).

6. Partea a doua a lucrării (B) poate fi considerată complet originală sub aspectul tratării unitare a diferitelor tipuri uzuale de modelare. Se utilizează pentru prima oară analiza criterială ca mijloc de obținere a relațiilor de analogie fapt care dă o solidă fundamentare teoretică a modelării câmpurilor, generalitate relațiilor obținute și o prezentare concentrată a modelării pentru diferite regimuri și medii de diferite structuri. De remarcat (de exemplu) modul simplu de obținere a modelelor corespunzătoare mediilor neomogene și anizotrope (§ 2.1.-B). Prin introducerea noțiunii de "analog ipotetic" diversele moduri de injecție a curenților în modelele rezistiv-capacitive continui se pot prezenta unitar.

7. În § 3.4-B se prezintă cea mai simplă schemă de măsurare a mărimilor globale pe model (schema cu un voltmetru dându-se relațiile de calcul a componentelor impedanței modelului din datele măsurătorilor. Schema conține o rezistență de măsurare a curentului prin tensiunea la bornele ei, precisă, reglabilă în scopul menținerii domeniului de măsurare a voltmetrului pentru orice frecvență.

8. Paragraful 3.5-B cuprinde o analiză completă a dependenței erorilor de trunchiere de pasul de discretizare și viteza de variație a câmpului electromagnetic unidimensional.

9. Prima problemă din partea de aplicații (I-C) are la bază ideea lui Sylvester [30] de a utiliza pentru câmpuri din domenii infinite analogul în dublu strat, observațiile simplificatoare, proiectare, construirea modelului, măsurările,

interpretarea rezultatelor, inclusiv formulele de calcul fiind originale.

10. Problema II-C este întrutotul originală.

11. Rezolvările problemei III-C sînt originale.

12. Determinarea formelor ecuațiilor satisfăcute de valorile vectorului potențial magnetic în puncte finite la limitele de separație a două medii diferite, au fost deduse în mai multe lucrări [19] , [31] ș.a., utilizîndu-se metoda diferențelor finite. În Anexa 1 se deduc cîteva din aceste forme utilizîndu-se discretizarea tip "celula", teorema lui Ampère și teoremele de conservare a componentelor tangențiale ale intensităților de cîmp magnetic și electric și a celor normale ale inducției magnetice : sînt prezentați și analogii electricei elementari pentru modelarea RC. Se scoate în evidență dependența formei unei ecuații de repartiția conductivității electrice.

13. În Anexa 2 se dă soluția analitică exactă pentru cîmpul magnetic al unui sistem apropiat ca formă de sistemul din problema II-C.

14. Programul de calcul din Anexa 4 a fost întocmit de autor și s-a rulat la un calculator FELIX-256K.

## A N E X E

### Anexa 1 : DISCRETIZAREA SI MODELAREA LA LIMITELE DE SEPARATIE A DOUA MEDII MAGNETICE DE PERMEABILITATI DIFERITE

1. Cazul omogenității magnetice și electrice :  $\mu(x,y) = \text{const.}$  și  $\sigma(x,y) = \text{const.}$

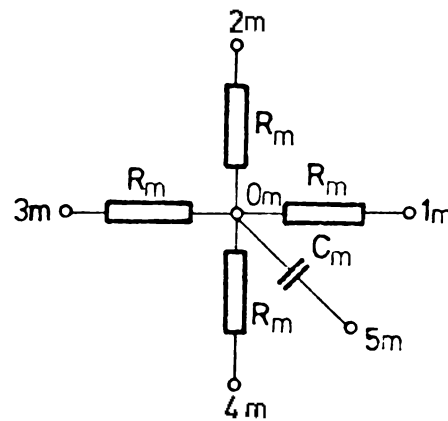
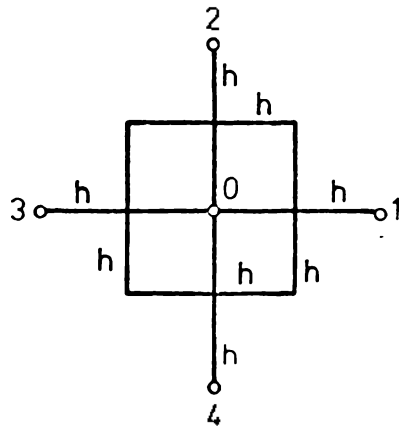


Fig.1.1 a - Alegoria elementelor de lungime la discretizarea cu pas egal.

Fig.1.1 b - Analogul electric al discretizării din figura 1.1.a.

Relațiile (3.1-B) și (3.3-B) corespunzătoare discretizării din figura 1.1.a și analogului electric din figura 1.1.b, iau forma :

$$\frac{A_1 - A_0}{\mu} + \frac{A_2 - A_0}{\mu} + \frac{A_3 - A_0}{\mu} + \frac{A_4 - A_0}{\mu} = \sigma_0 h^2 \left( \frac{\partial A_0}{\partial t} + K \right) \quad (1.1)$$

$$\frac{V_{m1} - V_{m0}}{R_m} + \frac{V_{m2} - V_{m0}}{R_m} + \frac{V_{m3} - V_{m0}}{R_m} + \frac{V_{m4} - V_{m0}}{R_m} = \frac{C_m}{k_t} \left( \frac{dV_{m0}}{dt} - \frac{dV_{m5}}{dt} \right) \quad (1.2)$$

Pentru aceste relații se pot face corespondențele :

$$\frac{R_m C_m}{k_t} = \mu \sigma h^2; \quad A_0 = k_A V_m; \quad K = - k_A \frac{dV_{m5}}{dt} \quad (1.3)$$

2. Situația când un element de suprafață,  $\Delta S_0 = h^2$ , se ia la limita de separație a două medii de permeabilități diferite și conductivități electrice diferite (fig.1.2.a).

Din ecuația (3.1-B) se obține :

$$\frac{A_1 - A_0}{\mu_I} + \frac{A_2 - A_0}{\mu_I} + \int_r^q \frac{1}{\mu} \frac{\partial A}{\partial n} dl + \frac{A_4 - A_0}{\mu_I} = \sigma_0 h^2 \left( \frac{\partial A_0}{\partial t} + K \right). \quad (1.4)$$

Conservarea componentei normale a inducției magnetice,

$$A_{q1} - A_{r1} = A_{q2} - A_{r2} \quad (1.5)$$

și a componentei longitudinale a câmpului electric, la limita de separație a mediului I de mediul II,

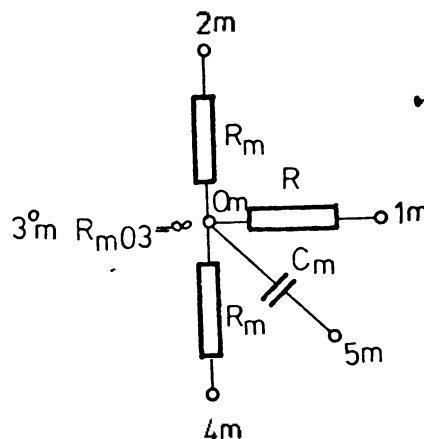
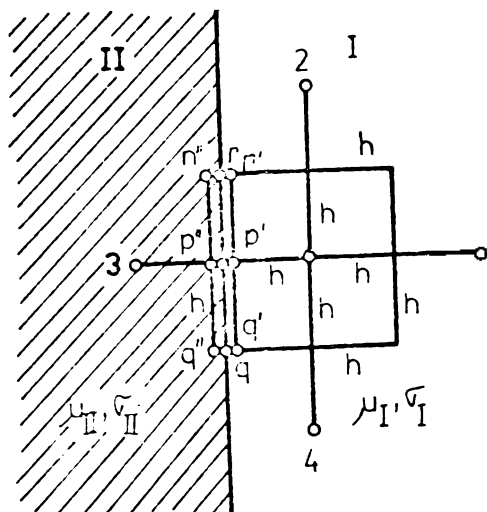


Fig.1.2 a - Elementul de suprafață  $\Delta S_0 = h^2$ , la limita de separație a două medii de permeabilități diferite.

Fig.1.2 b - Analogul electric al discretizării din figura 1.2.a.

$$\frac{\partial A_{p'}}{\partial t} + K_{p'} = \frac{\partial A_{p''}}{\partial t} + K_{p''} \quad (K_{p'} = K_{p''} = K) \quad (1.6)$$

determină :

$$A_{q'} = A_{q''} = A_q; \quad A_r = A_{r''} = A_r; \quad A_{p'} = A_{p''} = A_p \quad (1.7)$$

Împreună cu expresia conservării componentei tangențiale a intensității câmpului magnetic,

$$\frac{1}{\mu_I} \left( \frac{\partial A}{\partial n} \right)_I = \frac{1}{\mu_{II}} \left( \frac{\partial A}{\partial n} \right)_{II}, \quad (1.8)$$

expresia (1.8) determină :

$$\int_r^q \frac{1}{\mu} \frac{\partial A}{\partial n} dl = \int_{r'}^{q'} \frac{1}{\mu} \left( \frac{\partial A}{\partial n} \right)_I dl = \frac{1}{\mu_I} \frac{A_q - A_0}{\frac{h}{2}} h = \frac{1}{\mu_m} (A_3 - A_0), \quad (1.9)$$

cu  $\mu_m = \frac{\mu_I + \mu_{II}}{2}$ .

Ecuția (1.4) se scrie acum astfel :

$$\frac{A_1 - A_0}{\mu_I} + \frac{A_2 - A_0}{\mu_I} + \frac{A_3 - A_0}{\frac{\mu_I + \mu_{II}}{2}} + \frac{A_4 - A_0}{\mu_I} = \sigma_{0I} h^2 \left( \frac{\partial A_0}{\partial t} + K \right)$$

Pentru  $\frac{\mu_{II}}{\mu_I} = \infty$  se obține :



$$\frac{A_1 - A_0}{\mu_I} + \frac{A_2 - A_0}{\mu_I} + \frac{A_4 - A_0}{\mu_I} = \sigma_{OI} h^2 \left( \frac{\partial A_0}{\partial t} + K \right). \quad (1.10)$$

Analogul electric al acestei relații este prezentat în figura 1.2 b. unde  $R_{m03} = \infty$  (adică un model rezistorul respectiv lipsește).

3. Cazul cînd un element de suprafață  $\Delta s_0 = h^2$  este împărțit în două părți egale (ca în fig.1.3 a) de linia de separație a două medii de permeabilități magnetice și conductivități electrice diferite.

Din relația (3.1-B) se deduce

$$\frac{A_1 - A_0}{\mu_I} + \int_{P_1}^{P_2} \frac{1}{\mu} \frac{\partial A}{\partial n} dl + \frac{A_3 - A_0}{\mu_{II}} + \int_{P_3}^{P_4} \frac{1}{\mu} \frac{\partial A}{\partial n} dl = \frac{h^2}{2} (\sigma_{OI} + \sigma_{OII}) \left( \frac{\partial A_0}{\partial t} + K \right). \quad (1.11)$$

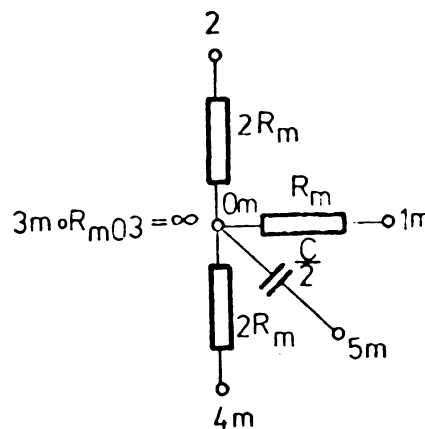
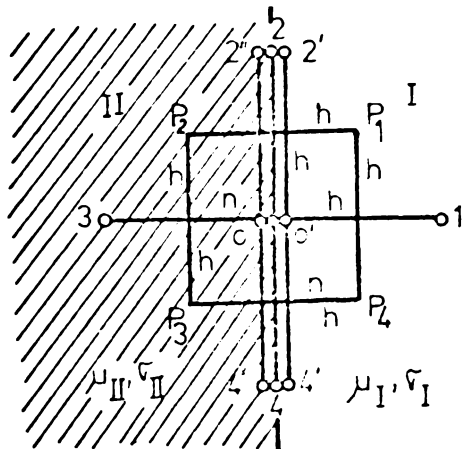


Fig.1.3.a - Elementul de suprafață este înjumătățit de linia de separație a două medii de natură diferită.

Fig.1.3.b. Analogul electric al discretizării din fig.1.3.a.

Tinînd cont că :

$$A_{0'} = A_{0''} = A_0; \quad A_{2'} = A_{2''} = A_2; \quad A_{4'} = A_{4''} = A_4$$

rezultă :

$$\int_{P_1}^{P_2} \frac{1}{\mu} \frac{\partial A}{\partial n} dl = \frac{A_2 - A_0}{\frac{2\mu_I \mu_{II}}{\mu_I + \mu_{II}}} \text{ și analog } \int_{P_3}^{P_4} \frac{1}{\mu} \frac{\partial A}{\partial n} dl = \frac{A_4 - A_0}{\frac{2\mu_I \mu_{II}}{\mu_I + \mu_{II}}}$$

cu alte cuvinte, pentru cele două integrale  $u_m = \frac{2\mu_I \mu_{II}}{\mu_I + \mu_{II}}$  și ecuația (1.11) devine :

$$\frac{A_1 - A_0}{\mu_I} + \frac{A_2 - A_0}{\mu_m} + \frac{A_3 - A_0}{\mu_{II}} + \frac{A_4 - A_0}{\mu_m} = \frac{h^2}{2} (\sigma_{OI} + \sigma_{OII}) \left( \frac{\partial A_0}{\partial t} + K \right) \quad (1.12)$$

$$\text{Dacă } \frac{\mu_{II}}{\mu_I} = \dots ; \sigma_{OII} = 0,$$

rezultă :

$$\frac{A_1 - A_0}{\mu_I} + \frac{A_2 - A_0}{2\mu_I} + \frac{A_4 - A_0}{2\mu_I} = \sigma_{OI} \frac{h^2}{2} \left( \frac{\partial A_0}{\partial t} + K \right) \quad (1.13)$$

Analogul electric al expresiei (1.13) este prezentat în figura 1.3 b; se observă că în acest caz capacitatea are jumătate din valoarea celor din figura 1.2.b și figura 1.1.b.

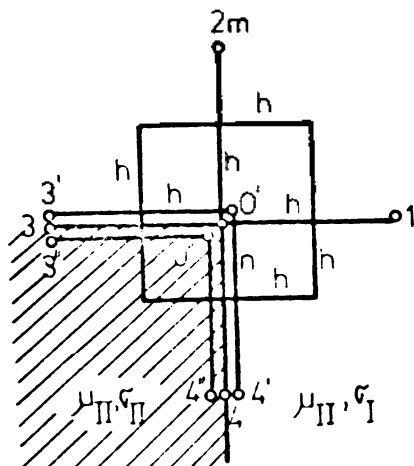


Fig.1.4.a - Elementul de suprafață este dispus la frîngerea liniei de separație a două medii diferite cu 90°.

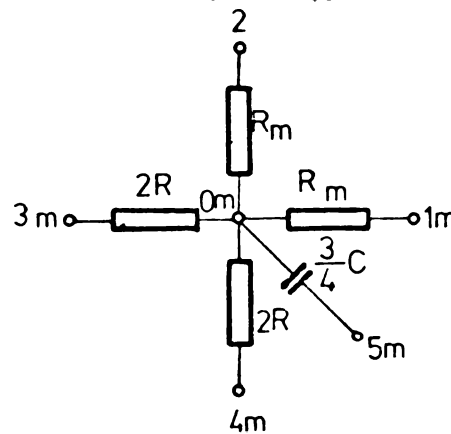


Fig.1.4.b-Analogul electric al discretizării din figura 1.3.a.

4, Atunci cînd elementul de suprafață este plasat ca în figura 1.4.a, dacă se ține seama de rezultatele precedente, relația (3.1-B) se scrie astfel :

$$\frac{A_1 - A_0}{\mu_I} + \frac{A_2 - A_0}{\mu_I} + \frac{A_3 - A_0}{\mu_m} + \frac{A_4 - A_0}{\mu_m} = (3\sigma_{OI} + \sigma_{OII}) \frac{h^2}{4} \left( \frac{\partial A_0}{\partial t} + K \right) \quad (1.14)$$

Dacă  $\frac{\mu_{II}}{\mu_I} = \dots ; \sigma_{OII} = 0$ , se obține :

$$\frac{A_1 - A_0}{\mu_I} + \frac{A_2 - A_0}{\mu_I} + \frac{A_3 - A_0}{2\mu_I} + \frac{A_4 - A_0}{2\mu_I} = \frac{3}{4} \sigma_{OI} h^2 \left( \frac{\partial A_0}{\partial t} + K \right) \quad (1.15)$$

Analogul electric al acestei expresii este prezentat în figura 1.4.b.

**Anexa 2: STUDIUL CIMPULUI ELECTROMAGNETIC AL UNUI CONDUCTOR CILINDRIC DE SECȚIUNE TRANSVERSALA-SECTOR CORONA CIRCULARA, ECRANAT FEROMAGNETIC**

Secțiunea transversală a sistemului considerat, este prezentat în figura 2.1.

Se presupune  $\sigma_{Cu} = \text{const.}$ ,  $\sigma_{zFe} = 0$  și  $\mu_{Fe} \gg \mu_{Cu} \approx \mu_0$ . În aceste condiții :  $\vec{H} = - \nabla \bar{u}_0$  (2.1)

$\bar{u}_\theta$  alături de  $\bar{u}_\rho$  și  $\bar{k}$  formând triedul versorilor sistemului de referință curbiliniu ortogonal cilindric (cu parametrii Lamé  $h_\theta = \rho$ ;  $h_\rho = 1$ ;  $h_z = 1$ ).

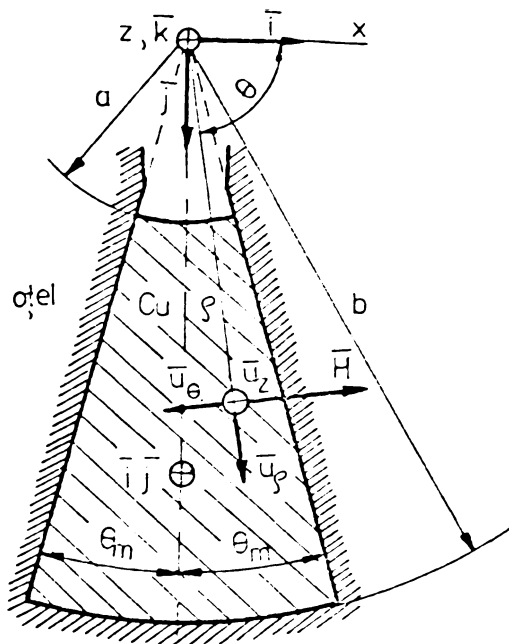


Fig.2.1.

În sistemul cilindric,

$$\text{rot } \bar{H} = \frac{1}{\rho} \begin{vmatrix} \bar{u}_\rho & \rho \bar{u}_\theta & \bar{k} \\ \frac{\partial}{\partial \rho} & \frac{\partial}{\partial \theta} & \frac{\partial}{\partial z} \\ 0 & -H & 0 \end{vmatrix} =$$

$$= -\frac{1}{\rho} \frac{\partial}{\partial \rho} (\rho H) \bar{k} \quad (2.2)$$

și

$$\text{rot rot } \bar{H} = \frac{1}{\rho} \begin{vmatrix} \bar{u}_\rho & \rho \bar{u}_\theta & \bar{k} \\ \frac{\partial}{\partial \rho} & \frac{\partial}{\partial \theta} & \frac{\partial}{\partial z} \\ 0 & 0 & -\frac{1}{\rho} \frac{\partial}{\partial \rho} (\rho H) \end{vmatrix} =$$

$$= \frac{1}{\rho} \frac{\partial}{\partial \rho} \left[ \frac{1}{\rho} \frac{\partial}{\partial \rho} (\rho H) \right] \rho \bar{u}_\theta \quad (2.3)$$

Din :  $\text{rot } \bar{H} = \bar{J} = \sigma \bar{E} \quad (2.4)$

$$\text{rot } \bar{E} = -\mu \frac{\partial \bar{H}}{\partial t} \quad (2.5)$$

rezultă :

$$\text{rot rot } \bar{H} = \mu \sigma \frac{\partial \bar{H}}{\partial t} \quad (2.6)$$

și deci :

$$\frac{\partial}{\partial \rho} \left[ \frac{1}{\rho} \frac{\partial}{\partial \rho} (\rho H) \right] = \mu \sigma \frac{\partial H}{\partial t} \quad (2.7)$$

În reprezentarea complexă (pentru regimul sinusoidal), relația (2.7) ia forma :

$$\frac{\partial}{\partial \rho} \left[ \frac{1}{\rho} \frac{\partial}{\partial \rho} (\rho \underline{H}) \right] = j\omega \mu \sigma \underline{H} \quad (2.8)$$

care se mai poate scrie astfel :

$$\frac{\partial^2 \underline{H}}{\partial \rho^2} + \frac{1}{\rho} \frac{\partial \underline{H}}{\partial \rho} - \left( \frac{1}{\rho^2} + j\mu \sigma \omega \right) \underline{H} = 0 \quad (2.9)$$

Soluția acestei ecuații are forma unei combinații liniare a funcțiilor Bessel de speța I și a II-a de argument complex :

$$\underline{H} = \underline{A}_1 J_1 (\tilde{\gamma} \rho) + \underline{B}_1 Y_1 (\tilde{\gamma} \rho) \quad (2.10)$$

în care :  $\underline{A}_1$  și  $\underline{B}_1$  - constante complexe

$$\underline{\delta} = \sqrt{-j \mu \sigma \omega} = \frac{\sqrt{2}}{\delta} e^{\frac{3\pi}{4} j} = \alpha(-1+j) = \frac{-1+j}{\delta}$$

$\delta$  - adâncimea echivalentă de pătrundere a câmpului electromagnetic în semispațiul conductor din cupru.

Constantele  $A_1$  și  $B_1$  se determină din condițiile de unitate a câmpului.

$$1) \underline{H} = 0 \text{ pentru } \rho = b \text{ (} a \leq \rho \leq b \text{)}; \quad (2.11A)$$

$$2) \underline{H} = \frac{\underline{I}}{2 \Theta_m a} \text{ pentru } \rho = a.$$

Din aceste condiții rezultă :

$$A_1 = \frac{Y_1(\underline{\delta} b)}{J_1(\underline{\delta} a)Y_1(\underline{\delta} b) - J_1(\underline{\delta} b)Y_1(\underline{\delta} a)} \frac{\underline{I}}{2 \Theta_m a} \quad (2.12A)$$

$$B_1 = \frac{J_1(\underline{\delta} b)}{J_1(\underline{\delta} a)Y_1(\underline{\delta} b) - J_1(\underline{\delta} b)Y_1(\underline{\delta} a)} \frac{\underline{I}}{2 \Theta_m a}$$

$\underline{H}$  are deci expresia :

$$\begin{aligned} \underline{H} &= \frac{\underline{I}}{2 \Theta_m a} \frac{Y_1(\underline{\delta} b)J_1(\underline{\delta} \rho) - J_1(\underline{\delta} b)Y_1(\underline{\delta} \rho)}{J_1(\underline{\delta} a)Y_1(\underline{\delta} b) - J_1(\underline{\delta} b)Y_1(\underline{\delta} a)} = \\ &= \frac{\underline{I}}{2 \Theta_m a} \frac{H_1^{(1)}(\underline{\delta} b)J_1(\underline{\delta} \rho) - J_1(\underline{\delta} b)H_1^{(1)}(\underline{\delta} \rho)}{J_1(\underline{\delta} a)H_1^{(1)}(\underline{\delta} b) - J_1(\underline{\delta} b)H_1^{(1)}(\underline{\delta} a)} \end{aligned} \quad (2.13A)$$

unde  $H_1^{(1)} = J_1 + jY_1$  este funcția Hankel (funcția Bessel de speța a III-a).

Densitatea locală de curent  $\underline{J}$  și câmpul electric  $\underline{E}$  vor avea expresiile :

$$\begin{aligned} \underline{J} = \sigma \underline{E} &= \frac{1}{\rho} (\underline{H} + \rho \frac{\partial \underline{H}}{\partial \rho}) = \frac{1}{\rho} \left\{ A_1 \left[ J_1(\underline{\delta} \rho) + \rho \frac{\partial J_1(\underline{\delta} \rho)}{\partial \rho} \right] + \right. \\ &+ \left. B_1 \left[ Y_1(\underline{\delta} \rho) + \rho \frac{\partial Y_1(\underline{\delta} \rho)}{\partial \rho} \right] \right\} = \underline{\delta} \left[ A_1 J_0(\underline{\delta} \rho) + B_1 Y_0(\underline{\delta} \rho) \right] = \\ &= \frac{\underline{\delta} \underline{I}}{2 \Theta_m a} \frac{H_1^{(1)}(\underline{\delta} b)J_0(\underline{\delta} \rho) - J_1(\underline{\delta} b)H_0^{(1)}(\underline{\delta} \rho)}{J_1(\underline{\delta} a)H_1^{(1)}(\underline{\delta} b) - J_1(\underline{\delta} b)H_1^{(1)}(\underline{\delta} a)} \end{aligned} \quad (2.14A)$$

Vectorul Poynting complex este :

$$\underline{\underline{S}} = \underline{\underline{E}} \times \underline{\underline{H}} = \underline{\underline{n}} \frac{\gamma \underline{\underline{I}} \underline{\underline{I}}^*}{4 \sigma \epsilon_m^2 a^2} \frac{H_1^{(1)}(\gamma b) J_0(\gamma \rho) - J_1(\gamma b) H_0^{(1)}(\gamma \rho)}{J_1(\gamma a) H_1^{(1)}(\gamma b) - J_1(\gamma b) H_1^{(1)}(\gamma a)} \quad (2.15)$$

unde  $\underline{\underline{n}}$  este versorul normal exterior suprafeței conductorului.

Puterea complexă  $\underline{\underline{P}}_\Sigma$  va avea deci forma :

$$\begin{aligned} \underline{\underline{P}}_\Sigma &= \int_{S_c} \underline{\underline{S}} \underline{\underline{n}} dA = \frac{h_c I^2}{2 \epsilon_m a} (-1+j) \frac{H_1^{(1)}(\gamma b) J_0(\gamma a) - J_1(\gamma b) H_0(\gamma a)}{J_1(\gamma a) H_1^{(1)}(\gamma b) - J_1(\gamma b) H_1^{(1)}(\gamma a)} = \\ &= P + jQ = R_a I^2 + jX_a I^2 \end{aligned}$$

unde :

$P$  - puterea activă disipată în conductor;

$Q$  - puterea reactivă;

$R_a$  - rezistența în alternativ a conductorului;

$X_a = \omega L_{ia}$  - reactanța internă a conductorului;

$L_{ia}$  - inductivitatea internă;

$h_c$  - lungimea conductorului.

Factorul în alternativ al rezistenței se calculează în expresia :

$$k_a = \frac{P_a}{P_c} = \frac{R_e \{ \underline{\underline{P}} \}}{h_c I^2 \sigma S_c} \quad (2.17)$$

A fiind aria secțiunii transversale a conductorului :

$$S_c = \epsilon_m (b^2 - a^2) \quad (2.18)$$

Pentru determinarea inductivității interne relative,

$$L_{iar} = \frac{L_{ia}}{L_{ic}},$$

pentru inductivitatea internă în curent continuu,  $L_{ic}$ , se poate lua ca valoare aproximativă valoarea lui  $L_{ia}$  pentru o frecvență mică ( $f = 1\text{Hz}$  de exemplu) și atunci

$$L_{iar} = \frac{(L_{ia})_f}{(L_{ia})_{f=1\text{Hz}}}, \quad (2.19)$$

sau pe cea obținută după calcul exact :

$$L_{ic} = \frac{\mu_0 h_c}{8 \epsilon_m (b^2 - a^2)} \left( a^2 - 3b^2 + \frac{4b^2}{1 - \frac{a^2}{b^2}} \ln \frac{b}{a} \right). \quad (2.20)$$

Valoarea exactă pentru  $L_{iar}$  este deci :

$$L_{iar} = \frac{I_m \{P_z\}}{\frac{\mu_0 h_c}{8 \epsilon_m (b^2 - a^2)} \left( a^2 - 3b^2 + \frac{4b^2}{1 - \frac{a^2}{b^2}} \ln \frac{b}{a} \right)} \quad (2.21)$$

Pe baza tabelelor prezentate în [86], în urma calculului, s-au obținut valorile din tabelul de mai jos :

$f(\text{Hz})$	$k_a = \frac{R_a}{R_b}$	$L_{iar} = \frac{L_{ia}}{L_{ic}}$	$L_{iar} = \frac{(L_{ia})_f}{(L_{ia})_{1\text{Hz}}}$
1	1,048	0,9975	1
4	1,248	0,9900	0,9925
9	2,370	0,8500	0,8525
16	3,700	0,7075	0,7090
25	5,220	0,5760	0,5776
36	6,650	0,4880	0,4890
49	8,100	0,4300	0,4315
64	9,930	0,3800	0,3810

Diferențele dintre  $\frac{L_{ia}}{L_{ic}}$  și  $\frac{(L_{ia})_f}{(L_{ia})_{1\text{Hz}}}$  sînt neglijabile.

### Anexa 3 : CIMPUL ELECTROMAGNETIC AL UNUI CONDUCTOR PARALELIPEDIC ECRANAT FEROMAGNETIC

Sistemul considerat este prezentat în secțiune transversală în fig.3.1.

Intrucît  $\mu_{Fe} \gg \mu_{Cu} \approx \mu_0$ , pentru sistemul din fig.3.1, cîmpul magnetic va fi monodimensional : are o singură componentă spațială după axa x.  $\vec{H} = H \vec{i}$  (3.1)

In regim sinusoidal, utilizând reprezentarea complexă a mărimilor electromagnetice, legea circuitului magnetic sub forma locală va avea forma :

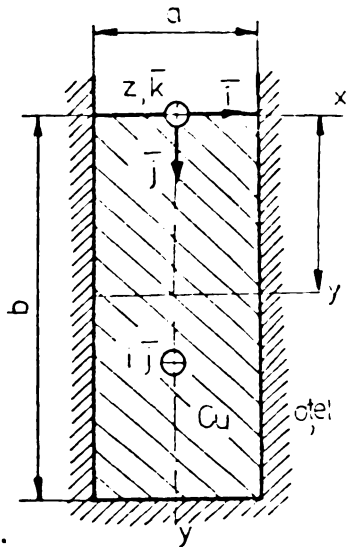


Fig.3.1.

$$\text{rot } \underline{\underline{H}} = \begin{vmatrix} \underline{\underline{i}} & \underline{\underline{j}} & \underline{\underline{k}} \\ \frac{\partial}{\partial x} & \frac{\partial}{\partial y} & \frac{\partial}{\partial z} \\ \underline{H} & 0 & 0 \end{vmatrix} = - \frac{\partial \underline{H}}{\partial y} \underline{\underline{k}} = \underline{j} \underline{k} = \sigma \underline{E} \underline{k} \quad (3.2)$$

Aplicând încă o dată operatorul "rot" ecuației (3.2), se obține:

$$\text{rot rot } \underline{\underline{H}} = \begin{vmatrix} \underline{\underline{i}} & \underline{\underline{j}} & \underline{\underline{k}} \\ \frac{\partial}{\partial x} & \frac{\partial}{\partial y} & \frac{\partial}{\partial z} \\ 0 & 0 & \frac{\partial \underline{H}}{\partial y} \end{vmatrix} = - \frac{\partial^2 \underline{H}}{\partial y^2} \underline{\underline{i}} = \sigma \text{rot } (\underline{E} \underline{k}) = - \mu \sigma \frac{\partial \underline{H}}{\partial t} \underline{\underline{i}} \quad (3.3)$$

Din (1.3) rezultă :

$$\frac{\partial^2 \underline{H}}{\partial y^2} = j \mu \sigma \omega \underline{H} \quad (3.4)$$

Notînd  $\underline{r} = \sqrt{j \mu \sigma \omega} = \alpha (1+j) = \sqrt{2} \alpha e^{j \frac{\pi}{4}}$ , soluția ecuației ordinare (3.4) are forma :

$$\underline{H} = \underline{C}_1 e^{\underline{r} y} + \underline{C}_2 e^{-\underline{r} y} \quad (3.5)$$

Constantele  $\underline{C}_1$  și  $\underline{C}_2$  se determină din condițiile de frontieră :

$$\underline{H}_{y=0} = \frac{I}{a} = \underline{C}_1 + \underline{C}_2$$

$$\underline{H}_{y=b} = 0 = \underline{C}_1 e^{\underline{r} b} + \underline{C}_2 e^{-\underline{r} b} \quad (3.6)$$

Din (3.5) și (3.6) rezultă expresia determinată pentru  $\underline{H}$  :

$$\underline{H} = \frac{I}{a} \frac{\text{sh } \underline{r} (b-y)}{\text{sh } \underline{r} b} \quad (3.7)$$

Intensitatea cîmpului electric din conductor este :

$$\vec{E} = -\frac{1}{\sigma} \frac{\partial H}{\partial y} \vec{k} = \frac{\gamma I}{a \sigma} \frac{\operatorname{ch} \gamma (b-y)}{\operatorname{sh} \gamma b} \vec{k} \quad (3.8)$$

Vectorul Poynting pentru  $y = 0$  are expresia :

$$\begin{aligned} \vec{S} &= \vec{E} \times \vec{H}^* = \frac{\gamma I}{a \sigma} \frac{\operatorname{ch} \gamma b}{\operatorname{sh} \gamma b} \cdot \frac{I^*}{a} \frac{\operatorname{sh} \gamma b}{\operatorname{sh} \gamma b} \vec{j} = \\ &= \vec{j} \frac{\gamma I^2}{\sigma a^2} \operatorname{cth} \gamma b \end{aligned} \quad (3.9)$$

Fluxul vectorului Poynting se obține ușor :

$$\begin{aligned} \underline{P}_z &= \int_{\Sigma} \vec{S} d\vec{A} = \frac{\gamma I^2}{\sigma a} h_c \operatorname{cth} \gamma b = \\ &= \frac{I^2 h_c}{\sigma a} \left( \frac{\operatorname{sh} 2\alpha b + \sin 2\alpha b}{\operatorname{ch} 2\alpha b - \cos 2\alpha b} + j \frac{\operatorname{sh} 2\alpha b - \sin 2\alpha b}{\operatorname{ch} 2\alpha b - \cos 2\alpha b} \right), \end{aligned} \quad (3.10)$$

de unde puterea activă din bară primește forma :

$$P_a = R_e \{ \underline{P}_z \} = \frac{\alpha I^2 h_c}{\sigma a} \frac{\operatorname{sh} 2\alpha b + \sin 2\alpha b}{\operatorname{ch} 2\alpha b - \cos 2\alpha b} \quad (3.11)$$

ia puterea reactivă a conductorului, expresia :

$$Q = \operatorname{Im} \{ \underline{P}_z \} = \frac{I^2 h_c}{\sigma a} \frac{\operatorname{sh} 2\alpha b - \sin 2\alpha b}{\operatorname{ch} 2\alpha b - \cos 2\alpha b} \quad (3.12)$$

Puterea activă disipată în sistem, în c.c. este :

$$P_c = \frac{h_c}{\sigma b a} I^2 \quad (3.13)$$

Cîmpul magnetic în c.c. ( $\frac{\partial \vec{H}}{\partial t} = 0$ ) se obține ușor :

$$H = \frac{I}{a} \left( 1 - \frac{y}{b} \right) \quad (3.14)$$

și deci inductivitatea internă în c.c. este :

$$L_{ic} = \frac{\mu_0}{I^2} \int_V H^2 dv = \frac{\mu_0}{I^2} \int_0^b \frac{I^2}{a^2} \left( 1 - \frac{y}{b} \right)^2 dy = \frac{\mu_0 b}{3a} \quad (3.15)$$

Factorul rezistenței în alternativ are expresia :

$$k_a = \frac{P_a}{P_c} = \alpha b \frac{\operatorname{sh} 2\alpha b + \sin 2\alpha b}{\operatorname{ch} 2\alpha b - \cos 2\alpha b}, \quad (3.16)$$

iar inductivitatea internă raportată :

$$L_{iar} = \frac{L_{ia}}{L_{ic}} = \frac{3}{2\alpha b} \frac{\operatorname{sh} 2\alpha b - \sin 2\alpha b}{\operatorname{ch} 2\alpha b - \cos 2\alpha b} \quad (3.17)$$



Anexa 4 : PROGRAMUL DE CALCUL AL MARIMILOR  $k_a$  și  $L_{iar}$   
PENTRU CONDUCTORUL PARALELIPEDIC, ECRANAT

FERROMAGNETIC "MASIV 1 "

```

DIMENSION E(10),R(10)
REAL ALFA,F,LIAR,KAPAB,A(20,20),B(20)
x ,C(400),KAPABB,LIARB
DATA B/20 x 0./,A/400 x 0,/
A(1,1) = -1.
A(1,2) = 1.
A(2,11)=-1.
A(2,12) =1.
  A(3,1)=1.
  A(4,11)=1.
DO 3 I=2,9
A(2 x I + 1,I) =1.
A(2 x I-1,I+1) =1.
A(2 x I +2,I +10)=1.
3 A(2 x I,I+11)=1.
DO 4 I=2,9
A(2 x I-1,I) = -2.
A(2 x I,I+10) = - 2.
A(19,10)= -1.
A(20,20) = - 1.
FMAX=50.
F50.
69 ALFA=0,00707 x F
A(1,11)=0.5 x ALFA
A(2,1) = -0.5 x ALFA
A(20,10) = -1.5 x ALFA
A(19,20) = + 1.5 x ALFA
DO 5 I =2,9
A (2 x I,I) = - ALFA
5 A (2 x I-1,I+10) = ALFA
B(1) = 4,7728E-4
DO 37 I=2,9
37 B (2 x I-1) = -5.024 E-5
B(19)= -7.536E-5
  DO 11 J=1,20
  DO 11 I=1,20
  K=K+1
11 C(K)=A(I,J)
EPS=5.E-5
N=20
CALL RESOL(C,B,N,KOD,EPS)
WRITE(103,6)
6 FORMAT(///10X, 'REZULTATE')
KAPAB=1.+140.7 x F x B(11)
LIAR = - 597.1 x B (1)
SUM=0.05 x(1. +140.7 x F x B(11)) x x 2 +0.05 x (140.7x F x B(1)) x x 2
DO 29 I=2,9
29 SUM=SUM+0.1x(1.+140.7x F x B(I+10)) x x 2+0.1 x (140.7x F x B(I)) x x 2
SUM=SUM +0.15 x(1.+140.7x F x B(20)) x x 2x 0,15x(140.7x F x B(10)) x x 2
KAPABB=SUM
SIGMA=0.15+1.E6x((B(10)-B(9)) x x 2x+(B(20)-B(19)) x x 2)x 0.45
DO 36 I=2,9

```

```

30 SIGMA=SIGMA+0.3E6*((B(L+1)-B(L-1))**2+(B(L+11)-B(L+9))**2)
   LIARE=SIGMA
   DO 72 L=1,10
72  E(L)=(1.+140.672*F*B(L+10))**2+(140.672*F*B(L))**2
   UM=(0.5 *E(1)+2.*E(2)+E(3)+2.*E(4)+E(5)+2.*E(6)+E(7)+2.*E(8))
   PABB=(UM+E(9)+2.*E(10))/15.
   DO 43 L=2,9
43  R(L)=(B(L+1)-B(L-1))**2+(B(L+11)-B(L+9))**2
   R(10)=4.*((B(10)-B(9))**2+(B(20)-B(19))**2)
   GMA=0.1+3.96ES*(R(2)+0.5 * R(3)+R(4)+0.5*R(5)+R(6)+0.5*R(7)+R(8))
   ARB=GMA+3.96ES*(0.5 * R(9)+R(10))
   WRITE(108,1)F,KAPAB,LIAR,KAPABB,LIARS,PABB,ARB
1  FORMAT(20,7F8,4)
   DO 12 L=1,20
12  B(L)=0
   F=F-5.
   IF(F.GE.5.)GO TO 69
   STOP
   END

```

## B I B L I O G R A F I E

- [1]. Pl. Andronescu : Bazele electrotehnicii I,II, Edit. Didactică și Pedagogică, București, 1972.
- [2]. R. Răduleț : Bazele electrotehnicii-probleme, I, Edit. Didactică și Pedagogică, București, 1970.
- [3]. K. Simonyi : Electrotehnică teoretică (trad. din l. maghiară), Ed. Tehnică, București, 1974.
- [4]. C. Sora : Bazele electrotehnicii, II, Reprografia I.P.T., 1973.
- [5]. I. De Sabata : Bazele electrotehnicii, II, Reprografia I.P.T., 1974.
- [6]. D. Vitkovitch : Field Analysis; Experimental and Computational Methods, D. Van Nostrand Company LTD, London, 1966.
- [7]. J.K. Binns : P.J. Lavrenson, Analysis and Computation of Electric and Magnetic Field Problems, Pergamon Press, 1963.
- [8]. E.A. Erdélyi, S.V. Ahamed, and R.D. Burtness: Flux distribution in saturated d.c. machines on no load, IEEE Trans. Power Apparatus Syst., 1965, 64, p. 375.
- [9]. E.A. Erdélyi and E.F. Fuchs : Nonlinear Magnetic Field Analysis of DC Machines, IEEE Transaction, Volume PAS-89, Sept./Oct. 1970, pp 1546-1583.
- [10]. S.V. Ahamed and E.A. Erdélyi : Nonlinear vector potential equations for highly saturated heteropolar electrical machines, IEEE Trans., 1964, A-2, p. 896.
- [11]. G. Mitra and B. Salvage : Electric stress in a circular cylindrical gaseous cavity in a solid dielectric, the axis of the cylinder being parallel to the field, Proc. IEE, vol. 113, No. 5, 1966.
- [12]. A. Malandain : Phénomènes liés au champ magnétique des transformateurs . Leur étude a l'aide d'une calculatrice numérique. R.G.E., 2, p. 159-166, 1969.

- [13] . V.Bunea : Magnetisation of isotropic and ferromagnetic conducting media, Proc.IEE, 113 (12) pp 2087-2094, 1966.
- [14] . J.T.Storey and M.J.Billings : General digital-computer program for the determination of 3-dimensional axially symmetric fields, Proc.IEE, 114 (10),pp. 1551-1555, 1965.
- [15] . C.J.Carpenter : Numerical solution of magnetic fields in the vicinity of current-carrying conductors, Proc.IEE, vol.114,No.11, pp.1973-1800,1967.
- [16] . Ph.Lair : Méthodes mathématiques de prédétermination de caractéristiques électromagnétiques des grands transformateurs. R.G.E.,No.2, p.152-158,1969.
- [17] . M.Tetelbaum : Elektrische Analogierechenverfahren, Verlag Technik,Berlin,1963.
- [18] . F.C.Gair: Unifung design principle for the resistance network, Brit.J.Appl.Phys. vol.10, pp.166-72, 1959.
- [19] . K. Oberretl : Die Ermittlung von magnetischen Feldern, Wirbelströmen und Kräften in komplizierten, Arch: Elektrotech., vol.48,pp.297-313,1963.
- [20] . S.I. Lurie :Matematicesce modelirovanie magnitnih polei rasscianlia transformatorov i reactorov na electroprovodiascei bumaghe, Electricstvo,No. 10 p.80-86, 1965.
- [21] . C.S. Demircian : Modelirovanie magnitnih polei, Energhia; Leningradscoe otdelenie, 1974.
- [22] . M.Kant : Etude du champ magnetique de la -partie frontale d'un turbo-alternateur, R.G.E., tome 75; No.7-8, p.913-922.
- [23] . J. Delhaye: Méthode analogique rhéocélétrique pour étude du champ magnétique de fuite dans un transformateur R.G.E., No.2,p.167-178,1968.
- [24] . A.V. Ivanov-Smolenschii, A.I. Dulchin : Issledovanie magnitnih provodimostei i inductivnostei obmotoc electriceschih masin i aparatov metodom modeliro-

vaniia na electroprovodnoi bumaghe, Electromechanica, No.10, 1963.

- [25]. F.Stier : Bestimmung der Energie eines ebenen Magnetfeldes durch Abbildung desselben auf ein elektrischer Stromfeld, Arch. Elektrotechn. Bd.45, S 343-346, 1960.
- [26]. M.J.O. Strutt und R.Vuilleumier : Analogieverfahren für die Bestimmung elektromagnetischer Wechselfelder in Leitern und Halbleitern, Arch.Elektrotech., Bd.46 S 259-276, 1961.
- [27]. P.Silvester : Ac resistance and reactance of isolated rectangular conductors, IEEE Trans. Power Apparatus, and Systems, vol.PAS-86 pp 770-774, 1967.
- [28]. C.Sora : Untersuchung des elektrischen Feldes in einem rechteckigen Hallplättchen mittels eines elektrokinetischen Modells, ETZ-A, Bd.90, H.1, 1969.
- [29]. G.Hortopan : Modelarea transformatoarelor în scopul determinării repartiției la tensiunea de impuls, Electrotehnica, 9 (1961), nr.8.
- [30]. P.Silvester : Network Analog Solution of Skin and Proximity Effect Problems, IEEE, vol.86, No.2 pp.241-247, 1967.
- [31]. H.Reiche : Der Einsatz von Rechnautomaten für elektrotechnische Berechnungen, Electric, Heft 7, Teil 1, 256-261, 1967.
- [32]. H.Reiche : Mesmethoden für moderne magnetische Werkstoffe, Wiss, Z.d.TH Dresden, 620-630, 1961.
- [33]. L.D.Landau, E.M.Lifșitș : Electrodinamica mediilor continue (trad.din lb.rusă), Ed.Tehnică, 1968.
- [34]. M.G. Salvadori, M.L. Baron : Metode numerice în tehnică, (trad. din lb. engleză-SUA), Ed. Tehnică, București, 1972.
- [35]. I.Fetișă : Determinarea prin modelare a câmpului electromagnetic al unui conductor cilindric de secțiune transversală trapezoidală plasat într-o creștătură feromagnetice, Std.cerc.energ.electr., 22, nr.2, 1972.
- [36]. P.Silvester and M.V.K.Chari : Finite Element Solution of Saturable Magnetic Field Problems, IEEE Transactions, vol.PAS-89, sept./oct. 1970, pp.1642-1651.

- [37]. O.W. Andersen : Iterative Solution of Finite Element Equations in Magnetic Field Problems, IEEE Transactions, 1972 (extras primit de la autor).
- [38]. M.V.K.Chari and P.Silvester : Analysis of Turboalternator Magnetic Fields by Finite Elements, IEEE Transactions, vol.PAS-90, March/April 1971, pp.454-464.
- [39]. B.Demidovitch et I.Maron : Éléments de calcul numérique, Édition MIR, Moscou, 1973.
- [40]. L.Collatz : The Numerical Treatment of Differential Equations, Springer, Berlin-Heidelberg-New-York, 1966.
- [41]. A.Haimovici : Ecuațiile fizicimatematice și elemente de calcul variațional, Ed.Did.și Ped., București, 1966.
- [42]. Oh.Sabac : Matematici superioare, vol.2, Ed.Did.și Ped., București, 1965.
- [43]. I.E. Tamm : Bazele teoriei electricității, București, Ed. Tehn., 1952.
- [44]. R.Răduleț, Al.Timotin și A.Tugulea : O teorie generală a parametrilor lineici tranzitorii ai liniilor electrice lungi și cu pierderi în prezența solului, St.cerc.energ.electr.Tom 16, nr.3 p.417-449, București, 1966.
- [45]. Ch.Popescu ș.a. : Materiale electrotehnice-proprietăți și utilizări, Ed.Tehn., București, 1976.
- [46]. Al.Timotin : Unicitatea soluțiilor și calculul puterii în câmpul electromagnetic cvasistaționar al unui sistem de conductoare paralele, St. cerc.energ.electr., tom.17, nr.1 p.143-156, București, 1967.
- [47]. A.Tugulea : Câmpul electromagnetic cvasistaționar al conductoarelor parcurse de curenți alternativi în prezența ecranelor electromagnetice cilindrice, St.cerc.energ.electr., 14, 4, 807-837, 1964.

- [48] . Al.Timotin și I.R.Civic : Unicitatea soluțiilor și calculul puterilor în câmpul electromagnetic cvasistaționar al sistemelor axial-simetrice, St.cerc.energ. electr.,20,1,p.125-138, 1970.
- [49] . A.Tugulea, A.Moraru și C.Bălă : Câmpul electromagnetic și pierderile suplimentare în transformatoarele electrice cu cuvă ecranată, St.cerc.energ.electr.,18, 4, p.819-837, 1968.
- [50] . Al.Davidescu : Termotehnica, Ed.Did.și Ped.,București,1964.
- [51] . Al.A.Vasilescu : Analiza dimensională și teoria similitudinii, Ed.Acad.R.S.R., București, 1969.
- [52] . V.A. Venicov, A.V. Ivanov-Smolenschi : Fizicescoe modelirovanie electriceschix sistem, M.,Gosenergoizdat, 1956.
- [53] . W.J.Karplus : Analog Simulation, Mc.Graw Hill,New-York,1958.
- [54] . I.V.Borciu : O modelirovanii polia rasseiania transformatorov na electroprovodnoi bumaghe,Electrotehnica, No.3, 1969.
- [55] . P.F. Filciacov, V.I.Pancis : Integratori EGDA, Kiev,1961.
- [56] . A.R. Boothroyd, E.C. Cherry and R.Makar : An electrolytic tank for measurement of steady state response, transient response and allied properties of networks, Proc.IEE (London) vol.96, pp.163-177,May 1949.
- [57] . W.E. Rogers : A two-space fluid mapper, IEEE Trans.Instrum. and Measur, 1967, 16, No.3, 184-186.
- [58] . H.K. Farr and W.A. Keen : Improving field analogues through conformal mapping, Trans. AIEE, vol.74 pp.395-400, 1955.
- [59] . S.I.Lurie : Modelirovanie magnitnîh polei transformatorov, Electrotehnica, No.7,1965, 54-57.
- [60] . C.Ambrozie : Măsurarea și calculul capacităților proprii distribuite din înfășurările continue ale transformatoarelor de putere, Teză de doctorat (lucrare nepublicată).

- [61] . K.Oberretl : Ermittlung magnetischer Felder Blechmodellen, ETZ-A, 1963, H 23, S 757-759.
- [62] . F.Mülner : Elektrische Abbildung magnetischer Wirbelfelder ETZ .Bd.50 (1929).S 1321-1323.
- [63] . W.Schusky : Berechnung elektrischer Maschinen, Springer . Verlag. Wien, 1960.S 98.
- [64] . K.Oberretl : Die genauere Berechnung des Magnetisierungstromes von dreiphasigen Asynchronmaschinen,Bull Oerlikon Nr.335 (1959) S 66-84.
- [65] . K.Oberretl : Neue Erkenntnisse über parasitäre Drehmomente in Käfigläufmotoren, Bull.Oerlikon,No.348, (1962), S 130-155.
- [66] . K.Oberretl : Streufelder, Wirbelstromverluste,Erwärmungen,Kä-f-te und Eisenbrandim Stirnraum von Turbogenerato-ren, Elektrotechn.u.Masch., Bd.80 (1963),H.23.
- [67] . J. Roberts : Analogous treatment of eddy currents and magnetic flux penetration in saturated iron, Institution Monograph IEE, 1962, 406-411.
- [68] . A.Moraru : Metodele de studiu al fenomenului de inducție în ecranele electromagnetice ale transformatoarelor, St.cerc.energ.electr.,tom 19,Nr.3,p.581-599;1969.
- [69] . I.Fetiță : Modelarea unui sistem de bare colectoare în vede-rea determinării parametrilor lineici R , L , C , St.cerc.energ.electr.,tom 20,nr.3,p.655-666.
- [70] . I.Fetiță : Asupra erorii de trunchiere a laplacianului  $\Delta$  în regim cvasistaționar, Bul.șt.și tehn. al I.P.T., S. electr. tom.18 (32) fasc.2/1973.
- [71] . O.Onicescu : Numere și sisteme aleatoare, Ed.Acad.R.P.R.,1962.
- [72] . M.Stoka, R.Theodorescu : Probabilitate și geometrie,Ed.Stiinț., București, 1966.
- [73] . G.A.Korn : Simularea și măsurarea proceselor aleatoare.Trad. din lb.engleză - SUA, Ed.Tehn.,București,1969.
- [74] . G.W.King : Monte Carlo Method for Solving Diffusion Problems, Ind.Eng. Chem. 43 : 2475 (1951).
- [75] . G.W. King : Applied Mathematics in Operations Research,in Becken-bach,E.F.,Modern Mathematics for the Engineer,



First Series, New-York, Mc Graw-Hill, 1956.

- [76] . N.Metropolis and S.Ulam : The Monte Carlo Method, J.Am. Statist. Assoc., 44,335 (1949).
- [77] . W.F.Bauer : The Monte Carlo Method, J.Soc.Ind. and Appl. Math, 1958, 6, pp. 438-451.
- [78] . P.D.Lax : Differential Equations, Difference Equations and Matrix Theory, Comm. Pure and Appl.Math., 1958, 11, pp 175-194.
- [79] . H.B. Dwight : Effective resistance of isolated nonmagnetic rectangular conductors, Trans.AIEE, vol.66,pp. 549-52, 1947.
- [80] . H.Schwenkhagen : Untersuchungen über Stromverdrängung in rechteckigen Querschnitten, Arch.Elektrotechn. Bd.17,S537-589, 1926-1927.
- [81] . P.Graneau : Alterning and transient conduction currents in straight conductors of any cross-section,Internat'l J.Electronics, vol.19 pp. 41-59,1965.
- [82] . P.Silvester : Modal network theory of skin effect in flat conductors, Proc.IEEE, vol.S4,pp.1147-1151,Sept. 1966.
- [83] . P.Silvester : Skin Effect in Multiple and Polyphase Conductors, Trans.IEEE, vol.Pas - 88, no.3,pp.231-238, 1969.
- [84] . B.A.Smiremin : Manual de radiotehnică,Ed.Energ.,1953,p.28.
- [85] . I.V.Butchevici ș.a. : Partea electrică a centralelor și stațiilor electrice, Ed.Energ.,1953, p.35.
- [86] . E.Janke,F.Emde, F.Lösch : Tafeln Höherer Funktionen,B.G. Teubner Verlagsgesellschaft,Stuttgart,1960.
- [87] . P.S. Sergheev, ș.a. : Proiectirovanie electriceschih mașin, Energhia, 1959,Moscvă.
- [88] . C.J. Carpenter : Finite - element network models and their application to eddy-current problems,PROC.IEE, vol.122, No.4,APRIL 1975.
- [89] . Al.Timotin, A.Țugulea : Parametrii tranzitorii longitudinali ai liniei coaxiale, St.cerc.energ.electr.,tom.17, nr.3, p.577-602,București,1967.